

## Apêndice do capítulo IV - Metodologia

### Apêndice 1 - Protocolo dos dados do doente

#### IDENTIFICAÇÃO DO DOENTE

Nº de processo: \_\_\_\_\_ Nome: \_\_\_\_\_ Data: \_\_\_\_\_ Cod. \_\_\_\_\_

#### FACTORES DE RISCO NÃO MODIFICÁVEIS

Idade: \_\_\_\_\_ Sexo: M  F  Raça: \_\_\_\_\_

Ant F AVC 1º grau >= 65 anos  Ant F EAM 1º grau >= 65 anos

Ant F AVC 1º grau < 65 anos  Ant F EAM 1º grau < 65 anos

#### FACTORES DE RISCO MODIFICÁVEIS

HTA  FA  Diabetes

Hiperlipidémia  Outra CE  Fumador  Ex-fumador

Indicação \_\_\_\_\_

#### EXAMES COMPLEMENTARES DE DIAGNÓSTICO E TERAPÊUTICA

TRIPLEX SCAN TRANSCRANEANO (TST) ____/____/____	C. Anterior		C. Posterior	
	Dta	Esq	Dta	Esq
Sem janela				
Normal				
Inelastecidade Arterial				
Estenose Ligeira (30 a 50%)				
Estenose Moderada/Grave (51 a 99%)				
Tortuosidade				
Oclusão				
Vasospasmo				
Roubo da ASE				
Hipoplasia				

TRIPLEX SCAN CERVICAL (TSC) ___/___/___	Carótidas		Vertebrais	
	Dta	Esq	Dta	Esq
Normal				
Estenose Ligeira (<50%)				
Estenose Moderada (51 a 70%)				
Estenose Grave (71 a 90%)				
Estenose Pré-oclusiva (90 a 99%)				
Oclusão				
Tortuosidade				
Tortuosidade compatível com Estenose				
Fístula				
Ateromatose Carotídea, sem reperc. Hemodinâmica				
Tortu + Atero Carotídea, sem reperc. hemodinâmica				
Roubo da ASE				
Hipoplasia				

TAC CE ___/___/___		ANT ESQ	ANT DTA	POST
Normal				
Tipo de Lesão	Hemodinâmica			
	Embólica			
	Lacunar			
	Outros			

RM CE ___/___/___		ANT ESQ	ANT DTA	POST
Normal				
Tipo de Lesão	Hemodinâmica			
	Embólica			
	Lacunar			
	Outros			

Angio RM CE ___/___/___		ANT ESQ	ANT DTA	POST
Normal				
Tipo de Lesão	Estenose Ligeira			
	Estenose Moderada			
	Estenose Grave			
	Estenose Pré-oclusiva			
	Oclusão			
	Hipoplasia			

## Apêndice do capítulo V - Análise uni e bivariada

### Apêndice 2 – Análise univariada

- AMOSTRA PRINCIPAL

Apêndice 2.1 – Estatística descritiva da idade e IIM.

		Idade	IIM
N	Valid	3209	3209
	Missing	0	0
Mean		69,97	,333
Median		73,00	,000
Mode		76	,0
Std. Deviation		12,715	,5169
Variance		161,683	,267
Minimum		13	,0
Maximum		97	1,3
Sum		224537	1068,6

Apêndice 2.2 – Frequências do IIM medido no TSC.

IIM					
		Frequency	Percent	Valid Percent	Cumulative Percent
Valid	,0	2261	70,5	70,5	70,5
	1,0	227	7,1	7,1	77,5
	1,1	334	10,4	10,4	87,9
	1,2	289	9,0	9,0	96,9
	1,3	98	3,1	3,1	100,0
	Total	3209	100,0	100,0	

Apêndice 2.3 – Frequências de estenose uni ou bilateral no TSC.

Est Uni/Bil					
		Frequency	Percent	Valid Percent	Cumulative Percent
Valid	Unilateral	455	14,2	81,0	81,0
	Bilateral	107	3,3	19,0	100,0
	Total	562	17,5	100,0	
Missing	Nsa	2647	82,5		
Total		3209	100,0		

Apêndice 2.4 – Frequências de sem estenose ou grau de estenose no TSC.

		N/Grau est			
		Frequency	Percent	Valid Percent	Cumulative Percent
Valid	Normal ou <50%	2688	83,8	84,0	84,0
	>50%	126	3,9	3,9	87,9
	>70%	74	2,3	2,3	90,3
	>90%	72	2,2	2,3	92,5
	Oclusão	240	7,5	7,5	100,0
	Total	3200	99,7	100,0	
Missing	Nsa	9	,3		
Total		3209	100,0		

Apêndice 2.5 – Frequências do índice de pulsatilidade no TST.

		Frequency	Percent	Valid Percent	Cumulative Percent
Valid	Normal	1194	37,2	54,2	54,2
	Aumentados	1009	31,4	45,8	100,0
	Total	2203	68,7	100,0	
Missing	Não se aplica	1006	31,3		
Total		3209	100,0		

Apêndice 2.6 – Frequências do óbito.

Óbito					
		Frequency	Percent	Valid Percent	Cumulative Percent
Valid	Não	2572	80,1	80,1	80,1
	Sim	637	19,9	19,9	100,0
	Total	3209	100,0	100,0	

Apêndice 2.7 – Estatística descritiva do obito e idade de óbito.

Statistics			
		Idade no óbito	Tempo de óbito
N	Valid	613	634
	Missing	2596	2575
Mean		77,14	607,22
Median		79,00	266,00
Mode		78 <sup>a</sup>	2
Std. Deviation		9,775	688,435
Minimum		34	0
Maximum		100	2851
Sum		47284	384979

a. Multiple modes exist. The smallest value is shown



• **GRUPO DE CONTROLO**

Apêndice 2.8 – Estatística descritiva da idade.

Idade		
N	Valid	1657
	Missing	0
Mean		66,60
Median		70,00
Mode		77
Std. Deviation		15,877
Variance		252,081
Minimum		11
Maximum		98

Apêndice 2.9 – Frequências do óbito.

Óbito					
		Frequency	Percent	Valid Percent	Cumulative Percent
Valid	Sim	76	4,6	100,0	100,0
Missing	System	1581	95,4		
Total		1657	100,0		

Apêndice 2.10 – Estatística descritiva da idade de óbito.

Statistics		
Idade no óbito		
N	Valid	76
	Missing	1581
Mean		75,24
Median		78,00
Mode		78
Std. Deviation		12,359
Minimum		21
Maximum		92

• **GRUPO COM AVC E GRUPO SEM AVC**

Apêndice 2.11 - T-test para comparação de médias de fatores de risco entre grupos.

Group Statistics					
	Com ou sem AVC	N	Mean	Std. Deviation	Std. Error Mean
Idade	Não	2180	66,46	15,354	,329
	Sim	2686	70,74	12,398	,239

## Independent Samples Test

		Levene's Test for Equality of Variances		t-test for Equality of Means						
									95% Confidence Interval of the Difference	
		F	Sig.	T	Df	Sig. (2-tailed)	Mean Difference	Std. Error Difference	Lower	Upper
Idade	Equal variances assumed	117,244	,000	-10,776	4864	,000	-4,287	,398	-5,067	-3,507
	Equal variances not assumed			-10,543	4151,970	,000	-4,287	,407	-5,084	-3,490

Apêndice 2.12 - Mann-whitney test para comparação de proporções dos fatores de risco entre grupos.

## Ranks

	Com ou sem AVC	N	Mean Rank	Sum of Ranks
Sexo	Não	2180	2497,07	5443616,00
	Sim	2686	2381,90	6397795,00
	Total	4866		
Ant P AVC	Não	2180	2341,36	5104167,00
	Sim	2686	2508,28	6737244,00
	Total	4866		
Ant P EAM	Não	2180	2433,55	5305142,00
	Sim	2686	2433,46	6536269,00
	Total	4866		
Informação genética AVC	Não	2180	2290,89	4994144,00
	Sim	2686	2549,24	6847267,00
	Total	4866		
Informação genética EAM	Não	2180	2370,69	5168097,00
	Sim	2686	2484,48	6673314,00
	Total	4866		
HTA	Não	2180	2191,51	4777481,00
	Sim	2686	2629,91	7063930,00
	Total	4866		
DM	Não	2180	2364,27	5154105,00
	Sim	2686	2489,69	6687306,00
	Total	4866		
Dislipid.	Não	2180	2392,52	5215704,00
	Sim	2686	2466,76	6625707,00
	Total	4866		
Fumador ou não	Não	2180	2319,72	5056985,00
	Sim	2686	2525,85	6784426,00
	Total	4866		
ECG FA	Não	2180	2352,91	5129338,00
	Sim	2686	2498,91	6712073,00

	Total	4866		
Ecocard CE	Não	2180	2343,99	5109899,00
	Sim	2686	2506,15	6731512,00
	Total	4866		

Test Statistics<sup>a</sup>

	Sexo	Ant P AVC	Ant P EAM	Informação genética AVC	Informação genética EAM	HTA	DM	Dislipid.	Fumador ou não	ECG FA	Ecocard CE
Mann-Whitney U	2789154,000	2726877,000	2927628,000	2616854,000	2790807,000	2400191,000	2776815,000	2838414,000	2679695,000	2752048,000	2732609,000
Wilcoxon W	6397795,000	5104167,000	6536269,000	4994144,000	5168097,000	4777481,000	5154105,000	5215704,000	5056985,000	5129338,000	5109899,000
Z	-3,290	-6,199	-,006	-12,882	-7,567	-13,748	-4,053	-2,263	-7,405	-6,238	-10,011
Asymp. Sig. (2-tailed)	,001	,000	,996	,000	,000	,000	,000	,024	,000	,000	,000

a. Grouping Variable: Com ou sem AVC

### Apêndice 3 – Análise bivariada

Devido ao elevado número de tabelas não são apresentadas as tabelas correspondentes a correlações de variáveis com *p-value* superior a 0.05.

- **FATORES DE RISCO NÃO MODIFICÁVEIS vs PRESENÇA DE AVC**

Apêndice 3.1 - Correlação da variável sexo vs presença de AVC.

			Com ou sem AVC		Total
			Não	sim	
Sexo	Masculino	Count	1098	1480	2578
		% within Sexo	42,6%	57,4%	100,0%
	Feminino	Count	1082	1206	2288
		% within Sexo	47,3%	52,7%	100,0%
Total		Count	2180	2686	4866
		% within Sexo	44,8%	55,2%	100,0%

Symmetric Measures

		Value	Approx. Sig.
Nominal by Nominal	Contingency Coefficient	,047	,001
N of Valid Cases		4866	

Apêndice 3.2 - Correlação da variável 56anos vs presença de AVC.

			Com ou sem AVC		Total
			Não	Sim	
56 anos	< 56 anos	Count	494	339	833
		% within 56 anos	59,3%	40,7%	100,0%
	> ou = 56 anos	Count	1686	2347	4033
		% within 56 anos	41,8%	58,2%	100,0%
Total		Count	2180	2686	4866
		% within 56 anos	44,8%	55,2%	100,0%

Symmetric Measures

		Value	Approx. Sig.
Nominal by Nominal	Contingency Coefficient	,131	,000
N of Valid Cases		4866	

Apêndice 3.3 - Correlação da variável antecedentes pessoais de AVC vs presença de AVC.

			Com ou sem AVC		Total
			Não	Sim	
Ant P AVC	Não	Count	1871	2121	3992
		% within Ant P AVC	46,9%	53,1%	100,0%
	Sim	Count	309	565	874
		% within Ant P AVC	35,4%	64,6%	100,0%
Total		Count	2180	2686	4866
		% within Ant P AVC	44,8%	55,2%	100,0%

Symmetric Measures

		Value	Approx. Sig.
Nominal by Nominal	Contingency Coefficient	,089	,000
N of Valid Cases		4866	

Apêndice 3.4 - Correlação da variável informação genética de AVC vs presença de AVC.

			Com ou sem AVC		Total
			Não	sim	
Informação genética AVC	Não	Count	2112	2317	4429
		% within Informação genética AVC	47,7%	52,3%	100,0%
	Sim	Count	68	369	437
		% within Informação genética AVC	15,6%	84,4%	100,0%
Total		Count	2180	2686	4866
		% within Informação genética AVC	44,8%	55,2%	100,0%

Symmetric Measures

		Value	Approx. Sig.
Nominal by Nominal	Contingency Coefficient	,183	,000
N of Valid Cases		4866	

Apêndice 3.5 - Correlação da variavel informação genética de EAM vs presença de AVC.

			Com ou sem AVC		Total
			Não	Sim	
Informação genética EAM	Não	Count	2131	2500	4631
		% within Informação genética EAM	46,0%	54,0%	100,0%
	Sim	Count	49	186	235
		% within Informação genética EAM	20,9%	79,1%	100,0%
Total		Count	2180	2686	4866
		% within Informação genética EAM	44,8%	55,2%	100,0%

Symmetric Measures

		Value	Approx. Sig.
Nominal by Nominal	Contingency Coefficient	,108	,000
N of Valid Cases		4866	

• FATORES DE RISCO MODIFICÁVEIS vs PRESENÇA DE AVC

Apêndice 3.6 - Correlação da variavel HTA vs presença de AVC.

			Com ou sem AVC		Total
			Não	Sim	
HTA	Não	Count	853	567	1420
		% within HTA	60,1%	39,9%	100,0%
	Sim	Count	1327	2119	3446
		% within HTA	38,5%	61,5%	100,0%
Total		Count	2180	2686	4866
		% within HTA	44,8%	55,2%	100,0%

Symmetric Measures

		Value	Approx. Sig.
Nominal by Nominal	Contingency Coefficient	,193	,000
N of Valid Cases		4866	

Apêndice 3.7 - Correlação da variável DM vs presença de AVC.

			Com ou sem AVC		Total
			Não	sim	
DM	Não	Count	1665	1913	3578
		% within DM	46,5%	53,5%	100,0%
	Sim	Count	515	773	1288
		% within DM	40,0%	60,0%	100,0%
Total		Count	2180	2686	4866
		% within DM	44,8%	55,2%	100,0%

Symmetric Measures

		Value	Approx. Sig.
Nominal by Nominal	Contingency Coefficient	,058	,000
N of Valid Cases		4866	

Apêndice 3.8 - Correlação da variável dislipidemia vs presença de AVC.

			Com ou sem AVC		Total
			Não	sim	
Dislipid.	Não	Count	1512	1781	3293
		% within Dislipid.	45,9%	54,1%	100,0%
	Sim	Count	668	905	1573
		% within Dislipid.	42,5%	57,5%	100,0%
Total		Count	2180	2686	4866
		% within Dislipid.	44,8%	55,2%	100,0%

Symmetric Measures

		Value	Approx. Sig.
Nominal by Nominal	Contingency Coefficient	,032	,024
N of Valid Cases		4866	

Apêndice 3.9 - Correlação da variável Fumador vs presença de AVC.

			Com ou sem AVC		Total
			Não	Sim	
Fumador ou não	Não	Count	1855	2058	3913
		% within Fumador ou não	47,4%	52,6%	100,0%
	Sim	Count	325	628	953
		% within Fumador ou não	34,1%	65,9%	100,0%
Total		Count	2180	2686	4866
		% within Fumador ou não	44,8%	55,2%	100,0%

**Symmetric Measures**

		Value	Approx. Sig.
Nominal by Nominal	Contingency Coefficient	,106	,000
N of Valid Cases		4866	

Apêndice 3.10 - Correlação da variável FA vs presença de AVC.

			Com ou sem AVC		Total
			Não	sim	
ECG FA	Não	Count	1974	2271	4245
		% within ECG FA	46,5%	53,5%	100,0%
	Sim	Count	206	415	621
		% within ECG FA	33,2%	66,8%	100,0%
Total		Count	2180	2686	4866
		% within ECG FA	44,8%	55,2%	100,0%

**Symmetric Measures**

		Value	Approx. Sig.
Nominal by Nominal	Contingency Coefficient	,089	,000
N of Valid Cases		4866	

Apêndice 3.11 - Correlação da variável CE vs presença de AVC.

			Com ou sem AVC		Total
			Não	Sim	
Ecocard CE	Não	Count	2137	2454	4591
		% within Ecocard CE	46,5%	53,5%	100,0%
	Sim	Count	43	232	275
		% within Ecocard CE	15,6%	84,4%	100,0%
Total		Count	2180	2686	4866
		% within Ecocard CE	44,8%	55,2%	100,0%

**Symmetric Measures**

		Value	Approx. Sig.
Nominal by Nominal	Contingency Coefficient	,142	,000
N of Valid Cases		4866	

• **FATORES DE RISCO NÃO MODIFICÁVEIS vs PRESENÇA DE AVC ISQUÊMICO**

Apêndice 3.12 - Correlação da variável 56anos vs presença de AVC isquêmico.

			AVC Isquêmico		Total
			Não	Sim	
< 56 anos	< 56 anos	Count	494	302	796
		% within < 56 anos	62,1%	37,9%	100,0%
	>= 56anos	Count	1685	2152	3837
		% within < 56 anos	43,9%	56,1%	100,0%
Total		Count	2179	2454	4633
		% within < 56 anos	47,0%	53,0%	100,0%

**Symmetric Measures**

		Value	Approx. Sig.
Nominal by Nominal	Contingency Coefficient	,136	,000
N of Valid Cases		4633	

Apêndice 3.13 - Correlação da variável antecedentes pessoais de AVC vs presença de AVC isquêmico.

			AVC Isquêmico		Total
			Não	Sim	
Ant P AVC	Não	Count	1870	1930	3800
		% within Ant P AVC	49,2%	50,8%	100,0%
	Sim	Count	309	524	833
		% within Ant P AVC	37,1%	62,9%	100,0%
Total		Count	2179	2454	4633
		% within Ant P AVC	47,0%	53,0%	100,0%

**Symmetric Measures**

		Value	Approx. Sig.
Nominal by Nominal	Contingency Coefficient	,089	,000
N of Valid Cases		4866	

Apêndice 3.14 - Correlação da variável informação genética de AVC vs presença de AVC isquêmico.

			AVC Isquêmico		Total
			Não	Sim	
Informação genética AVC	Não	Count	2111	2102	4213
		% within Informação genética AVC	50,1%	49,9%	100,0%
	Sim	Count	68	352	420



		% within Informação genética AVC	16,2%	83,8%	100,0%
Total	Count		2179	2454	4633
	% within Informação genética AVC		47,0%	53,0%	100,0%

**Symmetric Measures**

		Value	Approx. Sig.
Nominal by Nominal	Contingency Coefficient	,191	,000
N of Valid Cases		4633	

Apêndice 3.15 - Correlação da variavel informação genética de EAM vs presença de AVC isquêmico.

			AVC Isquêmico		Total
			Não	Sim	
Informação genética EAM	Não	Count	2130	2277	4407
		% within Informação genética EAM	48,3%	51,7%	100,0%
	Sim	Count	49	177	226
		% within Informação genética EAM	21,7%	78,3%	100,0%
Total	Count		2179	2454	4633
	% within Informação genética EAM		47,0%	53,0%	100,0%

**Symmetric Measures**

		Value	Approx. Sig.
Nominal by Nominal	Contingency Coefficient	,114	,000
N of Valid Cases		4633	

• **FATORES DE RISCO MODIFICÁVEIS vs AVC ISQUÊMICO**

Apêndice 3.16 - Correlação da variavel HTA vs presença de AVC isquêmico.

			AVC Isquêmico		Total
			Não	Sim	
HTA	Não	Count	853	517	1370
		% within HTA	62,3%	37,7%	100,0%
	Sim	Count	1326	1937	3263
		% within HTA	40,6%	59,4%	100,0%
Total	Count		2179	2454	4633
	% within HTA		47,0%	53,0%	100,0%

**Symmetric Measures**

		Value	Approx. Sig.
Nominal by Nominal	Contingency Coefficient	,177	,000
N of Valid Cases		4866	

Apêndice 3.17 - Correlação da variável DM vs presença de AVC isquêmico.

			AVC Isquêmico		Total
			Não	Sim	
DM	Não	Count	1665	1738	3403
		% within DM	48,9%	51,1%	100,0%
	Sim	Count	514	716	1230
		% within DM	41,8%	58,2%	100,0%
Total		Count	2179	2454	4633
		% within DM	47,0%	53,0%	100,0%

Symmetric Measures

		Value	Approx. Sig.
Nominal by Nominal	Contingency Coefficient	,062	,000
N of Valid Cases		4866	

Apêndice 3.18 - Correlação da variável dislipidemia vs presença de AVC isquêmico.

			AVC Isquêmico		Total
			Não	Sim	
Dislipid.	Não	Count	1512	1613	3125
		% within Dislipid.	48,4%	51,6%	100,0%
	Sim	Count	667	841	1508
		% within Dislipid.	44,2%	55,8%	100,0%
Total		Count	2179	2454	4633
		% within Dislipid.	47,0%	53,0%	100,0%

Symmetric Measures

		Value	Approx. Sig.
Nominal by Nominal	Contingency Coefficient	,042	,004
N of Valid Cases		4866	

Apêndice 3.19 - Correlação da variável Fumador vs presença de AVC isquêmico.

			AVC Isquêmico		Total
			Não	Sim	
Fumador ou não	Não	Count	1854	1870	3724
		% within Fumador ou não	49,8%	50,2%	100,0%
	Sim	Count	325	584	909
		% within Fumador ou não	35,8%	64,2%	100,0%
Total		Count	2179	2454	4633
		% within Fumador ou não	47,0%	53,0%	100,0%

Symmetric Measures

		Value	Approx. Sig.
Nominal by Nominal	Contingency Coefficient	,111	,000
N of Valid Cases		4633	

Apêndice 3.20 - Correlação da variável FA vs presença de AVC isquêmico.

			AVC Isquêmico		Total
			Não	Sim	
ECG FA	Não	Count	1973	2065	4038
		% within ECG FA	48,9%	51,1%	100,0%
	Sim	Count	206	389	595
		% within ECG FA	34,6%	65,4%	100,0%
Total		Count	2179	2454	4633
		% within ECG FA	47,0%	53,0%	100,0%

Symmetric Measures

		Value	Approx. Sig.
Nominal by Nominal	Contingency Coefficient	,093	,000
N of Valid Cases		4866	

Apêndice 3.21 - Correlação da variável CE vs presença de AVC isquêmico.

			AVC Isquêmico		Total
			Não	Sim	
Ecocard CE	Não	Count	2136	2239	4375
		% within Ecocard CE	48,8%	51,2%	100,0%
	Sim	Count	43	215	258
		% within Ecocard CE	16,7%	83,3%	100,0%
Total		Count	2179	2454	4633
		% within Ecocard CE	47,0%	53,0%	100,0%

Symmetric Measures

		Value	Approx. Sig.
Nominal by Nominal	Contingency Coefficient	,135	,000
N of Valid Cases		4866	

• **FATORES DE RISCO NÃO MODIFICÁVEIS vs AVC HEMORRÁGICO**

Apêndice 3.22 - Correlação da variável sexo vs presença de AVC hemorrágico.

			AVC Hemorrágico		Total
			Não	Sim	
Sexo	Masculino	Count	1081	138	1219
		% within Sexo	88,7%	11,3%	100,0%
	Feminino	Count	1076	79	1155
		% within Sexo	93,2%	6,8%	100,0%
Total		Count	2157	217	2374
		% within Sexo	90,9%	9,1%	100,0%

**Symmetric Measures**

		Value	Approx. Sig.
Nominal by Nominal	Contingency Coefficient	,045	,002
N of Valid Cases		4866	

Apêndice 3.23 - Correlação da variável 56anos vs presença de AVC hemorrágico.

			AVC Hemorrágico		Total
			Não	Sim	
>56 anos	< 56 anos	Count	492	32	524
		% within >56 anos	93,9%	6,1%	100,0%
	>= 56 anos	Count	1665	185	1850
		% within >56 anos	90,0%	10,0%	100,0%
Total		Count	2157	217	2374
		% within >56 anos	90,9%	9,1%	100,0%

**Symmetric Measures**

		Value	Approx. Sig.
Nominal by Nominal	Contingency Coefficient	,056	,006
N of Valid Cases		2374	

Apêndice 3.24 – Correlação da variável informação genética de AVC vs presença de AVC hemorrágico.

**Crosstab**

			AVC Hemorrágico		Total
			Não	Sim	
Informação genética AVC	Não	Count	2089	200	2289
		% within Informação genética AVC	91,3%	8,7%	100,0%
	Sim	Count	68	17	85
		% within Informação genética AVC	80,0%	20,0%	100,0%

Total	Count	2157	217	2374
	% within Informação genética AVC	90,9%	9,1%	100,0%

Symmetric Measures

		Value	Approx. Sig.
Nominal by Nominal	Contingency Coefficient	,072	,000
N of Valid Cases		2374	

• **FATORES DE RISCO MODIFICÁVEIS vs AVC HEMORRÁGICO**

Apêndice 3.25 – Correlação da variável HTA vs presença de AVC hemorrágico.

			AVC Hemorrágico		Total
			Não	Sim	
HTA	Não	Count	843	43	886
		% within HTA	95,1%	4,9%	100,0%
	Sim	Count	1314	174	1488
		% within HTA	88,3%	11,7%	100,0%
Total		Count	2157	217	2374
		% within HTA	90,9%	9,1%	100,0%

Symmetric Measures

		Value	Approx. Sig.
Nominal by Nominal	Contingency Coefficient	,043	,003
N of Valid Cases		4866	

• **INDICAÇÃO vs FATORES DE RISCO NÃO MODIFICÁVEIS**

Apêndice 3.26 – Correlação da variável sexo vs indicação2.

			Indicação2											Total	
			Sem inf	AVC	AVC I H Dto	AVC I H Esq	AVC Lacunar	AVC Hemor.	AVC H H Esq	AVC H H Dto	AIT	AVC VB	Outras sem AVC		TV
Sexo	Masculino	Count	15	51	392	483	100	9	73	56	143	164	304	9	1799
		% within Sexo	,8%	2,8%	21,8%	26,8%	5,6%	,5%	4,1%	3,1%	7,9%	9,1%	16,9%	,5%	100,0%
	Feminino	Count	9	64	324	412	69	8	39	32	95	158	194	6	1410
		% within Sexo	,6%	4,5%	23,0%	29,2%	4,9%	,6%	2,8%	2,3%	6,7%	11,2%	13,8%	,4%	100,0%
Total		Count	24	115	716	895	169	17	112	88	238	322	498	15	3209
		% within Sexo	,7%	3,6%	22,3%	27,9%	5,3%	,5%	3,5%	2,7%	7,4%	10,0%	15,5%	,5%	100,0%

Symmetric Measures

		Value	Approx. Sig.
Nominal by Nominal	Contingency Coefficient	,089	,007
N of Valid Cases		3209	

Apêndice 3.27 – Correlação da variável 56anos vs indicação2.

			Indicação2											Total	
			Sem inf	AVC	AVC I H Dto	AVC I H Esq	AVC Lacunar	AVC Hemor.	AVC H H Esq	AVC H H Dto	AIT	AVC VB	Outras sem AVC		TV
56 anos	< 56 anos	Count	5	15	78	87	18	2	13	17	52	53	110	4	454
		% within 56 anos	1,1%	3,3%	17,2%	19,2%	4,0%	,4%	2,9%	3,7%	11,5%	11,7%	24,2%	,9%	100,0%
	> ou = 56 anos	Count	19	100	638	808	151	15	99	71	186	269	388	11	2755
		% within 56 anos	,7%	3,6%	23,2%	29,3%	5,5%	,5%	3,6%	2,6%	6,8%	9,8%	14,1%	,4%	100,0%
Total		Count	24	115	716	895	169	17	112	88	238	322	498	15	3209
		% within 56 anos	,7%	3,6%	22,3%	27,9%	5,3%	,5%	3,5%	2,7%	7,4%	10,0%	15,5%	,5%	100,0%

Symmetric Measures

		Value	Approx. Sig.
Nominal by Nominal	Contingency Coefficient	,143	,000
N of Valid Cases		3209	

Apêndice 3.28 – Correlação da variável antecedentes pessoais de AVC vs indicação2.

			Indicação2											Total	
			Sem inf	AVC	AVC I H Dto	AVC I H Esq	AVC Lacunar	AVC Hemor.	AVC H H Esq	AVC H H Dto	AIT	AVC VB	Outras sem AVC		TV
Ant P AVC	Não	Count	18	92	561	682	143	10	91	77	201	252	326	13	2466
		% within Ant P AVC	,7%	3,7%	22,7%	27,7%	5,8%	,4%	3,7%	3,1%	8,2%	10,2%	13,2%	,5%	100,0%
	Sim	Count	6	23	155	213	26	7	21	11	37	70	172	2	743
		% within Ant P AVC	,8%	3,1%	20,9%	28,7%	3,5%	,9%	2,8%	1,5%	5,0%	9,4%	23,1%	,3%	100,0%
Total		Count	24	115	716	895	169	17	112	88	238	322	498	15	3209
		% within Ant P AVC	,7%	3,6%	22,3%	27,9%	5,3%	,5%	3,5%	2,7%	7,4%	10,0%	15,5%	,5%	100,0%

Symmetric Measures

		Value	Approx. Sig.
Nominal by Nominal	Contingency Coefficient	,138	,000
N of Valid Cases		3209	

Apêndice 3.29 – Correlação da variável informação genética de AVC vs indicação2.

			Indicação2												Total
			Sem inf	AVC	AVC I H Dto	AVC I H Esq	AVC Lacunar	AVC Hemor.	AVC H H Esq	AVC H H Dto	AIT	AVC VB	Outras sem AVC	TV	
Informação genética AVC	Não	Count	23	104	616	781	144	17	100	83	196	262	445	15	2786
		% within Informação genética AVC	,8%	3,7%	22,1%	28,0%	5,2%	,6%	3,6%	3,0%	7,0%	9,4%	16,0%	,5%	100,0%
	Sim	Count	1	11	100	114	25	0	12	5	42	60	53	0	423
		% within Informação genética AVC	,2%	2,6%	23,6%	27,0%	5,9%	,0%	2,8%	1,2%	9,9%	14,2%	12,5%	,0%	100,0%
Total		Count	24	115	716	895	169	17	112	88	238	322	498	15	3209
		% within Informação genética AVC	,7%	3,6%	22,3%	27,9%	5,3%	,5%	3,5%	2,7%	7,4%	10,0%	15,5%	,5%	100,0%

Symmetric Measures

		Value	Approx. Sig.
Nominal by Nominal	Contingency Coefficient	,095	,002
N of Valid Cases		3209	

• **NDICAÇÃO vs FATORES DE RISCO MODIFICÁVEIS**

Apêndice 3.30 – Correlação da variável HTA vs indicação2.

			Indicação2												Total
			Sem inf	AVC	AVC I H Dto	AVC I H Esq	AVC Lacunar	AVC Hemor.	AVC H H Esq	AVC H H Dto	AIT	AVC VB	Outras sem AVC	TV	
HTA	Não	Count	8	33	128	190	34	3	24	16	53	80	159	6	734
		% within HTA	1,1%	4,5%	17,4%	25,9%	4,6%	,4%	3,3%	2,2%	7,2%	10,9%	21,7%	,8%	100,0%
	Sim	Count	16	82	588	705	135	14	88	72	185	242	339	9	2475
		% within HTA	,6%	3,3%	23,8%	28,5%	5,5%	,6%	3,6%	2,9%	7,5%	9,8%	13,7%	,4%	100,0%
Total		Count	24	115	716	895	169	17	112	88	238	322	498	15	3209
		% within HTA	,7%	3,6%	22,3%	27,9%	5,3%	,5%	3,5%	2,7%	7,4%	10,0%	15,5%	,5%	100,0%

Symmetric Measures

		Value	Approx. Sig.
Nominal by Nominal	Contingency Coefficient	,116	,000
N of Valid Cases		3209	

Apêndice 3.31 – Correlação da variável DM vs indicação2.

			Indicação2											Total	
			Sem inf	AVC	AVC I H Dto	AVC I H Esq	AVC Lacunar	AVC Hemor.	AVC H H Esq	AVC H H Dto	AIT	AVC VB	Outras sem AVC		TV
Dislipid.	Não	Count	15	77	469	616	107	14	82	63	137	208	276	8	2072
		% within Dislipid.	,7%	3,7%	22,6%	29,7%	5,2%	,7%	4,0%	3,0%	6,6%	10,0%	13,3%	,4%	100,0%
	Sim	Count	9	38	247	279	62	3	30	25	101	114	222	7	1137
		% within Dislipid.	,8%	3,3%	21,7%	24,5%	5,5%	,3%	2,6%	2,2%	8,9%	10,0%	19,5%	,6%	100,0%
Total		Count	24	115	716	895	169	17	112	88	238	322	498	15	3209
		% within Dislipid.	,7%	3,6%	22,3%	27,9%	5,3%	,5%	3,5%	2,7%	7,4%	10,0%	15,5%	,5%	100,0%

Symmetric Measures

		Value	Approx. Sig.
Nominal by Nominal	Contingency Coefficient	,111	,000
N of Valid Cases		3209	

Apêndice 3.32 – Correlação da variável Fumador vs indicação2.

			Indicação2											Total	
			Sem inf	AVC	AVC I H Dto	AVC I H Esq	AVC Lacunar	AVC Hemor.	AVC H H Esq	AVC H H Dto	AIT	AVC VB	Outras sem AVC		TV
Fumador ou não	Não	Count	21	95	545	704	124	15	95	70	169	234	342	8	2422
		% within Fumador ou não	,9%	3,9%	22,5%	29,1%	5,1%	,6%	3,9%	2,9%	7,0%	9,7%	14,1%	,3%	100,0%
	Sim	Count	3	20	171	191	45	2	17	18	69	88	156	7	787
		% within Fumador ou não	,4%	2,5%	21,7%	24,3%	5,7%	,3%	2,2%	2,3%	8,8%	11,2%	19,8%	,9%	100,0%
Total		Count	24	115	716	895	169	17	112	88	238	322	498	15	3209
		% within Fumador ou não	,7%	3,6%	22,3%	27,9%	5,3%	,5%	3,5%	2,7%	7,4%	10,0%	15,5%	,5%	100,0%

Symmetric Measures

		Value	Approx. Sig.
Nominal by Nominal	Contingency Coefficient	,109	,000
N of Valid Cases		3209	



Apêndice 3.33 – Correlação da variável FA vs indicação2.

			Indicação2											Total	
			Sem inf	AVC	AVC I H Dto	AVC I H Esq	AVC Lacunar	AVC Hemor.	AVC H H Esq	AVC H H Dto	AIT	AVC VB	Outras sem AVC		TV
ECG FA	Não	Count	22	99	594	724	149	14	105	73	213	287	465	14	2759
		% within ECG FA	,8%	3,6%	21,5%	26,2%	5,4%	,5%	3,8%	2,6%	7,7%	10,4%	16,9%	,5%	100,0%
	Sim	Count	2	16	122	171	20	3	7	15	25	35	33	1	450
		% within ECG FA	,4%	3,6%	27,1%	38,0%	4,4%	,7%	1,6%	3,3%	5,6%	7,8%	7,3%	,2%	100,0%
Total		Count	24	115	716	895	169	17	112	88	238	322	498	15	3209
		% within ECG FA	,7%	3,6%	22,3%	27,9%	5,3%	,5%	3,5%	2,7%	7,4%	10,0%	15,5%	,5%	100,0%

Symmetric Measures

		Value	Approx. Sig.
Nominal by Nominal	Contingency Coefficient	,136	,000
N of Valid Cases		3209	

• FATORES DE RISCO NÃO MODIFICÁVEIS vs TSC

Apêndice 3.34 – Correlação da variável sexo vs cv carot esq.

			CV Carot Esq										Total	
			Normal	Est Ligeira	Estenose Moderada	Est Grave	Est Pré-Oclusiva	Oclusão	Tortuosidade	Fístula	Ateromatose carotídea, sem reperc. hemodinâmica	Tort+Aterom sem reperc		Tortuosidade, compatível com Estenose
Sexo	Masculino	Count	410	7	55	40	21	65	28	1	1078	84	2	1791
		% within Sexo	22,9%	,4%	3,1%	2,2%	1,2%	3,6%	1,6%	,1%	60,2%	4,7%	,1%	100,0%
	Feminino	Count	401	4	39	15	13	24	64	0	708	128	13	1409
		% within Sexo	28,5%	,3%	2,8%	1,1%	,9%	1,7%	4,5%	,0%	50,2%	9,1%	,9%	100,0%
Total		Count	811	11	94	55	34	89	92	1	1786	212	15	3200
		% within Sexo	25,3%	,3%	2,9%	1,7%	1,1%	2,8%	2,9%	,0%	55,8%	6,6%	,5%	100,0%

Symmetric Measures

		Value	Approx. Sig.
Nominal by Nominal	Contingency Coefficient	,175	,000
N of Valid Cases		3200	

Apêndice 3.35 – Correlação da variável sexo vs cv carot dta.

		CV Carot Dta											Total	
		Normal	Est Ligeira	Estenose Moderada	Est Grave	Est Pré-Oclusiva	Oclusão	Tortuosidade	Fístula	Ateromatose carotídea, sem reperc. hemodinâmica	Tort+Aterom sem reperc	Tortuosidade, compatível com Estenose		
Sexo	Masculino	Count	442	1	55	26	34	50	25	1	1092	60	5	1791
		% within Sexo	24,7%	,1%	3,1%	1,5%	1,9%	2,8%	1,4%	,1%	61,0%	3,4%	,3%	100,0%
Feminino	Feminino	Count	446	9	27	10	12	36	54	0	712	90	13	1409
		% within Sexo	31,7%	,6%	1,9%	,7%	,9%	2,6%	3,8%	,0%	50,5%	6,4%	,9%	100,0%
Total		Count	888	10	82	36	46	86	79	1	1804	150	18	3200
		% within Sexo	27,8%	,3%	2,6%	1,1%	1,4%	2,7%	2,5%	,0%	56,4%	4,7%	,6%	100,0%

Symmetric Measures

		Value	Approx. Sig.
Nominal by Nominal	Contingency Coefficient	,168	,000
N of Valid Cases		3200	

Apêndice 3.36 – Correlação da variável sexo vs cv vert dta.

		CV Vert Dta											Total		
		Normal	Est Ligeira	Estenose Moderada	Est Grave	Est Pré-Oclusiva	Oclusão	Tortuosidade	Fístula	Ateromatose carotídea, sem reperc. hemodinâmica	Roubo da ASE	Tortuosidade, compatível com Estenose		Hipoplasia	
Sexo	Masculino	Count	1691	11	7	3	1	35	11	1	2	1	1	27	1791
		% within Sexo	94,4%	,6%	,4%	,2%	,1%	2,0%	,6%	,1%	,1%	,1%	,1%	,1%	1,5%
Feminino	Feminino	Count	1333	5	0	0	0	22	30	1	2	1	0	14	1408
		% within Sexo	94,7%	,4%	,0%	,0%	,0%	1,6%	2,1%	,1%	,1%	,1%	,0%	,0%	1,0%
Total		Count	3024	16	7	3	1	57	41	2	4	2	1	41	3199
		% within Sexo	94,5%	,5%	,2%	,1%	,0%	1,8%	1,3%	,1%	,1%	,1%	,0%	1,3%	100,0%

Symmetric Measures

		Value	Approx. Sig.
Nominal by Nominal	Contingency Coefficient	,092	,005
N of Valid Cases		3199	

Apêndice 3.37 – Correlação da variável sexo vs est uni/bil.

		Est Uni/Bil		Total	
		Unilateral	Bilateral		
Sexo	Masculino	Count	277	80	357
		% within Sexo	77,6%	22,4%	100,0%
Feminino	Feminino	Count	178	27	205
		% within Sexo	86,8%	13,2%	100,0%
Total		Count	455	107	562
		% within Sexo	81,0%	19,0%	100,0%

Symmetric Measures

		Value	Approx. Sig.
Nominal by Nominal	Contingency Coefficient	,113	,007
N of Valid Cases		562	

Apêndice 3.38 – Correlação da variável sexo vs n/grau est.

			N/Grau est					Total
			Normal ou <50%	>50%	>70%	>90%	Oclusão	
Sexo	Masculino	Count	1457	77	48	51	158	1791
		% within Sexo	81,4%	4,3%	2,7%	2,8%	8,8%	100,0%
	Feminino	Count	1231	49	26	21	82	1409
		% within Sexo	87,4%	3,5%	1,8%	1,5%	5,8%	100,0%
Total		Count	2688	126	74	72	240	3200
		% within Sexo	84,0%	3,9%	2,3%	2,3%	7,5%	100,0%

Symmetric Measures

		Value	Approx. Sig.
Nominal by Nominal	Contingency Coefficient	,085	,000
N of Valid Cases		3200	

Apêndice 3.39 – Correlação da variável 56anos vs cv carot esq.

			CV Carot Esq										Total	
			Normal	Est Ligeira	Estenose Moderada	Est Grave	Est Pré-Oclusiva	Oclusão	Tortuosidade	Fístula	Ateromatose carotídea, sem reperc. hemodinâmica	Tort+Aterom sem reperc		Tortuosidade, compatível com Estenose
56 anos	< 56 anos	Count	271	1	5	2	1	12	11	1	142	4	1	451
		% within 56 anos	60,1%	,2%	1,1%	,4%	,2%	2,7%	2,4%	,2%	31,5%	,9%	,2%	100,0%
	> ou = 56 anos	Count	540	10	89	53	33	77	81	0	1644	208	14	2749
		% within 56 anos	19,6%	,4%	3,2%	1,9%	1,2%	2,8%	2,9%	,0%	59,8%	7,6%	,5%	100,0%
Total		Count	811	11	94	55	34	89	92	1	1786	212	15	3200
		% within 56 anos	25,3%	,3%	2,9%	1,7%	1,1%	2,8%	2,9%	,0%	55,8%	6,6%	,5%	100,0%

Symmetric Measures

		Value	Approx. Sig.
Nominal by Nominal	Contingency Coefficient	,315	,000
N of Valid Cases		3200	

Apêndice 3.40 – Correlação da variável 56anos vs cv carot dta.

		CV Carot Dta											Total	
		Normal	Est Ligeira	Estenose Moderada	Est Grave	Est Pré-Oclusiva	Oclusão	Tortuosidade	Fístula	Ateromatose carotídea, sem reperc. hemodinâmica	Tort+Aterom sem reperc	Tortuosidade, compatível com Estenose		
56 anos	< 56 anos	Count	274	0	1	2	9	6	7	1	146	5	0	451
		% within 56 anos	60,8%	,0%	,2%	,4%	2,0%	1,3%	1,6%	,2%	32,4%	1,1%	,0%	100,0%
	> ou = 56 anos	Count	614	10	81	34	37	80	72	0	1658	145	18	2749
		% within 56 anos	22,3%	,4%	2,9%	1,2%	1,3%	2,9%	2,6%	,0%	60,3%	5,3%	,7%	100,0%
Total		Count	888	10	82	36	46	86	79	1	1804	150	18	3200
		% within 56 anos	27,8%	,3%	2,6%	1,1%	1,4%	2,7%	2,5%	,0%	56,4%	4,7%	,6%	100,0%

Symmetric Measures

		Value	Approx. Sig.
Nominal by Nominal	Contingency Coefficient	,295	,000
N of Valid Cases		3200	

Apêndice 3.41 – Correlação da variável 56anos vs cv vert esq.

		CV Vert Esq													Total	
		Normal	Est Ligeira	Estenose Moderada	Est Grave	Est Pré-Oclusiva	Oclusão	Tortuosidade	Fístula	Ateromatose carotídea, sem reperc. hemodinâmica	Roubo da ASE	Tort+Aterom sem reperc	Tortuosidade, compatível com Estenose	Hipoplasia		
56 anos	< 56 anos	Count	427	4	0	0	4	6	4	1	0	0	1	0	4	451
		% within 56 anos	94,7%	,9%	,0%	,0%	,9%	1,3%	,9%	,2%	,0%	,0%	,2%	,0%	,9%	100,0%
	> ou = 56 anos	Count	2595	25	9	9	0	41	39	1	3	1	0	3	22	2748
		% within 56 anos	94,4%	,9%	,3%	,3%	,0%	1,5%	1,4%	,0%	,1%	,0%	,0%	,1%	,8%	100,0%
Total		Count	3022	29	9	9	4	47	43	2	3	1	3	26	3199	
		% within 56 anos	94,5%	,9%	,3%	,3%	,1%	1,5%	1,3%	,1%	,1%	,0%	,0%	,1%	,8%	100,0%

Symmetric Measures

		Value	Approx. Sig.
Nominal by Nominal	Contingency Coefficient	,108	,000
N of Valid Cases		3199	

Apêndice 3.42 – Correlação da variável 56anos vs est uni/bil.

		Est Uni/Bil		Total	
		Unilateral	Bilateral		
56 anos	< 56 anos	Count	52	5	57
		% within 56 anos	91,2%	8,8%	100,0%
	> ou = 56 anos	Count	403	102	505
		% within 56 anos	79,8%	20,2%	100,0%

Total	Count	455	107	562
	% within 56 anos	81,0%	19,0%	100,0%

Symmetric Measures

		Value	Approx. Sig.
Nominal by Nominal	Contingency Coefficient	,088	,037
N of Valid Cases		562	

Apêndice 3.43 – Correlação da variável 56anos vs n/grau est.

			N/Grau est					Total
			Normal ou <50%	>50%	>70%	>90%	Oclusão	
56 anos	< 56 anos	Count	399	5	3	13	31	451
		% within 56 anos	88,5%	1,1%	,7%	2,9%	6,9%	100,0%
	> ou = 56 anos	Count	2289	121	71	59	209	2749
		% within 56 anos	83,3%	4,4%	2,6%	2,1%	7,6%	100,0%
Total		Count	2688	126	74	72	240	3200
		% within 56 anos	84,0%	3,9%	2,3%	2,3%	7,5%	100,0%

Symmetric Measures

		Value	Approx. Sig.
Nominal by Nominal	Contingency Coefficient	,077	,001
N of Valid Cases		3200	

Apêndice 3.44 – Correlação da variável antecedentes pessoais de AVC vs cv carot esq.

			CV Carot Esq											Total
			Normal	Est Ligeira	Estenose Moderada	Est Grave	Est Pré-Oclusiva	Oclusão	Tortuosidade	Fístula	Ateromatose carotídea, sem reperc. hemodinâmica	Tort++Aterom sem reperc	Tortuosidade, compatível com Estenose	
Ant P AVC	Não	Count	665	8	55	42	22	65	78	1	1358	152	13	2459
		% within Ant P AVC	27,0%	,3%	2,2%	1,7%	,9%	2,6%	3,2%	,0%	55,2%	6,2%	,5%	100,0%
	Sim	Count	146	3	39	13	12	24	14	0	428	60	2	741
		% within Ant P AVC	19,7%	,4%	5,3%	1,8%	1,6%	3,2%	1,9%	,0%	57,8%	8,1%	,3%	100,0%
Total		Count	811	11	94	55	34	89	92	1	1786	212	15	3200
		% within Ant P AVC	25,3%	,3%	2,9%	1,7%	1,1%	2,8%	2,9%	,0%	55,8%	6,6%	,5%	100,0%

Symmetric Measures

		Value	Approx. Sig.
Nominal by Nominal	Contingency Coefficient	,113	,000
N of Valid Cases		3200	

Apêndice 3.45 – Correlação da variável antecedentes pessoais de AVC vs cv carot dta.

			CV Carot Dta										Total	
			Normal	Est Ligeira	Estenose Moderada	Est Grave	Est Pré-Oclusiva	Oclusão	Tortuosidade	Fístula	Ateromatose carotídea, sem reperc. hemodinâmica	Tort+Aterom sem reperc		Tortuosidade, compatível com Estenose
Ant P AVC	Não	Count	735	8	49	26	34	58	70	1	1352	113	13	2459
		% within Ant P AVC	29,9%	,3%	2,0%	1,1%	1,4%	2,4%	2,8%	,0%	55,0%	4,6%	,5%	100,0%
	Sim	Count	153	2	33	10	12	28	9	0	452	37	5	741
		% within Ant P AVC	20,6%	,3%	4,5%	1,3%	1,6%	3,8%	1,2%	,0%	61,0%	5,0%	,7%	100,0%
Total		Count	888	10	82	36	46	86	79	1	1804	150	18	3200
		% within Ant P AVC	27,8%	,3%	2,6%	1,1%	1,4%	2,7%	2,5%	,0%	56,4%	4,7%	,6%	100,0%

Symmetric Measures

		Value	Approx. Sig.
Nominal by Nominal	Contingency Coefficient	,120	,000
N of Valid Cases		3200	

Apêndice 3.46 – Correlação da variável antecedentes pessoais de AVC vs n/grau est.

			N/Grau est					Total
			Normal ou <50%	>50%	>70%	>90%	Oclusão	
Ant P AVC	Não	Count	2101	75	55	55	173	2459
		% within Ant P AVC	85,4%	3,1%	2,2%	2,2%	7,0%	100,0%
	Sim	Count	587	51	19	17	67	741
		% within Ant P AVC	79,2%	6,9%	2,6%	2,3%	9,0%	100,0%
Total		Count	2688	126	74	72	240	3200
		% within Ant P AVC	84,0%	3,9%	2,3%	2,3%	7,5%	100,0%

Symmetric Measures

		Value	Approx. Sig.
Nominal by Nominal	Contingency Coefficient	,092	,000
N of Valid Cases		3200	

Apêndice 3.47 – Correlação da variável antecedentes pessoais de EAM vs cv carot esq.

			CV Carot Esq										Total	
			Normal	Est Ligeira	Estenose Moderada	Est Grave	Est Pré-Oclusiva	Oclusão	Tortuosidade	Fístula	Ateromatose carotídea, sem reperc. hemodinâmica	Tort+Aterom sem reperc		Tortuosidade, compatível com Estenose
Ant P EAM	Não	Count	780	9	91	47	31	76	91	1	1660	201	14	3001
		% within Ant P EAM	26,0%	,3%	3,0%	1,6%	1,0%	2,5%	3,0%	,0%	55,3%	6,7%	,5%	100,0%
	Sim	Count	31	2	3	8	3	13	1	0	126	11	1	199
		% within Ant P EAM	15,6%	1,0%	1,5%	4,0%	1,5%	6,5%	,5%	,0%	63,3%	5,5%	,5%	100,0%
Total		Count	811	11	94	55	34	89	92	1	1786	212	15	3200
		% within Ant P EAM	25,3%	,3%	2,9%	1,7%	1,1%	2,8%	2,9%	,0%	55,8%	6,6%	,5%	100,0%

Symmetric Measures

		Value	Approx. Sig.
Nominal by Nominal	Contingency Coefficient	,106	,000
N of Valid Cases		3200	

Apêndice 3.48 – Correlação da variável antecedentes pessoais de EAM vs cv carot dta.

			CV Carot Dta										Total	
			Normal	Est Ligeira	Estenose Moderada	Est Grave	Est Pré-Oclusiva	Oclusão	Tortuosidade	Fístula	Ateromatose carotídea, sem reperc. hemodinâmica	Tort+Aterom sem reperc		Tortuosidade, compatível com Estenose
Ant P EAM	Não	Count	855	10	72	29	43	82	79	1	1674	141	15	3001
		% within Ant P EAM	28,5%	,3%	2,4%	1,0%	1,4%	2,7%	2,6%	,0%	55,8%	4,7%	,5%	100,0%
	Sim	Count	33	0	10	7	3	4	0	0	130	9	3	199
		% within Ant P EAM	16,6%	,0%	5,0%	3,5%	1,5%	2,0%	,0%	,0%	65,3%	4,5%	1,5%	100,0%
Total		Count	888	10	82	36	46	86	79	1	1804	150	18	3200
		% within Ant P EAM	27,8%	,3%	2,6%	1,1%	1,4%	2,7%	2,5%	,0%	56,4%	4,7%	,6%	100,0%

Symmetric Measures

		Value	Approx. Sig.
Nominal by Nominal	Contingency Coefficient	,108	,000
N of Valid Cases		3200	

Apêndice 3.49 – Correlação da variável antecedentes pessoais de EAM vs est uni/bil.

			Est Uni/Bil		Total
			Unilateral	Bilateral	
Ant P EAM	Não	Count	425	90	515
		% within Ant P EAM	82,5%	17,5%	100,0%
	Sim	Count	30	17	47
		% within Ant P EAM	63,8%	36,2%	100,0%
Total		Count	455	107	562
		% within Ant P EAM	81,0%	19,0%	100,0%

Symmetric Measures

		Value	Approx. Sig.
Nominal by Nominal	Contingency Coefficient	,131	,002
N of Valid Cases		562	

Apêndice 3.50 – Correlação da variável antecedentes pessoais de EAM vs n/grau est.

			N/Grau est					Total
			Normal ou <50%	>50%	>70%	>90%	Oclusão	
Ant P EAM	Não	Count	2532	123	65	65	216	3001

		% within Ant P EAM	84,4%	4,1%	2,2%	2,2%	7,2%	100,0%
	Sim	Count	156	3	9	7	24	199
		% within Ant P EAM	78,4%	1,5%	4,5%	3,5%	12,1%	100,0%
Total		Count	2688	126	74	72	240	3200
		% within Ant P EAM	84,0%	3,9%	2,3%	2,3%	7,5%	100,0%

Symmetric Measures

		Value	Approx. Sig.
Nominal by Nominal	Contingency Coefficient	,070	,003
N of Valid Cases		3200	

Apêndice 3.51 – Correlação da variável informação genética de AVC vs cvcarot dta.

			CV Carot Dta											Total
			Normal	Est Ligeira	Estenose Moderada	Est Grave	Est Pré-Oclusiva	Oclusão	Tortuosidade	Fístula	Ateromatose carotídea, sem reperc. hemodinâmica	Tort+ Aterom sem reperc	Tortuosidade, compatível com Estenose	
Ant F 1ºG AVC	Não	Count	741	7	71	31	42	75	63	1	1596	134	16	2777
		% within Ant F 1ºG AVC	26,7%	,3%	2,6%	1,1%	1,5%	2,7%	2,3%	,0%	57,5%	4,8%	,6%	100,0%
	Sim, com idade < 65anos	Count	59	1	6	3	1	8	11	0	72	7	0	168
		% within Ant F 1ºG AVC	35,1%	,6%	3,6%	1,8%	,6%	4,8%	6,5%	,0%	42,9%	4,2%	,0%	100,0%
	Sim, com idade >= 65anos	Count	88	2	5	2	3	3	5	0	136	9	2	255
		% within Ant F 1ºG AVC	34,5%	,8%	2,0%	,8%	1,2%	1,2%	2,0%	,0%	53,3%	3,5%	,8%	100,0%
Total		Count	888	10	82	36	46	86	79	1	1804	150	18	3200
		% within Ant F 1ºG AVC	27,8%	,3%	2,6%	1,1%	1,4%	2,7%	2,5%	,0%	56,4%	4,7%	,6%	100,0%

Symmetric Measures

		Value	Approx. Sig.
Nominal by Nominal	Contingency Coefficient	,111	,005
N of Valid Cases		3200	

Apêndice 3.52 – Correlação da variável informação genética de EAM vs cvcarot esq.

			CV Carot Esq											Total
			Normal	Est Ligeira	Estenose Moderada	Est Grave	Est Pré-Oclusiva	Oclusão	Tortuosidade	Fístula	Ateromatose carotídea, sem reperc. hemodinâmica	Tort+ Aterom sem reperc	Tortuosidade, compatível com Estenose	
Ant F 1ºG EAM	Não	Count	743	9	88	52	33	85	82	1	1663	208	13	2977
		% within Ant F 1ºG EAM	25,0%	,3%	3,0%	1,7%	1,1%	2,9%	2,8%	,0%	55,9%	7,0%	,4%	100,0%
	Sim, com idade < 65anos	Count	35	0	2	0	0	1	4	0	49	0	2	93
		% within Ant F 1ºG EAM	37,6%	,0%	2,2%	,0%	,0%	1,1%	4,3%	,0%	52,7%	,0%	2,2%	100,0%
	Sim, com idade >= 65anos	Count	33	2	4	3	1	3	6	0	74	4	0	130
		% within Ant F 1ºG EAM	25,4%	1,5%	3,1%	2,3%	,8%	2,3%	4,6%	,0%	56,9%	3,1%	,0%	100,0%
Total		Count	811	11	94	55	34	89	92	1	1786	212	15	3200
		% within Ant F 1ºG EAM	25,3%	,3%	2,9%	1,7%	1,1%	2,8%	2,9%	,0%	55,8%	6,6%	,5%	100,0%



Symmetric Measures

		Value	Approx. Sig.
Nominal by Nominal	Contingency Coefficient	,102	,027
N of Valid Cases		3200	

• FATORES DE RISCO MODIFICÁVEIS vs TSC

Apêndice 3.53 – Correlação da variável HTA vs cv carot esq.

			CV Carot Esq											
			Normal	Est Ligeira	Estenose Moderada	Est Grave	Est Pré-Oclusiva	Oclusão	Tortuosidade	Fístula	Ateromatose carotídea, sem reperc. hemodinâmica	Tort+Aterom sem reperc	Tortuosidade, compatível com Estenose	Total
HTA	Não	Count	251	2	16	8	7	23	25	1	358	38	2	731
		% within HTA	34,3%	,3%	2,2%	1,1%	1,0%	3,1%	3,4%	,1%	49,0%	5,2%	,3%	100,0%
	Sim	Count	560	9	78	47	27	66	67	0	1428	174	13	2469
		% within HTA	22,7%	,4%	3,2%	1,9%	1,1%	2,7%	2,7%	,0%	57,8%	7,0%	,5%	100,0%
Total		Count	811	11	94	55	34	89	92	1	1786	212	15	3200
		% within HTA	25,3%	,3%	2,9%	1,7%	1,1%	2,8%	2,9%	,0%	55,8%	6,6%	,5%	100,0%

Symmetric Measures

		Value	Approx. Sig.
Nominal by Nominal	Contingency Coefficient	,125	,000
N of Valid Cases		3200	

Apêndice 3.54 – Correlação da variável HTA vs cv carot dta.

			CV Carot Dta											
			Normal	Est Ligeira	Estenose Moderada	Est Grave	Est Pré-Oclusiva	Oclusão	Tortuosidade	Fístula	Ateromatose carotídea, sem reperc. hemodinâmica	Tort+Aterom sem reperc	Tortuosidade, compatível com Estenose	Total
HTA	Não	Count	269	2	10	7	9	16	13	1	368	33	3	731
		% within HTA	36,8%	,3%	1,4%	1,0%	1,2%	2,2%	1,8%	,1%	50,3%	4,5%	,4%	100,0%
	Sim	Count	619	8	72	29	37	70	66	0	1436	117	15	2469
		% within HTA	25,1%	,3%	2,9%	1,2%	1,5%	2,8%	2,7%	,0%	58,2%	4,7%	,6%	100,0%
Total		Count	888	10	82	36	46	86	79	1	1804	150	18	3200
		% within HTA	27,8%	,3%	2,6%	1,1%	1,4%	2,7%	2,5%	,0%	56,4%	4,7%	,6%	100,0%

Symmetric Measures

		Value	Approx. Sig.
Nominal by Nominal	Contingency Coefficient	,120	,000
N of Valid Cases		3200	

Apêndice 3.55 – Correlação da variável HTA vs n/grau est.

			N/Grau est					Total
			Normal ou <50%	>50%	>70%	>90%	Oclusão	
HTA	Não	Count	642	17	12	13	47	731
		% within HTA	87,8%	2,3%	1,6%	1,8%	6,4%	100,0%
	Sim	Count	2046	109	62	59	193	2469
		% within HTA	82,9%	4,4%	2,5%	2,4%	7,8%	100,0%
Total		Count	2688	126	74	72	240	3200
		% within HTA	84,0%	3,9%	2,3%	2,3%	7,5%	100,0%

Symmetric Measures

		Value	Approx. Sig.
Nominal by Nominal	Contingency Coefficient	,061	,016
N of Valid Cases		3200	

Apêndice 3.55 – Correlação da variável DM vs cv carot esq.

			CV Carot Esq										Total	
			Normal	Est Ligeira	Estenose Moderada	Est Grave	Est Pré-Oclusiva	Oclusão	Tortuosidade	Fístula	Ateromatose carotídea, sem reperc. hemodinâmica	Tort+Aterom sem reperc		Tortuosidade, compatível com Estenose
DM	Não	Count	633	8	51	30	23	63	66	1	1236	150	11	2272
		% within DM	27,9%	,4%	2,2%	1,3%	1,0%	2,8%	2,9%	,0%	54,4%	6,6%	,5%	100,0%
	Sim	Count	178	3	43	25	11	26	26	0	550	62	4	928
		% within DM	19,2%	,3%	4,6%	2,7%	1,2%	2,8%	2,8%	,0%	59,3%	6,7%	,4%	100,0%
Total		Count	811	11	94	55	34	89	92	1	1786	212	15	3200
		% within DM	25,3%	,3%	2,9%	1,7%	1,1%	2,8%	2,9%	,0%	55,8%	6,6%	,5%	100,0%

Symmetric Measures

		Value	Approx. Sig.
Nominal by Nominal	Contingency Coefficient	,115	,000
N of Valid Cases		3200	

Apêndice 3.56 – Correlação da variável DM vs cv carot dta.

			CV Carot Dta										Total	
			Normal	Est Ligeira	Estenose Moderada	Est Grave	Est Pré-Oclusiva	Oclusão	Tortuosidade	Fístula	Ateromatose carotídea, sem reperc. hemodinâmica	Tort+Aterom sem reperc		Tortuosidade, compatível com Estenose
DM	Não	Count	672	6	52	24	28	57	57	1	1254	108	13	2272
		% within DM	29,6%	,3%	2,3%	1,1%	1,2%	2,5%	2,5%	,0%	55,2%	4,8%	,6%	100,0%
	Sim	Count	216	4	30	12	18	29	22	0	550	42	5	928
		% within DM	23,3%	,4%	3,2%	1,3%	1,9%	3,1%	2,4%	,0%	59,3%	4,5%	,5%	100,0%

Total	Count	888	10	82	36	46	86	79	1	1804	150	18	3200
	% within DM	27,8%	,3%	2,6%	1,1%	1,4%	2,7%	2,5%	,0%	56,4%	4,7%	,6%	100,0%

Symmetric Measures

		Value	Approx. Sig.
Nominal by Nominal	Contingency Coefficient	,075	,049
N of Valid Cases		3200	

Apêndice 3.57 – Correlação da variável DM vs n/grau est.

			N/Grau est					Total
			Normal ou <50%	>50%	>70%	>90%	Oclusão	
DM	Não	Count	1943	72	47	46	164	2272
		% within DM	85,5%	3,2%	2,1%	2,0%	7,2%	100,0%
	Sim	Count	745	54	27	26	76	928
		% within DM	80,3%	5,8%	2,9%	2,8%	8,2%	100,0%
Total		Count	2688	126	74	72	240	3200
		% within DM	84,0%	3,9%	2,3%	2,3%	7,5%	100,0%

Symmetric Measures

		Value	Approx. Sig.
Nominal by Nominal	Contingency Coefficient	,076	,001
N of Valid Cases		3200	

Apêndice 3.58 – Correlação da variável dislipidemia vs cv carot dta.

			CV Carot Dta										Total	
			Normal	Est Ligeira	Estenose Moderada	Est Grave	Est Pré-Oclusiva	Oclusão	Tortuosidade	Fístula	Ateromatose carotídea, sem reperc. hemodinâmica	Tort+Aterom sem reperc		Tortuosidade, compatível com Estenose
Dislipid.	Não	Count	608	6	44	23	23	54	58	1	1143	91	12	2063
		% within Dislipid.	29,5%	,3%	2,1%	1,1%	1,1%	2,6%	2,8%	,0%	55,4%	4,4%	,6%	100,0%
	Sim	Count	280	4	38	13	23	32	21	0	661	59	6	1137
		% within Dislipid.	24,6%	,4%	3,3%	1,1%	2,0%	2,8%	1,8%	,0%	58,1%	5,2%	,5%	100,0%
Total		Count	888	10	82	36	46	86	79	1	1804	150	18	3200
		% within Dislipid.	27,8%	,3%	2,6%	1,1%	1,4%	2,7%	2,5%	,0%	56,4%	4,7%	,6%	100,0%

Symmetric Measures

		Value	Approx. Sig.
Nominal by Nominal	Contingency Coefficient	,079	,029
N of Valid Cases		3200	

Apêndice 3.59 – Correlação da variável tabagismo vs cv carot esq.

			CV Carot Esq											Total
			Normal	Est Ligeira	Estenose Moderada	Est Grave	Est Pré-Oclusiva	Oclusão	Tortuosidade	Fístula	Ateromatose carotídea, sem reperc. hemodinâmica	Tort+Aterom sem reperc	Tortuosidade, compatível com Estenose	
Tabag.	Não	Count	617	10	63	34	24	66	75	1	1329	181	14	2414
		% within Tabag.	25,6%	,4%	2,6%	1,4%	1,0%	2,7%	3,1%	,0%	55,1%	7,5%	,6%	100,0%
	Sim	Count	92	1	15	7	5	8	9	0	170	14	0	321
		% within Tabag.	28,7%	,3%	4,7%	2,2%	1,6%	2,5%	2,8%	,0%	53,0%	4,4%	,0%	100,0%
	Ex-fmndr	Count	102	0	16	14	5	15	8	0	287	17	1	465
		% within Tabag.	21,9%	,0%	3,4%	3,0%	1,1%	3,2%	1,7%	,0%	61,7%	3,7%	,2%	100,0%
Total		Count	811	11	94	55	34	89	92	1	1786	212	15	3200
		% within Tabag.	25,3%	,3%	2,9%	1,7%	1,1%	2,8%	2,9%	,0%	55,8%	6,6%	,5%	100,0%

Symmetric Measures

		Value	Approx. Sig.
Nominal by Nominal	Contingency Coefficient	,109	,008
N of Valid Cases		3200	

Apêndice 3.60 – Correlação da variável tabagismo vs cv carot dta.

			CV Carot Dta											Total
			Normal	Est Ligeira	Estenose Moderada	Est Grave	Est Pré-Oclusiva	Oclusão	Tortuosidade	Fístula	Ateromatose carotídea, sem reperc. hemodinâmica	Tort+Aterom sem reperc	Tortuosidade, compatível com Estenose	
Tabag.	Não	Count	672	10	65	23	30	65	71	1	1343	119	15	2414
		% within Tabag.	27,8%	,4%	2,7%	1,0%	1,2%	2,7%	2,9%	,0%	55,6%	4,9%	,6%	100,0%
	Sim	Count	93	0	4	5	11	7	3	0	180	17	1	321
		% within Tabag.	29,0%	,0%	1,2%	1,6%	3,4%	2,2%	,9%	,0%	56,1%	5,3%	,3%	100,0%
	Ex-fmndr	Count	123	0	13	8	5	14	5	0	281	14	2	465
		% within Tabag.	26,5%	,0%	2,8%	1,7%	1,1%	3,0%	1,1%	,0%	60,4%	3,0%	,4%	100,0%
Total		Count	888	10	82	36	46	86	79	1	1804	150	18	3200
		% within Tabag.	27,8%	,3%	2,6%	1,1%	1,4%	2,7%	2,5%	,0%	56,4%	4,7%	,6%	100,0%

Symmetric Measures

		Value	Approx. Sig.
Nominal by Nominal	Contingency Coefficient	,103	,026
N of Valid Cases		3200	

Apêndice 3.61 – Correlação da variável tabagismo vs est uni/bil.

			Est Uni/Bil		Total
			Unilateral	Bilateral	
Tabag.	Não	Count	344	68	412
		% within Tabag.	83,5%	16,5%	100,0%
	Sim	Count	57	11	68
		% within Tabag.	83,8%	16,2%	100,0%
	Ex-fmdr	Count	54	28	82
		% within Tabag.	65,9%	34,1%	100,0%
Total		Count	455	107	562
		% within Tabag.	81,0%	19,0%	100,0%

Symmetric Measures

		Value	Approx. Sig.
Nominal by Nominal	Contingency Coefficient	,157	,001
N of Valid Cases		562	

Apêndice 3.62 – Correlação da variável tabagismo vs n/grau est.

			N/Grau est					Total
			Normal ou <50%	>50%	>70%	>90%	Oclusão	
Tabag.	Não	Count	2044	100	49	45	176	2414
		% within Tabag.	84,7%	4,1%	2,0%	1,9%	7,3%	100,0%
	Sim	Count	256	14	10	16	25	321
		% within Tabag.	79,8%	4,4%	3,1%	5,0%	7,8%	100,0%
	Ex-fmdr	Count	388	12	15	11	39	465
		% within Tabag.	83,4%	2,6%	3,2%	2,4%	8,4%	100,0%
Total		Count	2688	126	74	72	240	3200
		% within Tabag.	84,0%	3,9%	2,3%	2,3%	7,5%	100,0%

Symmetric Measures

		Value	Approx. Sig.
Nominal by Nominal	Contingency Coefficient	,078	,011
N of Valid Cases		3200	

Apêndice 3.63 – Correlação da variável FA vs cv carot esq.

			CV Carot Esq										Total	
			Normal	Est Ligeira	Estenose Moderada	Est Grave	Est Pré-Oclusiva	Oclusão	Tortuosidade	Fístula	Ateromatose carotídea, sem reperc. hemodinâmica	Tort+Aterom sem reperc		Tortuosidade, compatível com Estenose
ECG FA	Não	Count	721	10	87	49	34	69	85	1	1516	166	14	2752
		% within ECG FA	26,2%	,4%	3,2%	1,8%	1,2%	2,5%	3,1%	,0%	55,1%	6,0%	,5%	100,0%
	Sim	Count	90	1	7	6	0	20	7	0	270	46	1	448

	% within ECG FA	20,1%	,2%	1,6%	1,3%	,0%	4,5%	1,6%	,0%	60,3%	10,3%	,2%	100,0%
Total	Count	811	11	94	55	34	89	92	1	1786	212	15	3200
	% within ECG FA	25,3%	,3%	2,9%	1,7%	1,1%	2,8%	2,9%	,0%	55,8%	6,6%	,5%	100,0%

Symmetric Measures

		Value	Approx. Sig.
Nominal by Nominal	Contingency Coefficient	,107	,000
N of Valid Cases		3200	

Apêndice 3.64 – Correlação da variável FA vs cv carot dta.

			CV Carot Dta										Total	
			Normal	Est Ligeira	Estenose Moderada	Est Grave	Est Pré-Oclusiva	Oclusão	Tortuosidade	Fístula	Ateromatose carotídea, sem reperc. hemodinâmica	Tort+Aterom sem reperc		Tortuosidade, compatível com Estenose
ECG FA	Não	Count	795	8	72	30	39	68	70	1	1530	121	18	2752
		% within ECG FA	28,9%	,3%	2,6%	1,1%	1,4%	2,5%	2,5%	,0%	55,6%	4,4%	,7%	100,0%
ECG FA	Sim	Count	93	2	10	6	7	18	9	0	274	29	0	448
		% within ECG FA	20,8%	,4%	2,2%	1,3%	1,6%	4,0%	2,0%	,0%	61,2%	6,5%	,0%	100,0%
Total		Count	888	10	82	36	46	86	79	1	1804	150	18	3200
		% within ECG FA	27,8%	,3%	2,6%	1,1%	1,4%	2,7%	2,5%	,0%	56,4%	4,7%	,6%	100,0%

Symmetric Measures

		Value	Approx. Sig.
Nominal by Nominal	Contingency Coefficient	,084	,012
N of Valid Cases		3200	

Apêndice 3.65 – Correlação da variável FA vs n/grau est.

			N/Grau est					Total
			Normal ou <50%	>50%	>70%	>90%	Oclusão	
ECG FA	Não	Count	2320	112	65	65	190	2752
		% within ECG FA	84,3%	4,1%	2,4%	2,4%	6,9%	100,0%
ECG FA	Sim	Count	368	14	9	7	50	448
		% within ECG FA	82,1%	3,1%	2,0%	1,6%	11,2%	100,0%
Total		Count	2688	126	74	72	240	3200
		% within ECG FA	84,0%	3,9%	2,3%	2,3%	7,5%	100,0%

Symmetric Measures

		Value	Approx. Sig.
Nominal by Nominal	Contingency Coefficient	,060	,020
N of Valid Cases		3200	

Apêndice 3.66 – Correlação da variável CE vs cv carot esq.

		CV Carot Esq											Total	
		Normal	Est Ligeira	Estenose Moderada	Est Grave	Est Pré-Oclusiva	Oclusão	Tortuosidade	Fístula	Ateromatose carotídea, sem reperc. hemodinâmica	Tort+Aterom sem reperc	Tortuosidade, compatível com Estenose		
Ecocard CE	Não	Count	763	10	82	52	33	77	87	1	1630	187	14	2936
		% within Ecocard CE	26,0%	,3%	2,8%	1,8%	1,1%	2,6%	3,0%	,0%	55,5%	6,4%	,5%	100,0%
	Sim	Count	48	1	12	3	1	12	5	0	156	25	1	264
		% within Ecocard CE	18,2%	,4%	4,5%	1,1%	,4%	4,5%	1,9%	,0%	59,1%	9,5%	,4%	100,0%
Total		Count	811	11	94	55	34	89	92	1	1786	212	15	3200
		% within Ecocard CE	25,3%	,3%	2,9%	1,7%	1,1%	2,8%	2,9%	,0%	55,8%	6,6%	,5%	100,0%

Symmetric Measures

		Value	Approx. Sig.
Nominal by Nominal	Contingency Coefficient	,076	,046
N of Valid Cases		3200	

Apêndice 3.67 – Correlação da variável CE vs cv carot dta.

		CV Carot Dta											Total	
		Normal	Est Ligeira	Estenose Moderada	Est Grave	Est Pré-Oclusiva	Oclusão	Tortuosidade	Fístula	Ateromatose carotídea, sem reperc. hemodinâmica	Tort+Aterom sem reperc	Tortuosidade, compatível com Estenose		
Ecocard CE	Não	Count	841	10	71	33	43	79	75	1	1630	137	16	2936
		% within Ecocard CE	28,6%	,3%	2,4%	1,1%	1,5%	2,7%	2,6%	,0%	55,5%	4,7%	,5%	100,0%
	Sim	Count	47	0	11	3	3	7	4	0	174	13	2	264
		% within Ecocard CE	17,8%	,0%	4,2%	1,1%	1,1%	2,7%	1,5%	,0%	65,9%	4,9%	,8%	100,0%
Total		Count	888	10	82	36	46	86	79	1	1804	150	18	3200
		% within Ecocard CE	27,8%	,3%	2,6%	1,1%	1,4%	2,7%	2,5%	,0%	56,4%	4,7%	,6%	100,0%

Symmetric Measures

		Value	Approx. Sig.
Nominal by Nominal	Contingency Coefficient	,079	,027
N of Valid Cases		3200	

Apêndice 3.68 – Anova entre fatores de risco modificáveis e IIM.

Test of Homogeneity of Variances

	Levene Statistic	df1	df2	Sig.
HTA	23,317	4	3204	,000
DM	2,637	4	3204	,032
Dislipid.	3,040	4	3204	,016
Tabag.	3,554	4	3204	,007
ECG FA	4,004	4	3204	,003
Ecocard CE	10,046	4	3204	,000

## ANOVA

		Sum of Squares	Df	Mean Square	F	Sig.
HTA	Between Groups	3,416	4	,854	4,862	,001
	Within Groups	562,695	3204	,176		
	Total	566,111	3208			
DM	Between Groups	,537	4	,134	,652	,626
	Within Groups	660,359	3204	,206		
	Total	660,897	3208			
Dislipid.	Between Groups	,603	4	,151	,658	,621
	Within Groups	733,540	3204	,229		
	Total	734,143	3208			
Tabag.	Between Groups	2,355	4	,589	1,114	,348
	Within Groups	1693,394	3204	,529		
	Total	1695,748	3208			
ECG FA	Between Groups	,497	4	,124	1,031	,390
	Within Groups	386,399	3204	,121		
	Total	386,896	3208			
Ecocard CE	Between Groups	,780	4	,195	2,586	,035
	Within Groups	241,502	3204	,075		
	Total	242,281	3208			

## Robust Tests of Equality of Means

		Statistic <sup>a</sup>	df1	df2	Sig.
HTA	Welch	5,771	4	432,128	,000
	Brown-Forsythe	5,478	4	874,565	,000
DM	Welch	,652	4	425,982	,626
	Brown-Forsythe	,665	4	881,963	,616
Dislipid.	Welch	,676	4	424,667	,609
	Brown-Forsythe	,656	4	820,154	,622
Tabag.	Welch	1,220	4	426,404	,301
	Brown-Forsythe	1,145	4	807,426	,334
ECG FA	Welch	,958	4	419,054	,431
	Brown-Forsythe	,929	4	817,601	,446
Ecocard CE	Welch	2,459	4	428,208	,045
	Brown-Forsythe	2,553	4	513,756	,038



• INDICAÇÃO vs TSC

Apêndice 3.69 – Correlação da variável indicação2 vs cv carot esq.

		CV Carot Esq											Total	
		Normal	Est Ligeira	Estenose Moderada	Est Grave	Est Pré-Oclusiva	Oclusão	Tortuosidade	Fístula	Ateromatose carotídea, sem reperc. hemodinâmica	Tort+ Aterom sem reperc	Tortuosidade, compatível com Estenose		
Indicação2	Sem inf	Count	13	0	1	1	0	1	0	1	6	1	0	24
		% within Indicação2	54,2%	,0%	4,2%	4,2%	,0%	4,2%	,0%	4,2%	25,0%	4,2%	,0%	100,0%
		% within CV Carot Esq	1,6%	,0%	1,1%	1,8%	,0%	1,1%	,0%	100,0%	,3%	,5%	,0%	,8%
		% of Total	,4%	,0%	,0%	,0%	,0%	,0%	,0%	,0%	,2%	,0%	,0%	,8%
	AVC	Count	26	0	5	0	1	1	3	0	64	14	1	115
		% within Indicação2	22,6%	,0%	4,3%	,0%	,9%	,9%	2,6%	,0%	55,7%	12,2%	,9%	100,0%
		% within CV Carot Esq	3,2%	,0%	5,3%	,0%	2,9%	1,1%	3,3%	,0%	3,6%	6,6%	6,7%	3,6%
		% of Total	,8%	,0%	,2%	,0%	,0%	,0%	,1%	,0%	2,0%	,4%	,0%	3,6%
	AVC I H Dto	Count	160	2	18	6	5	9	19	0	446	48	2	715
		% within Indicação2	22,4%	,3%	2,5%	,8%	,7%	1,3%	2,7%	,0%	62,4%	6,7%	,3%	100,0%
		% within CV Carot Esq	19,7%	18,2%	19,1%	10,9%	14,7%	10,1%	20,7%	,0%	25,0%	22,6%	13,3%	22,3%
		% of Total	5,0%	,1%	,6%	,2%	,2%	,3%	,6%	,0%	13,9%	1,5%	,1%	22,3%
	AVC I H Esq	Count	190	3	17	15	15	63	32	0	487	69	4	895
		% within Indicação2	21,2%	,3%	1,9%	1,7%	1,7%	7,0%	3,6%	,0%	54,4%	7,7%	,4%	100,0%
		% within CV Carot Esq	23,4%	27,3%	18,1%	27,3%	44,1%	70,8%	34,8%	,0%	27,3%	32,5%	26,7%	28,0%
		% of Total	5,9%	,1%	,5%	,5%	,5%	2,0%	1,0%	,0%	15,2%	2,2%	,1%	28,0%
	AVC Lacunar	Count	25	1	4	5	3	1	4	0	108	17	1	169
		% within Indicação2	14,8%	,6%	2,4%	3,0%	1,8%	,6%	2,4%	,0%	63,9%	10,1%	,6%	100,0%
		% within CV Carot Esq	3,1%	9,1%	4,3%	9,1%	8,8%	1,1%	4,3%	,0%	6,0%	8,0%	6,7%	5,3%
		% of Total	,8%	,0%	,1%	,2%	,1%	,0%	,1%	,0%	3,4%	,5%	,0%	5,3%
	AVC Hemor.	Count	6	0	0	0	1	0	0	0	10	0	0	17
		% within Indicação2	35,3%	,0%	,0%	,0%	5,9%	,0%	,0%	,0%	58,8%	,0%	,0%	100,0%
		% within CV Carot Esq	,7%	,0%	,0%	,0%	2,9%	,0%	,0%	,0%	,6%	,0%	,0%	,5%
		% of Total	,2%	,0%	,0%	,0%	,0%	,0%	,0%	,0%	,3%	,0%	,0%	,5%
AVC H H Esq	Count	31	0	0	1	1	0	1	0	67	10	0	111	
	% within Indicação2	27,9%	,0%	,0%	,9%	,9%	,0%	,9%	,0%	60,4%	9,0%	,0%	100,0%	
	% within CV Carot Esq	3,8%	,0%	,0%	1,8%	2,9%	,0%	1,1%	,0%	3,8%	4,7%	,0%	3,5%	
	% of Total	1,0%	,0%	,0%	,0%	,0%	,0%	,0%	,0%	2,1%	,3%	,0%	3,5%	
AVC H H Dto	Count	24	0	0	3	0	0	4	0	53	2	1	87	
	% within Indicação2	27,6%	,0%	,0%	3,4%	,0%	,0%	4,6%	,0%	60,9%	2,3%	1,1%	100,0%	
	% within CV Carot Esq	3,0%	,0%	,0%	5,5%	,0%	,0%	4,3%	,0%	3,0%	,9%	6,7%	2,7%	
	% of Total	,8%	,0%	,0%	,1%	,0%	,0%	,1%	,0%	1,7%	,1%	,0%	2,7%	
AIT	Count	88	1	3	3	1	2	6	0	121	12	1	238	

		% within Indicação2	37,0%	,4%	1,3%	1,3%	,4%	,8%	2,5%	,0%	50,8%	5,0%	,4%	100,0%
		% within CV Carot Esq	10,9%	9,1%	3,2%	5,5%	2,9%	2,2%	6,5%	,0%	6,8%	5,7%	6,7%	7,4%
		% of Total	2,8%	,0%	,1%	,1%	,0%	,1%	,2%	,0%	3,8%	,4%	,0%	7,4%
	AVC VB	Count	108	0	6	4	2	2	13	0	163	20	3	321
		% within Indicação2	33,6%	,0%	1,9%	1,2%	,6%	,6%	4,0%	,0%	50,8%	6,2%	,9%	100,0%
		% within CV Carot Esq	13,3%	,0%	6,4%	7,3%	5,9%	2,2%	14,1%	,0%	9,1%	9,4%	20,0%	10,0%
	Outras sem AVC	Count	136	4	40	17	5	9	10	0	251	19	2	493
		% within Indicação2	27,6%	,8%	8,1%	3,4%	1,0%	1,8%	2,0%	,0%	50,9%	3,9%	,4%	100,0%
		% within CV Carot Esq	16,8%	36,4%	42,6%	30,9%	14,7%	10,1%	10,9%	,0%	14,1%	9,0%	13,3%	15,4%
	TV	Count	4	0	0	0	0	1	0	0	10	0	0	15
		% within Indicação2	26,7%	,0%	,0%	,0%	,0%	6,7%	,0%	,0%	66,7%	,0%	,0%	100,0%
		% within CV Carot Esq	,5%	,0%	,0%	,0%	,0%	1,1%	,0%	,0%	,6%	,0%	,0%	,5%
Total	Count	811	11	94	55	34	89	92	1	1786	212	15	3200	
	% within Indicação2	25,3%	,3%	2,9%	1,7%	1,1%	2,8%	2,9%	,0%	55,8%	6,6%	,5%	100,0%	
	% within CV Carot Esq	100,0%	100,0%	100,0%	100,0%	100,0%	100,0%	100,0%	100,0%	100,0%	100,0%	100,0%	100,0%	
	% of Total	25,3%	,3%	2,9%	1,7%	1,1%	2,8%	2,9%	,0%	55,8%	6,6%	,5%	100,0%	

Symmetric Measures

		Value	Approx. Sig.
Nominal by Nominal	Contingency Coefficient	,339	,000
N of Valid Cases		3200	

Apêndice 3.70 – Correlação da variável indicação2 vs cv carot dta.

Indicação2			CV Carot Dta										Total
			Normal	Est Ligeira	Estenose Moderada	Est Grave	Est Pré-Oclusiva	Oclusão	Tortuosidade	Fístula	Ateromatose carotídea, sem reperc. hemodinâmica	Tort+ Aterom sem reperc	
Sem inf	Count	11	0	1	0	1	1	1	0	8	1	0	24
	% within Indicação2	45,8%	,0%	4,2%	,0%	4,2%	4,2%	4,2%	,0%	33,3%	4,2%	,0%	100,0%
	% within CV Carot Dta	1,2%	,0%	1,2%	,0%	2,2%	1,2%	1,3%	,0%	,4%	,7%	,0%	,8%
	% of Total	,3%	,0%	,0%	,0%	,0%	,0%	,0%	,0%	,3%	,0%	,0%	,8%
AVC	Count	29	1	5	1	2	0	5	0	67	5	0	115
	% within Indicação2	25,2%	,9%	4,3%	,9%	1,7%	,0%	4,3%	,0%	58,3%	4,3%	,0%	100,0%
	% within CV Carot Dta	3,3%	10,0%	6,1%	2,8%	4,3%	,0%	6,3%	,0%	3,7%	3,3%	,0%	3,6%
AVC I H Dto	Count	176	1	15	12	19	32	21	0	400	37	2	715
	% within Indicação2	24,6%	,1%	2,1%	1,7%	2,7%	4,5%	2,9%	,0%	55,9%	5,2%	,3%	100,0%

		% within CV Carot Dta	19,8%	10,0%	18,3%	33,3%	41,3%	37,2%	26,6%	,0%	22,2%	24,7%	11,1%	22,3%
		% of Total	5,5%	,0%	,5%	,4%	,6%	1,0%	,7%	,0%	12,5%	1,2%	,1%	22,3%
	AVC I H Esq	Count	229	4	26	5	12	15	20	0	521	58	5	895
		% within Indicação2	25,6%	,4%	2,9%	,6%	1,3%	1,7%	2,2%	,0%	58,2%	6,5%	,6%	100,0%
		% within CV Carot Dta	25,8%	40,0%	31,7%	13,9%	26,1%	17,4%	25,3%	,0%	28,9%	38,7%	27,8%	28,0%
		% of Total	7,2%	,1%	,8%	,2%	,4%	,5%	,6%	,0%	16,3%	1,8%	,2%	28,0%
	AVC Lacunar	Count	34	0	4	3	3	1	3	0	114	4	3	169
		% within Indicação2	20,1%	,0%	2,4%	1,8%	1,8%	,6%	1,8%	,0%	67,5%	2,4%	1,8%	100,0%
		% within CV Carot Dta	3,8%	,0%	4,9%	8,3%	6,5%	1,2%	3,8%	,0%	6,3%	2,7%	16,7%	5,3%
		% of Total	1,1%	,0%	,1%	,1%	,1%	,0%	,1%	,0%	3,6%	,1%	,1%	5,3%
	AVC Hemor.	Count	4	0	1	0	0	0	0	0	12	0	0	17
		% within Indicação2	23,5%	,0%	5,9%	,0%	,0%	,0%	,0%	,0%	70,6%	,0%	,0%	100,0%
		% within CV Carot Dta	,5%	,0%	1,2%	,0%	,0%	,0%	,0%	,0%	,7%	,0%	,0%	,5%
		% of Total	,1%	,0%	,0%	,0%	,0%	,0%	,0%	,0%	,4%	,0%	,0%	,5%
	AVC H H Esq	Count	40	0	1	0	0	1	2	0	64	3	0	111
		% within Indicação2	36,0%	,0%	,9%	,0%	,0%	,9%	1,8%	,0%	57,7%	2,7%	,0%	100,0%
		% within CV Carot Dta	4,5%	,0%	1,2%	,0%	,0%	1,2%	2,5%	,0%	3,5%	2,0%	,0%	3,5%
		% of Total	1,3%	,0%	,0%	,0%	,0%	,0%	,1%	,0%	2,0%	,1%	,0%	3,5%
	AVC H H Dto	Count	23	0	0	1	0	1	2	0	56	4	0	87
		% within Indicação2	26,4%	,0%	,0%	1,1%	,0%	1,1%	2,3%	,0%	64,4%	4,6%	,0%	100,0%
		% within CV Carot Dta	2,6%	,0%	,0%	2,8%	,0%	1,2%	2,5%	,0%	3,1%	2,7%	,0%	2,7%
		% of Total	,7%	,0%	,0%	,0%	,0%	,0%	,1%	,0%	1,8%	,1%	,0%	2,7%
	AIT	Count	72	2	2	2	1	5	5	0	139	7	3	238
		% within Indicação2	30,3%	,8%	,8%	,8%	,4%	2,1%	2,1%	,0%	58,4%	2,9%	1,3%	100,0%
		% within CV Carot Dta	8,1%	20,0%	2,4%	5,6%	2,2%	5,8%	6,3%	,0%	7,7%	4,7%	16,7%	7,4%
		% of Total	2,3%	,1%	,1%	,1%	,0%	,2%	,2%	,0%	4,3%	,2%	,1%	7,4%
	AVC VB	Count	114	1	10	2	1	2	10	0	161	18	2	321
		% within Indicação2	35,5%	,3%	3,1%	,6%	,3%	,6%	3,1%	,0%	50,2%	5,6%	,6%	100,0%
		% within CV Carot Dta	12,8%	10,0%	12,2%	5,6%	2,2%	2,3%	12,7%	,0%	8,9%	12,0%	11,1%	10,0%
		% of Total	3,6%	,0%	,3%	,1%	,0%	,1%	,3%	,0%	5,0%	,6%	,1%	10,0%
	Outras sem AVC	Count	151	1	16	10	7	28	10	1	253	13	3	493
		% within Indicação2	30,6%	,2%	3,2%	2,0%	1,4%	5,7%	2,0%	,2%	51,3%	2,6%	,6%	100,0%
		% within CV Carot Dta	17,0%	10,0%	19,5%	27,8%	15,2%	32,6%	12,7%	100,0%	14,0%	8,7%	16,7%	15,4%
		% of Total	4,7%	,0%	,5%	,3%	,2%	,9%	,3%	,0%	7,9%	,4%	,1%	15,4%
	TV	Count	5	0	1	0	0	0	0	0	9	0	0	15
		% within Indicação2	33,3%	,0%	6,7%	,0%	,0%	,0%	,0%	,0%	60,0%	,0%	,0%	100,0%
		% within CV Carot Dta	,6%	,0%	1,2%	,0%	,0%	,0%	,0%	,0%	,5%	,0%	,0%	,5%
		% of Total	,2%	,0%	,0%	,0%	,0%	,0%	,0%	,0%	,3%	,0%	,0%	,5%
Total		Count	888	10	82	36	46	86	79	1	1804	150	18	3200
		% within Indicação2	27,8%	,3%	2,6%	1,1%	1,4%	2,7%	2,5%	,0%	56,4%	4,7%	,6%	100,0%

% within CV Carot Dta	100,0%	100,0%	100,0%	100,0%	100,0%	100,0%	100,0%	100,0%	100,0%	100,0%	100,0%	100,0%	100,0%
% of Total	27,8%	,3%	2,6%	1,1%	1,4%	2,7%	2,5%	,0%	56,4%	4,7%	,6%	100,0%	

Symmetric Measures

		Value	Approx. Sig.
Nominal by Nominal	Contingency Coefficient	,220	,001
N of Valid Cases		3200	

Apêndice 3.71 – Correlação da variável indicação2 vs n/grau est.

			N/Grau est					Total
			Normal ou <50%	>50%	>70%	>90%	Oclusão	
Indicação2	Sem inf	Count	19	1	0	1	3	24
		% within Indicação2	79,2%	4,2%	,0%	4,2%	12,5%	100,0%
		% within N/Grau est	,7%	,8%	,0%	1,4%	1,3%	,8%
		% of Total	,6%	,0%	,0%	,0%	,1%	,8%
	AVC	Count	100	9	1	2	3	115
		% within Indicação2	87,0%	7,8%	,9%	1,7%	2,6%	100,0%
		% within N/Grau est	3,7%	7,1%	1,4%	2,8%	1,3%	3,6%
		% of Total	3,1%	,3%	,0%	,1%	,1%	3,6%
	AVC IH Dto	Count	604	21	15	24	51	715
		% within Indicação2	84,5%	2,9%	2,1%	3,4%	7,1%	100,0%
		% within N/Grau est	22,5%	16,7%	20,3%	33,3%	21,3%	22,3%
		% of Total	18,9%	,7%	,5%	,8%	1,6%	22,3%
	AVC IH Esq	Count	733	27	17	23	95	895
		% within Indicação2	81,9%	3,0%	1,9%	2,6%	10,6%	100,0%
		% within N/Grau est	27,3%	21,4%	23,0%	31,9%	39,6%	28,0%
		% of Total	22,9%	,8%	,5%	,7%	3,0%	28,0%
	AVC Lacunar	Count	150	6	6	4	3	169
		% within Indicação2	88,8%	3,6%	3,6%	2,4%	1,8%	100,0%
		% within N/Grau est	5,6%	4,8%	8,1%	5,6%	1,3%	5,3%
		% of Total	4,7%	,2%	,2%	,1%	,1%	5,3%
	AVC Hemor.	Count	14	2	0	1	0	17
		% within Indicação2	82,4%	11,8%	,0%	5,9%	,0%	100,0%
		% within N/Grau est	,5%	1,6%	,0%	1,4%	,0%	,5%
		% of Total	,4%	,1%	,0%	,0%	,0%	,5%
	AVC H H Esq	Count	105	1	1	1	3	111
		% within Indicação2	94,6%	,9%	,9%	,9%	2,7%	100,0%
		% within N/Grau est	3,9%	,8%	1,4%	1,4%	1,3%	3,5%
		% of Total	3,3%	,0%	,0%	,0%	,1%	3,5%
AVC H H Dto	Count	81	0	4	0	2	87	
	% within Indicação2	93,1%	,0%	4,6%	,0%	2,3%	100,0%	

		% within N/Grau est	3,0%	,0%	5,4%	,0%	,8%	2,7%
		% of Total	2,5%	,0%	,1%	,0%	,1%	2,7%
	AIT	Count	213	5	1	2	17	238
		% within Indicação2	89,5%	2,1%	,4%	,8%	7,1%	100,0%
		% within N/Grau est	7,9%	4,0%	1,4%	2,8%	7,1%	7,4%
		% of Total	6,7%	,2%	,0%	,1%	,5%	7,4%
	AVC VB	Count	283	15	6	4	13	321
		% within Indicação2	88,2%	4,7%	1,9%	1,2%	4,0%	100,0%
		% within N/Grau est	10,5%	11,9%	8,1%	5,6%	5,4%	10,0%
		% of Total	8,8%	,5%	,2%	,1%	,4%	10,0%
	Outras sem AVC	Count	373	39	23	10	48	493
		% within Indicação2	75,7%	7,9%	4,7%	2,0%	9,7%	100,0%
		% within N/Grau est	13,9%	31,0%	31,1%	13,9%	20,0%	15,4%
		% of Total	11,7%	1,2%	,7%	,3%	1,5%	15,4%
	TV	Count	13	0	0	0	2	15
		% within Indicação2	86,7%	,0%	,0%	,0%	13,3%	100,0%
% within N/Grau est		,5%	,0%	,0%	,0%	,8%	,5%	
% of Total		,4%	,0%	,0%	,0%	,1%	,5%	
Total	Count	2688	126	74	72	240	3200	
	% within Indicação2	84,0%	3,9%	2,3%	2,3%	7,5%	100,0%	
	% within N/Grau est	100,0%	100,0%	100,0%	100,0%	100,0%	100,0%	
	% of Total	84,0%	3,9%	2,3%	2,3%	7,5%	100,0%	

Symmetric Measures

		Value	Approx. Sig.
Nominal by Nominal	Contingency Coefficient	,194	,000
N of Valid Cases		3200	

Apêndice 3.72 – Anova entre a variável indicação2 vs IIM.

Test of Homogeneity of Variances

IIM

Levene Statistic	df1	df2	Sig.
11,686	12	3191	,000

ANOVA

IIM

	Sum of Squares	Df	Mean Square	F	Sig.
Between Groups	8,321	12	,693	2,610	,002
Within Groups	847,723	3191	,266		
Total	856,043	3203			

**Robust Tests of Equality of Means**

IIM

	Statistic <sup>a</sup>	df1	df2	Sig.
Welch	2,825	12	241,701	,001
Brown-Forsythe	2,768	12	662,047	,001

a. Asymptotically F distributed.

• **FATORES DE RISCO NÃO MODIFICÁVEIS vs TST**

Apêndice 3.73 – Correlação da variável sexo vs tc ant esq.

			TC Ant Esq						Total	
			Normal	Sem janela	Est Ligeira	Est Mod/Grave	Tortuosidade	Oclusão		Vasospasmo
Sexo	Masculino	Count	1134	52	53	55	2	18	1	1315
		% within Sexo	86,2%	4,0%	4,0%	4,2%	,2%	1,4%	,1%	100,0%
		% within TC Ant Esq	61,9%	20,3%	63,1%	65,5%	100,0%	75,0%	100,0%	57,6%
		% of Total	49,6%	2,3%	2,3%	2,4%	,1%	,8%	,0%	57,6%
Feminino	Feminino	Count	699	204	31	29	0	6	0	969
		% within Sexo	72,1%	21,1%	3,2%	3,0%	,0%	,6%	,0%	100,0%
		% within TC Ant Esq	38,1%	79,7%	36,9%	34,5%	,0%	25,0%	,0%	42,4%
		% of Total	30,6%	8,9%	1,4%	1,3%	,0%	,3%	,0%	42,4%
Total	Total	Count	1833	256	84	84	2	24	1	2284
		% within Sexo	80,3%	11,2%	3,7%	3,7%	,1%	1,1%	,0%	100,0%
		% within TC Ant Esq	100,0%	100,0%	100,0%	100,0%	100,0%	100,0%	100,0%	100,0%
		% of Total	80,3%	11,2%	3,7%	3,7%	,1%	1,1%	,0%	100,0%

**Symmetric Measures**

		Value	Approx. Sig.
Nominal by Nominal	Contingency Coefficient	,262	,000
N of Valid Cases		2284	

Apêndice 3.74 – Correlação da variável sexo vs tc ant dta.

			TC Ant Dta						Total	
			Normal	Sem janela	Est Ligeira	Est Mod/Grave	Tortuosidade	Oclusão		Roubo da ASE
Sexo	Masculino	Count	1161	55	46	37	2	13	0	1314
		% within Sexo	88,4%	4,2%	3,5%	2,8%	,2%	1,0%	,0%	100,0%
		% within TC Ant Dta	62,1%	21,0%	59,7%	72,5%	100,0%	65,0%	,0%	57,6%
		% of Total	50,9%	2,4%	2,0%	1,6%	,1%	,6%	,0%	57,6%
Feminino	Feminino	Count	709	207	31	14	0	7	1	969
		% within Sexo	72,1%	21,1%	3,2%	3,0%	,0%	,6%	,0%	100,0%
		% within TC Ant Dta	38,1%	79,7%	36,9%	34,5%	,0%	25,0%	,0%	42,4%
		% of Total	30,6%	8,9%	1,4%	1,3%	,0%	,3%	,0%	42,4%

	% within Sexo	73,2%	21,4%	3,2%	1,4%	,0%	,7%	,1%	100,0%
	% within TC Ant Dta	37,9%	79,0%	40,3%	27,5%	,0%	35,0%	100,0%	42,4%
	% of Total	31,1%	9,1%	1,4%	,6%	,0%	,3%	,0%	42,4%
Total	Count	1870	262	77	51	2	20	1	2283
	% within Sexo	81,9%	11,5%	3,4%	2,2%	,1%	,9%	,0%	100,0%
	% within TC Ant Dta	100,0%	100,0%	100,0%	100,0%	100,0%	100,0%	100,0%	100,0%
	% of Total	81,9%	11,5%	3,4%	2,2%	,1%	,9%	,0%	100,0%

Symmetric Measures

		Value	Approx. Sig.
Nominal by Nominal	Contingency Coefficient	,261	,000
N of Valid Cases		2283	

Apêndice 3.75 – Correlação da variável sexo vs tc post esq.

		TC Pos Esq								Total	
		Normal	Sem janela	Est Ligeira	Est Mod/Grave	Tortuosidade	Oclusão	Roubo da ASE	Vasospasmo		Hipoplasia
Sexo Masc	Count	1131	25	56	70	1	23	7	1	4	1318
	% within Sexo	85,8%	1,9%	4,2%	5,3%	,1%	1,7%	,5%	,1%	,3%	100,0%
	% within TC Pos Esq	60,3%	14,9%	62,2%	66,7%	100,0%	65,7%	77,8%	100,0%	80,0%	57,5%
	% of Total	49,4%	1,1%	2,4%	3,1%	,0%	1,0%	,3%	,0%	,2%	57,5%
Fem	Count	746	143	34	35	0	12	2	0	1	973
	% within Sexo	76,7%	14,7%	3,5%	3,6%	,0%	1,2%	,2%	,0%	,1%	100,0%
	% within TC Pos Esq	39,7%	85,1%	37,8%	33,3%	,0%	34,3%	22,2%	,0%	20,0%	42,5%
	% of Total	32,6%	6,2%	1,5%	1,5%	,0%	,5%	,1%	,0%	,0%	42,5%
Total	Count	1877	168	90	105	1	35	9	1	5	2291
	% within Sexo	81,9%	7,3%	3,9%	4,6%	,0%	1,5%	,4%	,0%	,2%	100,0%
	% within TC Pos Esq	100,0%	100,0%	100,0%	100,0%	100,0%	100,0%	100,0%	100,0%	100,0%	100,0%
	% of Total	81,9%	7,3%	3,9%	4,6%	,0%	1,5%	,4%	,0%	,2%	100,0%

Symmetric Measures

		Value	Approx. Sig.
Nominal by Nominal	Contingency Coefficient	,240	,000
N of Valid Cases		2291	

Apêndice 3.76 – Correlação da variável sexo vs tc post dta.

		TC Pos Dta								Total
		Normal	Sem janela	Est Ligeira	Est Mod/Grave	Tortuosidade	Oclusão	Roubo da ASE	Hipoplasia	
Sexo Mas	Count	1108	38	64	66	3	22	13	6	1320
	% within Sexo	83,9%	2,9%	4,8%	5,0%	,2%	1,7%	1,0%	,5%	100,0%
	% within TC Pos Dta	59,5%	20,5%	64,6%	75,0%	100,0%	68,8%	81,3%	85,7%	57,6%
	% of Total	48,4%	1,7%	2,8%	2,9%	,1%	1,0%	,6%	,3%	57,6%
Fem	Count	753	147	35	22	0	10	3	1	971
	% within Sexo	77,5%	15,1%	3,6%	2,3%	,0%	1,0%	,3%	,1%	100,0%
	% within TC Pos Dta	40,5%	79,5%	35,4%	25,0%	,0%	31,3%	18,8%	14,3%	42,4%
	% of Total	32,9%	6,4%	1,5%	1,0%	,0%	,4%	,1%	,0%	42,4%
Total	Count	1861	185	99	88	3	32	16	7	2291
	% within Sexo	81,2%	8,1%	4,3%	3,8%	,1%	1,4%	,7%	,3%	100,0%
	% within TC Pos Dta	100,0%	100,0%	100,0%	100,0%	100,0%	100,0%	100,0%	100,0%	100,0%
	% of Total	81,2%	8,1%	4,3%	3,8%	,1%	1,4%	,7%	,3%	100,0%

Symmetric Measures

		Value	Approx. Sig.
Nominal by Nominal	Contingency Coefficient	,231	,000
N of Valid Cases		2291	

Apêndice 3.77 – Correlação da variável sexo vs ip.

			IP		Total
			Normal	Aumentados	
Sexo	Masculino	Count	656	662	1318
		% within Sexo	49,8%	50,2%	100,0%
		% within IP	54,9%	65,6%	59,8%
		% of Total	29,8%	30,0%	59,8%
	Feminino	Count	538	347	885
		% within Sexo	60,8%	39,2%	100,0%
		% within IP	45,1%	34,4%	40,2%
		% of Total	24,4%	15,8%	40,2%
Total	Count	1194	1009	2203	
	% within Sexo	54,2%	45,8%	100,0%	
	% within IP	100,0%	100,0%	100,0%	
	% of Total	54,2%	45,8%	100,0%	



Symmetric Measures

		Value	Approx. Sig.
Nominal by Nominal	Contingency Coefficient	,108	,000
N of Valid Cases		2203	

Apêndice 3.78 – Correlação da variável classes etárias vs tc ant esq.

		TC Ant Esq							Total	
		Normal	Sem janela	Est Ligeira	Est Mod/Grave	Tortuosidade	Oclusão	Vasospasmo		
Classes Etárias	[8 - 16[	Count	2	0	0	0	0	0	0	2
		% within Classes Etárias	100,0%	,0%	,0%	,0%	,0%	,0%	,0%	100,0%
		% within TC Ant Esq	,1%	,0%	,0%	,0%	,0%	,0%	,0%	,1%
		% of Total	,1%	,0%	,0%	,0%	,0%	,0%	,0%	,1%
	[16 - 24[	Count	4	0	0	0	0	0	0	4
		% within Classes Etárias	100,0%	,0%	,0%	,0%	,0%	,0%	,0%	100,0%
		% within TC Ant Esq	,2%	,0%	,0%	,0%	,0%	,0%	,0%	,2%
		% of Total	,2%	,0%	,0%	,0%	,0%	,0%	,0%	,2%
	[24 - 32[	Count	10	1	0	0	0	0	0	11
		% within Classes Etárias	90,9%	9,1%	,0%	,0%	,0%	,0%	,0%	100,0%
		% within TC Ant Esq	,5%	,4%	,0%	,0%	,0%	,0%	,0%	,5%
		% of Total	,4%	,0%	,0%	,0%	,0%	,0%	,0%	,5%
[32 - 40[	Count	42	1	1	0	0	1	0	45	
	% within Classes Etárias	93,3%	2,2%	2,2%	,0%	,0%	2,2%	,0%	100,0%	
	% within TC Ant Esq	2,3%	,4%	1,2%	,0%	,0%	4,2%	,0%	2,0%	
	% of Total	1,8%	,0%	,0%	,0%	,0%	,0%	,0%	2,0%	
[40 - 48[	Count	97	1	3	3	0	0	0	104	
	% within Classes Etárias	93,3%	1,0%	2,9%	2,9%	,0%	,0%	,0%	100,0%	
	% within TC Ant Esq	5,3%	,4%	3,6%	3,6%	,0%	,0%	,0%	4,6%	
	% of Total	4,2%	,0%	,1%	,1%	,0%	,0%	,0%	4,6%	
[48 - 56[	Count	185	3	7	8	0	2	0	205	
	% within Classes Etárias	90,2%	1,5%	3,4%	3,9%	,0%	1,0%	,0%	100,0%	
	% within TC Ant Esq	10,1%	1,2%	8,3%	9,5%	,0%	8,3%	,0%	9,0%	
	% of Total	8,1%	,1%	,3%	,4%	,0%	,1%	,0%	9,0%	
[56 - 64[	Count	232	17	6	10	0	2	1	268	

	% within Classes Etárias	86,6%	6,3%	2,2%	3,7%	,0%	,7%	,4%	100,0%
	% within TC Ant Esq	12,7%	6,6%	7,1%	11,9%	,0%	8,3%	100,0%	11,7%
	% of Total	10,2%	,7%	,3%	,4%	,0%	,1%	,0%	11,7%
[64 - 72]	Count	392	37	15	19	0	5	0	468
	% within Classes Etárias	83,8%	7,9%	3,2%	4,1%	,0%	1,1%	,0%	100,0%
	% within TC Ant Esq	21,4%	14,5%	17,9%	22,6%	,0%	20,8%	,0%	20,5%
	% of Total	17,2%	1,6%	,7%	,8%	,0%	,2%	,0%	20,5%
[72 - 80]	Count	541	97	33	19	1	7	0	698
	% within Classes Etárias	77,5%	13,9%	4,7%	2,7%	,1%	1,0%	,0%	100,0%
	% within TC Ant Esq	29,5%	37,9%	39,3%	22,6%	50,0%	29,2%	,0%	30,6%
	% of Total	23,7%	4,2%	1,4%	,8%	,0%	,3%	,0%	30,6%
[80 - 88]	Count	288	88	17	23	1	7	0	424
	% within Classes Etárias	67,9%	20,8%	4,0%	5,4%	,2%	1,7%	,0%	100,0%
	% within TC Ant Esq	15,7%	34,4%	20,2%	27,4%	50,0%	29,2%	,0%	18,6%
	% of Total	12,6%	3,9%	,7%	1,0%	,0%	,3%	,0%	18,6%
[88 - 96]	Count	40	10	2	2	0	0	0	54
	% within Classes Etárias	74,1%	18,5%	3,7%	3,7%	,0%	,0%	,0%	100,0%
	% within TC Ant Esq	2,2%	3,9%	2,4%	2,4%	,0%	,0%	,0%	2,4%
	% of Total	1,8%	,4%	,1%	,1%	,0%	,0%	,0%	2,4%
[96 - 103]	Count	0	1	0	0	0	0	0	1
	% within Classes Etárias	,0%	100,0%	,0%	,0%	,0%	,0%	,0%	100,0%
	% within TC Ant Esq	,0%	,4%	,0%	,0%	,0%	,0%	,0%	,0%
	% of Total	,0%	,0%	,0%	,0%	,0%	,0%	,0%	,0%
Total	Count	1833	256	84	84	2	24	1	2284
	% within Classes Etárias	80,3%	11,2%	3,7%	3,7%	,1%	1,1%	,0%	100,0%
	% within TC Ant Esq	100,0%	100,0%	100,0%	100,0%	100,0%	100,0%	100,0%	100,0%
	% of Total	80,3%	11,2%	3,7%	3,7%	,1%	1,1%	,0%	100,0%

Symmetric Measures

		Value	Approx. Sig.
Nominal by Nominal	Contingency Coefficient	,236	,000
N of Valid Cases		2284	

Apêndice 3.79 – Correlação da variável classes etárias vs tc ant dta.

			TC Ant Dta						Total	
			Normal	Sem janela	Est Ligeira	Est Mod/Grave	Tortuosidade	Oclusão		Roubo da ASE
Classes Etárias	[8 - 16[	Count	2	0	0	0	0	0	0	2
		% within Classes Etárias	100,0%	,0%	,0%	,0%	,0%	,0%	,0%	100,0%
		% within TC Ant Dta	,1%	,0%	,0%	,0%	,0%	,0%	,0%	,1%
		% of Total	,1%	,0%	,0%	,0%	,0%	,0%	,0%	,1%
	[16 - 24[	Count	4	0	0	0	0	0	0	4
		% within Classes Etárias	100,0%	,0%	,0%	,0%	,0%	,0%	,0%	100,0%
		% within TC Ant Dta	,2%	,0%	,0%	,0%	,0%	,0%	,0%	,2%
		% of Total	,2%	,0%	,0%	,0%	,0%	,0%	,0%	,2%
	[24 - 32[	Count	10	1	0	0	0	0	0	11
		% within Classes Etárias	90,9%	9,1%	,0%	,0%	,0%	,0%	,0%	100,0%
		% within TC Ant Dta	,5%	,4%	,0%	,0%	,0%	,0%	,0%	,5%
		% of Total	,4%	,0%	,0%	,0%	,0%	,0%	,0%	,5%
	[32 - 40[	Count	43	1	0	1	0	0	0	45
		% within Classes Etárias	95,6%	2,2%	,0%	2,2%	,0%	,0%	,0%	100,0%
		% within TC Ant Dta	2,3%	,4%	,0%	2,0%	,0%	,0%	,0%	2,0%
		% of Total	1,9%	,0%	,0%	,0%	,0%	,0%	,0%	2,0%
	[40 - 48[	Count	95	1	4	4	0	0	0	104
		% within Classes Etárias	91,3%	1,0%	3,8%	3,8%	,0%	,0%	,0%	100,0%
		% within TC Ant Dta	5,1%	,4%	5,2%	7,8%	,0%	,0%	,0%	4,6%
		% of Total	4,2%	,0%	,2%	,2%	,0%	,0%	,0%	4,6%
	[48 - 56[	Count	187	5	8	3	1	1	0	205
		% within Classes Etárias	91,2%	2,4%	3,9%	1,5%	,5%	,5%	,0%	100,0%
		% within TC Ant Dta	10,0%	1,9%	10,4%	5,9%	50,0%	5,0%	,0%	9,0%
		% of Total	8,2%	,2%	,4%	,1%	,0%	,0%	,0%	9,0%
[56 - 64[	Count	238	16	9	3	0	2	0	268	
	% within Classes Etárias	88,8%	6,0%	3,4%	1,1%	,0%	,7%	,0%	100,0%	
	% within TC Ant Dta	12,7%	6,1%	11,7%	5,9%	,0%	10,0%	,0%	11,7%	
	% of Total	10,4%	,7%	,4%	,1%	,0%	,1%	,0%	11,7%	
[64 - 72[	Count	387	49	16	11	1	3	0	467	

	% within Classes Etárias	82,9%	10,5%	3,4%	2,4%	,2%	,6%	,0%	100,0%
	% within TC Ant Dta	20,7%	18,7%	20,8%	21,6%	50,0%	15,0%	,0%	20,5%
	% of Total	17,0%	2,1%	,7%	,5%	,0%	,1%	,0%	20,5%
[72 - 80]	Count	555	94	27	12	0	7	1	696
	% within Classes Etárias	79,7%	13,5%	3,9%	1,7%	,0%	1,0%	,1%	100,0%
	% within TC Ant Dta	29,7%	35,9%	35,1%	23,5%	,0%	35,0%	100,0%	30,5%
	% of Total	24,3%	4,1%	1,2%	,5%	,0%	,3%	,0%	30,5%
[80 - 88]	Count	308	84	12	15	0	7	0	426
	% within Classes Etárias	72,3%	19,7%	2,8%	3,5%	,0%	1,6%	,0%	100,0%
	% within TC Ant Dta	16,5%	32,1%	15,6%	29,4%	,0%	35,0%	,0%	18,7%
	% of Total	13,5%	3,7%	,5%	,7%	,0%	,3%	,0%	18,7%
[88 - 96]	Count	41	10	1	2	0	0	0	54
	% within Classes Etárias	75,9%	18,5%	1,9%	3,7%	,0%	,0%	,0%	100,0%
	% within TC Ant Dta	2,2%	3,8%	1,3%	3,9%	,0%	,0%	,0%	2,4%
	% of Total	1,8%	,4%	,0%	,1%	,0%	,0%	,0%	2,4%
[96 - 103]	Count	0	1	0	0	0	0	0	1
	% within Classes Etárias	,0%	100,0%	,0%	,0%	,0%	,0%	,0%	100,0%
	% within TC Ant Dta	,0%	,4%	,0%	,0%	,0%	,0%	,0%	,0%
	% of Total	,0%	,0%	,0%	,0%	,0%	,0%	,0%	,0%
Total	Count	1870	262	77	51	2	20	1	2283
	% within Classes Etárias	81,9%	11,5%	3,4%	2,2%	,1%	,9%	,0%	100,0%
	% within TC Ant Dta	100,0%	100,0%	100,0%	100,0%	100,0%	100,0%	100,0%	100,0%
	% of Total	81,9%	11,5%	3,4%	2,2%	,1%	,9%	,0%	100,0%

Symmetric Measures

		Value	Approx. Sig.
Nominal by Nominal	Contingency Coefficient	,216	,000
N of Valid Cases		2283	

Apêndice 3.80 – Correlação da variável classes etárias vs tc pos esq.

	TC Pos Esq									Total
	Normal	Sem janela	Est Ligeira	Est Mod/Grave	Tort	Oclusão	Roubo da ASE	Vasosp	Hipopl	
Classes [8 - Count	2	0	0	0	0	0	0	0	0	2

Etárias	16[	% within Classes Etárias	100,0%	,0%	,0%	,0%	,0%	,0%	,0%	,0%	,0%	100,0%
		% within TC Pos Esq	,1%	,0%	,0%	,0%	,0%	,0%	,0%	,0%	,0%	,1%
		% of Total	,1%	,0%	,0%	,0%	,0%	,0%	,0%	,0%	,0%	,1%
[16 - 24[	Count		4	0	0	0	0	0	0	0	0	4
	% within Classes Etárias		100,0%	,0%	,0%	,0%	,0%	,0%	,0%	,0%	,0%	100,0%
	% within TC Pos Esq		,2%	,0%	,0%	,0%	,0%	,0%	,0%	,0%	,0%	,2%
	% of Total		,2%	,0%	,0%	,0%	,0%	,0%	,0%	,0%	,0%	,2%
[24 - 32[	Count		10	1	0	0	0	0	0	0	0	11
	% within Classes Etárias		90,9%	9,1%	,0%	,0%	,0%	,0%	,0%	,0%	,0%	100,0%
	% within TC Pos Esq		,5%	,6%	,0%	,0%	,0%	,0%	,0%	,0%	,0%	,5%
	% of Total		,4%	,0%	,0%	,0%	,0%	,0%	,0%	,0%	,0%	,5%
[32 - 40[	Count		42	1	1	0	0	1	0	0	0	45
	% within Classes Etárias		93,3%	2,2%	2,2%	,0%	,0%	2,2%	,0%	,0%	,0%	100,0%
	% within TC Pos Esq		2,2%	,6%	1,1%	,0%	,0%	2,9%	,0%	,0%	,0%	2,0%
	% of Total		1,8%	,0%	,0%	,0%	,0%	,0%	,0%	,0%	,0%	2,0%
[40 - 48[	Count		95	1	4	1	0	1	1	0	1	104
	% within Classes Etárias		91,3%	1,0%	3,8%	1,0%	,0%	1,0%	1,0%	,0%	1,0%	100,0%
	% within TC Pos Esq		5,1%	,6%	4,4%	1,0%	,0%	2,9%	11,1%	,0%	20,0%	4,5%
	% of Total		4,1%	,0%	,2%	,0%	,0%	,0%	,0%	,0%	,0%	4,5%
[48 - 56[	Count		192	2	5	3	1	3	0	0	0	206
	% within Classes Etárias		93,2%	1,0%	2,4%	1,5%	,5%	1,5%	,0%	,0%	,0%	100,0%
	% within TC Pos Esq		10,2%	1,2%	5,6%	2,9%	100,0%	8,6%	,0%	,0%	,0%	9,0%
	% of Total		8,4%	,1%	,2%	,1%	,0%	,1%	,0%	,0%	,0%	9,0%
[56 - 64[	Count		240	6	10	6	0	3	2	1	0	268
	% within Classes Etárias		89,6%	2,2%	3,7%	2,2%	,0%	1,1%	,7%	,4%	,0%	100,0%
	% within TC Pos Esq		12,8%	3,6%	11,1%	5,7%	,0%	8,6%	22,2%	100,0%	,0%	11,7%
	% of Total		10,5%	,3%	,4%	,3%	,0%	,1%	,1%	,0%	,0%	11,7%
[64 - 72[	Count		385	21	25	25	0	8	3	0	1	468
	% within Classes Etárias		82,3%	4,5%	5,3%	5,3%	,0%	1,7%	,6%	,0%	,2%	100,0%
	% within TC Pos Esq		20,5%	12,5%	27,8%	23,8%	,0%	22,9%	33,3%	,0%	20,0%	20,4%
	% of Total		16,8%	,9%	1,1%	1,1%	,0%	,3%	,1%	,0%	,0%	20,4%
[72 -	Count		543	71	31	40	0	11	1	0	2	699

80[	% within Classes Etárias	77,7%	10,2%	4,4%	5,7%	,0%	1,6%	,1%	,0%	,3%	100,0%
	% within TC Pos Esq	28,9%	42,3%	34,4%	38,1%	,0%	31,4%	11,1%	,0%	40,0%	30,5%
	% of Total	23,7%	3,1%	1,4%	1,7%	,0%	,5%	,0%	,0%	,1%	30,5%
[80 - 88[	Count	324	57	13	25	0	7	2	0	1	429
	% within Classes Etárias	75,5%	13,3%	3,0%	5,8%	,0%	1,6%	,5%	,0%	,2%	100,0%
	% within TC Pos Esq	17,3%	33,9%	14,4%	23,8%	,0%	20,0%	22,2%	,0%	20,0%	18,7%
	% of Total	14,1%	2,5%	,6%	1,1%	,0%	,3%	,1%	,0%	,0%	18,7%
[88 - 96[	Count	40	7	1	5	0	1	0	0	0	54
	% within Classes Etárias	74,1%	13,0%	1,9%	9,3%	,0%	1,9%	,0%	,0%	,0%	100,0%
	% within TC Pos Esq	2,1%	4,2%	1,1%	4,8%	,0%	2,9%	,0%	,0%	,0%	2,4%
	% of Total	1,7%	,3%	,0%	,2%	,0%	,0%	,0%	,0%	,0%	2,4%
[96 - 103]	Count	0	1	0	0	0	0	0	0	0	1
	% within Classes Etárias	,0%	100,0%	,0%	,0%	,0%	,0%	,0%	,0%	,0%	100,0%
	% within TC Pos Esq	,0%	,6%	,0%	,0%	,0%	,0%	,0%	,0%	,0%	,0%
	% of Total	,0%	,0%	,0%	,0%	,0%	,0%	,0%	,0%	,0%	,0%
Total	Count	1877	168	90	105	1	35	9	1	5	2291
	% within Classes Etárias	81,9%	7,3%	3,9%	4,6%	,0%	1,5%	,4%	,0%	,2%	100,0%
	% within TC Pos Esq	100,0%	100,0%	100,0%	100,0%	100,0%	100,0%	100,0%	100,0%	100,0%	100,0%
	% of Total	81,9%	7,3%	3,9%	4,6%	,0%	1,5%	,4%	,0%	,2%	100,0%

Symmetric Measures

		Value	Approx. Sig.
Nominal by Nominal	Contingency Coefficient	,242	,000
N of Valid Cases		2291	

Apêndice 3.81 – Correlação da variável classes etárias vs tc pos dta.

		TC Pos Dta								Total	
		Normal	Sem janela	Est Ligeira	Est Mod/Grave	Tort	Oclusão	Roubo da ASE	Hipopl		
Classes Etárias	[8 - 16[	Count	2	0	0	0	0	0	0	0	2
		% within Classes Etárias	100,0%	,0%	,0%	,0%	,0%	,0%	,0%	,0%	100,0%
		% within TC Pos Dta	,1%	,0%	,0%	,0%	,0%	,0%	,0%	,0%	,1%
		% of Total	,1%	,0%	,0%	,0%	,0%	,0%	,0%	,0%	,1%
	[16 - 24[	Count	4	0	0	0	0	0	0	0	4
		% within Classes Etárias	100,0%	,0%	,0%	,0%	,0%	,0%	,0%	,0%	100,0%

	% within TC Pos Dta	,2%	,0%	,0%	,0%	,0%	,0%	,0%	,0%	,2%
	% of Total	,2%	,0%	,0%	,0%	,0%	,0%	,0%	,0%	,2%
[24 - 32[	Count	10	1	0	0	0	0	0	0	11
	% within Classes Etárias	90,9%	9,1%	,0%	,0%	,0%	,0%	,0%	,0%	100,0%
	% within TC Pos Dta	,5%	,5%	,0%	,0%	,0%	,0%	,0%	,0%	,5%
	% of Total	,4%	,0%	,0%	,0%	,0%	,0%	,0%	,0%	,5%
[32 - 40[	Count	42	1	2	0	0	0	0	0	45
	% within Classes Etárias	93,3%	2,2%	4,4%	,0%	,0%	,0%	,0%	,0%	100,0%
	% within TC Pos Dta	2,3%	,5%	2,0%	,0%	,0%	,0%	,0%	,0%	2,0%
	% of Total	1,8%	,0%	,1%	,0%	,0%	,0%	,0%	,0%	2,0%
[40 - 48[	Count	96	1	3	0	0	3	1	0	104
	% within Classes Etárias	92,3%	1,0%	2,9%	,0%	,0%	2,9%	1,0%	,0%	100,0%
	% within TC Pos Dta	5,2%	,5%	3,0%	,0%	,0%	9,4%	6,3%	,0%	4,5%
	% of Total	4,2%	,0%	,1%	,0%	,0%	,1%	,0%	,0%	4,5%
[48 - 56[	Count	180	4	9	7	0	5	1	0	206
	% within Classes Etárias	87,4%	1,9%	4,4%	3,4%	,0%	2,4%	,5%	,0%	100,0%
	% within TC Pos Dta	9,7%	2,2%	9,1%	8,0%	,0%	15,6%	6,3%	,0%	9,0%
	% of Total	7,9%	,2%	,4%	,3%	,0%	,2%	,0%	,0%	9,0%
[56 - 64[	Count	243	9	8	5	0	2	2	1	270
	% within Classes Etárias	90,0%	3,3%	3,0%	1,9%	,0%	,7%	,7%	,4%	100,0%
	% within TC Pos Dta	13,1%	4,9%	8,1%	5,7%	,0%	6,3%	12,5%	14,3%	11,8%
	% of Total	10,6%	,4%	,3%	,2%	,0%	,1%	,1%	,0%	11,8%
[64 - 72[	Count	372	36	21	22	3	5	4	3	466
	% within Classes Etárias	79,8%	7,7%	4,5%	4,7%	,6%	1,1%	,9%	,6%	100,0%
	% within TC Pos Dta	20,0%	19,5%	21,2%	25,0%	100,0%	15,6%	25,0%	42,9%	20,3%
	% of Total	16,2%	1,6%	,9%	1,0%	,1%	,2%	,2%	,1%	20,3%
[72 - 80[	Count	561	67	28	27	0	9	6	2	700
	% within Classes Etárias	80,1%	9,6%	4,0%	3,9%	,0%	1,3%	,9%	,3%	100,0%
	% within TC Pos Dta	30,1%	36,2%	28,3%	30,7%	,0%	28,1%	37,5%	28,6%	30,6%
	% of Total	24,5%	2,9%	1,2%	1,2%	,0%	,4%	,3%	,1%	30,6%
[80 - 88[	Count	312	58	27	23	0	6	2	1	429
	% within Classes Etárias	72,7%	13,5%	6,3%	5,4%	,0%	1,4%	,5%	,2%	100,0%

	% within TC Pos Dta	16,8%	31,4%	27,3%	26,1%	,0%	18,8%	12,5%	14,3%	18,7%
	% of Total	13,6%	2,5%	1,2%	1,0%	,0%	,3%	,1%	,0%	18,7%
[88 - 96[	Count	39	7	1	4	0	2	0	0	53
	% within Classes Etárias	73,6%	13,2%	1,9%	7,5%	,0%	3,8%	,0%	,0%	100,0%
	% within TC Pos Dta	2,1%	3,8%	1,0%	4,5%	,0%	6,3%	,0%	,0%	2,3%
	% of Total	1,7%	,3%	,0%	,2%	,0%	,1%	,0%	,0%	2,3%
[96 - 103]	Count	0	1	0	0	0	0	0	0	1
	% within Classes Etárias	,0%	100,0%	,0%	,0%	,0%	,0%	,0%	,0%	100,0%
	% within TC Pos Dta	,0%	,5%	,0%	,0%	,0%	,0%	,0%	,0%	,0%
	% of Total	,0%	,0%	,0%	,0%	,0%	,0%	,0%	,0%	,0%
Total	Count	1861	185	99	88	3	32	16	7	2291
	% within Classes Etárias	81,2%	8,1%	4,3%	3,8%	,1%	1,4%	,7%	,3%	100,0%
	% within TC Pos Dta	100,0%	100,0%	100,0%	100,0%	100,0%	100,0%	100,0%	100,0%	100,0%
	% of Total	81,2%	8,1%	4,3%	3,8%	,1%	1,4%	,7%	,3%	100,0%

Symmetric Measures

		Value	Approx. Sig.
Nominal by Nominal	Contingency Coefficient	,217	,004
N of Valid Cases		2291	

Apêndice 3.82 – Correlação da variável classes etárias vs ip.

			IP		Total
			Normal	Aumentados	
Classes Etárias	[8 - 16[	Count	2	0	2
		% within Classes Etárias	100,0%	,0%	100,0%
		% within IP	,2%	,0%	,1%
		% of Total	,1%	,0%	,1%
	[16 - 24[	Count	3	1	4
		% within Classes Etárias	75,0%	25,0%	100,0%
		% within IP	,3%	,1%	,2%
		% of Total	,1%	,0%	,2%
	[24 - 32[	Count	10	0	10
		% within Classes Etárias	100,0%	,0%	100,0%
		% within IP	,8%	,0%	,5%
		% of Total	,5%	,0%	,5%
[32 - 40[	Count	41	3	44	
	% within Classes Etárias	93,2%	6,8%	100,0%	
	% within IP	3,4%	,3%	2,0%	



	% of Total	1,9%	,1%	2,0%
[40 - 48[	Count	89	14	103
	% within Classes Etárias	86,4%	13,6%	100,0%
	% within IP	7,5%	1,4%	4,7%
	% of Total	4,0%	,6%	4,7%
[48 - 56[	Count	161	45	206
	% within Classes Etárias	78,2%	21,8%	100,0%
	% within IP	13,5%	4,5%	9,4%
	% of Total	7,3%	2,0%	9,4%
[56 - 64[	Count	190	81	271
	% within Classes Etárias	70,1%	29,9%	100,0%
	% within IP	15,9%	8,0%	12,3%
	% of Total	8,6%	3,7%	12,3%
[64 - 72[	Count	238	223	461
	% within Classes Etárias	51,6%	48,4%	100,0%
	% within IP	19,9%	22,1%	20,9%
	% of Total	10,8%	10,1%	20,9%
[72 - 80[	Count	284	373	657
	% within Classes Etárias	43,2%	56,8%	100,0%
	% within IP	23,8%	37,0%	29,8%
	% of Total	12,9%	16,9%	29,8%
[80 - 88[	Count	164	232	396
	% within Classes Etárias	41,4%	58,6%	100,0%
	% within IP	13,7%	23,0%	18,0%
	% of Total	7,4%	10,5%	18,0%
[88 - 96[	Count	12	37	49
	% within Classes Etárias	24,5%	75,5%	100,0%
	% within IP	1,0%	3,7%	2,2%
	% of Total	,5%	1,7%	2,2%
Total	Count	1194	1009	2203
	% within Classes Etárias	54,2%	45,8%	100,0%
	% within IP	100,0%	100,0%	100,0%
	% of Total	54,2%	45,8%	100,0%

Symmetric Measures

		Value	Approx. Sig.
Nominal by Nominal	Contingency Coefficient	,309	,000
N of Valid Cases		2203	

Apêndice 3.83 – Correlação da variável antecedentes pessoais de AVC vs tc ant esq.

			TC Ant Esq							Total
			Normal	Sem janela	Est Ligeira	Est Mod/Grave	Tortuosidade	Oclusão	Vasospasmo	
Ant P AVC	Não	Count	1437	197	60	52	2	22	1	1771
		% within Ant P AVC	81,1%	11,1%	3,4%	2,9%	,1%	1,2%	,1%	100,0%
		% within TC Ant Esq	78,4%	77,0%	71,4%	61,9%	100,0%	91,7%	100,0%	77,5%
		% of Total	62,9%	8,6%	2,6%	2,3%	,1%	1,0%	,0%	77,5%
	Sim	Count	396	59	24	32	0	2	0	513
		% within Ant P AVC	77,2%	11,5%	4,7%	6,2%	,0%	,4%	,0%	100,0%
		% within TC Ant Esq	21,6%	23,0%	28,6%	38,1%	,0%	8,3%	,0%	22,5%
		% of Total	17,3%	2,6%	1,1%	1,4%	,0%	,1%	,0%	22,5%
Total	Count	1833	256	84	84	2	24	1	2284	
	% within Ant P AVC	80,3%	11,2%	3,7%	3,7%	,1%	1,1%	,0%	100,0%	
	% within TC Ant Esq	100,0%	100,0%	100,0%	100,0%	100,0%	100,0%	100,0%	100,0%	
	% of Total	80,3%	11,2%	3,7%	3,7%	,1%	1,1%	,0%	100,0%	

Symmetric Measures

		Value	Approx. Sig.
Nominal by Nominal	Contingency Coefficient	,089	,006
N of Valid Cases		2284	

Apêndice 3.84 – Correlação da variável antecedentes pessoais de AVC vs tc pos esq.

			TC Pos Esq								Total	
			Normal	Sem janela	Est Ligeira	Est Mod/Grave	Tort	Oclusão	Roubo da ASE	Vasosp		Hipopl
Ant P AVC	Não	Count	1475	122	65	68	1	30	9	1	3	1774
		% within Ant P AVC	83,1%	6,9%	3,7%	3,8%	,1%	1,7%	,5%	,1%	,2%	100,0%
		% within TC Pos Esq	78,6%	72,6%	72,2%	64,8%	100,0%	85,7%	100,0%	100,0%	60,0%	77,4%
		% of Total	64,4%	5,3%	2,8%	3,0%	,0%	1,3%	,4%	,0%	,1%	77,4%
	Sim	Count	402	46	25	37	0	5	0	0	2	517
		% within Ant P AVC	77,8%	8,9%	4,8%	7,2%	,0%	1,0%	,0%	,0%	,4%	100,0%
		% within TC Pos Esq	21,4%	27,4%	27,8%	35,2%	,0%	14,3%	,0%	,0%	40,0%	22,6%
		% of Total	17,5%	2,0%	1,1%	1,6%	,0%	,2%	,0%	,0%	,1%	22,6%
Total	Count	1877	168	90	105	1	35	9	1	5	2291	

% within Ant P AVC	81,9%	7,3%	3,9%	4,6%	,0%	1,5%	,4%	,0%	,2%	100,0%
% within TC Pos Esq	100,0%	100,0%	100,0%	100,0%	100,0%	100,0%	100,0%	100,0%	100,0%	100,0%
% of Total	81,9%	7,3%	3,9%	4,6%	,0%	1,5%	,4%	,0%	,2%	100,0%

Symmetric Measures

		Value	Approx. Sig.
Nominal by Nominal	Contingency Coefficient	,093	,010
N of Valid Cases		2291	

Apêndice 3.85 – Correlação da variável antecedentes pessoais de AVC vs tc pos dta.

			TC Pos Dta							Total	
			Normal	Sem janela	Est Ligeira	Est Mod/Grave	Tort	Oclusão	Roubo da ASE		Hipopl
Ant P AVC	Não	Count	1477	132	65	60	3	23	10	5	1775
		% within Ant P AVC	83,2%	7,4%	3,7%	3,4%	,2%	1,3%	,6%	,3%	100,0%
		% within TC Pos Dta	79,4%	71,4%	65,7%	68,2%	100,0%	71,9%	62,5%	71,4%	77,5%
		% of Total	64,5%	5,8%	2,8%	2,6%	,1%	1,0%	,4%	,2%	77,5%
Ant P AVC	Sim	Count	384	53	34	28	0	9	6	2	516
		% within Ant P AVC	74,4%	10,3%	6,6%	5,4%	,0%	1,7%	1,2%	,4%	100,0%
		% within TC Pos Dta	20,6%	28,6%	34,3%	31,8%	,0%	28,1%	37,5%	28,6%	22,5%
		% of Total	16,8%	2,3%	1,5%	1,2%	,0%	,4%	,3%	,1%	22,5%
Total		Count	1861	185	99	88	3	32	16	7	2291
		% within Ant P AVC	81,2%	8,1%	4,3%	3,8%	,1%	1,4%	,7%	,3%	100,0%
		% within TC Pos Dta	100,0%	100,0%	100,0%	100,0%	100,0%	100,0%	100,0%	100,0%	100,0%
		% of Total	81,2%	8,1%	4,3%	3,8%	,1%	1,4%	,7%	,3%	100,0%

Symmetric Measures

		Value	Approx. Sig.
Nominal by Nominal	Contingency Coefficient	,101	,001
N of Valid Cases		2291	

Apêndice 3.86 – Correlação da variável antecedentes pessoais de AVC vs ip.

Crosstab

			IP		Total
			Normal	Aumentados	
Ant P AVC	Não	Count	949	766	1715
		% within Ant P AVC	55,3%	44,7%	100,0%
		% within IP	79,5%	75,9%	77,8%

	% of Total	43,1%	34,8%	77,8%
Sim	Count	245	243	488
	% within Ant P AVC	50,2%	49,8%	100,0%
	% within IP	20,5%	24,1%	22,2%
	% of Total	11,1%	11,0%	22,2%
Total	Count	1194	1009	2203
	% within Ant P AVC	54,2%	45,8%	100,0%
	% within IP	100,0%	100,0%	100,0%
	% of Total	54,2%	45,8%	100,0%

Symmetric Measures

		Value	Approx. Sig.
Nominal by Nominal	Contingency Coefficient	,043	,045
N of Valid Cases		2203	

Apêndice 3.87 – Correlação da variável antecedentes familiares de AVC vs ip.

			IP		Total
			Normal	Aumentados	
Ant F 1ºG AVC	Não	Count	1000	883	1883
		% within Ant F 1ºG AVC	53,1%	46,9%	100,0%
		% within IP	83,8%	87,5%	85,5%
		% of Total	45,4%	40,1%	85,5%
Sim, com idade < 65anos		Count	80	43	123
		% within Ant F 1ºG AVC	65,0%	35,0%	100,0%
		% within IP	6,7%	4,3%	5,6%
		% of Total	3,6%	2,0%	5,6%
Sim, com idade >= 65anos		Count	114	83	197
		% within Ant F 1ºG AVC	57,9%	42,1%	100,0%
		% within IP	9,5%	8,2%	8,9%
		% of Total	5,2%	3,8%	8,9%
Total		Count	1194	1009	2203
		% within Ant F 1ºG AVC	54,2%	45,8%	100,0%
		% within IP	100,0%	100,0%	100,0%
		% of Total	54,2%	45,8%	100,0%

Symmetric Measures

		Value	Approx. Sig.
Nominal by Nominal	Contingency Coefficient	,059	,020
N of Valid Cases		2203	

• FATORES DE RISCO MODIFICÁVEIS vs TST

Apêndice 3.88 – Correlação da variável HTA vs tc ant esq.

		TC Ant Esq							Total
		Normal	Sem janela	Est Ligeira	Est Mod/Grave	Tortuosidade	Oclusão	Vasospasmo	
HTA Não	Count	447	47	9	16	1	5	0	525
	% within HTA	85,1%	9,0%	1,7%	3,0%	,2%	1,0%	,0%	100,0%
	% within TC Ant Esq	24,4%	18,4%	10,7%	19,0%	50,0%	20,8%	,0%	23,0%
	% of Total	19,6%	2,1%	,4%	,7%	,0%	,2%	,0%	23,0%
Sim	Count	1386	209	75	68	1	19	1	1759
	% within HTA	78,8%	11,9%	4,3%	3,9%	,1%	1,1%	,1%	100,0%
	% within TC Ant Esq	75,6%	81,6%	89,3%	81,0%	50,0%	79,2%	100,0%	77,0%
	% of Total	60,7%	9,2%	3,3%	3,0%	,0%	,8%	,0%	77,0%
Total	Count	1833	256	84	84	2	24	1	2284
	% within HTA	80,3%	11,2%	3,7%	3,7%	,1%	1,1%	,0%	100,0%
	% within TC Ant Esq	100,0%	100,0%	100,0%	100,0%	100,0%	100,0%	100,0%	100,0%
	% of Total	80,3%	11,2%	3,7%	3,7%	,1%	1,1%	,0%	100,0%

Symmetric Measures

		Value	Approx. Sig.
Nominal by Nominal	Contingency Coefficient	,079	,028
N of Valid Cases		2284	

Apêndice 3.89 – Correlação da variável HTA vs tc ant dta.

		TC Ant Dta							Total
		Normal	Sem janela	Est Ligeira	Est Mod/Grave	Tortuosidade	Oclusão	Roubo da ASE	
HTA Não	Count	457	44	12	12	0	2	0	527
	% within HTA	86,7%	8,3%	2,3%	2,3%	,0%	,4%	,0%	100,0%
	% within TC Ant Dta	24,4%	16,8%	15,6%	23,5%	,0%	10,0%	,0%	23,1%
	% of Total	20,0%	1,9%	,5%	,5%	,0%	,1%	,0%	23,1%
Sim	Count	1413	218	65	39	2	18	1	1756
	% within HTA	80,5%	12,4%	3,7%	2,2%	,1%	1,0%	,1%	100,0%
	% within TC Ant Dta	75,6%	83,2%	84,4%	76,5%	100,0%	90,0%	100,0%	76,9%
	% of Total	61,9%	9,5%	2,8%	1,7%	,1%	,8%	,0%	76,9%
Total	Count	1870	262	77	51	2	20	1	2283
	% within HTA	81,9%	11,5%	3,4%	2,2%	,1%	,9%	,0%	100,0%

% within TC Ant Dta	100,0%	100,0%	100,0%	100,0%	100,0%	100,0%	100,0%	100,0%	100,0%
% of Total	81,9%	11,5%	3,4%	2,2%	,1%	,9%	,0%	100,0%	

**symmetric Measures**

		Value	Approx. Sig.
Nominal by Nominal	Contingency Coefficient	,075	,042
N of Valid Cases		2283	

Apêndice 3.90 – Correlação da variável HTA vs tc post esq.

		TC Pos Esq								Total	
		Normal	Sem janela	Est Ligeira	Est Mod/Grave	Tortuosidade	Oclusão	Roubo da ASE	Vasospasmo		Hipoplasia
HTA Não	Count	461	30	16	13	0	3	4	0	1	528
	% within HTA	87,3%	5,7%	3,0%	2,5%	,0%	,6%	,8%	,0%	,2%	100,0%
	% within TC Pos Esq	24,6%	17,9%	17,8%	12,4%	,0%	8,6%	44,4%	,0%	20,0%	23,0%
	% of Total	20,1%	1,3%	,7%	,6%	,0%	,1%	,2%	,0%	,0%	23,0%
Sim	Count	1416	138	74	92	1	32	5	1	4	1763
	% within HTA	80,3%	7,8%	4,2%	5,2%	,1%	1,8%	,3%	,1%	,2%	100,0%
	% within TC Pos Esq	75,4%	82,1%	82,2%	87,6%	100,0%	91,4%	55,6%	100,0%	80,0%	77,0%
	% of Total	61,8%	6,0%	3,2%	4,0%	,0%	1,4%	,2%	,0%	,2%	77,0%
Total	Count	1877	168	90	105	1	35	9	1	5	2291
	% within HTA	81,9%	7,3%	3,9%	4,6%	,0%	1,5%	,4%	,0%	,2%	100,0%
	% within TC Pos Esq	100,0%	100,0%	100,0%	100,0%	100,0%	100,0%	100,0%	100,0%	100,0%	100,0%
	% of Total	81,9%	7,3%	3,9%	4,6%	,0%	1,5%	,4%	,0%	,2%	100,0%

**Symmetric Measures**

		Value	Approx. Sig.
Nominal by Nominal	Contingency Coefficient	,093	,010
N of Valid Cases		2291	

Apêndice 3.91 – Correlação d variável HTA vs tc post dta.

		TC Pos Dta								Total
		Normal	Sem janela	Est Ligeira	Est Mod/Grave	Tortuosidade	Oclusão	Roubo da ASE	Hipoplasia	
HTA Não	Count	459	33	14	18	1	2	2	0	529
	% within HTA	86,8%	6,2%	2,6%	3,4%	,2%	,4%	,4%	,0%	100,0%
	% within TC Pos Dta	24,7%	17,8%	14,1%	20,5%	33,3%	6,3%	12,5%	,0%	23,1%
	% of Total	20,0%	1,4%	,6%	,8%	,0%	,1%	,1%	,0%	23,1%
Sim	Count	1402	152	85	70	2	30	14	7	1762
	% within HTA	79,6%	8,6%	4,8%	4,0%	,1%	1,7%	,8%	,4%	100,0%
	% within TC Pos Dta	75,3%	82,2%	85,9%	79,5%	66,7%	93,8%	87,5%	100,0%	76,9%
	% of Total	61,2%	6,6%	3,7%	3,1%	,1%	1,3%	,6%	,3%	76,9%
Total	Count	1861	185	99	88	3	32	16	7	2291
	% within HTA	81,2%	8,1%	4,3%	3,8%	,1%	1,4%	,7%	,3%	100,0%
	% within TC Pos Dta	100,0%	100,0%	100,0%	100,0%	100,0%	100,0%	100,0%	100,0%	100,0%
	% of Total	81,2%	8,1%	4,3%	3,8%	,1%	1,4%	,7%	,3%	100,0%

Symmetric Measures

		Value	Approx. Sig.
Nominal by Nominal	Contingency Coefficient	,090	,009
N of Valid Cases		2291	

Apêndice 3.92 – Correlação da variável HTA vs ip.

			IP		Total
			Normal	Aumentados	
HTA Não	Count		320	193	513
	% within HTA		62,4%	37,6%	100,0%
	% within IP		26,8%	19,1%	23,3%
	% of Total		14,5%	8,8%	23,3%
Sim	Count		874	816	1690
	% within HTA		51,7%	48,3%	100,0%
	% within IP		73,2%	80,9%	76,7%
	% of Total		39,7%	37,0%	76,7%
Total	Count		1194	1009	2203
	% within HTA		54,2%	45,8%	100,0%
	% within IP		100,0%	100,0%	100,0%
	% of Total		54,2%	45,8%	100,0%

Symmetric Measures

		Value	Approx. Sig.
Nominal by Nominal	Contingency Coefficient	,090	,000
N of Valid Cases		2203	

Apêndice 3.93 – Correlação da variável DM vs tc ant esq.

			TC Ant Esq						Total	
			Normal	Sem janela	Est Ligeira	Est Mod/Grave	Tortuosidade	Oclusão		Vasospasmo
DM Não	Count		1308	181	50	42	2	20	0	1603
	% within DM		81,6%	11,3%	3,1%	2,6%	,1%	1,2%	,0%	100,0%
	% within TC Ant Esq		71,4%	70,7%	59,5%	50,0%	100,0%	83,3%	,0%	70,2%
	% of Total		57,3%	7,9%	2,2%	1,8%	,1%	,9%	,0%	70,2%
DM Sim	Count		525	75	34	42	0	4	1	681
	% within DM		77,1%	11,0%	5,0%	6,2%	,0%	,6%	,1%	100,0%
	% within TC Ant Esq		28,6%	29,3%	40,5%	50,0%	,0%	16,7%	100,0%	29,8%
	% of Total		23,0%	3,3%	1,5%	1,8%	,0%	,2%	,0%	29,8%
Total	Count		1833	256	84	84	2	24	1	2284
	% within DM		80,3%	11,2%	3,7%	3,7%	,1%	1,1%	,0%	100,0%
	% within TC Ant Esq		100,0%	100,0%	100,0%	100,0%	100,0%	100,0%	100,0%	100,0%
	% of Total		80,3%	11,2%	3,7%	3,7%	,1%	1,1%	,0%	100,0%

Symmetric Measures

		Value	Approx. Sig.
Nominal by Nominal	Contingency Coefficient	,109	,000
N of Valid Cases		2284	

Apêndice 3.94 – Correlação da variável DM vs tc ant dta.

			TC Ant Dta						Total	
			Normal	Sem janela	Est Ligeira	Est Mod/Grave	Tortuosidade	Oclusão		Roubo da ASE
DM Não	Count		1339	179	44	26	1	15	1	1605
	% within DM		83,4%	11,2%	2,7%	1,6%	,1%	,9%	,1%	100,0%
	% within TC Ant Dta		71,6%	68,3%	57,1%	51,0%	50,0%	75,0%	100,0%	70,3%
	% of Total		58,7%	7,8%	1,9%	1,1%	,0%	,7%	,0%	70,3%
DM Sim	Count		531	83	33	25	1	5	0	678
	% within DM		78,3%	12,2%	4,9%	3,7%	,1%	,7%	,0%	100,0%
	% within TC Ant Dta		28,4%	31,7%	42,9%	49,0%	50,0%	25,0%	,0%	29,7%



	% of Total	23,3%	3,6%	1,4%	1,1%	,0%	,2%	,0%	29,7%
Total	Count	1870	262	77	51	2	20	1	2283
	% within DM	81,9%	11,5%	3,4%	2,2%	,1%	,9%	,0%	100,0%
	% within TC Ant Dta	100,0%	100,0%	100,0%	100,0%	100,0%	100,0%	100,0%	100,0%
	% of Total	81,9%	11,5%	3,4%	2,2%	,1%	,9%	,0%	100,0%

Symmetric Measures

	Value	Approx. Sig.
Nominal by Nominal Contingency Coefficient	,090	,005
N of Valid Cases	2283	

Apêndice 3.95 – Correlação da variável DM vs tc pos esq.

		TC Pos Esq								Total	
		Normal	Sem janela	Est Ligeira	Est Mod/Grave	Tortuosidade	Oclusão	Roubo da ASE	Vasospasmo		Hipoplasia
DM Não	Count	1341	116	49	64	1	24	9	0	4	1608
	% within DM	83,4%	7,2%	3,0%	4,0%	,1%	1,5%	,6%	,0%	,2%	100,0%
	% within TC Pos Esq	71,4%	69,0%	54,4%	61,0%	100,0%	68,6%	100,0%	,0%	80,0%	70,2%
	% of Total	58,5%	5,1%	2,1%	2,8%	,0%	1,0%	,4%	,0%	,2%	70,2%
Sim	Count	536	52	41	41	0	11	0	1	1	683
	% within DM	78,5%	7,6%	6,0%	6,0%	,0%	1,6%	,0%	,1%	,1%	100,0%
	% within TC Pos Esq	28,6%	31,0%	45,6%	39,0%	,0%	31,4%	,0%	100,0%	20,0%	29,8%
	% of Total	23,4%	2,3%	1,8%	1,8%	,0%	,5%	,0%	,0%	,0%	29,8%
Total	Count	1877	168	90	105	1	35	9	1	5	2291
	% within DM	81,9%	7,3%	3,9%	4,6%	,0%	1,5%	,4%	,0%	,2%	100,0%
	% within TC Pos Esq	100,0%	100,0%	100,0%	100,0%	100,0%	100,0%	100,0%	100,0%	100,0%	100,0%
	% of Total	81,9%	7,3%	3,9%	4,6%	,0%	1,5%	,4%	,0%	,2%	100,0%

Symmetric Measures

	Value	Approx. Sig.
Nominal by Nominal Contingency Coefficient	,100	,003
N of Valid Cases	2291	

Apêndice 3.96 – Correlação da variável DM vs tc pos dta.

		TC Pos Dta								Total
		Normal	Sem janela	Est Ligeira	Est Mod/Grave	Tortuosidade	Oclusão	Roubo da ASE	Hipoplasia	
DM Não	Count	1342	120	55	52	3	23	10	4	1609

	% within DM	83,4%	7,5%	3,4%	3,2%	,2%	1,4%	,6%	,2%	100,0%
	% within TC Pos Dta	72,1%	64,9%	55,6%	59,1%	100,0%	71,9%	62,5%	57,1%	70,2%
	% of Total	58,6%	5,2%	2,4%	2,3%	,1%	1,0%	,4%	,2%	70,2%
Sim	Count	519	65	44	36	0	9	6	3	682
	% within DM	76,1%	9,5%	6,5%	5,3%	,0%	1,3%	,9%	,4%	100,0%
	% within TC Pos Dta	27,9%	35,1%	44,4%	40,9%	,0%	28,1%	37,5%	42,9%	29,8%
	% of Total	22,7%	2,8%	1,9%	1,6%	,0%	,4%	,3%	,1%	29,8%
Total	Count	1861	185	99	88	3	32	16	7	2291
	% within DM	81,2%	8,1%	4,3%	3,8%	,1%	1,4%	,7%	,3%	100,0%
	% within TC Pos Dta	100,0%	100,0%	100,0%	100,0%	100,0%	100,0%	100,0%	100,0%	100,0%
	% of Total	81,2%	8,1%	4,3%	3,8%	,1%	1,4%	,7%	,3%	100,0%

Symmetric Measures

		Value	Approx. Sig.
Nominal by Nominal	Contingency Coefficient	,101	,001
N of Valid Cases		2291	

Apêndice 3.97 – Correlação da variável DM vs ip.

			IP		Total
			Normal	Aumentados	
DM	Não	Count	874	679	1553
		% within DM	56,3%	43,7%	100,0%
		% within IP	73,2%	67,3%	70,5%
		% of Total	39,7%	30,8%	70,5%
Sim		Count	320	330	650
		% within DM	49,2%	50,8%	100,0%
		% within IP	26,8%	32,7%	29,5%
		% of Total	14,5%	15,0%	29,5%
Total		Count	1194	1009	2203
		% within DM	54,2%	45,8%	100,0%
		% within IP	100,0%	100,0%	100,0%
		% of Total	54,2%	45,8%	100,0%

Symmetric Measures

		Value	Approx. Sig.
Nominal by Nominal	Contingency Coefficient	,064	,002
N of Valid Cases		2203	

Apêndice 3.98 – Correlação da variável dislipidemia vs tc ant esq.

		TC Ant Esq							Total
		Normal	Sem janela	Est Ligeira	Est Mod/Grave	Tortuosidade	Oclusão	Vasospasmo	
Dislipid. Não	Count	1224	176	58	40	2	16	1	1517
	% within Dislipid.	80,7%	11,6%	3,8%	2,6%	,1%	1,1%	,1%	100,0%
	% within TC Ant Esq	66,8%	68,8%	69,0%	47,6%	100,0%	66,7%	100,0%	66,4%
	% of Total	53,6%	7,7%	2,5%	1,8%	,1%	,7%	,0%	66,4%
Sim	Count	609	80	26	44	0	8	0	767
	% within Dislipid.	79,4%	10,4%	3,4%	5,7%	,0%	1,0%	,0%	100,0%
	% within TC Ant Esq	33,2%	31,3%	31,0%	52,4%	,0%	33,3%	,0%	33,6%
	% of Total	26,7%	3,5%	1,1%	1,9%	,0%	,4%	,0%	33,6%
Total	Count	1833	256	84	84	2	24	1	2284
	% within Dislipid.	80,3%	11,2%	3,7%	3,7%	,1%	1,1%	,0%	100,0%
	% within TC Ant Esq	100,0%	100,0%	100,0%	100,0%	100,0%	100,0%	100,0%	100,0%
	% of Total	80,3%	11,2%	3,7%	3,7%	,1%	1,1%	,0%	100,0%

Symmetric Measures

		Value	Approx. Sig.
Nominal by Nominal	Contingency Coefficient	,083	,015
N of Valid Cases		2284	

Apêndice 3.99 – Correlação da variável dislipidemia vs tc pos dta.

		TC Pos Dta							Total	
		Normal	Sem janela	Est Ligeira	Est Mod/Grave	Tortuosidade	Oclusão	Roubo da ASE		Hipoplasia
Dislipid. Não	Count	1247	122	63	56	3	24	8	0	1523
	% within Dislipid.	81,9%	8,0%	4,1%	3,7%	,2%	1,6%	,5%	,0%	100,0%
	% within TC Pos Dta	67,0%	65,9%	63,6%	63,6%	100,0%	75,0%	50,0%	,0%	66,5%
	% of Total	54,4%	5,3%	2,7%	2,4%	,1%	1,0%	,3%	,0%	66,5%
Sim	Count	614	63	36	32	0	8	8	7	768
	% within Dislipid.	79,9%	8,2%	4,7%	4,2%	,0%	1,0%	1,0%	,9%	100,0%
	% within TC Pos Dta	33,0%	34,1%	36,4%	36,4%	,0%	25,0%	50,0%	100,0%	33,5%
	% of Total	26,8%	2,7%	1,6%	1,4%	,0%	,3%	,3%	,3%	33,5%

Total	Count	1861	185	99	88	3	32	16	7	2291
	% within Dislipid.	81,2%	8,1%	4,3%	3,8%	,1%	1,4%	,7%	,3%	100,0%
	% within TC Pos Dta	100,0%	100,0%	100,0%	100,0%	100,0%	100,0%	100,0%	100,0%	100,0%
	% of Total	81,2%	8,1%	4,3%	3,8%	,1%	1,4%	,7%	,3%	100,0%

Symmetric Measures

		Value	Approx. Sig.
Nominal by Nominal	Contingency Coefficient	,091	,007
N of Valid Cases		2291	

Apêndice 3.100 – Correlação da variável tabagismo vs tc ant esq.

			TC Ant Esq						Total	
			Normal	Sem janela	Est Ligeira	Est Mod/Grave	Tortuosidade	Oclusão		Vasospasmo
Tabag. Não	Count		1310	240	61	60	2	19	1	1693
	% within Tabag.		77,4%	14,2%	3,6%	3,5%	,1%	1,1%	,1%	100,0%
	% within TC Ant Esq		71,5%	93,8%	72,6%	71,4%	100,0%	79,2%	100,0%	74,1%
	% of Total		57,4%	10,5%	2,7%	2,6%	,1%	,8%	,0%	74,1%
Sim	Count		221	5	10	4	0	2	0	242
	% within Tabag.		91,3%	2,1%	4,1%	1,7%	,0%	,8%	,0%	100,0%
	% within TC Ant Esq		12,1%	2,0%	11,9%	4,8%	,0%	8,3%	,0%	10,6%
	% of Total		9,7%	,2%	,4%	,2%	,0%	,1%	,0%	10,6%
Ex-fmdr	Count		302	11	13	20	0	3	0	349
	% within Tabag.		86,5%	3,2%	3,7%	5,7%	,0%	,9%	,0%	100,0%
	% within TC Ant Esq		16,5%	4,3%	15,5%	23,8%	,0%	12,5%	,0%	15,3%
	% of Total		13,2%	,5%	,6%	,9%	,0%	,1%	,0%	15,3%
Total	Count		1833	256	84	84	2	24	1	2284
	% within Tabag.		80,3%	11,2%	3,7%	3,7%	,1%	1,1%	,0%	100,0%
	% within TC Ant Esq		100,0%	100,0%	100,0%	100,0%	100,0%	100,0%	100,0%	100,0%
	% of Total		80,3%	11,2%	3,7%	3,7%	,1%	1,1%	,0%	100,0%

Symmetric Measures

		Value	Approx. Sig.
Nominal by Nominal	Contingency Coefficient	,169	,000
N of Valid Cases		2284	

Apêndice 3.101 – Correlação da variável tabagismo vs tc ant dta.

			TC Ant Dta							Total
			Normal	Sem janela	Est Ligeira	Est Mod/Grave	Tortuosidade	Oclusão	Roubo da ASE	
Tabag. Não	Count		1338	242	57	38	1	16	1	1693
	% within Tabag.		79,0%	14,3%	3,4%	2,2%	,1%	,9%	,1%	100,0%
	% within TC Ant Dta		71,6%	92,4%	74,0%	74,5%	50,0%	80,0%	100,0%	74,2%
	% of Total		58,6%	10,6%	2,5%	1,7%	,0%	,7%	,0%	74,2%
Sim	Count		224	7	5	5	0	1	0	242
	% within Tabag.		92,6%	2,9%	2,1%	2,1%	,0%	,4%	,0%	100,0%
	% within TC Ant Dta		12,0%	2,7%	6,5%	9,8%	,0%	5,0%	,0%	10,6%
	% of Total		9,8%	,3%	,2%	,2%	,0%	,0%	,0%	10,6%
Ex-fmdr	Count		308	13	15	8	1	3	0	348
	% within Tabag.		88,5%	3,7%	4,3%	2,3%	,3%	,9%	,0%	100,0%
	% within TC Ant Dta		16,5%	5,0%	19,5%	15,7%	50,0%	15,0%	,0%	15,2%
	% of Total		13,5%	,6%	,7%	,4%	,0%	,1%	,0%	15,2%
Total	Count		1870	262	77	51	2	20	1	2283
	% within Tabag.		81,9%	11,5%	3,4%	2,2%	,1%	,9%	,0%	100,0%
	% within TC Ant Dta		100,0%	100,0%	100,0%	100,0%	100,0%	100,0%	100,0%	100,0%
	% of Total		81,9%	11,5%	3,4%	2,2%	,1%	,9%	,0%	100,0%

Symmetric Measures

		Value	Approx. Sig.
Nominal by Nominal	Contingency Coefficient	,157	,000
N of Valid Cases		2283	

Apêndice 3.102 – Correlação da variável tabagismo vs tc pos esq.

			TC Pos Esq								Total	
			Normal	Sem janela	Est Ligeira	Est Mod/Grave	Tortuosidade	Oclusão	Roubo da ASE	Vasospasmo		Hipoplasia
Tabag. Não	Count		1357	161	72	76	1	23	5	1	4	1700
	% within Tabag.		79,8%	9,5%	4,2%	4,5%	,1%	1,4%	,3%	,1%	,2%	100,0%
	% within TC Pos Esq		72,3%	95,8%	80,0%	72,4%	100,0%	65,7%	55,6%	100,0%	80,0%	74,2%
	% of Total		59,2%	7,0%	3,1%	3,3%	,0%	1,0%	,2%	,0%	,2%	74,2%
Sim	Count		221	4	4	8	0	4	1	0	0	242

	% within Tabag.	91,3%	1,7%	1,7%	3,3%	,0%	1,7%	,4%	,0%	,0%	100,0%
	% within TC Pos Esq	11,8%	2,4%	4,4%	7,6%	,0%	11,4%	11,1%	,0%	,0%	10,6%
	% of Total	9,6%	,2%	,2%	,3%	,0%	,2%	,0%	,0%	,0%	10,6%
Ex-fmldr	Count	299	3	14	21	0	8	3	0	1	349
	% within Tabag.	85,7%	,9%	4,0%	6,0%	,0%	2,3%	,9%	,0%	,3%	100,0%
	% within TC Pos Esq	15,9%	1,8%	15,6%	20,0%	,0%	22,9%	33,3%	,0%	20,0%	15,2%
	% of Total	13,1%	,1%	,6%	,9%	,0%	,3%	,1%	,0%	,0%	15,2%
Total	Count	1877	168	90	105	1	35	9	1	5	2291
	% within Tabag.	81,9%	7,3%	3,9%	4,6%	,0%	1,5%	,4%	,0%	,2%	100,0%
	% within TC Pos Esq	100,0%	100,0%	100,0%	100,0%	100,0%	100,0%	100,0%	100,0%	100,0%	100,0%
	% of Total	81,9%	7,3%	3,9%	4,6%	,0%	1,5%	,4%	,0%	,2%	100,0%

Symmetric Measures

		Value	Approx. Sig.
Nominal by Nominal	Contingency Coefficient	,155	,000
N of Valid Cases		2291	

Apêndice 3.103 – Correlação da variável tabagismo vs tc pos dta.

			TC Pos Dta							Total	
			Normal	Sem janela	Est Ligeira	Est Mod/Grave	Tortuosidade	Oclusão	Roubo da ASE		Hipoplasia
Tabag.	Não	Count	1358	172	71	60	2	22	10	5	1700
		% within Tabag.	79,9%	10,1%	4,2%	3,5%	,1%	1,3%	,6%	,3%	100,0%
		% within TC Pos Dta	73,0%	93,0%	71,7%	68,2%	66,7%	68,8%	62,5%	71,4%	74,2%
		% of Total	59,3%	7,5%	3,1%	2,6%	,1%	1,0%	,4%	,2%	74,2%
	Sim	Count	219	6	4	7	0	5	1	1	243
		% within Tabag.	90,1%	2,5%	1,6%	2,9%	,0%	2,1%	,4%	,4%	100,0%
		% within TC Pos Dta	11,8%	3,2%	4,0%	8,0%	,0%	15,6%	6,3%	14,3%	10,6%
		% of Total	9,6%	,3%	,2%	,3%	,0%	,2%	,0%	,0%	10,6%
Ex-	Count	284	7	24	21	1	5	5	1	348	

fmdr	% within Tabag.	81,6%	2,0%	6,9%	6,0%	,3%	1,4%	1,4%	,3%	100,0%
	% within TC Pos Dta	15,3%	3,8%	24,2%	23,9%	33,3%	15,6%	31,3%	14,3%	15,2%
	% of Total	12,4%	,3%	1,0%	,9%	,0%	,2%	,2%	,0%	15,2%
Total	Count	1861	185	99	88	3	32	16	7	2291
	% within Tabag.	81,2%	8,1%	4,3%	3,8%	,1%	1,4%	,7%	,3%	100,0%
	% within TC Pos Dta	100,0%	100,0%	100,0%	100,0%	100,0%	100,0%	100,0%	100,0%	100,0%
	% of Total	81,2%	8,1%	4,3%	3,8%	,1%	1,4%	,7%	,3%	100,0%

Symmetric Measures

		Value	Approx. Sig.
Nominal by Nominal	Contingency Coefficient	,156	,000
N of Valid Cases		2291	

Apêndice 3.104 – Correlação da variável tabagismo vs ip.

			IP		Total
			Normal	Aumentados	
Tabag.	Não	Count	859	750	1609
		% within Tabag.	53,4%	46,6%	100,0%
		% within IP	71,9%	74,3%	73,0%
		% of Total	39,0%	34,0%	73,0%
	Sim	Count	161	82	243
		% within Tabag.	66,3%	33,7%	100,0%
		% within IP	13,5%	8,1%	11,0%
		% of Total	7,3%	3,7%	11,0%
	Ex-fmdr	Count	174	177	351
		% within Tabag.	49,6%	50,4%	100,0%
		% within IP	14,6%	17,5%	15,9%
		% of Total	7,9%	8,0%	15,9%
Total	Count	1194	1009	2203	
	% within Tabag.	54,2%	45,8%	100,0%	
	% within IP	100,0%	100,0%	100,0%	
	% of Total	54,2%	45,8%	100,0%	

Symmetric Measures

		Value	Approx. Sig.
Nominal by Nominal	Contingency Coefficient	,089	,000
N of Valid Cases		2203	

Apêndice 3.105 – Correlação da variável FA vs tc ant esq.

			TC Ant Esq						Total	
			Normal	Sem janela	Est Ligeira	Est Mod/Grave	Tortuosidade	Oclusão		Vasospasmo
ECG FA	Não	Count	1578	199	78	73	2	18	1	1949
		% within ECG FA	81,0%	10,2%	4,0%	3,7%	,1%	,9%	,1%	100,0%
		% within TC Ant Esq	86,1%	77,7%	92,9%	86,9%	100,0%	75,0%	100,0%	85,3%
		% of Total	69,1%	8,7%	3,4%	3,2%	,1%	,8%	,0%	85,3%
	Sim	Count	255	57	6	11	0	6	0	335
		% within ECG FA	76,1%	17,0%	1,8%	3,3%	,0%	1,8%	,0%	100,0%
		% within TC Ant Esq	13,9%	22,3%	7,1%	13,1%	,0%	25,0%	,0%	14,7%
		% of Total	11,2%	2,5%	,3%	,5%	,0%	,3%	,0%	14,7%
Total	Count	1833	256	84	84	2	24	1	2284	
	% within ECG FA	80,3%	11,2%	3,7%	3,7%	,1%	1,1%	,0%	100,0%	
	% within TC Ant Esq	100,0%	100,0%	100,0%	100,0%	100,0%	100,0%	100,0%	100,0%	
	% of Total	80,3%	11,2%	3,7%	3,7%	,1%	1,1%	,0%	100,0%	

Symmetric Measures

		Value	Approx. Sig.
Nominal by Nominal	Contingency Coefficient	,091	,004
N of Valid Cases		2284	

Apêndice 3.106 – Correlação da variável FA vs tc ant dta.

			TC Ant Dta						Total	
			Normal	Sem janela	Est Ligeira	Est Mod/Grave	Tortuosidade	Oclusão		Roubo da ASE
ECG FA	Não	Count	1613	204	70	44	2	13	1	1947
		% within ECG FA	82,8%	10,5%	3,6%	2,3%	,1%	,7%	,1%	100,0%
		% within TC Ant Dta	86,3%	77,9%	90,9%	86,3%	100,0%	65,0%	100,0%	85,3%
		% of Total	70,7%	8,9%	3,1%	1,9%	,1%	,6%	,0%	85,3%
	Sim	Count	257	58	7	7	0	7	0	336
		% within ECG FA	76,5%	17,3%	2,1%	2,1%	,0%	2,1%	,0%	100,0%
		% within TC Ant Dta	13,7%	22,1%	9,1%	13,7%	,0%	35,0%	,0%	14,7%
		% of Total	11,3%	2,5%	,3%	,3%	,0%	,3%	,0%	14,7%
Total	Count	1870	262	77	51	2	20	1	2283	



% within ECG FA	81,9%	11,5%	3,4%	2,2%	,1%	,9%	,0%	100,0%
% within TC Ant Dta	100,0%	100,0%	100,0%	100,0%	100,0%	100,0%	100,0%	100,0%
% of Total	81,9%	11,5%	3,4%	2,2%	,1%	,9%	,0%	100,0%

Symmetric Measures

		Value	Approx. Sig.
Nominal by Nominal	Contingency Coefficient	,098	,001
N of Valid Cases		2283	

Apêndice 3.107 – Correlação da variável FA vs tc pos esq.

		TC Pos Esq									Total
		Normal	Sem janela	Est Ligeira	Est Mod/Grave	Tortuosidade	Oclusão	Roubo da ASE	Vasospasmo	Hipoplasia	
ECG FA	Não Count	1618	127	78	89	1	27	9	1	5	1955
	% within ECG FA	82,8%	6,5%	4,0%	4,6%	,1%	1,4%	,5%	,1%	,3%	100,0%
	% within TC Pos Esq	86,2%	75,6%	86,7%	84,8%	100,0%	77,1%	100,0%	100,0%	100,0%	85,3%
	% of Total	70,6%	5,5%	3,4%	3,9%	,0%	1,2%	,4%	,0%	,2%	85,3%
Sim	Count	259	41	12	16	0	8	0	0	0	336
	% within ECG FA	77,1%	12,2%	3,6%	4,8%	,0%	2,4%	,0%	,0%	,0%	100,0%
	% within TC Pos Esq	13,8%	24,4%	13,3%	15,2%	,0%	22,9%	,0%	,0%	,0%	14,7%
	% of Total	11,3%	1,8%	,5%	,7%	,0%	,3%	,0%	,0%	,0%	14,7%
Total	Count	1877	168	90	105	1	35	9	1	5	2291
	% within ECG FA	81,9%	7,3%	3,9%	4,6%	,0%	1,5%	,4%	,0%	,2%	100,0%
	% within TC Pos Esq	100,0%	100,0%	100,0%	100,0%	100,0%	100,0%	100,0%	100,0%	100,0%	100,0%
	% of Total	81,9%	7,3%	3,9%	4,6%	,0%	1,5%	,4%	,0%	,2%	100,0%

Symmetric Measures

		Value	Approx. Sig.
Nominal by Nominal	Contingency Coefficient	,090	,017
N of Valid Cases		2291	

Apêndice 3.108 – Correlação da variável FA vs tc pos dta.

		TC Pos Dta								Total
		Normal	Sem janela	Est Ligeira	Est Mod/Grave	Tortuosidade	Oclusão	Roubo da ASE	Hipoplasia	
ECG Não FA	Count	1605	138	85	79	2	25	14	7	1955
	% within ECG FA	82,1%	7,1%	4,3%	4,0%	,1%	1,3%	,7%	,4%	100,0%
	% within TC Pos Dta	86,2%	74,6%	85,9%	89,8%	66,7%	78,1%	87,5%	100,0%	85,3%
	% of Total	70,1%	6,0%	3,7%	3,4%	,1%	1,1%	,6%	,3%	85,3%
Sim	Count	256	47	14	9	1	7	2	0	336
	% within ECG FA	76,2%	14,0%	4,2%	2,7%	,3%	2,1%	,6%	,0%	100,0%
	% within TC Pos Dta	13,8%	25,4%	14,1%	10,2%	33,3%	21,9%	12,5%	,0%	14,7%
	% of Total	11,2%	2,1%	,6%	,4%	,0%	,3%	,1%	,0%	14,7%
Total	Count	1861	185	99	88	3	32	16	7	2291
	% within ECG FA	81,2%	8,1%	4,3%	3,8%	,1%	1,4%	,7%	,3%	100,0%
	% within TC Pos Dta	100,0%	100,0%	100,0%	100,0%	100,0%	100,0%	100,0%	100,0%	100,0%
	% of Total	81,2%	8,1%	4,3%	3,8%	,1%	1,4%	,7%	,3%	100,0%

Symmetric Measures

		Value	Approx. Sig.
Nominal by Nominal	Contingency Coefficient	,100	,002
N of Valid Cases		2291	

Apêndice 3.109 – Correlação da variável CE vs tc ant esq.

		TC Ant Esq							Total
		Normal	Sem janela	Est Ligeira	Est Mod/Grave	Tortuosidade	Oclusão	Vasospasmo	
Ecocard CE Não	Count	1680	241	74	74	2	21	0	2092
	% within Ecocard CE	80,3%	11,5%	3,5%	3,5%	,1%	1,0%	,0%	100,0%
	% within TC Ant Esq	91,7%	94,1%	88,1%	88,1%	100,0%	87,5%	,0%	91,6%
	% of Total	73,6%	10,6%	3,2%	3,2%	,1%	,9%	,0%	91,6%
Sim	Count	153	15	10	10	0	3	1	192
	% within Ecocard CE	79,7%	7,8%	5,2%	5,2%	,0%	1,6%	,5%	100,0%
	% within TC Ant Esq	8,3%	5,9%	11,9%	11,9%	,0%	12,5%	100,0%	8,4%
	% of Total	6,7%	,7%	,4%	,4%	,0%	,1%	,0%	8,4%
Total	Count	1833	256	84	84	2	24	1	2284

% within Ecocard CE	80,3%	11,2%	3,7%	3,7%	,1%	1,1%	,0%	100,0%
% within TC Ant Esq	100,0%	100,0%	100,0%	100,0%	100,0%	100,0%	100,0%	100,0%
% of Total	80,3%	11,2%	3,7%	3,7%	,1%	1,1%	,0%	100,0%

Symmetric Measures

		Value	Approx. Sig.
Nominal by Nominal	Contingency Coefficient	,085	,012
N of Valid Cases		2284	

Apêndice 3.110 – Correlação da variável CE vs tc ant dta.

			TC Ant Dta						Total	
			Normal	Sem janela	Est Ligeira	Est Mod/Grave	Tortuosidade	Oclusão		Roubo da ASE
Ecocard CE	Não	Count	1711	243	71	49	2	16	0	2092
		% within Ecocard CE	81,8%	11,6%	3,4%	2,3%	,1%	,8%	,0%	100,0%
		% within TC Ant Dta	91,5%	92,7%	92,2%	96,1%	100,0%	80,0%	,0%	91,6%
		% of Total	74,9%	10,6%	3,1%	2,1%	,1%	,7%	,0%	91,6%
Sim		Count	159	19	6	2	0	4	1	191
		% within Ecocard CE	83,2%	9,9%	3,1%	1,0%	,0%	2,1%	,5%	100,0%
		% within TC Ant Dta	8,5%	7,3%	7,8%	3,9%	,0%	20,0%	100,0%	8,4%
		% of Total	7,0%	,8%	,3%	,1%	,0%	,2%	,0%	8,4%
Total		Count	1870	262	77	51	2	20	1	2283
		% within Ecocard CE	81,9%	11,5%	3,4%	2,2%	,1%	,9%	,0%	100,0%
		% within TC Ant Dta	100,0%	100,0%	100,0%	100,0%	100,0%	100,0%	100,0%	100,0%
		% of Total	81,9%	11,5%	3,4%	2,2%	,1%	,9%	,0%	100,0%

Symmetric Measures

		Value	Approx. Sig.
Nominal by Nominal	Contingency Coefficient	,085	,011
N of Valid Cases		2283	

Apêndice 3.111 – Correlação da variável CE vs tc pos esq.

			TC Pos Esq							Total		
			Normal	Sem janela	Est Ligeira	Est Mod/Grave	Tortuosidade	Oclusão	Roubo da ASE		Vasospasmo	Hipoplasia
Ecocard CE	Não	Count	1712	158	85	99	1	30	9	0	5	2099
		% within Ecocard CE	81,6%	7,5%	4,0%	4,7%	,0%	1,4%	,4%	,0%	,2%	100,0%

	% within TC Pos Esq	91,2%	94,0%	94,4%	94,3%	100,0%	85,7%	100,0%	,0%	100,0%	91,6%
	% of Total	74,7%	6,9%	3,7%	4,3%	,0%	1,3%	,4%	,0%	,2%	91,6%
	Sim Count	165	10	5	6	0	5	0	1	0	192
	% within Ecocard CE	85,9%	5,2%	2,6%	3,1%	,0%	2,6%	,0%	,5%	,0%	100,0%
	% within TC Pos Esq	8,8%	6,0%	5,6%	5,7%	,0%	14,3%	,0%	100,0%	,0%	8,4%
	% of Total	7,2%	,4%	,2%	,3%	,0%	,2%	,0%	,0%	,0%	8,4%
Total	Count	1877	168	90	105	1	35	9	1	5	2291
	% within Ecocard CE	81,9%	7,3%	3,9%	4,6%	,0%	1,5%	,4%	,0%	,2%	100,0%
	% within TC Pos Esq	100,0%	100,0%	100,0%	100,0%	100,0%	100,0%	100,0%	100,0%	100,0%	100,0%
	% of Total	81,9%	7,3%	3,9%	4,6%	,0%	1,5%	,4%	,0%	,2%	100,0%

Symmetric Measures

		Value	Approx. Sig.
Nominal by Nominal	Contingency Coefficient	,087	,025
N of Valid Cases		2291	

• INDICAÇÃO vs TST

Apêndice 3.112 – Correlação da variável indicação2 vs tc ant esq.

			TC Ant Esq							Total
			Normal	Sem janela	Est Ligeira	Est Mod/Grave	Tortuosidade	Oclusão	Vasospasmo	
Indicação2	Sem inf	Count	12	0	2	0	0	0	0	14
		% within Indicação2	85,7%	,0%	14,3%	,0%	,0%	,0%	,0%	100,0%
		% within TC Ant Esq	,7%	,0%	2,4%	,0%	,0%	,0%	,0%	,6%
		% of Total	,5%	,0%	,1%	,0%	,0%	,0%	,0%	,6%
	AVC	Count	64	12	2	1	0	1	0	80
		% within Indicação2	80,0%	15,0%	2,5%	1,3%	,0%	1,3%	,0%	100,0%
		% within TC Ant Esq	3,5%	4,7%	2,4%	1,2%	,0%	4,2%	,0%	3,5%
		% of Total	2,8%	,5%	,1%	,0%	,0%	,0%	,0%	3,5%
	AVC I H Dto	Count	429	71	24	19	1	2	0	546
		% within Indicação2	78,6%	13,0%	4,4%	3,5%	,2%	,4%	,0%	100,0%
		% within TC Ant Esq	23,4%	27,7%	28,6%	22,6%	50,0%	8,3%	,0%	23,9%
		% of Total	18,8%	3,1%	1,1%	,8%	,0%	,1%	,0%	23,9%
AVC I H Esq	Count	536	93	26	30	0	14	0	699	

	% within Indicação2	76,7%	13,3%	3,7%	4,3%	,0%	2,0%	,0%	100,0%
	% within TC Ant Esq	29,2%	36,3%	31,0%	35,7%	,0%	58,3%	,0%	30,6%
	% of Total	23,5%	4,1%	1,1%	1,3%	,0%	,6%	,0%	30,6%
AVC Lacunar	Count	92	10	2	8	0	0	0	112
	% within Indicação2	82,1%	8,9%	1,8%	7,1%	,0%	,0%	,0%	100,0%
	% within TC Ant Esq	5,0%	3,9%	2,4%	9,5%	,0%	,0%	,0%	4,9%
	% of Total	4,0%	,4%	,1%	,4%	,0%	,0%	,0%	4,9%
AVC Hemor.	Count	10	3	0	1	0	0	0	14
	% within Indicação2	71,4%	21,4%	,0%	7,1%	,0%	,0%	,0%	100,0%
	% within TC Ant Esq	,5%	1,2%	,0%	1,2%	,0%	,0%	,0%	,6%
	% of Total	,4%	,1%	,0%	,0%	,0%	,0%	,0%	,6%
AVC H H Esq	Count	70	11	4	1	1	0	1	88
	% within Indicação2	79,5%	12,5%	4,5%	1,1%	1,1%	,0%	1,1%	100,0%
	% within TC Ant Esq	3,8%	4,3%	4,8%	1,2%	50,0%	,0%	100,0%	3,9%
	% of Total	3,1%	,5%	,2%	,0%	,0%	,0%	,0%	3,9%
AVC H H Dto	Count	54	6	1	0	0	1	0	62
	% within Indicação2	87,1%	9,7%	1,6%	,0%	,0%	1,6%	,0%	100,0%
	% within TC Ant Esq	2,9%	2,3%	1,2%	,0%	,0%	4,2%	,0%	2,7%
	% of Total	2,4%	,3%	,0%	,0%	,0%	,0%	,0%	2,7%
AIT	Count	156	22	5	2	0	2	0	187
	% within Indicação2	83,4%	11,8%	2,7%	1,1%	,0%	1,1%	,0%	100,0%
	% within TC Ant Esq	8,5%	8,6%	6,0%	2,4%	,0%	8,3%	,0%	8,2%
	% of Total	6,8%	1,0%	,2%	,1%	,0%	,1%	,0%	8,2%
AVC VB	Count	221	17	4	12	0	2	0	256
	% within Indicação2	86,3%	6,6%	1,6%	4,7%	,0%	,8%	,0%	100,0%
	% within TC Ant Esq	12,1%	6,6%	4,8%	14,3%	,0%	8,3%	,0%	11,2%
	% of Total	9,7%	,7%	,2%	,5%	,0%	,1%	,0%	11,2%
Outras sem AVC	Count	185	10	14	10	0	2	0	221
	% within Indicação2	83,7%	4,5%	6,3%	4,5%	,0%	,9%	,0%	100,0%
	% within TC Ant Esq	10,1%	3,9%	16,7%	11,9%	,0%	8,3%	,0%	9,7%
	% of Total	8,1%	,4%	,6%	,4%	,0%	,1%	,0%	9,7%
TV	Count	4	1	0	0	0	0	0	5

		% within Indicação2	80,0%	20,0%	,0%	,0%	,0%	,0%	,0%	100,0%
		% within TC Ant Esq	,2%	,4%	,0%	,0%	,0%	,0%	,0%	,2%
		% of Total	,2%	,0%	,0%	,0%	,0%	,0%	,0%	,2%
Total		Count	1833	256	84	84	2	24	1	2284
		% within Indicação2	80,3%	11,2%	3,7%	3,7%	,1%	1,1%	,0%	100,0%
		% within TC Ant Esq	100,0%	100,0%	100,0%	100,0%	100,0%	100,0%	100,0%	100,0%
		% of Total	80,3%	11,2%	3,7%	3,7%	,1%	1,1%	,0%	100,0%

Symmetric Measures

		Value	Approx. Sig.
Nominal by Nominal	Contingency Coefficient	,212	,001
N of Valid Cases		2284	

Apêndice 3.113 – Correlação da variável indicação2 vs ip.

			IP		Total
			Normal	Aumentados	
Indicação2	Sem inf	Count	11	3	14
		% within Indicação2	78,6%	21,4%	100,0%
		% within IP	,9%	,3%	,6%
		% of Total	,5%	,1%	,6%
	AVC	Count	43	30	73
		% within Indicação2	58,9%	41,1%	100,0%
		% within IP	3,6%	3,0%	3,3%
		% of Total	2,0%	1,4%	3,3%
	AVC I H Dto	Count	269	250	519
		% within Indicação2	51,8%	48,2%	100,0%
		% within IP	22,5%	24,8%	23,6%
		% of Total	12,2%	11,3%	23,6%
	AVC I H Esq	Count	335	327	662
		% within Indicação2	50,6%	49,4%	100,0%
		% within IP	28,1%	32,4%	30,0%
		% of Total	15,2%	14,8%	30,0%
	AVC Lacunar	Count	68	44	112
		% within Indicação2	60,7%	39,3%	100,0%
		% within IP	5,7%	4,4%	5,1%
		% of Total	3,1%	2,0%	5,1%
AVC Hemor.	Count	3	10	13	
	% within Indicação2	23,1%	76,9%	100,0%	
	% within IP	,3%	1,0%	,6%	
	% of Total	,1%	,5%	,6%	

	AVC H H Esq	Count	31	52	83
		% within Indicação2	37,3%	62,7%	100,0%
		% within IP	2,6%	5,2%	3,8%
		% of Total	1,4%	2,4%	3,8%
	AVC H H Dto	Count	28	32	60
		% within Indicação2	46,7%	53,3%	100,0%
		% within IP	2,3%	3,2%	2,7%
		% of Total	1,3%	1,5%	2,7%
	AIT	Count	109	70	179
		% within Indicação2	60,9%	39,1%	100,0%
		% within IP	9,1%	6,9%	8,1%
		% of Total	4,9%	3,2%	8,1%
	AVC VB	Count	159	97	256
		% within Indicação2	62,1%	37,9%	100,0%
		% within IP	13,3%	9,6%	11,6%
		% of Total	7,2%	4,4%	11,6%
	Outras sem AVC	Count	135	92	227
		% within Indicação2	59,5%	40,5%	100,0%
		% within IP	11,3%	9,1%	10,3%
		% of Total	6,1%	4,2%	10,3%
TV	Count	3	2	5	
	% within Indicação2	60,0%	40,0%	100,0%	
	% within IP	,3%	,2%	,2%	
	% of Total	,1%	,1%	,2%	
Total	Count	1194	1009	2203	
	% within Indicação2	54,2%	45,8%	100,0%	
	% within IP	100,0%	100,0%	100,0%	
	% of Total	54,2%	45,8%	100,0%	

Symmetric Measures

		Value	Approx. Sig.
Nominal by Nominal	Contingency Coefficient	,132	,000
N of Valid Cases		2203	

• FATORES DE RISCO NÃO MODIFICÁVEIS vs TAC CE

Apêndice 3.114 – Correlação da variável classes etárias vs TAC-tipo de lesão.

		TAC-Tipo de Lesão					Total
		Outros (Hemor, Lcp, Mcangio)	Hemodinâmico	Embólico	Lacunar	Normal	
Classes Etárias	[16 - 24[	Count	1	0	0	0	1
		% within Classes Etárias	100,0%	,0%	,0%	,0%	100,0%

	% within TAC-Tipo de Lesão	,3%	,0%	,0%	,0%	,0%	,1%
	% of Total	,1%	,0%	,0%	,0%	,0%	,1%
[24 - 32[	Count	0	1	0	2	4	7
	% within Classes Etárias	,0%	14,3%	,0%	28,6%	57,1%	100,0%
	% within TAC-Tipo de Lesão	,0%	,7%	,0%	,3%	1,1%	,4%
	% of Total	,0%	,1%	,0%	,1%	,2%	,4%
[32 - 40[	Count	5	1	5	6	17	34
	% within Classes Etárias	14,7%	2,9%	14,7%	17,6%	50,0%	100,0%
	% within TAC-Tipo de Lesão	1,3%	,7%	1,4%	,9%	4,6%	1,7%
	% of Total	,3%	,1%	,3%	,3%	,9%	1,7%
[40 - 48[	Count	13	2	4	14	28	61
	% within Classes Etárias	21,3%	3,3%	6,6%	23,0%	45,9%	100,0%
	% within TAC-Tipo de Lesão	3,3%	1,5%	1,1%	2,0%	7,5%	3,1%
	% of Total	,7%	,1%	,2%	,7%	1,4%	3,1%
[48 - 56[	Count	23	7	18	41	54	143
	% within Classes Etárias	16,1%	4,9%	12,6%	28,7%	37,8%	100,0%
	% within TAC-Tipo de Lesão	5,8%	5,2%	4,9%	6,0%	14,6%	7,3%
	% of Total	1,2%	,4%	,9%	2,1%	2,8%	7,3%
[56 - 64[	Count	39	21	43	67	59	229
	% within Classes Etárias	17,0%	9,2%	18,8%	29,3%	25,8%	100,0%
	% within TAC-Tipo de Lesão	9,8%	15,6%	11,8%	9,8%	15,9%	11,7%
	% of Total	2,0%	1,1%	2,2%	3,4%	3,0%	11,7%
[64 - 72[	Count	89	28	60	139	77	393
	% within Classes Etárias	22,6%	7,1%	15,3%	35,4%	19,6%	100,0%
	% within TAC-Tipo de Lesão	22,5%	20,7%	16,4%	20,3%	20,8%	20,1%
	% of Total	4,6%	1,4%	3,1%	7,1%	3,9%	20,1%
[72 - 80[	Count	116	42	143	245	76	622
	% within Classes Etárias	18,6%	6,8%	23,0%	39,4%	12,2%	100,0%
	% within TAC-Tipo de Lesão	29,3%	31,1%	39,2%	35,8%	20,5%	31,9%
	% of Total	5,9%	2,2%	7,3%	12,6%	3,9%	31,9%
[80 - 88[	Count	101	30	71	150	49	401
	% within Classes Etárias	25,2%	7,5%	17,7%	37,4%	12,2%	100,0%
	% within TAC-Tipo de Lesão	25,5%	22,2%	19,5%	21,9%	13,2%	20,5%
	% of Total	5,2%	1,5%	3,6%	7,7%	2,5%	20,5%
[88 - 96[	Count	9	3	20	21	7	60
	% within Classes Etárias	15,0%	5,0%	33,3%	35,0%	11,7%	100,0%



		% within TAC-Tipo de Lesão	2,3%	2,2%	5,5%	3,1%	1,9%	3,1%
		% of Total	,5%	,2%	1,0%	1,1%	,4%	3,1%
	[96 - 103]	Count	0	0	1	0	0	1
		% within Classes Etárias	,0%	,0%	100,0%	,0%	,0%	100,0%
		% within TAC-Tipo de Lesão	,0%	,0%	,3%	,0%	,0%	,1%
		% of Total	,0%	,0%	,1%	,0%	,0%	,1%
Total		Count	396	135	365	685	371	1952
		% within Classes Etárias	20,3%	6,9%	18,7%	35,1%	19,0%	100,0%
		% within TAC-Tipo de Lesão	100,0%	100,0%	100,0%	100,0%	100,0%	100,0%
		% of Total	20,3%	6,9%	18,7%	35,1%	19,0%	100,0%

Symmetric Measures

		Value	Approx. Sig.
Nominal by Nominal	Contingency Coefficient	,282	,000
N of Valid Cases		1952	

Apêndice 3.115 – Correlação da variável antecedentes pessoais de AVC vs TAC-tipo de lesão.

			TAC-Tipo de Lesão					Total
			Outros (Hemor, Lcp, Mcangio)	Hemodinâmico	Embólico	Lacunar	Normal	
Ant P AVC	Não	Count	314	89	254	512	312	1481
		% within Ant P AVC	21,2%	6,0%	17,2%	34,6%	21,1%	100,0%
		% within TAC-Tipo de Lesão	79,3%	65,9%	69,6%	74,7%	84,1%	75,9%
		% of Total	16,1%	4,6%	13,0%	26,2%	16,0%	75,9%
	Sim	Count	82	46	111	173	59	471
		% within Ant P AVC	17,4%	9,8%	23,6%	36,7%	12,5%	100,0%
		% within TAC-Tipo de Lesão	20,7%	34,1%	30,4%	25,3%	15,9%	24,1%
		% of Total	4,2%	2,4%	5,7%	8,9%	3,0%	24,1%
Total		Count	396	135	365	685	371	1952
		% within Ant P AVC	20,3%	6,9%	18,7%	35,1%	19,0%	100,0%
		% within TAC-Tipo de Lesão	100,0%	100,0%	100,0%	100,0%	100,0%	100,0%
		% of Total	20,3%	6,9%	18,7%	35,1%	19,0%	100,0%

Symmetric Measures

		Value	Approx. Sig.
Nominal by Nominal	Contingency Coefficient	,127	,000
N of Valid Cases		1952	

Apêndice 3.116 – Correlação da variável antecedentes familiares de AVC vs TAC-tipo de lesão.

			TAC-Tipo de Lesão					Total
			Outros (Hemor, Lcp, Mcangio)	Hemodinâmico	Embólico	Lacunar	Normal	
Ant F 1ºG AVC	Não	Count	345	113	324	593	295	1670
		% within Ant F 1ºG AVC	20,7%	6,8%	19,4%	35,5%	17,7%	100,0%
		% within TAC-Tipo de Lesão	87,1%	83,7%	88,8%	86,6%	79,5%	85,6%
		% of Total	17,7%	5,8%	16,6%	30,4%	15,1%	85,6%
	Sim, com idade < 65anos	Count	17	13	14	30	38	112
		% within Ant F 1ºG AVC	15,2%	11,6%	12,5%	26,8%	33,9%	100,0%
		% within TAC-Tipo de Lesão	4,3%	9,6%	3,8%	4,4%	10,2%	5,7%
		% of Total	,9%	,7%	,7%	1,5%	1,9%	5,7%
	Sim, com idade >= 65anos	Count	34	9	27	62	38	170
		% within Ant F 1ºG AVC	20,0%	5,3%	15,9%	36,5%	22,4%	100,0%
		% within TAC-Tipo de Lesão	8,6%	6,7%	7,4%	9,1%	10,2%	8,7%
		% of Total	1,7%	,5%	1,4%	3,2%	1,9%	8,7%
Total		Count	396	135	365	685	371	1952
		% within Ant F 1ºG AVC	20,3%	6,9%	18,7%	35,1%	19,0%	100,0%
		% within TAC-Tipo de Lesão	100,0%	100,0%	100,0%	100,0%	100,0%	100,0%
		% of Total	20,3%	6,9%	18,7%	35,1%	19,0%	100,0%

Symmetric Measures

		Value	Approx. Sig.
Nominal by Nominal	Contingency Coefficient	,118	,001
N of Valid Cases		1952	

• FATORES DE RISCO MODIFICÁVEIS vs TAC CE

Apêndice 3.117 – Correlação da variável dislipidemia vs TAC-tipo de lesão.

			TAC-Tipo de Lesão					Total
			Outros (Hemor, Lcp, Mcangio)	Hemodinâmico	Embólico	Lacunar	Normal	
Dislipid.	Não	Count	263	75	255	427	220	1240
		% within Dislipid.	21,2%	6,0%	20,6%	34,4%	17,7%	100,0%
		% within TAC-Tipo de Lesão	66,4%	55,6%	69,9%	62,3%	59,3%	63,5%

		% of Total	13,5%	3,8%	13,1%	21,9%	11,3%	63,5%
	Sim	Count	133	60	110	258	151	712
		% within Dislipid.	18,7%	8,4%	15,4%	36,2%	21,2%	100,0%
		% within TAC-Tipo de Lesão	33,6%	44,4%	30,1%	37,7%	40,7%	36,5%
		% of Total	6,8%	3,1%	5,6%	13,2%	7,7%	36,5%
Total		Count	396	135	365	685	371	1952
		% within Dislipid.	20,3%	6,9%	18,7%	35,1%	19,0%	100,0%
		% within TAC-Tipo de Lesão	100,0%	100,0%	100,0%	100,0%	100,0%	100,0%
		% of Total	20,3%	6,9%	18,7%	35,1%	19,0%	100,0%

Symmetric Measures

		Value	Approx. Sig.
Nominal by Nominal	Contingency Coefficient	,087	,005
N of Valid Cases		1952	

Apêndice 3.118 – Correlação da variável FA vs TAC-tipo de lesão.

			TAC-Tipo de Lesão					Total
			Outros (Hemor, Lcp, Mcangio)	Hemodinâmico	Embólico	Lacunar	Normal	
ECG FA	Não	Count	346	112	255	589	331	1633
		% within ECG FA	21,2%	6,9%	15,6%	36,1%	20,3%	100,0%
		% within TAC-Tipo de Lesão	87,4%	83,0%	69,9%	86,0%	89,2%	83,7%
		% of Total	17,7%	5,7%	13,1%	30,2%	17,0%	83,7%
	Sim	Count	50	23	110	96	40	319
		% within ECG FA	15,7%	7,2%	34,5%	30,1%	12,5%	100,0%
		% within TAC-Tipo de Lesão	12,6%	17,0%	30,1%	14,0%	10,8%	16,3%
		% of Total	2,6%	1,2%	5,6%	4,9%	2,0%	16,3%
Total		Count	396	135	365	685	371	1952
		% within ECG FA	20,3%	6,9%	18,7%	35,1%	19,0%	100,0%
		% within TAC-Tipo de Lesão	100,0%	100,0%	100,0%	100,0%	100,0%	100,0%
		% of Total	20,3%	6,9%	18,7%	35,1%	19,0%	100,0%

Symmetric Measures

		Value	Approx. Sig.
Nominal by Nominal	Contingency Coefficient	,181	,000
N of Valid Cases		1952	

• **FATORES DE RISCO NÃO MODIFICÁVEIS vs RM CE**

Apêndice 3.119 – Correlação da variável sexo vs RM-tipo de lesão.

			RM-Tipo de Lesão					Total
			Outros (Hemor, Lcp, Mcangio)	Hemodinâmico	Embólico	Lacunar	Normal	
Sexo	Masculino	Count	33	27	62	143	21	286
		% within Sexo	11,5%	9,4%	21,7%	50,0%	7,3%	100,0%
		% within RM-Tipo de Lesão	49,3%	54,0%	63,3%	62,4%	42,9%	58,0%
		% of Total	6,7%	5,5%	12,6%	29,0%	4,3%	58,0%
	Feminino	Count	34	23	36	86	28	207
		% within Sexo	16,4%	11,1%	17,4%	41,5%	13,5%	100,0%
		% within RM-Tipo de Lesão	50,7%	46,0%	36,7%	37,6%	57,1%	42,0%
		% of Total	6,9%	4,7%	7,3%	17,4%	5,7%	42,0%
Total	Count	67	50	98	229	49	493	
	% within Sexo	13,6%	10,1%	19,9%	46,5%	9,9%	100,0%	
	% within RM-Tipo de Lesão	100,0%	100,0%	100,0%	100,0%	100,0%	100,0%	
	% of Total	13,6%	10,1%	19,9%	46,5%	9,9%	100,0%	

**Symmetric Measures**

		Value	Approx. Sig.
Nominal by Nominal	Contingency Coefficient	,141	,040
N of Valid Cases		493	

Apêndice 3.120 – Correlação da variável classes etárias vs RM-tipo de lesão.

			RM-Tipo de Lesão					Total
			Outros (Hemor, Lcp, Mcangio)	Hemodinâmico	Embólico	Lacunar	Normal	
Classes Etárias	[16 - 24[	Count	0	0	0	1	0	1
		% within Classes Etárias	,0%	,0%	,0%	100,0%	,0%	100,0%
		% within RM-Tipo de Lesão	,0%	,0%	,0%	,4%	,0%	,2%
		% of Total	,0%	,0%	,0%	,2%	,0%	,2%
	[24 - 32[	Count	0	1	1	1	4	7
		% within Classes Etárias	,0%	14,3%	14,3%	14,3%	57,1%	100,0%
		% within RM-Tipo de Lesão	,0%	2,0%	1,0%	,4%	8,2%	1,4%
		% of Total	,0%	,2%	,2%	,2%	,8%	1,4%
	[32 - 40[	Count	5	2	3	2	3	15
		% within Classes Etárias	33,3%	13,3%	20,0%	13,3%	20,0%	100,0%

	% within RM-Tipo de Lesão	7,5%	4,0%	3,1%	,9%	6,1%	3,0%
	% of Total	1,0%	,4%	,6%	,4%	,6%	3,0%
[40 - 48]	Count	7	4	2	11	9	33
	% within Classes Etárias	21,2%	12,1%	6,1%	33,3%	27,3%	100,0%
	% within RM-Tipo de Lesão	10,4%	8,0%	2,0%	4,8%	18,4%	6,7%
	% of Total	1,4%	,8%	,4%	2,2%	1,8%	6,7%
[48 - 56]	Count	4	7	7	27	14	59
	% within Classes Etárias	6,8%	11,9%	11,9%	45,8%	23,7%	100,0%
	% within RM-Tipo de Lesão	6,0%	14,0%	7,1%	11,8%	28,6%	12,0%
	% of Total	,8%	1,4%	1,4%	5,5%	2,8%	12,0%
[56 - 64]	Count	14	6	15	34	8	77
	% within Classes Etárias	18,2%	7,8%	19,5%	44,2%	10,4%	100,0%
	% within RM-Tipo de Lesão	20,9%	12,0%	15,3%	14,8%	16,3%	15,6%
	% of Total	2,8%	1,2%	3,0%	6,9%	1,6%	15,6%
[64 - 72]	Count	18	7	27	50	6	108
	% within Classes Etárias	16,7%	6,5%	25,0%	46,3%	5,6%	100,0%
	% within RM-Tipo de Lesão	26,9%	14,0%	27,6%	21,8%	12,2%	21,9%
	% of Total	3,7%	1,4%	5,5%	10,1%	1,2%	21,9%
[72 - 80]	Count	12	14	27	84	3	140
	% within Classes Etárias	8,6%	10,0%	19,3%	60,0%	2,1%	100,0%
	% within RM-Tipo de Lesão	17,9%	28,0%	27,6%	36,7%	6,1%	28,4%
	% of Total	2,4%	2,8%	5,5%	17,0%	,6%	28,4%
[80 - 88]	Count	6	8	16	19	2	51
	% within Classes Etárias	11,8%	15,7%	31,4%	37,3%	3,9%	100,0%
	% within RM-Tipo de Lesão	9,0%	16,0%	16,3%	8,3%	4,1%	10,3%
	% of Total	1,2%	1,6%	3,2%	3,9%	,4%	10,3%
[88 - 96]	Count	1	1	0	0	0	2
	% within Classes Etárias	50,0%	50,0%	,0%	,0%	,0%	100,0%
	% within RM-Tipo de Lesão	1,5%	2,0%	,0%	,0%	,0%	,4%
	% of Total	,2%	,2%	,0%	,0%	,0%	,4%
Total	Count	67	50	98	229	49	493
	% within Classes Etárias	13,6%	10,1%	19,9%	46,5%	9,9%	100,0%
	% within RM-Tipo de Lesão	100,0%	100,0%	100,0%	100,0%	100,0%	100,0%
	% of Total	13,6%	10,1%	19,9%	46,5%	9,9%	100,0%

## Symmetric Measures

		Value	Approx. Sig.
Nominal by Nominal	Contingency Coefficient	,409	,000
N of Valid Cases		493	

Apêndice 3.121 – Correlação da variável antecedentes pessoais de EAM vs RM-tipo de lesão.

			RM-Tipo de Lesão					Total
			Outros (Hemor, Lcp, Mcangio)	Hemodinâmico	Embólico	Lacunar	Normal	
Ant P EAM	Não	Count	65	48	85	208	49	455
		% within Ant P EAM	14,3%	10,5%	18,7%	45,7%	10,8%	100,0%
		% within RM-Tipo de Lesão	97,0%	96,0%	86,7%	90,8%	100,0%	92,3%
		% of Total	13,2%	9,7%	17,2%	42,2%	9,9%	92,3%
	Sim	Count	2	2	13	21	0	38
		% within Ant P EAM	5,3%	5,3%	34,2%	55,3%	,0%	100,0%
		% within RM-Tipo de Lesão	3,0%	4,0%	13,3%	9,2%	,0%	7,7%
		% of Total	,4%	,4%	2,6%	4,3%	,0%	7,7%
Total	Count	67	50	98	229	49	493	
	% within Ant P EAM	13,6%	10,1%	19,9%	46,5%	9,9%	100,0%	
	% within RM-Tipo de Lesão	100,0%	100,0%	100,0%	100,0%	100,0%	100,0%	
	% of Total	13,6%	10,1%	19,9%	46,5%	9,9%	100,0%	

## Symmetric Measures

		Value	Approx. Sig.
Nominal by Nominal	Contingency Coefficient	,155	,017
N of Valid Cases		493	

- FATORES DE RISCO MODIFICÁVEIS vs RM CE

Apêndice 3.122 – Correlação da variável dislipidemia vs RM-tipo de lesão.

			RM-Tipo de Lesão					Total
			Outros (Hemor, Lcp, Mcangio)	Hemodinâmico	Embólico	Lacunar	Normal	
Dislipid.	Não	Count	30	31	63	152	29	305
		% within Dislipid.	9,8%	10,2%	20,7%	49,8%	9,5%	100,0%
		% within RM-Tipo de Lesão	44,8%	62,0%	64,3%	66,4%	59,2%	61,9%
		% of Total	6,1%	6,3%	12,8%	30,8%	5,9%	61,9%
	Sim	Count	37	19	35	77	20	188
		% within Dislipid.	19,7%	10,1%	18,6%	41,0%	10,6%	100,0%
		% within RM-Tipo de Lesão	55,2%	38,0%	35,7%	33,6%	40,8%	38,1%
		% of Total	7,5%	3,9%	7,1%	15,6%	4,1%	38,1%

Total	Count	67	50	98	229	49	493
	% within Dislipid.	13,6%	10,1%	19,9%	46,5%	9,9%	100,0%
	% within RM-Tipo de Lesão	100,0%	100,0%	100,0%	100,0%	100,0%	100,0%
	% of Total	13,6%	10,1%	19,9%	46,5%	9,9%	100,0%

## Symmetric Measures

		Value	Approx. Sig.
Nominal by Nominal	Contingency Coefficient	,145	,031
N of Valid Cases		493	

Apêndice 3.123 – Correlação da variável FA vs RM-tipo de lesão.

			RM-Tipo de Lesão					Total
			Outros (Hemor, Lcp, Mcangio)	Hemodinâmico	Embólico	Lacunar	Normal	
ECG FA	Não	Count	63	44	82	212	49	450
		% within ECG FA	14,0%	9,8%	18,2%	47,1%	10,9%	100,0%
		% within RM-Tipo de Lesão	94,0%	88,0%	83,7%	92,6%	100,0%	91,3%
		% of Total	12,8%	8,9%	16,6%	43,0%	9,9%	91,3%
	Sim	Count	4	6	16	17	0	43
		% within ECG FA	9,3%	14,0%	37,2%	39,5%	,0%	100,0%
		% within RM-Tipo de Lesão	6,0%	12,0%	16,3%	7,4%	,0%	8,7%
		% of Total	,8%	1,2%	3,2%	3,4%	,0%	8,7%
Total	Count	67	50	98	229	49	493	
	% within ECG FA	13,6%	10,1%	19,9%	46,5%	9,9%	100,0%	
	% within RM-Tipo de Lesão	100,0%	100,0%	100,0%	100,0%	100,0%	100,0%	
	% of Total	13,6%	10,1%	19,9%	46,5%	9,9%	100,0%	

## Symmetric Measures

		Value	Approx. Sig.
Nominal by Nominal	Contingency Coefficient	,164	,009
N of Valid Cases		493	

- **FATORES DE RISCO NÃO MODIFICÁVEIS vs ANGIO RM**

Não existem correlações significativas.

- **FATORES DE RISCO MODIFICÁVEIS vs ANGIO RM**

Não existem correlações significativas.

- TSC vs TST

Apêndice 3.124 – Correlação da variável cv carot esq vs tc ant esq.

			TC Ant Esq							Total
			Normal	Sem janela	Est Ligeira	Est Mod/Grave	Tortuosidade	Oclusão	Vasospasmo	
CV Carot Esq	Normal	Count	543	45	15	10	0	4	0	617
		% within CV Carot Esq	88,0%	7,3%	2,4%	1,6%	,0%	,6%	,0%	100,0%
		% within TC Ant Esq	29,8%	17,6%	17,9%	11,9%	,0%	16,7%	,0%	27,1%
		% of Total	23,9%	2,0%	,7%	,4%	,0%	,2%	,0%	27,1%
	Est Ligeira	Count	3	2	0	1	0	0	0	6
		% within CV Carot Esq	50,0%	33,3%	,0%	16,7%	,0%	,0%	,0%	100,0%
		% within TC Ant Esq	,2%	,8%	,0%	1,2%	,0%	,0%	,0%	,3%
		% of Total	,1%	,1%	,0%	,0%	,0%	,0%	,0%	,3%
	Estenose Moderada	Count	44	6	5	2	0	0	0	57
		% within CV Carot Esq	77,2%	10,5%	8,8%	3,5%	,0%	,0%	,0%	100,0%
		% within TC Ant Esq	2,4%	2,3%	6,0%	2,4%	,0%	,0%	,0%	2,5%
		% of Total	1,9%	,3%	,2%	,1%	,0%	,0%	,0%	2,5%
Est Grave	Count	27	3	1	6	0	1	0	38	
	% within CV Carot Esq	71,1%	7,9%	2,6%	15,8%	,0%	2,6%	,0%	100,0%	
	% within TC Ant Esq	1,5%	1,2%	1,2%	7,1%	,0%	4,2%	,0%	1,7%	
	% of Total	1,2%	,1%	,0%	,3%	,0%	,0%	,0%	1,7%	
Est Pré-Oclusiva	Count	12	6	2	2	1	1	0	24	
	% within CV Carot Esq	50,0%	25,0%	8,3%	8,3%	4,2%	4,2%	,0%	100,0%	
	% within TC Ant Esq	,7%	2,3%	2,4%	2,4%	50,0%	4,2%	,0%	1,1%	
	% of Total	,5%	,3%	,1%	,1%	,0%	,0%	,0%	1,1%	
Oclusão	Count	54	8	0	1	0	8	0	71	
	% within CV Carot Esq	76,1%	11,3%	,0%	1,4%	,0%	11,3%	,0%	100,0%	
	% within TC Ant Esq	3,0%	3,1%	,0%	1,2%	,0%	33,3%	,0%	3,1%	
	% of Total	2,4%	,4%	,0%	,0%	,0%	,4%	,0%	3,1%	
Tortuosidade	Count	54	10	3	3	0	1	0	71	
	% within CV Carot Esq	76,1%	14,1%	4,2%	4,2%	,0%	1,4%	,0%	100,0%	
	% within TC Ant Esq	3,0%	3,9%	3,6%	3,6%	,0%	4,2%	,0%	3,1%	
	% of Total	2,4%	,4%	,1%	,1%	,0%	,0%	,0%	3,1%	



Ateromatose carotídea, sem reperc. Hemodinâmica	Count	977	144	50	53	1	7	1	1233
	% within CV Carot Esq	79,2%	11,7%	4,1%	4,3%	,1%	,6%	,1%	100,0%
	% within TC Ant Esq	53,6%	56,3%	59,5%	63,1%	50,0%	29,2%	100,0%	54,2%
	% of Total	42,9%	6,3%	2,2%	2,3%	,0%	,3%	,0%	54,2%
Tort+Aterom sem reperc	Count	104	31	7	5	0	2	0	149
	% within CV Carot Esq	69,8%	20,8%	4,7%	3,4%	,0%	1,3%	,0%	100,0%
	% within TC Ant Esq	5,7%	12,1%	8,3%	6,0%	,0%	8,3%	,0%	6,5%
	% of Total	4,6%	1,4%	,3%	,2%	,0%	,1%	,0%	6,5%
Tortuosidade, compatível com Estenose	Count	6	1	1	1	0	0	0	9
	% within CV Carot Esq	66,7%	11,1%	11,1%	11,1%	,0%	,0%	,0%	100,0%
	% within TC Ant Esq	,3%	,4%	1,2%	1,2%	,0%	,0%	,0%	,4%
	% of Total	,3%	,0%	,0%	,0%	,0%	,0%	,0%	,4%
Total	Count	1824	256	84	84	2	24	1	2275
	% within CV Carot Esq	80,2%	11,3%	3,7%	3,7%	,1%	1,1%	,0%	100,0%
	% within TC Ant Esq	100,0%	100,0%	100,0%	100,0%	100,0%	100,0%	100,0%	100,0%
	% of Total	80,2%	11,3%	3,7%	3,7%	,1%	1,1%	,0%	100,0%

Symmetric Measures

		Value	Approx. Sig.
Nominal by Nominal	Contingency Coefficient	,289	,000
N of Valid Cases		2275	

Apêndice 3.125 – Correlação da variável cv carot esq vs tc ant dta.

			TC Ant Dta						Total	
			Normal	Sem janela	Est Ligeira	Est Mod/Grave	Tortuosidade	Oclusão		Roubo da ASE
CV Carot Esq	Normal	Count	551	44	13	6	0	2	0	616
		% within CV Carot Esq	89,4%	7,1%	2,1%	1,0%	,0%	,3%	,0%	100,0%
		% within TC Ant Dta	29,6%	16,9%	16,9%	12,2%	,0%	10,0%	,0%	27,1%
		% of Total	24,2%	1,9%	,6%	,3%	,0%	,1%	,0%	27,1%
Est Ligeira		Count	4	2	0	0	0	0	0	6
		% within CV Carot Esq	66,7%	33,3%	,0%	,0%	,0%	,0%	,0%	100,0%
		% within TC Ant Dta	,2%	,8%	,0%	,0%	,0%	,0%	,0%	,3%
		% of Total	,2%	,1%	,0%	,0%	,0%	,0%	,0%	,3%
Estenose Moderada		Count	45	6	3	2	0	0	0	56

	% within CV Carot Esq	80,4%	10,7%	5,4%	3,6%	,0%	,0%	,0%	100,0%
	% within TC Ant Dta	2,4%	2,3%	3,9%	4,1%	,0%	,0%	,0%	2,5%
	% of Total	2,0%	,3%	,1%	,1%	,0%	,0%	,0%	2,5%
Est Grave	Count	31	2	2	3	0	0	0	38
	% within CV Carot Esq	81,6%	5,3%	5,3%	7,9%	,0%	,0%	,0%	100,0%
	% within TC Ant Dta	1,7%	,8%	2,6%	6,1%	,0%	,0%	,0%	1,7%
	% of Total	1,4%	,1%	,1%	,1%	,0%	,0%	,0%	1,7%
Est Pré-Oclusiva	Count	16	7	1	0	0	1	0	25
	% within CV Carot Esq	64,0%	28,0%	4,0%	,0%	,0%	4,0%	,0%	100,0%
	% within TC Ant Dta	,9%	2,7%	1,3%	,0%	,0%	5,0%	,0%	1,1%
	% of Total	,7%	,3%	,0%	,0%	,0%	,0%	,0%	1,1%
Oclusão	Count	52	9	2	5	1	1	0	70
	% within CV Carot Esq	74,3%	12,9%	2,9%	7,1%	1,4%	1,4%	,0%	100,0%
	% within TC Ant Dta	2,8%	3,4%	2,6%	10,2%	50,0%	5,0%	,0%	3,1%
	% of Total	2,3%	,4%	,1%	,2%	,0%	,0%	,0%	3,1%
Tortuosidade	Count	58	9	2	1	1	0	0	71
	% within CV Carot Esq	81,7%	12,7%	2,8%	1,4%	1,4%	,0%	,0%	100,0%
	% within TC Ant Dta	3,1%	3,4%	2,6%	2,0%	50,0%	,0%	,0%	3,1%
	% of Total	2,6%	,4%	,1%	,0%	,0%	,0%	,0%	3,1%
Ateromatose carotídea, sem reperc. hemodinâmica	Count	991	147	51	29	0	15	0	1233
	% within CV Carot Esq	80,4%	11,9%	4,1%	2,4%	,0%	1,2%	,0%	100,0%
	% within TC Ant Dta	53,2%	56,3%	66,2%	59,2%	,0%	75,0%	,0%	54,2%
	% of Total	43,6%	6,5%	2,2%	1,3%	,0%	,7%	,0%	54,2%
Tort+Aterom sem reperc	Count	110	34	1	3	0	1	1	150
	% within CV Carot Esq	73,3%	22,7%	,7%	2,0%	,0%	,7%	,7%	100,0%
	% within TC Ant Dta	5,9%	13,0%	1,3%	6,1%	,0%	5,0%	100,0%	6,6%
	% of Total	4,8%	1,5%	,0%	,1%	,0%	,0%	,0%	6,6%
Tortuosidade, compatível com Estenose	Count	6	1	2	0	0	0	0	9
	% within CV Carot Esq	66,7%	11,1%	22,2%	,0%	,0%	,0%	,0%	100,0%
	% within TC Ant Dta	,3%	,4%	2,6%	,0%	,0%	,0%	,0%	,4%
	% of Total	,3%	,0%	,1%	,0%	,0%	,0%	,0%	,4%
Total	Count	1864	261	77	49	2	20	1	2274

% within CV Carot Esq	82,0%	11,5%	3,4%	2,2%	,1%	,9%	,0%	100,0%
% within TC Ant Dta	100,0%	100,0%	100,0%	100,0%	100,0%	100,0%	100,0%	100,0%
% of Total	82,0%	11,5%	3,4%	2,2%	,1%	,9%	,0%	100,0%

Symmetric Measures

	Value	Approx. Sig.
Nominal by Nominal Contingency Coefficient	,238	,000
N of Valid Cases	2274	

Apêndice 3.126 – Correlação da variável cv carot esq vs tc pos esq.

			TC Pos Esq								Total	
			Normal	Sem janela	Est Ligeira	Est Mod/Grave	Tort	Oclusão	Roubo da ASE	Vasospasmo		Hipoplasia
CV Carot Esq	Normal	Count	550	29	13	22	0	2	1	0	2	619
		% within CV Carot Esq	88,9%	4,7%	2,1%	3,6%	,0%	,3%	,2%	,0%	,3%	100,0%
		% within TC Pos Esq	29,4%	17,3%	14,6%	21,0%	,0%	5,7%	11,1%	,0%	40,0%	27,1%
		% of Total	24,1%	1,3%	,6%	1,0%	,0%	,1%	,0%	,0%	,1%	27,1%
	Est Ligeira	Count	3	1	1	1	0	0	0	0	0	6
		% within CV Carot Esq	50,0%	16,7%	16,7%	16,7%	,0%	,0%	,0%	,0%	,0%	100,0%
		% within TC Pos Esq	,2%	,6%	1,1%	1,0%	,0%	,0%	,0%	,0%	,0%	,3%
		% of Total	,1%	,0%	,0%	,0%	,0%	,0%	,0%	,0%	,0%	,3%
	Estenose Moderada	Count	45	3	2	4	0	1	1	0	0	56
		% within CV Carot Esq	80,4%	5,4%	3,6%	7,1%	,0%	1,8%	1,8%	,0%	,0%	100,0%
		% within TC Pos Esq	2,4%	1,8%	2,2%	3,8%	,0%	2,9%	11,1%	,0%	,0%	2,5%
		% of Total	2,0%	,1%	,1%	,2%	,0%	,0%	,0%	,0%	,0%	2,5%
Est Grave	Count	27	2	1	7	0	1	0	0	0	38	
	% within CV Carot Esq	71,1%	5,3%	2,6%	18,4%	,0%	2,6%	,0%	,0%	,0%	100,0%	
	% within TC Pos Esq	1,4%	1,2%	1,1%	6,7%	,0%	2,9%	,0%	,0%	,0%	1,7%	
	% of Total	1,2%	,1%	,0%	,3%	,0%	,0%	,0%	,0%	,0%	1,7%	
Est Pré-Oclusiva	Count	14	4	2	5	0	1	0	0	0	26	
	% within CV Carot Esq	53,8%	15,4%	7,7%	19,2%	,0%	3,8%	,0%	,0%	,0%	100,0%	
	% within TC Pos Esq	,7%	2,4%	2,2%	4,8%	,0%	2,9%	,0%	,0%	,0%	1,1%	
	% of Total	,6%	,2%	,1%	,2%	,0%	,0%	,0%	,0%	,0%	1,1%	
Oclusão	Count	56	5	3	3	1	3	0	0	0	71	

	% within CV Carot Esq	78,9%	7,0%	4,2%	4,2%	1,4%	4,2%	,0%	,0%	,0%	100,0%
	% within TC Pos Esq	3,0%	3,0%	3,4%	2,9%	100,0%	8,6%	,0%	,0%	,0%	3,1%
	% of Total	2,5%	,2%	,1%	,1%	,0%	,1%	,0%	,0%	,0%	3,1%
Tortuosidade	Count	59	6	2	2	0	2	0	0	0	71
	% within CV Carot Esq	83,1%	8,5%	2,8%	2,8%	,0%	2,8%	,0%	,0%	,0%	100,0%
	% within TC Pos Esq	3,2%	3,6%	2,2%	1,9%	,0%	5,7%	,0%	,0%	,0%	3,1%
	% of Total	2,6%	,3%	,1%	,1%	,0%	,1%	,0%	,0%	,0%	3,1%
Ateromatose carotídea, sem reperc. hemodinâmica	Count	998	94	57	53	0	22	7	1	2	1234
	% within CV Carot Esq	80,9%	7,6%	4,6%	4,3%	,0%	1,8%	,6%	,1%	,2%	100,0%
	% within TC Pos Esq	53,4%	56,0%	64,0%	50,5%	,0%	62,9%	77,8%	100,0%	40,0%	54,1%
	% of Total	43,7%	4,1%	2,5%	2,3%	,0%	1,0%	,3%	,0%	,1%	54,1%
Tort+Aterom sem reperc	Count	113	23	7	5	0	3	0	0	1	152
	% within CV Carot Esq	74,3%	15,1%	4,6%	3,3%	,0%	2,0%	,0%	,0%	,7%	100,0%
	% within TC Pos Esq	6,0%	13,7%	7,9%	4,8%	,0%	8,6%	,0%	,0%	20,0%	6,7%
	% of Total	5,0%	1,0%	,3%	,2%	,0%	,1%	,0%	,0%	,0%	6,7%
Tortuosidade, compatível com Estenose	Count	4	1	1	3	0	0	0	0	0	9
	% within CV Carot Esq	44,4%	11,1%	11,1%	33,3%	,0%	,0%	,0%	,0%	,0%	100,0%
	% within TC Pos Esq	,2%	,6%	1,1%	2,9%	,0%	,0%	,0%	,0%	,0%	,4%
	% of Total	,2%	,0%	,0%	,1%	,0%	,0%	,0%	,0%	,0%	,4%
Total	Count	1869	168	89	105	1	35	9	1	5	2282
	% within CV Carot Esq	81,9%	7,4%	3,9%	4,6%	,0%	1,5%	,4%	,0%	,2%	100,0%
	% within TC Pos Esq	100,0%	100,0%	100,0%	100,0%	100,0%	100,0%	100,0%	100,0%	100,0%	100,0%
	% of Total	81,9%	7,4%	3,9%	4,6%	,0%	1,5%	,4%	,0%	,2%	100,0%

Symmetric Measures

		Value	Approx. Sig.
Nominal by Nominal	Contingency Coefficient	,246	,000
N of Valid Cases		2282	

Apêndice 3.127 – Correlação da variável cv carot esq vs tc pos dta.

			TC Pos Dta							Total	
			Normal	Sem janela	Est Ligeira	Est Mod/Grave	Tortuosidade	Oclusão	Roubo da ASE		Hipoplasia
CV	Normal	Count	547	27	21	11	1	7	2	2	618

Carot Esq	% within CV Carot Esq	88,5%	4,4%	3,4%	1,8%	,2%	1,1%	,3%	,3%	100,0%
	% within TC Pos Dta	29,5%	14,7%	21,4%	12,5%	33,3%	21,9%	13,3%	28,6%	27,1%
	% of Total	24,0%	1,2%	,9%	,5%	,0%	,3%	,1%	,1%	27,1%
Est Ligeira	Count	4	1	0	1	0	0	0	0	6
	% within CV Carot Esq	66,7%	16,7%	,0%	16,7%	,0%	,0%	,0%	,0%	100,0%
	% within TC Pos Dta	,2%	,5%	,0%	1,1%	,0%	,0%	,0%	,0%	,3%
	% of Total	,2%	,0%	,0%	,0%	,0%	,0%	,0%	,0%	,3%
Estenose Moderada	Count	42	3	4	4	0	0	1	1	55
	% within CV Carot Esq	76,4%	5,5%	7,3%	7,3%	,0%	,0%	1,8%	1,8%	100,0%
	% within TC Pos Dta	2,3%	1,6%	4,1%	4,5%	,0%	,0%	6,7%	14,3%	2,4%
	% of Total	1,8%	,1%	,2%	,2%	,0%	,0%	,0%	,0%	2,4%
Est Grave	Count	30	1	2	4	0	1	0	0	38
	% within CV Carot Esq	78,9%	2,6%	5,3%	10,5%	,0%	2,6%	,0%	,0%	100,0%
	% within TC Pos Dta	1,6%	,5%	2,0%	4,5%	,0%	3,1%	,0%	,0%	1,7%
	% of Total	1,3%	,0%	,1%	,2%	,0%	,0%	,0%	,0%	1,7%
Est Pré-Oclusiva	Count	16	5	1	3	0	1	0	0	26
	% within CV Carot Esq	61,5%	19,2%	3,8%	11,5%	,0%	3,8%	,0%	,0%	100,0%
	% within TC Pos Dta	,9%	2,7%	1,0%	3,4%	,0%	3,1%	,0%	,0%	1,1%
	% of Total	,7%	,2%	,0%	,1%	,0%	,0%	,0%	,0%	1,1%
Oclusão	Count	57	7	1	2	0	3	0	0	70
	% within CV Carot Esq	81,4%	10,0%	1,4%	2,9%	,0%	4,3%	,0%	,0%	100,0%
	% within TC Pos Dta	3,1%	3,8%	1,0%	2,3%	,0%	9,4%	,0%	,0%	3,1%
	% of Total	2,5%	,3%	,0%	,1%	,0%	,1%	,0%	,0%	3,1%
Tortuosidade	Count	61	7	2	1	0	0	0	0	71
	% within CV Carot Esq	85,9%	9,9%	2,8%	1,4%	,0%	,0%	,0%	,0%	100,0%
	% within TC Pos Dta	3,3%	3,8%	2,0%	1,1%	,0%	,0%	,0%	,0%	3,1%
	% of Total	2,7%	,3%	,1%	,0%	,0%	,0%	,0%	,0%	3,1%
Ateromatose carotídea, sem reperc. hemodinâmica	Count	984	104	63	53	1	19	10	3	1237
	% within CV Carot Esq	79,5%	8,4%	5,1%	4,3%	,1%	1,5%	,8%	,2%	100,0%
	% within TC Pos Dta	53,0%	56,5%	64,3%	60,2%	33,3%	59,4%	66,7%	42,9%	54,2%
	% of Total	43,1%	4,6%	2,8%	2,3%	,0%	,8%	,4%	,1%	54,2%
Tort+Aterom	Count	109	28	2	8	1	1	2	1	152

sem reperc	% within CV Carot Esq	71,7%	18,4%	1,3%	5,3%	,7%	,7%	1,3%	,7%	100,0%
	% within TC Pos Dta	5,9%	15,2%	2,0%	9,1%	33,3%	3,1%	13,3%	14,3%	6,7%
	% of Total	4,8%	1,2%	,1%	,4%	,0%	,0%	,1%	,0%	6,7%
Tortuosidade, compatível com Estenose	Count	5	1	2	1	0	0	0	0	9
	% within CV Carot Esq	55,6%	11,1%	22,2%	11,1%	,0%	,0%	,0%	,0%	100,0%
	% within TC Pos Dta	,3%	,5%	2,0%	1,1%	,0%	,0%	,0%	,0%	,4%
	% of Total	,2%	,0%	,1%	,0%	,0%	,0%	,0%	,0%	,4%
Total	Count	1855	184	98	88	3	32	15	7	2282
	% within CV Carot Esq	81,3%	8,1%	4,3%	3,9%	,1%	1,4%	,7%	,3%	100,0%
	% within TC Pos Dta	100,0%	100,0%	100,0%	100,0%	100,0%	100,0%	100,0%	100,0%	100,0%
	% of Total	81,3%	8,1%	4,3%	3,9%	,1%	1,4%	,7%	,3%	100,0%

Symmetric Measures

		Value	Approx. Sig.
Nominal by Nominal	Contingency Coefficient	,214	,000
N of Valid Cases		2282	

Apêndice 3.128 – Correlação da variável cv carot esq vs ip.

			IP		Total
			Normal	Aumentados	
CV Carot Esq	Normal	Count	427	183	610
		% within CV Carot Esq	70,0%	30,0%	100,0%
		% within IP	35,9%	18,2%	27,8%
		% of Total	19,5%	8,3%	27,8%
	Est Ligeira	Count	2	4	6
		% within CV Carot Esq	33,3%	66,7%	100,0%
		% within IP	,2%	,4%	,3%
		% of Total	,1%	,2%	,3%
	Estenose Moderada	Count	28	28	56
		% within CV Carot Esq	50,0%	50,0%	100,0%
		% within IP	2,4%	2,8%	2,6%
		% of Total	1,3%	1,3%	2,6%
Est Grave	Count	16	22	38	
	% within CV Carot Esq	42,1%	57,9%	100,0%	
	% within IP	1,3%	2,2%	1,7%	
	% of Total	,7%	1,0%	1,7%	
Est Pré-Oclusiva	Count	10	12	22	
	% within CV Carot Esq	45,5%	54,5%	100,0%	
	% within IP	,8%	1,2%	1,0%	

	% of Total	,5%	,5%	1,0%
Oclusão	Count	45	24	69
	% within CV Carot Esq	65,2%	34,8%	100,0%
	% within IP	3,8%	2,4%	3,1%
	% of Total	2,1%	1,1%	3,1%
Tortuosidade	Count	39	28	67
	% within CV Carot Esq	58,2%	41,8%	100,0%
	% within IP	3,3%	2,8%	3,1%
	% of Total	1,8%	1,3%	3,1%
Ateromatose carotídea, sem reperc. hemodinâmica	Count	550	635	1185
	% within CV Carot Esq	46,4%	53,6%	100,0%
	% within IP	46,3%	63,1%	54,0%
	% of Total	25,1%	28,9%	54,0%
Tort+Aterom sem reperc	Count	68	65	133
	% within CV Carot Esq	51,1%	48,9%	100,0%
	% within IP	5,7%	6,5%	6,1%
	% of Total	3,1%	3,0%	6,1%
Tortuosidade, compatível com Estenose	Count	3	5	8
	% within CV Carot Esq	37,5%	62,5%	100,0%
	% within IP	,3%	,5%	,4%
	% of Total	,1%	,2%	,4%
Total	Count	1188	1006	2194
	% within CV Carot Esq	54,1%	45,9%	100,0%
	% within IP	100,0%	100,0%	100,0%
	% of Total	54,1%	45,9%	100,0%

Symmetric Measures

		Value	Approx. Sig.
Nominal by Nominal	Contingency Coefficient	,209	,000
N of Valid Cases		2194	

Apêndice 3.129 – Correlação da variável cv carot dta vs tc ant esq.

			TC Ant Esq							Total
			Normal	Sem janela	Est Ligeira	Est Mod/Grave	Tortuosidade	Oclusão	Vasospasmo	
CV Carot Dta	Normal	Count	592	49	15	12	0	5	0	673
		% within CV Carot Dta	88,0%	7,3%	2,2%	1,8%	,0%	,7%	,0%	100,0%
		% within TC Ant Esq	32,5%	19,1%	17,9%	14,3%	,0%	20,8%	,0%	29,6%
		% of Total	26,0%	2,2%	,7%	,5%	,0%	,2%	,0%	29,6%
	Est Ligeira	Count	5	0	2	0	0	0	0	7

	% within CV Carot Dta	71,4%	,0%	28,6%	,0%	,0%	,0%	,0%	100,0%
	% within TC Ant Esq	,3%	,0%	2,4%	,0%	,0%	,0%	,0%	,3%
	% of Total	,2%	,0%	,1%	,0%	,0%	,0%	,0%	,3%
Estenose Moderada	Count	42	10	6	5	0	0	0	63
	% within CV Carot Dta	66,7%	15,9%	9,5%	7,9%	,0%	,0%	,0%	100,0%
	% within TC Ant Esq	2,3%	3,9%	7,1%	6,0%	,0%	,0%	,0%	2,8%
	% of Total	1,8%	,4%	,3%	,2%	,0%	,0%	,0%	2,8%
Est Grave	Count	17	0	0	2	0	2	0	21
	% within CV Carot Dta	81,0%	,0%	,0%	9,5%	,0%	9,5%	,0%	100,0%
	% within TC Ant Esq	,9%	,0%	,0%	2,4%	,0%	8,3%	,0%	,9%
	% of Total	,7%	,0%	,0%	,1%	,0%	,1%	,0%	,9%
Est Pré-Oclusiva	Count	26	4	1	1	0	1	0	33
	% within CV Carot Dta	78,8%	12,1%	3,0%	3,0%	,0%	3,0%	,0%	100,0%
	% within TC Ant Esq	1,4%	1,6%	1,2%	1,2%	,0%	4,2%	,0%	1,5%
	% of Total	1,1%	,2%	,0%	,0%	,0%	,0%	,0%	1,5%
Oclusão	Count	34	12	6	3	1	1	0	57
	% within CV Carot Dta	59,6%	21,1%	10,5%	5,3%	1,8%	1,8%	,0%	100,0%
	% within TC Ant Esq	1,9%	4,7%	7,1%	3,6%	50,0%	4,2%	,0%	2,5%
	% of Total	1,5%	,5%	,3%	,1%	,0%	,0%	,0%	2,5%
Tortuosidade	Count	44	10	2	4	0	1	0	61
	% within CV Carot Dta	72,1%	16,4%	3,3%	6,6%	,0%	1,6%	,0%	100,0%
	% within TC Ant Esq	2,4%	3,9%	2,4%	4,8%	,0%	4,2%	,0%	2,7%
	% of Total	1,9%	,4%	,1%	,2%	,0%	,0%	,0%	2,7%
Fístula	Count	0	0	0	0	0	1	0	1
	% within CV Carot Dta	,0%	,0%	,0%	,0%	,0%	100,0%	,0%	100,0%
	% within TC Ant Esq	,0%	,0%	,0%	,0%	,0%	4,2%	,0%	,0%
	% of Total	,0%	,0%	,0%	,0%	,0%	,0%	,0%	,0%
Ateromatose carotídea, sem reperc. hemodinâmica	Count	969	154	48	51	0	11	1	1234
	% within CV Carot Dta	78,5%	12,5%	3,9%	4,1%	,0%	,9%	,1%	100,0%
	% within TC Ant Esq	53,1%	60,2%	57,1%	60,7%	,0%	45,8%	100,0%	54,2%
	% of Total	42,6%	6,8%	2,1%	2,2%	,0%	,5%	,0%	54,2%
Tort+Aterom sem	Count	87	15	2	5	1	1	0	111



reperc	% within CV Carot Dta	78,4%	13,5%	1,8%	4,5%	,9%	,9%	,0%	100,0%
	% within TC Ant Esq	4,8%	5,9%	2,4%	6,0%	50,0%	4,2%	,0%	4,9%
	% of Total	3,8%	,7%	,1%	,2%	,0%	,0%	,0%	4,9%
Tortuosidade, compatível com Estenose	Count	8	2	2	1	0	1	0	14
	% within CV Carot Dta	57,1%	14,3%	14,3%	7,1%	,0%	7,1%	,0%	100,0%
	% within TC Ant Esq	,4%	,8%	2,4%	1,2%	,0%	4,2%	,0%	,6%
	% of Total	,4%	,1%	,1%	,0%	,0%	,0%	,0%	,6%
Total	Count	1824	256	84	84	2	24	1	2275
	% within CV Carot Dta	80,2%	11,3%	3,7%	3,7%	,1%	1,1%	,0%	100,0%
	% within TC Ant Esq	100,0%	100,0%	100,0%	100,0%	100,0%	100,0%	100,0%	100,0%
	% of Total	80,2%	11,3%	3,7%	3,7%	,1%	1,1%	,0%	100,0%

Symmetric Measures

		Value	Approx. Sig.
Nominal by Nominal	Contingency Coefficient	,303	,000
N of Valid Cases		2275	

Apêndice 3.130 – Correlação da variável cv carot dta vs tc ant dta.

			TC Ant Dta							Total
			Normal	Sem janela	Est Ligeira	Est Mod/Grave	Tortuosidade	Oclusão	Roubo da ASE	
CV Carot Dta	Normal	Count	595	48	19	10	0	1	0	673
		% within CV Carot Dta	88,4%	7,1%	2,8%	1,5%	,0%	,1%	,0%	100,0%
		% within TC Ant Dta	31,9%	18,4%	24,7%	20,4%	,0%	5,0%	,0%	29,6%
		% of Total	26,2%	2,1%	,8%	,4%	,0%	,0%	,0%	29,6%
Est Ligeira		Count	3	0	2	1	0	1	0	7
		% within CV Carot Dta	42,9%	,0%	28,6%	14,3%	,0%	14,3%	,0%	100,0%
		% within TC Ant Dta	,2%	,0%	2,6%	2,0%	,0%	5,0%	,0%	,3%
		% of Total	,1%	,0%	,1%	,0%	,0%	,0%	,0%	,3%
Estenose Moderada		Count	42	10	7	1	0	2	0	62
		% within CV Carot Dta	67,7%	16,1%	11,3%	1,6%	,0%	3,2%	,0%	100,0%
		% within TC Ant Dta	2,3%	3,8%	9,1%	2,0%	,0%	10,0%	,0%	2,7%
		% of Total	1,8%	,4%	,3%	,0%	,0%	,1%	,0%	2,7%
Est Grave		Count	19	0	0	1	0	1	0	21

	% within CV Carot Dta	90,5%	,0%	,0%	4,8%	,0%	4,8%	,0%	100,0%
	% within TC Ant Dta	1,0%	,0%	,0%	2,0%	,0%	5,0%	,0%	,9%
	% of Total	,8%	,0%	,0%	,0%	,0%	,0%	,0%	,9%
Est Pré-Oclusiva	Count	25	5	0	3	0	0	0	33
	% within CV Carot Dta	75,8%	15,2%	,0%	9,1%	,0%	,0%	,0%	100,0%
	% within TC Ant Dta	1,3%	1,9%	,0%	6,1%	,0%	,0%	,0%	1,5%
	% of Total	1,1%	,2%	,0%	,1%	,0%	,0%	,0%	1,5%
Oclusão	Count	40	12	0	1	0	5	0	58
	% within CV Carot Dta	69,0%	20,7%	,0%	1,7%	,0%	8,6%	,0%	100,0%
	% within TC Ant Dta	2,1%	4,6%	,0%	2,0%	,0%	25,0%	,0%	2,6%
	% of Total	1,8%	,5%	,0%	,0%	,0%	,2%	,0%	2,6%
Tortuosidade	Count	46	13	2	1	0	0	0	62
	% within CV Carot Dta	74,2%	21,0%	3,2%	1,6%	,0%	,0%	,0%	100,0%
	% within TC Ant Dta	2,5%	5,0%	2,6%	2,0%	,0%	,0%	,0%	2,7%
	% of Total	2,0%	,6%	,1%	,0%	,0%	,0%	,0%	2,7%
Fístula	Count	1	0	0	0	0	0	0	1
	% within CV Carot Dta	100,0%	,0%	,0%	,0%	,0%	,0%	,0%	100,0%
	% within TC Ant Dta	,1%	,0%	,0%	,0%	,0%	,0%	,0%	,0%
	% of Total	,0%	,0%	,0%	,0%	,0%	,0%	,0%	,0%
Ateromatose carotídea, sem reperc. hemodinâmica	Count	991	156	44	29	1	10	1	1232
	% within CV Carot Dta	80,4%	12,7%	3,6%	2,4%	,1%	,8%	,1%	100,0%
	% within TC Ant Dta	53,2%	59,8%	57,1%	59,2%	50,0%	50,0%	100,0%	54,2%
	% of Total	43,6%	6,9%	1,9%	1,3%	,0%	,4%	,0%	54,2%
Tort+Aterom sem reperc	Count	91	15	3	1	1	0	0	111
	% within CV Carot Dta	82,0%	13,5%	2,7%	,9%	,9%	,0%	,0%	100,0%
	% within TC Ant Dta	4,9%	5,7%	3,9%	2,0%	50,0%	,0%	,0%	4,9%
	% of Total	4,0%	,7%	,1%	,0%	,0%	,0%	,0%	4,9%
Tortuosidade, compatível com Estenose	Count	11	2	0	1	0	0	0	14
	% within CV Carot Dta	78,6%	14,3%	,0%	7,1%	,0%	,0%	,0%	100,0%
	% within TC Ant Dta	,6%	,8%	,0%	2,0%	,0%	,0%	,0%	,6%
	% of Total	,5%	,1%	,0%	,0%	,0%	,0%	,0%	,6%
Total	Count	1864	261	77	49	2	20	1	2274

	% within CV Carot Dta	82,0%	11,5%	3,4%	2,2%	,1%	,9%	,0%	100,0%
	% within TC Ant Dta	100,0%	100,0%	100,0%	100,0%	100,0%	100,0%	100,0%	100,0%
	% of Total	82,0%	11,5%	3,4%	2,2%	,1%	,9%	,0%	100,0%

Symmetric Measures

		Value	Approx. Sig.
Nominal by Nominal	Contingency Coefficient	,256	,000
N of Valid Cases		2274	

Apêndice 3.131 – Correlação da variável cv carot dta vs tc pos esq.

			TC Pos Esq									Total
			Normal	Sem janela	Est Ligeira	Est Mod/Grave	Tortuosidade	Oclusão	Roubo da ASE	Vasospasmo	Hipoplasia	
CV Carot Dta	Normal	Count	589	32	20	26	0	3	2	0	2	674
		% within CV Carot Dta	87,4%	4,7%	3,0%	3,9%	,0%	,4%	,3%	,0%	,3%	100,0%
		% within TC Pos Esq	31,5%	19,0%	22,5%	24,8%	,0%	8,6%	22,2%	,0%	40,0%	29,5%
		% of Total	25,8%	1,4%	,9%	1,1%	,0%	,1%	,1%	,0%	,1%	29,5%
Est Ligeira	Est Ligeira	Count	2	0	3	2	0	0	0	0	0	7
		% within CV Carot Dta	28,6%	,0%	42,9%	28,6%	,0%	,0%	,0%	,0%	,0%	100,0%
		% within TC Pos Esq	,1%	,0%	3,4%	1,9%	,0%	,0%	,0%	,0%	,0%	,3%
		% of Total	,1%	,0%	,1%	,1%	,0%	,0%	,0%	,0%	,0%	,3%
Estenose Moderada	Estenose Moderada	Count	50	4	4	2	0	3	0	0	0	63
		% within CV Carot Dta	79,4%	6,3%	6,3%	3,2%	,0%	4,8%	,0%	,0%	,0%	100,0%
		% within TC Pos Esq	2,7%	2,4%	4,5%	1,9%	,0%	8,6%	,0%	,0%	,0%	2,8%
		% of Total	2,2%	,2%	,2%	,1%	,0%	,1%	,0%	,0%	,0%	2,8%
Est Grave	Est Grave	Count	15	0	3	3	0	0	0	0	0	21
		% within CV Carot Dta	71,4%	,0%	14,3%	14,3%	,0%	,0%	,0%	,0%	,0%	100,0%
		% within TC Pos Esq	,8%	,0%	3,4%	2,9%	,0%	,0%	,0%	,0%	,0%	,9%
		% of Total	,7%	,0%	,1%	,1%	,0%	,0%	,0%	,0%	,0%	,9%
Est Pré-Oclusiva	Est Pré-Oclusiva	Count	28	3	2	0	0	0	0	0	0	33
		% within CV Carot Dta	84,8%	9,1%	6,1%	,0%	,0%	,0%	,0%	,0%	,0%	100,0%

	% within TC Pos Esq	1,5%	1,8%	2,2%	,0%	,0%	,0%	,0%	,0%	,0%	1,4%
	% of Total	1,2%	,1%	,1%	,0%	,0%	,0%	,0%	,0%	,0%	1,4%
Oclusão	Count	39	9	1	6	0	3	0	0	0	58
	% within CV Carot Dta	67,2%	15,5%	1,7%	10,3%	,0%	5,2%	,0%	,0%	,0%	100,0%
	% within TC Pos Esq	2,1%	5,4%	1,1%	5,7%	,0%	8,6%	,0%	,0%	,0%	2,5%
	% of Total	1,7%	,4%	,0%	,3%	,0%	,1%	,0%	,0%	,0%	2,5%
Tortuosidade	Count	49	7	3	3	0	0	0	0	0	62
	% within CV Carot Dta	79,0%	11,3%	4,8%	4,8%	,0%	,0%	,0%	,0%	,0%	100,0%
	% within TC Pos Esq	2,6%	4,2%	3,4%	2,9%	,0%	,0%	,0%	,0%	,0%	2,7%
	% of Total	2,1%	,3%	,1%	,1%	,0%	,0%	,0%	,0%	,0%	2,7%
Fístula	Count	1	0	0	0	0	0	0	0	0	1
	% within CV Carot Dta	100,0%	,0%	,0%	,0%	,0%	,0%	,0%	,0%	,0%	100,0%
	% within TC Pos Esq	,1%	,0%	,0%	,0%	,0%	,0%	,0%	,0%	,0%	,0%
	% of Total	,0%	,0%	,0%	,0%	,0%	,0%	,0%	,0%	,0%	,0%
Ateromatose carotídea, sem reperc. hemodinâmica	Count	996	105	47	56	1	21	7	1	3	1237
	% within CV Carot Dta	80,5%	8,5%	3,8%	4,5%	,1%	1,7%	,6%	,1%	,2%	100,0%
	% within TC Pos Esq	53,3%	62,5%	52,8%	53,3%	100,0%	60,0%	77,8%	100,0%	60,0%	54,2%
	% of Total	43,6%	4,6%	2,1%	2,5%	,0%	,9%	,3%	,0%	,1%	54,2%
Tort+Aterom sem reperc	Count	90	6	5	6	0	5	0	0	0	112
	% within CV Carot Dta	80,4%	5,4%	4,5%	5,4%	,0%	4,5%	,0%	,0%	,0%	100,0%
	% within TC Pos Esq	4,8%	3,6%	5,6%	5,7%	,0%	14,3%	,0%	,0%	,0%	4,9%
	% of Total	3,9%	,3%	,2%	,3%	,0%	,2%	,0%	,0%	,0%	4,9%
Tortuosidade, compatível com Estenose	Count	10	2	1	1	0	0	0	0	0	14
	% within CV Carot Dta	71,4%	14,3%	7,1%	7,1%	,0%	,0%	,0%	,0%	,0%	100,0%
	% within TC Pos Esq	,5%	1,2%	1,1%	1,0%	,0%	,0%	,0%	,0%	,0%	,6%
	% of Total	,4%	,1%	,0%	,0%	,0%	,0%	,0%	,0%	,0%	,6%
<b>Total</b>	<b>Count</b>	<b>1869</b>	<b>168</b>	<b>89</b>	<b>105</b>	<b>1</b>	<b>35</b>	<b>9</b>	<b>1</b>	<b>5</b>	<b>2282</b>

% within CV Carot Dta	81,9%	7,4%	3,9%	4,6%	,0%	1,5%	,4%	,0%	,2%	100,0%
% within TC Pos Esq	100,0%	100,0%	100,0%	100,0%	100,0%	100,0%	100,0%	100,0%	100,0%	100,0%
% of Total	81,9%	7,4%	3,9%	4,6%	,0%	1,5%	,4%	,0%	,2%	100,0%

Symmetric Measures

		Value	Approx. Sig.
Nominal by Nominal	Contingency Coefficient	,216	,010
N of Valid Cases		2282	

Apêndice 3.132 – Correlação da variável cv carot dta vs tc pos dta.

			TC Pos Dta								Total
			Normal	Sem janela	Est Ligeira	Est Mod/Grave	Tortuosidade	Oclusão	Roubo da ASE	Hipoplasia	
CV Carot Dta	Normal	Count	594	30	18	16	0	11	3	2	674
		% within CV Carot Dta	88,1%	4,5%	2,7%	2,4%	,0%	1,6%	,4%	,3%	100,0%
		% within TC Pos Dta	32,0%	16,3%	18,4%	18,2%	,0%	34,4%	20,0%	28,6%	29,5%
		% of Total	26,0%	1,3%	,8%	,7%	,0%	,5%	,1%	,1%	29,5%
Est Ligeira	Est Ligeira	Count	5	0	0	2	0	0	0	0	7
		% within CV Carot Dta	71,4%	,0%	,0%	28,6%	,0%	,0%	,0%	,0%	100,0%
		% within TC Pos Dta	,3%	,0%	,0%	2,3%	,0%	,0%	,0%	,0%	,3%
		% of Total	,2%	,0%	,0%	,1%	,0%	,0%	,0%	,0%	,3%
Estenose Moderada	Estenose Moderada	Count	46	5	4	4	0	1	1	1	62
		% within CV Carot Dta	74,2%	8,1%	6,5%	6,5%	,0%	1,6%	1,6%	1,6%	100,0%
		% within TC Pos Dta	2,5%	2,7%	4,1%	4,5%	,0%	3,1%	6,7%	14,3%	2,7%
		% of Total	2,0%	,2%	,2%	,2%	,0%	,0%	,0%	,0%	2,7%
Est Grave	Est Grave	Count	18	0	0	3	0	0	0	0	21
		% within CV Carot Dta	85,7%	,0%	,0%	14,3%	,0%	,0%	,0%	,0%	100,0%
		% within TC Pos Dta	1,0%	,0%	,0%	3,4%	,0%	,0%	,0%	,0%	,9%
		% of Total	,8%	,0%	,0%	,1%	,0%	,0%	,0%	,0%	,9%
Est Pré-Oclusiva	Est Pré-Oclusiva	Count	22	5	3	2	0	1	0	0	33
		% within CV Carot Dta	66,7%	15,2%	9,1%	6,1%	,0%	3,0%	,0%	,0%	100,0%
		% within TC Pos Dta	1,2%	2,7%	3,1%	2,3%	,0%	3,1%	,0%	,0%	1,4%
		% of Total	1,0%	,2%	,1%	,1%	,0%	,0%	,0%	,0%	1,4%
Oclusão	Oclusão	Count	39	10	3	2	1	2	0	0	57

	% within CV Carot Dta	68,4%	17,5%	5,3%	3,5%	1,8%	3,5%	,0%	,0%	100,0%
	% within TC Pos Dta	2,1%	5,4%	3,1%	2,3%	33,3%	6,3%	,0%	,0%	2,5%
	% of Total	1,7%	,4%	,1%	,1%	,0%	,1%	,0%	,0%	2,5%
Tortuosidade	Count	50	10	1	1	0	0	0	0	62
	% within CV Carot Dta	80,6%	16,1%	1,6%	1,6%	,0%	,0%	,0%	,0%	100,0%
	% within TC Pos Dta	2,7%	5,4%	1,0%	1,1%	,0%	,0%	,0%	,0%	2,7%
	% of Total	2,2%	,4%	,0%	,0%	,0%	,0%	,0%	,0%	2,7%
Fístula	Count	1	0	0	0	0	0	0	0	1
	% within CV Carot Dta	100,0%	,0%	,0%	,0%	,0%	,0%	,0%	,0%	100,0%
	% within TC Pos Dta	,1%	,0%	,0%	,0%	,0%	,0%	,0%	,0%	,0%
	% of Total	,0%	,0%	,0%	,0%	,0%	,0%	,0%	,0%	,0%
Ateromatose carotídea, sem reperc. hemodinâmica	Count	980	113	63	53	2	15	9	4	1239
	% within CV Carot Dta	79,1%	9,1%	5,1%	4,3%	,2%	1,2%	,7%	,3%	100,0%
	% within TC Pos Dta	52,8%	61,4%	64,3%	60,2%	66,7%	46,9%	60,0%	57,1%	54,3%
	% of Total	42,9%	5,0%	2,8%	2,3%	,1%	,7%	,4%	,2%	54,3%
Tort+Aterom sem reperc	Count	89	9	5	5	0	2	2	0	112
	% within CV Carot Dta	79,5%	8,0%	4,5%	4,5%	,0%	1,8%	1,8%	,0%	100,0%
	% within TC Pos Dta	4,8%	4,9%	5,1%	5,7%	,0%	6,3%	13,3%	,0%	4,9%
	% of Total	3,9%	,4%	,2%	,2%	,0%	,1%	,1%	,0%	4,9%
Tortuosidade, compatível com Estenose	Count	11	2	1	0	0	0	0	0	14
	% within CV Carot Dta	78,6%	14,3%	7,1%	,0%	,0%	,0%	,0%	,0%	100,0%
	% within TC Pos Dta	,6%	1,1%	1,0%	,0%	,0%	,0%	,0%	,0%	,6%
	% of Total	,5%	,1%	,0%	,0%	,0%	,0%	,0%	,0%	,6%
Total	Count	1855	184	98	88	3	32	15	7	2282
	% within CV Carot Dta	81,3%	8,1%	4,3%	3,9%	,1%	1,4%	,7%	,3%	100,0%
	% within TC Pos Dta	100,0%	100,0%	100,0%	100,0%	100,0%	100,0%	100,0%	100,0%	100,0%
	% of Total	81,3%	8,1%	4,3%	3,9%	,1%	1,4%	,7%	,3%	100,0%

Symmetric Measures

		Value	Approx. Sig.
Nominal by Nominal	Contingency Coefficient	,203	,014
N of Valid Cases		2282	

## Apêndice 3.133 – Correlação da variável cv carot dta vs ip.

			IP		Total
			Normal	Aumentados	
CV Carot Dta	Normal	Count	436	228	664
		% within CV Carot Dta	65,7%	34,3%	100,0%
		% within IP	36,7%	22,7%	30,3%
		% of Total	19,9%	10,4%	30,3%
Est Ligeira		Count	2	5	7
		% within CV Carot Dta	28,6%	71,4%	100,0%
		% within IP	,2%	,5%	,3%
		% of Total	,1%	,2%	,3%
Estenose Moderada		Count	35	25	60
		% within CV Carot Dta	58,3%	41,7%	100,0%
		% within IP	2,9%	2,5%	2,7%
		% of Total	1,6%	1,1%	2,7%
Est Grave		Count	8	13	21
		% within CV Carot Dta	38,1%	61,9%	100,0%
		% within IP	,7%	1,3%	1,0%
		% of Total	,4%	,6%	1,0%
Est Pré-Oclusiva		Count	26	4	30
		% within CV Carot Dta	86,7%	13,3%	100,0%
		% within IP	2,2%	,4%	1,4%
		% of Total	1,2%	,2%	1,4%
Oclusão		Count	34	19	53
		% within CV Carot Dta	64,2%	35,8%	100,0%
		% within IP	2,9%	1,9%	2,4%
		% of Total	1,5%	,9%	2,4%
Tortuosidade		Count	35	23	58
		% within CV Carot Dta	60,3%	39,7%	100,0%
		% within IP	2,9%	2,3%	2,6%
		% of Total	1,6%	1,0%	2,6%
Fístula		Count	1	0	1
		% within CV Carot Dta	100,0%	,0%	100,0%
		% within IP	,1%	,0%	,0%
		% of Total	,0%	,0%	,0%
Ateromatose carotídea, sem reperc. hemodinâmica		Count	549	632	1181
		% within CV Carot Dta	46,5%	53,5%	100,0%
		% within IP	46,2%	62,8%	53,8%
		% of Total	25,0%	28,8%	53,8%
Tort+Aterom sem reperc		Count	53	54	107
		% within CV Carot Dta	49,5%	50,5%	100,0%

	% within IP	4,5%	5,4%	4,9%
	% of Total	2,4%	2,5%	4,9%
Tortuosidade, compatível com Estenose	Count	9	3	12
	% within CV Carot Dta	75,0%	25,0%	100,0%
	% within IP	,8%	,3%	,5%
	% of Total	,4%	,1%	,5%
Total	Count	1188	1006	2194
	% within CV Carot Dta	54,1%	45,9%	100,0%
	% within IP	100,0%	100,0%	100,0%
	% of Total	54,1%	45,9%	100,0%

Symmetric Measures

		Value	Approx. Sig.
Nominal by Nominal	Contingency Coefficient	,196	,000
N of Valid Cases		2194	

Apêndice 3.134 – Correlação da variável cv vert esq vs tc ant esq.

			TC Ant Esq							Total
			Normal	Sem janela	Est Ligeira	Est Mod/Grave	Tortuosidade	Oclusão	Vasospasmo	
CV Vert Esq	Normal	Count	1725	242	79	75	2	19	0	2142
		% within CV Vert Esq	80,5%	11,3%	3,7%	3,5%	,1%	,9%	,0%	100,0%
		% within TC Ant Esq	94,6%	94,5%	94,0%	89,3%	100,0%	79,2%	,0%	94,2%
		% of Total	75,8%	10,6%	3,5%	3,3%	,1%	,8%	,0%	94,2%
Est Ligeira	Est Ligeira	Count	13	2	1	4	0	1	1	22
		% within CV Vert Esq	59,1%	9,1%	4,5%	18,2%	,0%	4,5%	4,5%	100,0%
		% within TC Ant Esq	,7%	,8%	1,2%	4,8%	,0%	4,2%	100,0%	1,0%
		% of Total	,6%	,1%	,0%	,2%	,0%	,0%	,0%	1,0%
Estenose Moderada	Estenose Moderada	Count	4	1	0	0	0	2	0	7
		% within CV Vert Esq	57,1%	14,3%	,0%	,0%	,0%	28,6%	,0%	100,0%
		% within TC Ant Esq	,2%	,4%	,0%	,0%	,0%	8,3%	,0%	,3%
		% of Total	,2%	,0%	,0%	,0%	,0%	,1%	,0%	,3%
Est Grave	Est Grave	Count	6	1	1	1	0	0	0	9
		% within CV Vert Esq	66,7%	11,1%	11,1%	11,1%	,0%	,0%	,0%	100,0%
		% within TC Ant Esq	,3%	,4%	1,2%	1,2%	,0%	,0%	,0%	,4%
		% of Total	,3%	,0%	,0%	,0%	,0%	,0%	,0%	,4%
Est Pré-Oclusiva	Count	4	0	0	0	0	0	0	4	



	% within CV Vert Esq	100,0%	,0%	,0%	,0%	,0%	,0%	,0%	100,0%
	% within TC Ant Esq	,2%	,0%	,0%	,0%	,0%	,0%	,0%	,2%
	% of Total	,2%	,0%	,0%	,0%	,0%	,0%	,0%	,2%
Oclusão	Count	24	2	0	1	0	2	0	29
	% within CV Vert Esq	82,8%	6,9%	,0%	3,4%	,0%	6,9%	,0%	100,0%
	% within TC Ant Esq	1,3%	,8%	,0%	1,2%	,0%	8,3%	,0%	1,3%
	% of Total	1,1%	,1%	,0%	,0%	,0%	,1%	,0%	1,3%
Tortuosidade	Count	27	3	0	1	0	0	0	31
	% within CV Vert Esq	87,1%	9,7%	,0%	3,2%	,0%	,0%	,0%	100,0%
	% within TC Ant Esq	1,5%	1,2%	,0%	1,2%	,0%	,0%	,0%	1,4%
	% of Total	1,2%	,1%	,0%	,0%	,0%	,0%	,0%	1,4%
Fístula	Count	1	0	0	0	0	0	0	1
	% within CV Vert Esq	100,0%	,0%	,0%	,0%	,0%	,0%	,0%	100,0%
	% within TC Ant Esq	,1%	,0%	,0%	,0%	,0%	,0%	,0%	,0%
	% of Total	,0%	,0%	,0%	,0%	,0%	,0%	,0%	,0%
Ateromatose carotídea, sem reperc. hemodinâmica	Count	2	1	0	0	0	0	0	3
	% within CV Vert Esq	66,7%	33,3%	,0%	,0%	,0%	,0%	,0%	100,0%
	% within TC Ant Esq	,1%	,4%	,0%	,0%	,0%	,0%	,0%	,1%
	% of Total	,1%	,0%	,0%	,0%	,0%	,0%	,0%	,1%
Roubo da ASE	Count	0	1	0	0	0	0	0	1
	% within CV Vert Esq	,0%	100,0%	,0%	,0%	,0%	,0%	,0%	100,0%
	% within TC Ant Esq	,0%	,4%	,0%	,0%	,0%	,0%	,0%	,0%
	% of Total	,0%	,0%	,0%	,0%	,0%	,0%	,0%	,0%
Tortuosidade, compatível com Estenose	Count	3	0	0	0	0	0	0	3
	% within CV Vert Esq	100,0%	,0%	,0%	,0%	,0%	,0%	,0%	100,0%
	% within TC Ant Esq	,2%	,0%	,0%	,0%	,0%	,0%	,0%	,1%
	% of Total	,1%	,0%	,0%	,0%	,0%	,0%	,0%	,1%
Hipoplasia	Count	15	3	3	2	0	0	0	23
	% within CV Vert Esq	65,2%	13,0%	13,0%	8,7%	,0%	,0%	,0%	100,0%
	% within TC Ant Esq	,8%	1,2%	3,6%	2,4%	,0%	,0%	,0%	1,0%
	% of Total	,7%	,1%	,1%	,1%	,0%	,0%	,0%	1,0%
Total	Count	1824	256	84	84	2	24	1	2275

% within CV Vert Esq	80,2%	11,3%	3,7%	3,7%	,1%	1,1%	,0%	100,0%
% within TC Ant Esq	100,0%	100,0%	100,0%	100,0%	100,0%	100,0%	100,0%	100,0%
% of Total	80,2%	11,3%	3,7%	3,7%	,1%	1,1%	,0%	100,0%

Symmetric Measures

		Value	Approx. Sig.
Nominal by Nominal	Contingency Coefficient	,288	,000
N of Valid Cases		2275	

Apêndice 3.135 – Correlação da variável cv vert esq vs tc ant dta

			TC Ant Dta						Total	
			Normal	Sem janela	Est Ligeira	Est Mod/Grave	Tortuosidade	Oclusão		Roubo da ASE
CV Vert Esq	Normal	Count	1762	245	69	46	1	17	1	2141
		% within CV Vert Esq	82,3%	11,4%	3,2%	2,1%	,0%	,8%	,0%	100,0%
		% within TC Ant Dta	94,5%	93,9%	89,6%	93,9%	50,0%	85,0%	100,0%	94,2%
		% of Total	77,5%	10,8%	3,0%	2,0%	,0%	,7%	,0%	94,2%
Est Ligeira	Est Ligeira	Count	15	2	2	2	0	1	0	22
		% within CV Vert Esq	68,2%	9,1%	9,1%	9,1%	,0%	4,5%	,0%	100,0%
		% within TC Ant Dta	,8%	,8%	2,6%	4,1%	,0%	5,0%	,0%	1,0%
		% of Total	,7%	,1%	,1%	,1%	,0%	,0%	,0%	1,0%
Estenose Moderada	Estenose Moderada	Count	4	2	0	0	0	1	0	7
		% within CV Vert Esq	57,1%	28,6%	,0%	,0%	,0%	14,3%	,0%	100,0%
		% within TC Ant Dta	,2%	,8%	,0%	,0%	,0%	5,0%	,0%	,3%
		% of Total	,2%	,1%	,0%	,0%	,0%	,0%	,0%	,3%
Est Grave	Est Grave	Count	7	1	1	0	0	0	0	9
		% within CV Vert Esq	77,8%	11,1%	11,1%	,0%	,0%	,0%	,0%	100,0%
		% within TC Ant Dta	,4%	,4%	1,3%	,0%	,0%	,0%	,0%	,4%
		% of Total	,3%	,0%	,0%	,0%	,0%	,0%	,0%	,4%
Est Pré-Oclusiva	Est Pré-Oclusiva	Count	3	0	0	0	1	0	0	4
		% within CV Vert Esq	75,0%	,0%	,0%	,0%	25,0%	,0%	,0%	100,0%
		% within TC Ant Dta	,2%	,0%	,0%	,0%	50,0%	,0%	,0%	,2%
		% of Total	,1%	,0%	,0%	,0%	,0%	,0%	,0%	,2%
Oclusão	Oclusão	Count	23	4	1	0	0	1	0	29

	% within CV Vert Esq	79,3%	13,8%	3,4%	,0%	,0%	3,4%	,0%	100,0%
	% within TC Ant Dta	1,2%	1,5%	1,3%	,0%	,0%	5,0%	,0%	1,3%
	% of Total	1,0%	,2%	,0%	,0%	,0%	,0%	,0%	1,3%
Tortuosidade	Count	27	3	1	0	0	0	0	31
	% within CV Vert Esq	87,1%	9,7%	3,2%	,0%	,0%	,0%	,0%	100,0%
	% within TC Ant Dta	1,4%	1,1%	1,3%	,0%	,0%	,0%	,0%	1,4%
	% of Total	1,2%	,1%	,0%	,0%	,0%	,0%	,0%	1,4%
Fístula	Count	1	0	0	0	0	0	0	1
	% within CV Vert Esq	100,0%	,0%	,0%	,0%	,0%	,0%	,0%	100,0%
	% within TC Ant Dta	,1%	,0%	,0%	,0%	,0%	,0%	,0%	,0%
	% of Total	,0%	,0%	,0%	,0%	,0%	,0%	,0%	,0%
Ateromatose carotídea, sem reperc. hemodinâmica	Count	2	1	0	0	0	0	0	3
	% within CV Vert Esq	66,7%	33,3%	,0%	,0%	,0%	,0%	,0%	100,0%
	% within TC Ant Dta	,1%	,4%	,0%	,0%	,0%	,0%	,0%	,1%
	% of Total	,1%	,0%	,0%	,0%	,0%	,0%	,0%	,1%
Roubo da ASE	Count	0	1	0	0	0	0	0	1
	% within CV Vert Esq	,0%	100,0%	,0%	,0%	,0%	,0%	,0%	100,0%
	% within TC Ant Dta	,0%	,4%	,0%	,0%	,0%	,0%	,0%	,0%
	% of Total	,0%	,0%	,0%	,0%	,0%	,0%	,0%	,0%
Tortuosidade, compatível com Estenose	Count	3	0	0	0	0	0	0	3
	% within CV Vert Esq	100,0%	,0%	,0%	,0%	,0%	,0%	,0%	100,0%
	% within TC Ant Dta	,2%	,0%	,0%	,0%	,0%	,0%	,0%	,1%
	% of Total	,1%	,0%	,0%	,0%	,0%	,0%	,0%	,1%
Hipoplasia	Count	17	2	3	1	0	0	0	23
	% within CV Vert Esq	73,9%	8,7%	13,0%	4,3%	,0%	,0%	,0%	100,0%
	% within TC Ant Dta	,9%	,8%	3,9%	2,0%	,0%	,0%	,0%	1,0%
	% of Total	,7%	,1%	,1%	,0%	,0%	,0%	,0%	1,0%
Total	Count	1864	261	77	49	2	20	1	2274
	% within CV Vert Esq	82,0%	11,5%	3,4%	2,2%	,1%	,9%	,0%	100,0%
	% within TC Ant Dta	100,0%	100,0%	100,0%	100,0%	100,0%	100,0%	100,0%	100,0%
	% of Total	82,0%	11,5%	3,4%	2,2%	,1%	,9%	,0%	100,0%

Symmetric Measures

		Value	Approx. Sig.
Nominal by Nominal	Contingency Coefficient	,359	,000
N of Valid Cases		2274	

Apêndice 3.136 – Correlação da variável cv vert esq vs tc pos esq.

			TC Pos Esq								Total	
			Normal	Sem janela	Est Ligeira	Est Mod/Grave	Tortuosidade	Oclusão	Roubo da ASE	Vasospasmo		Hipoplasia
CV Vert Esq	Normal	Count	1779	164	78	97	0	22	6	0	3	2149
		% within CV Vert Esq	82,8%	7,6%	3,6%	4,5%	,0%	1,0%	,3%	,0%	,1%	100,0%
		% within TC Pos Esq	95,2%	97,6%	87,6%	92,4%	,0%	62,9%	66,7%	,0%	60,0%	94,2%
		% of Total	78,0%	7,2%	3,4%	4,3%	,0%	1,0%	,3%	,0%	,1%	94,2%
Est Ligeira	Est Ligeira	Count	13	0	5	3	0	0	0	1	0	22
		% within CV Vert Esq	59,1%	,0%	22,7%	13,6%	,0%	,0%	,0%	4,5%	,0%	100,0%
		% within TC Pos Esq	,7%	,0%	5,6%	2,9%	,0%	,0%	,0%	100,0%	,0%	1,0%
		% of Total	,6%	,0%	,2%	,1%	,0%	,0%	,0%	,0%	,0%	1,0%
Estenose Moderada	Estenose Moderada	Count	6	0	0	0	0	1	0	0	0	7
		% within CV Vert Esq	85,7%	,0%	,0%	,0%	,0%	14,3%	,0%	,0%	,0%	100,0%
		% within TC Pos Esq	,3%	,0%	,0%	,0%	,0%	2,9%	,0%	,0%	,0%	,3%
		% of Total	,3%	,0%	,0%	,0%	,0%	,0%	,0%	,0%	,0%	,3%
Est Grave	Est Grave	Count	6	0	0	0	0	1	2	0	0	9
		% within CV Vert Esq	66,7%	,0%	,0%	,0%	,0%	11,1%	22,2%	,0%	,0%	100,0%
		% within TC Pos Esq	,3%	,0%	,0%	,0%	,0%	2,9%	22,2%	,0%	,0%	,4%
		% of Total	,3%	,0%	,0%	,0%	,0%	,0%	,1%	,0%	,0%	,4%
Est Pré-Oclusiva	Est Pré-Oclusiva	Count	1	0	0	0	1	2	0	0	0	4
		% within CV Vert Esq	25,0%	,0%	,0%	,0%	25,0%	50,0%	,0%	,0%	,0%	100,0%
		% within TC Pos Esq	,1%	,0%	,0%	,0%	100,0%	5,7%	,0%	,0%	,0%	,2%
		% of Total	,0%	,0%	,0%	,0%	,0%	,1%	,0%	,0%	,0%	,2%

Oclusão	Count	20	1	0	0	0	8	0	0	0	29
	% within CV Vert Esq	69,0%	3,4%	,0%	,0%	,0%	27,6%	,0%	,0%	,0%	100,0%
	% within TC Pos Esq	1,1%	,6%	,0%	,0%	,0%	22,9%	,0%	,0%	,0%	1,3%
	% of Total	,9%	,0%	,0%	,0%	,0%	,4%	,0%	,0%	,0%	1,3%
Tortuosidade	Count	27	2	1	0	0	1	0	0	0	31
	% within CV Vert Esq	87,1%	6,5%	3,2%	,0%	,0%	3,2%	,0%	,0%	,0%	100,0%
	% within TC Pos Esq	1,4%	1,2%	1,1%	,0%	,0%	2,9%	,0%	,0%	,0%	1,4%
	% of Total	1,2%	,1%	,0%	,0%	,0%	,0%	,0%	,0%	,0%	1,4%
Fístula	Count	1	0	0	0	0	0	0	0	0	1
	% within CV Vert Esq	100,0%	,0%	,0%	,0%	,0%	,0%	,0%	,0%	,0%	100,0%
	% within TC Pos Esq	,1%	,0%	,0%	,0%	,0%	,0%	,0%	,0%	,0%	,0%
	% of Total	,0%	,0%	,0%	,0%	,0%	,0%	,0%	,0%	,0%	,0%
Ateromatose carotídea, sem reperc. hemodinâmica	Count	1	1	0	1	0	0	0	0	0	3
	% within CV Vert Esq	33,3%	33,3%	,0%	33,3%	,0%	,0%	,0%	,0%	,0%	100,0%
	% within TC Pos Esq	,1%	,6%	,0%	1,0%	,0%	,0%	,0%	,0%	,0%	,1%
	% of Total	,0%	,0%	,0%	,0%	,0%	,0%	,0%	,0%	,0%	,1%
Roubo da ASE	Count	0	0	0	0	0	0	1	0	0	1
	% within CV Vert Esq	,0%	,0%	,0%	,0%	,0%	,0%	100,0%	,0%	,0%	100,0%
	% within TC Pos Esq	,0%	,0%	,0%	,0%	,0%	,0%	11,1%	,0%	,0%	,0%
	% of Total	,0%	,0%	,0%	,0%	,0%	,0%	,0%	,0%	,0%	,0%
Tortuosidade, compatível com Estenose	Count	2	0	1	0	0	0	0	0	0	3
	% within CV Vert Esq	66,7%	,0%	33,3%	,0%	,0%	,0%	,0%	,0%	,0%	100,0%
	% within TC Pos Esq	,1%	,0%	1,1%	,0%	,0%	,0%	,0%	,0%	,0%	,1%
	% of Total	,1%	,0%	,0%	,0%	,0%	,0%	,0%	,0%	,0%	,1%
Hipoplasia	Count	13	0	4	4	0	0	0	0	2	23
	% within CV Vert Esq	56,5%	,0%	17,4%	17,4%	,0%	,0%	,0%	,0%	8,7%	100,0%

	% within TC Pos Esq	,7%	,0%	4,5%	3,8%	,0%	,0%	,0%	,0%	40,0%	1,0%
	% of Total	,6%	,0%	,2%	,2%	,0%	,0%	,0%	,0%	,1%	1,0%
Total	Count	1869	168	89	105	1	35	9	1	5	2282
	% within CV Vert Esq	81,9%	7,4%	3,9%	4,6%	,0%	1,5%	,4%	,0%	,2%	100,0%
	% within TC Pos Esq	100,0%	100,0%	100,0%	100,0%	100,0%	100,0%	100,0%	100,0%	100,0%	100,0%
	% of Total	81,9%	7,4%	3,9%	4,6%	,0%	1,5%	,4%	,0%	,2%	100,0%

Symmetric Measures

		Value	Approx. Sig.
Nominal by Nominal	Contingency Coefficient	,616	,000
N of Valid Cases		2282	

Apêndice 3.137 – Correlação da variável cv vert dta vs tc ant esq.

			TC Ant Esq							Total
			Normal	Sem janela	Est Ligeira	Est Mod/Grave	Tortuosidade	Oclusão	Vasospasmo	
CV Vert Dta	Normal	Count	1721	241	81	78	2	24	0	2147
		% within CV Vert Dta	80,2%	11,2%	3,8%	3,6%	,1%	1,1%	,0%	100,0%
		% within TC Ant Esq	94,4%	94,1%	96,4%	92,9%	100,0%	100,0%	,0%	94,4%
		% of Total	75,6%	10,6%	3,6%	3,4%	,1%	1,1%	,0%	94,4%
Est Ligeira		Count	8	0	0	3	0	0	1	12
		% within CV Vert Dta	66,7%	,0%	,0%	25,0%	,0%	,0%	8,3%	100,0%
		% within TC Ant Esq	,4%	,0%	,0%	3,6%	,0%	,0%	100,0%	,5%
		% of Total	,4%	,0%	,0%	,1%	,0%	,0%	,0%	,5%
Estenose Moderada		Count	2	1	0	0	0	0	0	3
		% within CV Vert Dta	66,7%	33,3%	,0%	,0%	,0%	,0%	,0%	100,0%
		% within TC Ant Esq	,1%	,4%	,0%	,0%	,0%	,0%	,0%	,1%
		% of Total	,1%	,0%	,0%	,0%	,0%	,0%	,0%	,1%
Est Grave		Count	3	0	0	0	0	0	0	3
		% within CV Vert Dta	100,0%	,0%	,0%	,0%	,0%	,0%	,0%	100,0%
		% within TC Ant Esq	,2%	,0%	,0%	,0%	,0%	,0%	,0%	,1%
		% of Total	,1%	,0%	,0%	,0%	,0%	,0%	,0%	,1%
Est Pré-Oclusiva	Count	1	0	0	0	0	0	0	1	

	% within CV Vert Dta	100,0%	,0%	,0%	,0%	,0%	,0%	,0%	100,0%
	% within TC Ant Esq	,1%	,0%	,0%	,0%	,0%	,0%	,0%	,0%
	% of Total	,0%	,0%	,0%	,0%	,0%	,0%	,0%	,0%
Oclusão	Count	33	5	2	2	0	0	0	42
	% within CV Vert Dta	78,6%	11,9%	4,8%	4,8%	,0%	,0%	,0%	100,0%
	% within TC Ant Esq	1,8%	2,0%	2,4%	2,4%	,0%	,0%	,0%	1,8%
	% of Total	1,5%	,2%	,1%	,1%	,0%	,0%	,0%	1,8%
Tortuosidade	Count	23	6	1	0	0	0	0	30
	% within CV Vert Dta	76,7%	20,0%	3,3%	,0%	,0%	,0%	,0%	100,0%
	% within TC Ant Esq	1,3%	2,3%	1,2%	,0%	,0%	,0%	,0%	1,3%
	% of Total	1,0%	,3%	,0%	,0%	,0%	,0%	,0%	1,3%
Ateromatose carotídea, sem reperc. hemodinâmica	Count	3	1	0	0	0	0	0	4
	% within CV Vert Dta	75,0%	25,0%	,0%	,0%	,0%	,0%	,0%	100,0%
	% within TC Ant Esq	,2%	,4%	,0%	,0%	,0%	,0%	,0%	,2%
	% of Total	,1%	,0%	,0%	,0%	,0%	,0%	,0%	,2%
Roubo da ASE	Count	1	0	0	0	0	0	0	1
	% within CV Vert Dta	100,0%	,0%	,0%	,0%	,0%	,0%	,0%	100,0%
	% within TC Ant Esq	,1%	,0%	,0%	,0%	,0%	,0%	,0%	,0%
	% of Total	,0%	,0%	,0%	,0%	,0%	,0%	,0%	,0%
Tortuosidade, compatível com Estenose	Count	1	0	0	0	0	0	0	1
	% within CV Vert Dta	100,0%	,0%	,0%	,0%	,0%	,0%	,0%	100,0%
	% within TC Ant Esq	,1%	,0%	,0%	,0%	,0%	,0%	,0%	,0%
	% of Total	,0%	,0%	,0%	,0%	,0%	,0%	,0%	,0%
Hipoplasia	Count	28	2	0	1	0	0	0	31
	% within CV Vert Dta	90,3%	6,5%	,0%	3,2%	,0%	,0%	,0%	100,0%
	% within TC Ant Esq	1,5%	,8%	,0%	1,2%	,0%	,0%	,0%	1,4%
	% of Total	1,2%	,1%	,0%	,0%	,0%	,0%	,0%	1,4%
Total	Count	1824	256	84	84	2	24	1	2275
	% within CV Vert Dta	80,2%	11,3%	3,7%	3,7%	,1%	1,1%	,0%	100,0%
	% within TC Ant Esq	100,0%	100,0%	100,0%	100,0%	100,0%	100,0%	100,0%	100,0%
	% of Total	80,2%	11,3%	3,7%	3,7%	,1%	1,1%	,0%	100,0%

Symmetric Measures

		Value	Approx. Sig.
Nominal by Nominal	Contingency Coefficient	,295	,000
N of Valid Cases		2275	

Apêndice 3.138 – Correlação da variável cv vert dta vs tc ant dta.

			TC Ant Dta							Total
			Normal	Sem janela	Est Ligeira	Est Mod/Grave	Tortuosidade	Oclusão	Roubo da ASE	
CV Vert Dta	Normal	Count	1762	244	73	47	2	17	1	2146
		% within CV Vert Dta	82,1%	11,4%	3,4%	2,2%	,1%	,8%	,0%	100,0%
		% within TC Ant Dta	94,5%	93,5%	94,8%	95,9%	100,0%	85,0%	100,0%	94,4%
		% of Total	77,5%	10,7%	3,2%	2,1%	,1%	,7%	,0%	94,4%
Est Ligeira		Count	9	1	1	0	0	1	0	12
		% within CV Vert Dta	75,0%	8,3%	8,3%	,0%	,0%	8,3%	,0%	100,0%
		% within TC Ant Dta	,5%	,4%	1,3%	,0%	,0%	5,0%	,0%	,5%
		% of Total	,4%	,0%	,0%	,0%	,0%	,0%	,0%	,5%
Estenose Moderada		Count	2	1	0	0	0	0	0	3
		% within CV Vert Dta	66,7%	33,3%	,0%	,0%	,0%	,0%	,0%	100,0%
		% within TC Ant Dta	,1%	,4%	,0%	,0%	,0%	,0%	,0%	,1%
		% of Total	,1%	,0%	,0%	,0%	,0%	,0%	,0%	,1%
Est Grave		Count	3	0	0	0	0	0	0	3
		% within CV Vert Dta	100,0%	,0%	,0%	,0%	,0%	,0%	,0%	100,0%
		% within TC Ant Dta	,2%	,0%	,0%	,0%	,0%	,0%	,0%	,1%
		% of Total	,1%	,0%	,0%	,0%	,0%	,0%	,0%	,1%
Est Pré-Oclusiva		Count	1	0	0	0	0	0	0	1
		% within CV Vert Dta	100,0%	,0%	,0%	,0%	,0%	,0%	,0%	100,0%
		% within TC Ant Dta	,1%	,0%	,0%	,0%	,0%	,0%	,0%	,0%
		% of Total	,0%	,0%	,0%	,0%	,0%	,0%	,0%	,0%
Oclusão		Count	30	7	2	2	0	1	0	42
		% within CV Vert Dta	71,4%	16,7%	4,8%	4,8%	,0%	2,4%	,0%	100,0%
		% within TC Ant Dta	1,6%	2,7%	2,6%	4,1%	,0%	5,0%	,0%	1,8%
		% of Total	1,3%	,3%	,1%	,1%	,0%	,0%	,0%	1,8%
Tortuosidade		Count	23	6	0	0	0	1	0	30



	% within CV Vert Dta	76,7%	20,0%	,0%	,0%	,0%	3,3%	,0%	100,0%
	% within TC Ant Dta	1,2%	2,3%	,0%	,0%	,0%	5,0%	,0%	1,3%
	% of Total	1,0%	,3%	,0%	,0%	,0%	,0%	,0%	1,3%
Ateromatose carotídea, sem reperc. hemodinâmica	Count	3	1	0	0	0	0	0	4
	% within CV Vert Dta	75,0%	25,0%	,0%	,0%	,0%	,0%	,0%	100,0%
	% within TC Ant Dta	,2%	,4%	,0%	,0%	,0%	,0%	,0%	,2%
	% of Total	,1%	,0%	,0%	,0%	,0%	,0%	,0%	,2%
Roubo da ASE	Count	1	0	0	0	0	0	0	1
	% within CV Vert Dta	100,0%	,0%	,0%	,0%	,0%	,0%	,0%	100,0%
	% within TC Ant Dta	,1%	,0%	,0%	,0%	,0%	,0%	,0%	,0%
	% of Total	,0%	,0%	,0%	,0%	,0%	,0%	,0%	,0%
Tortuosidade, compatível com Estenose	Count	1	0	0	0	0	0	0	1
	% within CV Vert Dta	100,0%	,0%	,0%	,0%	,0%	,0%	,0%	100,0%
	% within TC Ant Dta	,1%	,0%	,0%	,0%	,0%	,0%	,0%	,0%
	% of Total	,0%	,0%	,0%	,0%	,0%	,0%	,0%	,0%
Hipoplasia	Count	29	1	1	0	0	0	0	31
	% within CV Vert Dta	93,5%	3,2%	3,2%	,0%	,0%	,0%	,0%	100,0%
	% within TC Ant Dta	1,6%	,4%	1,3%	,0%	,0%	,0%	,0%	1,4%
	% of Total	1,3%	,0%	,0%	,0%	,0%	,0%	,0%	1,4%
Total	Count	1864	261	77	49	2	20	1	2274
	% within CV Vert Dta	82,0%	11,5%	3,4%	2,2%	,1%	,9%	,0%	100,0%
	% within TC Ant Dta	100,0%	100,0%	100,0%	100,0%	100,0%	100,0%	100,0%	100,0%
	% of Total	82,0%	11,5%	3,4%	2,2%	,1%	,9%	,0%	100,0%

Symmetric Measures

		Value	Approx. Sig.
Nominal by Nominal	Contingency Coefficient	,318	,000
N of Valid Cases		2282	

Apêndice 3.139 – Correlação da variável cv vert dta vs tc pos esq.

		TC Pos Esq								Total	
		Normal	Sem janela	Est Ligeira	Est Mod/Grave	Tortuosidade	Oclusão	Roubo da ASE	Vasospasmo		Hipoplasia
CV Normal	Count	1766	159	79	102	1	31	7	0	5	2150

Vert Dta	% within CV Vert Dta	82,1%	7,4%	3,7%	4,7%	,0%	1,4%	,3%	,0%	,2%	100,0%
	% within TC Pos Esq	94,5%	94,6%	88,8%	97,1%	100,0%	88,6%	77,8%	,0%	100,0%	94,2%
	% of Total	77,4%	7,0%	3,5%	4,5%	,0%	1,4%	,3%	,0%	,2%	94,2%
Est Ligeira	Count	10	0	0	1	0	0	0	1	0	12
	% within CV Vert Dta	83,3%	,0%	,0%	8,3%	,0%	,0%	,0%	8,3%	,0%	100,0%
	% within TC Pos Esq	,5%	,0%	,0%	1,0%	,0%	,0%	,0%	100,0%	,0%	,5%
	% of Total	,4%	,0%	,0%	,0%	,0%	,0%	,0%	,0%	,0%	,5%
Estenose Moderada	Count	3	1	0	0	0	0	0	0	0	4
	% within CV Vert Dta	75,0%	25,0%	,0%	,0%	,0%	,0%	,0%	,0%	,0%	100,0%
	% within TC Pos Esq	,2%	,6%	,0%	,0%	,0%	,0%	,0%	,0%	,0%	,2%
	% of Total	,1%	,0%	,0%	,0%	,0%	,0%	,0%	,0%	,0%	,2%
Est Grave	Count	2	0	1	0	0	0	0	0	0	3
	% within CV Vert Dta	66,7%	,0%	33,3%	,0%	,0%	,0%	,0%	,0%	,0%	100,0%
	% within TC Pos Esq	,1%	,0%	1,1%	,0%	,0%	,0%	,0%	,0%	,0%	,1%
	% of Total	,1%	,0%	,0%	,0%	,0%	,0%	,0%	,0%	,0%	,1%
Est Pré- Oclusiva	Count	1	0	0	0	0	0	0	0	0	1
	% within CV Vert Dta	100,0%	,0%	,0%	,0%	,0%	,0%	,0%	,0%	,0%	100,0%
	% within TC Pos Esq	,1%	,0%	,0%	,0%	,0%	,0%	,0%	,0%	,0%	,0%
	% of Total	,0%	,0%	,0%	,0%	,0%	,0%	,0%	,0%	,0%	,0%
Oclusão	Count	35	0	5	0	0	4	1	0	0	45
	% within CV Vert Dta	77,8%	,0%	11,1%	,0%	,0%	8,9%	2,2%	,0%	,0%	100,0%
	% within TC Pos Esq	1,9%	,0%	5,6%	,0%	,0%	11,4%	11,1%	,0%	,0%	2,0%
	% of Total	1,5%	,0%	,2%	,0%	,0%	,2%	,0%	,0%	,0%	2,0%
Tortuosidade	Count	22	6	2	0	0	0	0	0	0	30
	% within CV Vert Dta	73,3%	20,0%	6,7%	,0%	,0%	,0%	,0%	,0%	,0%	100,0%

	% within TC Pos Esq	1,2%	3,6%	2,2%	,0%	,0%	,0%	,0%	,0%	,0%	1,3%
	% of Total	1,0%	,3%	,1%	,0%	,0%	,0%	,0%	,0%	,0%	1,3%
Ateromatose carotídea, sem reperc. hemodinâmica	Count	2	1	0	1	0	0	0	0	0	4
	% within CV Vert Dta	50,0%	25,0%	,0%	25,0%	,0%	,0%	,0%	,0%	,0%	100,0%
	% within TC Pos Esq	,1%	,6%	,0%	1,0%	,0%	,0%	,0%	,0%	,0%	,2%
	% of Total	,1%	,0%	,0%	,0%	,0%	,0%	,0%	,0%	,0%	,2%
Roubo da ASE	Count	1	0	0	0	0	0	0	0	0	1
	% within CV Vert Dta	100,0%	,0%	,0%	,0%	,0%	,0%	,0%	,0%	,0%	100,0%
	% within TC Pos Esq	,1%	,0%	,0%	,0%	,0%	,0%	,0%	,0%	,0%	,0%
	% of Total	,0%	,0%	,0%	,0%	,0%	,0%	,0%	,0%	,0%	,0%
Tortuosidade, compatível com Estenose	Count	1	0	0	0	0	0	0	0	0	1
	% within CV Vert Dta	100,0%	,0%	,0%	,0%	,0%	,0%	,0%	,0%	,0%	100,0%
	% within TC Pos Esq	,1%	,0%	,0%	,0%	,0%	,0%	,0%	,0%	,0%	,0%
	% of Total	,0%	,0%	,0%	,0%	,0%	,0%	,0%	,0%	,0%	,0%
Hipoplasia	Count	26	1	2	1	0	0	1	0	0	31
	% within CV Vert Dta	83,9%	3,2%	6,5%	3,2%	,0%	,0%	3,2%	,0%	,0%	100,0%
	% within TC Pos Esq	1,4%	,6%	2,2%	1,0%	,0%	,0%	11,1%	,0%	,0%	1,4%
	% of Total	1,1%	,0%	,1%	,0%	,0%	,0%	,0%	,0%	,0%	1,4%
Total	Count	1869	168	89	105	1	35	9	1	5	2282
	% within CV Vert Dta	81,9%	7,4%	3,9%	4,6%	,0%	1,5%	,4%	,0%	,2%	100,0%
	% within TC Pos Esq	100,0%	100,0%	100,0%	100,0%	100,0%	100,0%	100,0%	100,0%	100,0%	100,0%
	% of Total	81,9%	7,4%	3,9%	4,6%	,0%	1,5%	,4%	,0%	,2%	100,0%

Symmetric Measures

		Value	Approx. Sig.
Nominal by Nominal	Contingency Coefficient	,318	,000
N of Valid Cases		2282	

Apêndice 3.140 – Correlação da variável cv vert dta vs tc pos dta.

			TC Pos Dta							Total	
			Normal	Sem janela	Est Ligeira	Est Mod/Grave	Tortuosidade	Oclusão	Roubo da ASE		Hipoplasia
CV Vert Dta	Normal	Count	1771	173	94	83	1	16	9	5	2152
		% within CV Vert Dta	82,3%	8,0%	4,4%	3,9%	,0%	,7%	,4%	,2%	100,0%
		% within TC Pos Dta	95,5%	94,0%	95,9%	94,3%	33,3%	50,0%	60,0%	71,4%	94,3%
		% of Total	77,6%	7,6%	4,1%	3,6%	,0%	,7%	,4%	,2%	94,3%
	Est Ligeira	Count	8	2	2	0	0	0	0	0	12
		% within CV Vert Dta	66,7%	16,7%	16,7%	,0%	,0%	,0%	,0%	,0%	100,0%
		% within TC Pos Dta	,4%	1,1%	2,0%	,0%	,0%	,0%	,0%	,0%	,5%
		% of Total	,4%	,1%	,1%	,0%	,0%	,0%	,0%	,0%	,5%
	Estenose Moderada	Count	3	1	0	0	0	0	0	0	4
		% within CV Vert Dta	75,0%	25,0%	,0%	,0%	,0%	,0%	,0%	,0%	100,0%
		% within TC Pos Dta	,2%	,5%	,0%	,0%	,0%	,0%	,0%	,0%	,2%
		% of Total	,1%	,0%	,0%	,0%	,0%	,0%	,0%	,0%	,2%
	Est Grave	Count	0	0	1	0	0	0	1	1	3
		% within CV Vert Dta	,0%	,0%	33,3%	,0%	,0%	,0%	33,3%	33,3%	100,0%
		% within TC Pos Dta	,0%	,0%	1,0%	,0%	,0%	,0%	6,7%	14,3%	,1%
		% of Total	,0%	,0%	,0%	,0%	,0%	,0%	,0%	,0%	,1%
	Est Pré-Oclusiva	Count	0	0	0	0	1	0	0	0	1
		% within CV Vert Dta	,0%	,0%	,0%	,0%	100,0%	,0%	,0%	,0%	100,0%
		% within TC Pos Dta	,0%	,0%	,0%	,0%	33,3%	,0%	,0%	,0%	,0%
		% of Total	,0%	,0%	,0%	,0%	,0%	,0%	,0%	,0%	,0%
	Oclusão	Count	20	3	1	2	0	16	3	0	45
		% within CV Vert Dta	44,4%	6,7%	2,2%	4,4%	,0%	35,6%	6,7%	,0%	100,0%
		% within TC Pos Dta	1,1%	1,6%	1,0%	2,3%	,0%	50,0%	20,0%	,0%	2,0%
		% of Total	,9%	,1%	,0%	,1%	,0%	,7%	,1%	,0%	2,0%
Tortuosidade	Count	24	4	0	0	0	0	0	0	28	
	% within CV Vert Dta	85,7%	14,3%	,0%	,0%	,0%	,0%	,0%	,0%	100,0%	
	% within TC Pos Dta	1,3%	2,2%	,0%	,0%	,0%	,0%	,0%	,0%	1,2%	
	% of Total	1,1%	,2%	,0%	,0%	,0%	,0%	,0%	,0%	1,2%	
Ateromatose	Count	3	1	0	0	0	0	0	0	4	

carotídea, sem reperc. hemodinâmica	% within CV Vert Dta	75,0%	25,0%	,0%	,0%	,0%	,0%	,0%	,0%	100,0%
	% within TC Pos Dta	,2%	,5%	,0%	,0%	,0%	,0%	,0%	,0%	,2%
	% of Total	,1%	,0%	,0%	,0%	,0%	,0%	,0%	,0%	,2%
Roubo da ASE	Count	0	0	0	0	0	0	1	0	1
	% within CV Vert Dta	,0%	,0%	,0%	,0%	,0%	,0%	100,0%	,0%	100,0%
	% within TC Pos Dta	,0%	,0%	,0%	,0%	,0%	,0%	6,7%	,0%	,0%
	% of Total	,0%	,0%	,0%	,0%	,0%	,0%	,0%	,0%	,0%
Tortuosidade, compatível com Estenose	Count	1	0	0	0	0	0	0	0	1
	% within CV Vert Dta	100,0%	,0%	,0%	,0%	,0%	,0%	,0%	,0%	100,0%
	% within TC Pos Dta	,1%	,0%	,0%	,0%	,0%	,0%	,0%	,0%	,0%
	% of Total	,0%	,0%	,0%	,0%	,0%	,0%	,0%	,0%	,0%
Hipoplasia	Count	25	0	0	3	1	0	1	1	31
	% within CV Vert Dta	80,6%	,0%	,0%	9,7%	3,2%	,0%	3,2%	3,2%	100,0%
	% within TC Pos Dta	1,3%	,0%	,0%	3,4%	33,3%	,0%	6,7%	14,3%	1,4%
	% of Total	1,1%	,0%	,0%	,1%	,0%	,0%	,0%	,0%	1,4%
Total	Count	1855	184	98	88	3	32	15	7	2282
	% within CV Vert Dta	81,3%	8,1%	4,3%	3,9%	,1%	1,4%	,7%	,3%	100,0%
	% within TC Pos Dta	100,0%	100,0%	100,0%	100,0%	100,0%	100,0%	100,0%	100,0%	100,0%
	% of Total	81,3%	8,1%	4,3%	3,9%	,1%	1,4%	,7%	,3%	100,0%

Symmetric Measures

		Value	Approx. Sig.
Nominal by Nominal	Contingency Coefficient	,636	,000
N of Valid Cases		2282	

Apêndice 3.141 – Correlação da variável est uni/bil vs ip.

			IP		Total
			Normal	Aumentados	
Est Uni/Bil	Unilateral	Count	192	121	313
		% within Est Uni/Bil	61,3%	38,7%	100,0%
		% within IP	84,6%	75,6%	80,9%
		% of Total	49,6%	31,3%	80,9%
	Bilateral	Count	35	39	74
		% within Est Uni/Bil	47,3%	52,7%	100,0%
		% within IP	15,4%	24,4%	19,1%

	% of Total	9,0%	10,1%	19,1%
Total	Count	227	160	387
	% within Est Uni/Bil	58,7%	41,3%	100,0%
	% within IP	100,0%	100,0%	100,0%
	% of Total	58,7%	41,3%	100,0%

Symmetric Measures

		Value	Approx. Sig.
Nominal by Nominal	Contingency Coefficient	,111	,027
	N of Valid Cases	387	

Apêndice 3.142 – Correlação da variável n/grau est vs tc ant esq.

			TC Ant Esq							Total
			Normal	Sem janela	Est Ligeira	Est Mod/Grave	Tortuosidade	Oclusão	Vasospasmo	
N/Grau est	<50%	Count	1565	211	65	64	0	12	1	1918
		% within N/Grau est	81,6%	11,0%	3,4%	3,3%	,0%	,6%	,1%	100,0%
		% within TC Ant Esq	85,8%	82,4%	77,4%	76,2%	,0%	50,0%	100,0%	84,3%
		% of Total	68,8%	9,3%	2,9%	2,8%	,0%	,5%	,0%	84,3%
	>50%	Count	57	8	9	4	0	0	0	78
		% within N/Grau est	73,1%	10,3%	11,5%	5,1%	,0%	,0%	,0%	100,0%
		% within TC Ant Esq	3,1%	3,1%	10,7%	4,8%	,0%	,0%	,0%	3,4%
		% of Total	2,5%	,4%	,4%	,2%	,0%	,0%	,0%	3,4%
	>70%	Count	41	4	1	7	0	1	0	54
		% within N/Grau est	75,9%	7,4%	1,9%	13,0%	,0%	1,9%	,0%	100,0%
		% within TC Ant Esq	2,2%	1,6%	1,2%	8,3%	,0%	4,2%	,0%	2,4%
		% of Total	1,8%	,2%	,0%	,3%	,0%	,0%	,0%	2,4%
>90%	Count	35	9	1	3	1	2	0	51	
	% within N/Grau est	68,6%	17,6%	2,0%	5,9%	2,0%	3,9%	,0%	100,0%	
	% within TC Ant Esq	1,9%	3,5%	1,2%	3,6%	50,0%	8,3%	,0%	2,2%	
	% of Total	1,5%	,4%	,0%	,1%	,0%	,1%	,0%	2,2%	
Oclusão	Count	126	24	8	6	1	9	0	174	
	% within N/Grau est	72,4%	13,8%	4,6%	3,4%	,6%	5,2%	,0%	100,0%	
	% within TC Ant Esq	6,9%	9,4%	9,5%	7,1%	50,0%	37,5%	,0%	7,6%	
	% of Total	5,5%	1,1%	,4%	,3%	,0%	,4%	,0%	7,6%	
Total	Count	1824	256	84	84	2	24	1	2275	

% within N/Grau est	80,2%	11,3%	3,7%	3,7%	,1%	1,1%	,0%	100,0%
% within TC Ant Esq	100,0%	100,0%	100,0%	100,0%	100,0%	100,0%	100,0%	100,0%
% of Total	80,2%	11,3%	3,7%	3,7%	,1%	1,1%	,0%	100,0%

Symmetric Measures

		Value	Approx. Sig.
Nominal by Nominal	Contingency Coefficient	,205	,000
N of Valid Cases		2275	

Apêndice 3.143 – Correlação da variável n/grau est vs tc ant dta.

			TC Ant Dta						Total	
			Normal	Sem janela	Est Ligeira	Est Mod/Grave	Tortuosidade	Oclusão		Roubo da ASE
N/Grau est	Normal ou <50%	Count	1598	211	60	35	1	12	1	1918
		% within N/Grau est	83,3%	11,0%	3,1%	1,8%	,1%	,6%	,1%	100,0%
		% within TC Ant Dta	85,7%	80,8%	77,9%	71,4%	50,0%	60,0%	100,0%	84,3%
		% of Total	70,3%	9,3%	2,6%	1,5%	,0%	,5%	,0%	84,3%
>50%		Count	56	9	9	2	0	1	0	77
		% within N/Grau est	72,7%	11,7%	11,7%	2,6%	,0%	1,3%	,0%	100,0%
		% within TC Ant Dta	3,0%	3,4%	11,7%	4,1%	,0%	5,0%	,0%	3,4%
		% of Total	2,5%	,4%	,4%	,1%	,0%	,0%	,0%	3,4%
>70%		Count	43	4	3	3	0	1	0	54
		% within N/Grau est	79,6%	7,4%	5,6%	5,6%	,0%	1,9%	,0%	100,0%
		% within TC Ant Dta	2,3%	1,5%	3,9%	6,1%	,0%	5,0%	,0%	2,4%
		% of Total	1,9%	,2%	,1%	,1%	,0%	,0%	,0%	2,4%
>90%		Count	37	10	1	2	0	1	0	51
		% within N/Grau est	72,5%	19,6%	2,0%	3,9%	,0%	2,0%	,0%	100,0%
		% within TC Ant Dta	2,0%	3,8%	1,3%	4,1%	,0%	5,0%	,0%	2,2%
		% of Total	1,6%	,4%	,0%	,1%	,0%	,0%	,0%	2,2%
Oclusão		Count	130	27	4	7	1	5	0	174
		% within N/Grau est	74,7%	15,5%	2,3%	4,0%	,6%	2,9%	,0%	100,0%
		% within TC Ant Dta	7,0%	10,3%	5,2%	14,3%	50,0%	25,0%	,0%	7,7%
		% of Total	5,7%	1,2%	,2%	,3%	,0%	,2%	,0%	7,7%
Total	Count	1864	261	77	49	2	20	1	2274	

% within N/Grau est	82,0%	11,5%	3,4%	2,2%	,1%	,9%	,0%	100,0%
% within TC Ant Dta	100,0%	100,0%	100,0%	100,0%	100,0%	100,0%	100,0%	100,0%
% of Total	82,0%	11,5%	3,4%	2,2%	,1%	,9%	,0%	100,0%

Symmetric Measures

		Value	Approx. Sig.
Nominal by Nominal	Contingency Coefficient	,148	,001
N of Valid Cases		2274	

Apêndice 3.144 – Correlação da variável n/grau est vs tc pos esq.

			TC Pos Esq								Total	
			Normal	Sem janela	Est Ligeira	Est Mod/Grave	Tortuosidade	Oclusão	Roubo da ASE	Vasospasmo		Hipoplasia
N/Grau est Normal ou <50%	Count		1595	145	72	81	0	15	7	1	5	1921
	% within N/Grau est		83,0%	7,5%	3,7%	4,2%	,0%	,8%	,4%	,1%	,3%	100,0%
	% within TC Pos Esq		85,3%	86,3%	80,9%	77,1%	,0%	42,9%	77,8%	100,0%	100,0%	84,2%
	% of Total		69,9%	6,4%	3,2%	3,5%	,0%	,7%	,3%	,0%	,2%	84,2%
>50%	Count		67	1	5	3	0	2	0	0	0	78
	% within N/Grau est		85,9%	1,3%	6,4%	3,8%	,0%	2,6%	,0%	,0%	,0%	100,0%
	% within TC Pos Esq		3,6%	,6%	5,6%	2,9%	,0%	5,7%	,0%	,0%	,0%	3,4%
	% of Total		2,9%	,0%	,2%	,1%	,0%	,1%	,0%	,0%	,0%	3,4%
>70%	Count		38	2	3	9	0	2	0	0	0	54
	% within N/Grau est		70,4%	3,7%	5,6%	16,7%	,0%	3,7%	,0%	,0%	,0%	100,0%
	% within TC Pos Esq		2,0%	1,2%	3,4%	8,6%	,0%	5,7%	,0%	,0%	,0%	2,4%
	% of Total		1,7%	,1%	,1%	,4%	,0%	,1%	,0%	,0%	,0%	2,4%
>90%	Count		37	6	3	3	0	2	1	0	0	52
	% within N/Grau est		71,2%	11,5%	5,8%	5,8%	,0%	3,8%	1,9%	,0%	,0%	100,0%
	% within TC Pos Esq		2,0%	3,6%	3,4%	2,9%	,0%	5,7%	11,1%	,0%	,0%	2,3%
	% of Total		1,6%	,3%	,1%	,1%	,0%	,1%	,0%	,0%	,0%	2,3%
Oclusão	Count		132	14	6	9	1	14	1	0	0	177
	% within N/Grau est		74,6%	7,9%	3,4%	5,1%	,6%	7,9%	,6%	,0%	,0%	100,0%
	% within TC Pos Esq		7,1%	8,3%	6,7%	8,6%	100,0%	40,0%	11,1%	,0%	,0%	7,8%
	% of Total		5,8%	,6%	,3%	,4%	,0%	,6%	,0%	,0%	,0%	7,8%
Total	Count		1869	168	89	105	1	35	9	1	5	2282



% within N/Grau est	81,9%	7,4%	3,9%	4,6%	,0%	1,5%	,4%	,0%	,2%	100,0%
% within TC Pos Esq	100,0%	100,0%	100,0%	100,0%	100,0%	100,0%	100,0%	100,0%	100,0%	100,0%
% of Total	81,9%	7,4%	3,9%	4,6%	,0%	1,5%	,4%	,0%	,2%	100,0%

Symmetric Measures

		Value	Approx. Sig.
Nominal by Nominal	Contingency Coefficient	,209	,000
N of Valid Cases		2282	

Apêndice 3.145 – Correlação da variável n/grau est vs tc pos dta.

			TC Pos Dta							Total	
			Normal	Sem janela	Est Ligeira	Est Mod/Grave	Tortuosidade	Oclusão	Roubo da ASE		Hipoplasia
N/Grau est	Normal ou <50%	Count	1599	151	80	65	1	10	11	6	1923
		% within N/Grau est	83,2%	7,9%	4,2%	3,4%	,1%	,5%	,6%	,3%	100,0%
		% within TC Pos Dta	86,2%	82,1%	81,6%	73,9%	33,3%	31,3%	73,3%	85,7%	84,3%
		% of Total	70,1%	6,6%	3,5%	2,8%	,0%	,4%	,5%	,3%	84,3%
>50%	Count	Count	60	4	6	7	0	0	0	1	78
		% within N/Grau est	76,9%	5,1%	7,7%	9,0%	,0%	,0%	,0%	1,3%	100,0%
		% within TC Pos Dta	3,2%	2,2%	6,1%	8,0%	,0%	,0%	,0%	14,3%	3,4%
		% of Total	2,6%	,2%	,3%	,3%	,0%	,0%	,0%	,0%	3,4%
>70%	Count	Count	41	2	3	6	0	1	1	0	54
		% within N/Grau est	75,9%	3,7%	5,6%	11,1%	,0%	1,9%	1,9%	,0%	100,0%
		% within TC Pos Dta	2,2%	1,1%	3,1%	6,8%	,0%	3,1%	6,7%	,0%	2,4%
		% of Total	1,8%	,1%	,1%	,3%	,0%	,0%	,0%	,0%	2,4%
>90%	Count	Count	33	9	3	4	1	2	0	0	52
		% within N/Grau est	63,5%	17,3%	5,8%	7,7%	1,9%	3,8%	,0%	,0%	100,0%
		% within TC Pos Dta	1,8%	4,9%	3,1%	4,5%	33,3%	6,3%	,0%	,0%	2,3%
		% of Total	1,4%	,4%	,1%	,2%	,0%	,1%	,0%	,0%	2,3%
Oclusão	Count	Count	122	18	6	6	1	19	3	0	175
		% within N/Grau est	69,7%	10,3%	3,4%	3,4%	,6%	10,9%	1,7%	,0%	100,0%
		% within TC Pos Dta	6,6%	9,8%	6,1%	6,8%	33,3%	59,4%	20,0%	,0%	7,7%
		% of Total	5,3%	,8%	,3%	,3%	,0%	,8%	,1%	,0%	7,7%
Total	Count	1855	184	98	88	3	32	15	7	2282	

% within N/Grau est	81,3%	8,1%	4,3%	3,9%	,1%	1,4%	,7%	,3%	100,0%
% within TC Pos Dta	100,0%	100,0%	100,0%	100,0%	100,0%	100,0%	100,0%	100,0%	100,0%
% of Total	81,3%	8,1%	4,3%	3,9%	,1%	1,4%	,7%	,3%	100,0%

Symmetric Measures

		Value	Approx. Sig.
Nominal by Nominal	Contingency Coefficient	,273	,000
N of Valid Cases		2282	

Apêndice 3.146 – Correlação da variável n/grau est vs ip.

			IP		Total
			Normal	Aumentados	
N/Grau est	Normal ou <50%	Count	979	863	1842
		% within N/Grau est	53,1%	46,9%	100,0%
		% within IP	82,4%	85,8%	84,0%
		% of Total	44,6%	39,3%	84,0%
	>50%	Count	47	32	79
		% within N/Grau est	59,5%	40,5%	100,0%
		% within IP	4,0%	3,2%	3,6%
		% of Total	2,1%	1,5%	3,6%
	>70%	Count	23	30	53
		% within N/Grau est	43,4%	56,6%	100,0%
		% within IP	1,9%	3,0%	2,4%
		% of Total	1,0%	1,4%	2,4%
>90%	Count	31	15	46	
	% within N/Grau est	67,4%	32,6%	100,0%	
	% within IP	2,6%	1,5%	2,1%	
	% of Total	1,4%	,7%	2,1%	
Oclusão	Count	108	66	174	
	% within N/Grau est	62,1%	37,9%	100,0%	
	% within IP	9,1%	6,6%	7,9%	
	% of Total	4,9%	3,0%	7,9%	
Total	Count	1188	1006	2194	
	% within N/Grau est	54,1%	45,9%	100,0%	
	% within IP	100,0%	100,0%	100,0%	
	% of Total	54,1%	45,9%	100,0%	

Symmetric Measures

		Value	Approx. Sig.
Nominal by Nominal	Contingency Coefficient	,073	,019
N of Valid Cases		2194	

## Apêndice 3.147 – Anova entre as variáveis do TC vs IIM.

## Test of Homogeneity of Variances

	Levene Statistic	df1	df2	Sig.
TC Ant Esq	2,857	4	2279	,022
TC Ant Dta	2,228	4	2278	,064
TC Pos Esq	2,441	4	2286	,045
TC Pos Dta	5,007	4	2286	,001
IP	1,482	4	2198	,205

a. Groups with only one case are ignored in computing the test of homogeneity of variance for Angio RM Tipo.

b. Groups with only one case are ignored in computing the test of homogeneity of variance for Angio RM Loc.

## ANOVA

		Sum of Squares	Df	Mean Square	F	Sig.
TC Ant Esq	Between Groups	7,139	4	1,785	2,006	,091
	Within Groups	2027,665	2279	,890		
	Total	2034,803	2283			
TC Ant Dta	Between Groups	3,680	4	,920	1,278	,276
	Within Groups	1640,376	2278	,720		
	Total	1644,056	2282			
TC Pos Esq	Between Groups	8,268	4	2,067	1,245	,290
	Within Groups	3794,039	2286	1,660		
	Total	3802,306	2290			
TC Pos Dta	Between Groups	17,375	4	4,344	2,316	,055
	Within Groups	4287,081	2286	1,875		
	Total	4304,456	2290			
IP	Between Groups	2,777	4	,694	2,805	,024
	Within Groups	544,089	2198	,248		
	Total	546,866	2202			

Robust Tests of Equality of Means<sup>b,c</sup>

		Statistic <sup>a</sup>	df1	df2	Sig.
TC Ant Esq	Welch	1,825	4	286,495	,124
	Brown-Forsythe	1,898	4	494,242	,110
TC Ant Dta	Welch	1,177	4	286,877	,321
	Brown-Forsythe	1,297	4	639,319	,270
TC Pos Esq	Welch	1,025	4	288,530	,394
	Brown-Forsythe	1,223	4	600,953	,300
TC Pos Dta	Welch	1,876	4	278,520	,115
	Brown-Forsythe	1,727	4	496,221	,143
IP	Welch	2,770	4	279,593	,028
	Brown-Forsythe	2,783	4	562,026	,026

a. Asymptotically F distributed.

b. Robust tests of equality of means cannot be performed for Angio RM Tipo because at least one group has the sum of case weights less than or equal to 1.

**Robust Tests of Equality of Means<sup>b,c</sup>**

		Statistic <sup>a</sup>	df1	df2	Sig.
TC Ant Esq	Welch	1,825	4	286,495	,124
	Brown-Forsythe	1,898	4	494,242	,110
TC Ant Dta	Welch	1,177	4	286,877	,321
	Brown-Forsythe	1,297	4	639,319	,270
TC Pos Esq	Welch	1,025	4	288,530	,394
	Brown-Forsythe	1,223	4	600,953	,300
TC Pos Dta	Welch	1,876	4	278,520	,115
	Brown-Forsythe	1,727	4	496,221	,143
IP	Welch	2,770	4	279,593	,028
	Brown-Forsythe	2,783	4	562,026	,026

a. Asymptotically F distributed.

b. Robust tests of equality of means cannot be performed for Angio RM Tipo because at least one group has the sum of case weights less than or equal to 1.

c. Robust tests of equality of means cannot be performed for Angio RM Loc because at least one group has the sum of case weights less than or equal to 1.

• **TSC vs TAC CE**

Apêndice 3.148 – Correlação da variável cv carot esq vs TAC - tipo de lesão.

			TAC CE-Tipo de Lesão					Total
			Outros (Hemor, Lcp, Mcangio)	Hemod	Embólico	Lacunar	Normal	
CV Carot Esq	Normal	Count	93	27	63	127	131	441
		% within CV Carot Esq	21,1%	6,1%	14,3%	28,8%	29,7%	100,0%
		% within TAC-Tipo de Lesão	23,5%	20,0%	17,3%	18,5%	35,3%	22,6%
		% of Total	4,8%	1,4%	3,2%	6,5%	6,7%	22,6%
	Est Ligeira	Count	0	0	3	3	2	8
		% within CV Carot Esq	,0%	,0%	37,5%	37,5%	25,0%	100,0%
		% within TAC-Tipo de Lesão	,0%	,0%	,8%	,4%	,5%	,4%
		% of Total	,0%	,0%	,2%	,2%	,1%	,4%
	Estenose Moderada	Count	8	8	14	23	6	59
		% within CV Carot Esq	13,6%	13,6%	23,7%	39,0%	10,2%	100,0%
		% within TAC-Tipo de Lesão	2,0%	5,9%	3,8%	3,4%	1,6%	3,0%
		% of Total	,4%	,4%	,7%	1,2%	,3%	3,0%
Est Grave	Count	5	6	5	14	2	32	
	% within CV Carot Esq	15,6%	18,8%	15,6%	43,8%	6,3%	100,0%	
	% within TAC-Tipo de Lesão	1,3%	4,4%	1,4%	2,0%	,5%	1,6%	
	% of Total	,3%	,3%	,3%	,7%	,1%	1,6%	

Est Pré-Oclusiva	Count	2	4	6	11	2	25
	% within CV Carot Esq	8,0%	16,0%	24,0%	44,0%	8,0%	100,0%
	% within TAC-Tipo de Lesão	,5%	3,0%	1,6%	1,6%	,5%	1,3%
	% of Total	,1%	,2%	,3%	,6%	,1%	1,3%
Oclusão	Count	6	16	19	15	6	62
	% within CV Carot Esq	9,7%	25,8%	30,6%	24,2%	9,7%	100,0%
	% within TAC-Tipo de Lesão	1,5%	11,9%	5,2%	2,2%	1,6%	3,2%
	% of Total	,3%	,8%	1,0%	,8%	,3%	3,2%
Tortuosidade	Count	14	2	11	17	17	61
	% within CV Carot Esq	23,0%	3,3%	18,0%	27,9%	27,9%	100,0%
	% within TAC-Tipo de Lesão	3,5%	1,5%	3,0%	2,5%	4,6%	3,1%
	% of Total	,7%	,1%	,6%	,9%	,9%	3,1%
Ateromatose carotídea, sem reperc. hemodinâmica	Count	236	66	209	414	183	1108
	% within CV Carot Esq	21,3%	6,0%	18,9%	37,4%	16,5%	100,0%
	% within TAC-Tipo de Lesão	59,6%	48,9%	57,4%	60,4%	49,3%	56,8%
	% of Total	12,1%	3,4%	10,7%	21,2%	9,4%	56,8%
Tort+Aterom sem reperc	Count	30	6	33	58	17	144
	% within CV Carot Esq	20,8%	4,2%	22,9%	40,3%	11,8%	100,0%
	% within TAC-Tipo de Lesão	7,6%	4,4%	9,1%	8,5%	4,6%	7,4%
	% of Total	1,5%	,3%	1,7%	3,0%	,9%	7,4%
Tortuosidade, compatível com Estenose	Count	2	0	1	3	5	11
	% within CV Carot Esq	18,2%	,0%	9,1%	27,3%	45,5%	100,0%
	% within TAC-Tipo de Lesão	,5%	,0%	,3%	,4%	1,3%	,6%
	% of Total	,1%	,0%	,1%	,2%	,3%	,6%
Total	Count	396	135	364	685	371	1951
	% within CV Carot Esq	20,3%	6,9%	18,7%	35,1%	19,0%	100,0%
	% within TAC-Tipo de Lesão	100,0%	100,0%	100,0%	100,0%	100,0%	100,0%
	% of Total	20,3%	6,9%	18,7%	35,1%	19,0%	100,0%

Symmetric Measures

		Value	Approx. Sig.
Nominal by Nominal	Contingency Coefficient	,257	,000
N of Valid Cases		1951	

Apêndice 3.149 – Correlação da variável cv carot esq vs TAC – local da lesão.

			TAC CE-Local da Lesão						Total	
			Ant Esq	Ant Dto	Post	Ant bilateral	Ant Esq + Post	Ant Dto + Post		Ant Bil + Post
CV Carot Esq	Normal	Count	60	70	27	42	6	0	12	217
		% within CV Carot Esq	27,6%	32,3%	12,4%	19,4%	2,8%	,0%	5,5%	100,0%
		% within TAC-Local da Lesão	17,4%	21,9%	18,4%	14,8%	25,0%	,0%	25,5%	18,3%
		% of Total	5,1%	5,9%	2,3%	3,5%	,5%	,0%	1,0%	18,3%
Est Ligeira		Count	1	2	1	2	0	0	0	6
		% within CV Carot Esq	16,7%	33,3%	16,7%	33,3%	,0%	,0%	,0%	100,0%
		% within TAC-Local da Lesão	,3%	,6%	,7%	,7%	,0%	,0%	,0%	,5%
		% of Total	,1%	,2%	,1%	,2%	,0%	,0%	,0%	,5%
Estenose Moderada		Count	11	15	5	12	0	1	1	45
		% within CV Carot Esq	24,4%	33,3%	11,1%	26,7%	,0%	2,2%	2,2%	100,0%
		% within TAC-Local da Lesão	3,2%	4,7%	3,4%	4,2%	,0%	5,0%	2,1%	3,8%
		% of Total	,9%	1,3%	,4%	1,0%	,0%	,1%	,1%	3,8%
Est Grave		Count	7	3	7	6	0	1	1	25
		% within CV Carot Esq	28,0%	12,0%	28,0%	24,0%	,0%	4,0%	4,0%	100,0%
		% within TAC-Local da Lesão	2,0%	,9%	4,8%	2,1%	,0%	5,0%	2,1%	2,1%
		% of Total	,6%	,3%	,6%	,5%	,0%	,1%	,1%	2,1%
Est Pré-Oclusiva		Count	13	4	1	2	0	0	1	21
		% within CV Carot Esq	61,9%	19,0%	4,8%	9,5%	,0%	,0%	4,8%	100,0%
		% within TAC-Local da Lesão	3,8%	1,3%	,7%	,7%	,0%	,0%	2,1%	1,8%
		% of Total	1,1%	,3%	,1%	,2%	,0%	,0%	,1%	1,8%
Oclusão		Count	30	8	5	5	0	1	1	50
		% within CV Carot Esq	60,0%	16,0%	10,0%	10,0%	,0%	2,0%	2,0%	100,0%
		% within TAC-Local da Lesão	8,7%	2,5%	3,4%	1,8%	,0%	5,0%	2,1%	4,2%
		% of Total	2,5%	,7%	,4%	,4%	,0%	,1%	,1%	4,2%
Tortuosidade		Count	10	4	6	8	1	1	0	30
		% within CV Carot Esq	33,3%	13,3%	20,0%	26,7%	3,3%	3,3%	,0%	100,0%
		% within TAC-Local da Lesão	2,9%	1,3%	4,1%	2,8%	4,2%	5,0%	,0%	2,5%
		% of Total	,8%	,3%	,5%	,7%	,1%	,1%	,0%	2,5%
Ateromatose		Count	188	181	80	183	15	16	28	691

carotídea, sem reperc. hemodinâmica	% within CV Carot Esq	27,2%	26,2%	11,6%	26,5%	2,2%	2,3%	4,1%	100,0%
	% within TAC-Local da Lesão	54,7%	56,6%	54,4%	64,4%	62,5%	80,0%	59,6%	58,3%
	% of Total	15,9%	15,3%	6,7%	15,4%	1,3%	1,3%	2,4%	58,3%
Tort+Aterom sem reperc	Count	22	32	15	23	2	0	3	97
	% within CV Carot Esq	22,7%	33,0%	15,5%	23,7%	2,1%	,0%	3,1%	100,0%
	% within TAC-Local da Lesão	6,4%	10,0%	10,2%	8,1%	8,3%	,0%	6,4%	8,2%
	% of Total	1,9%	2,7%	1,3%	1,9%	,2%	,0%	,3%	8,2%
Tortuosidade, compatível com Estenose	Count	2	1	0	1	0	0	0	4
	% within CV Carot Esq	50,0%	25,0%	,0%	25,0%	,0%	,0%	,0%	100,0%
	% within TAC-Local da Lesão	,6%	,3%	,0%	,4%	,0%	,0%	,0%	,3%
	% of Total	,2%	,1%	,0%	,1%	,0%	,0%	,0%	,3%
Total	Count	344	320	147	284	24	20	47	1186
	% within CV Carot Esq	29,0%	27,0%	12,4%	23,9%	2,0%	1,7%	4,0%	100,0%
	% within TAC-Local da Lesão	100,0%	100,0%	100,0%	100,0%	100,0%	100,0%	100,0%	100,0%
	% of Total	29,0%	27,0%	12,4%	23,9%	2,0%	1,7%	4,0%	100,0%

Symmetric Measures

		Value	Approx. Sig.
Nominal by Nominal	Contingency Coefficient	,245	,028
N of Valid Cases		1186	

Apêndice 3.150 – Correlação da variável cv carot dta vs TAC - tipo de lesão.

			TAC CE-Tipo de Lesão					Total
			Outros (Hemor, Lcp, Mcangio)	Hemodinâmico	Embólico	Lacunar	Normal	
CV Carot Dta	Normal	Count	113	24	69	140	131	477
		% within CV Carot Dta	23,7%	5,0%	14,5%	29,4%	27,5%	100,0%
		% within TAC-Tipo de Lesão	28,5%	17,8%	19,0%	20,4%	35,3%	24,4%
		% of Total	5,8%	1,2%	3,5%	7,2%	6,7%	24,4%
Est Ligeira		Count	1	1	0	4	1	7
		% within CV Carot Dta	14,3%	14,3%	,0%	57,1%	14,3%	100,0%
		% within TAC-Tipo de Lesão	,3%	,7%	,0%	,6%	,3%	,4%
		% of Total	,1%	,1%	,0%	,2%	,1%	,4%
Estenose Moderada		Count	7	5	11	26	3	52

	% within CV Carot Dta	13,5%	9,6%	21,2%	50,0%	5,8%	100,0%
	% within TAC-Tipo de Lesão	1,8%	3,7%	3,0%	3,8%	,8%	2,7%
	% of Total	,4%	,3%	,6%	1,3%	,2%	2,7%
Est Grave	Count	2	8	7	6	1	24
	% within CV Carot Dta	8,3%	33,3%	29,2%	25,0%	4,2%	100,0%
	% within TAC-Tipo de Lesão	,5%	5,9%	1,9%	,9%	,3%	1,2%
	% of Total	,1%	,4%	,4%	,3%	,1%	1,2%
Est Pré-Oclusiva	Count	7	9	4	7	2	29
	% within CV Carot Dta	24,1%	31,0%	13,8%	24,1%	6,9%	100,0%
	% within TAC-Tipo de Lesão	1,8%	6,7%	1,1%	1,0%	,5%	1,5%
	% of Total	,4%	,5%	,2%	,4%	,1%	1,5%
Oclusão	Count	5	10	17	10	3	45
	% within CV Carot Dta	11,1%	22,2%	37,8%	22,2%	6,7%	100,0%
	% within TAC-Tipo de Lesão	1,3%	7,4%	4,7%	1,5%	,8%	2,3%
	% of Total	,3%	,5%	,9%	,5%	,2%	2,3%
Tortuosidade	Count	9	4	2	18	15	48
	% within CV Carot Dta	18,8%	8,3%	4,2%	37,5%	31,3%	100,0%
	% within TAC-Tipo de Lesão	2,3%	3,0%	,5%	2,6%	4,0%	2,5%
	% of Total	,5%	,2%	,1%	,9%	,8%	2,5%
Ateromatose carotídea, sem reperc. hemodinâmica	Count	237	62	226	421	202	1148
	% within CV Carot Dta	20,6%	5,4%	19,7%	36,7%	17,6%	100,0%
	% within TAC-Tipo de Lesão	59,8%	45,9%	62,1%	61,5%	54,4%	58,8%
	% of Total	12,1%	3,2%	11,6%	21,6%	10,4%	58,8%
Tort+Aterom sem reperc	Count	14	9	24	50	12	109
	% within CV Carot Dta	12,8%	8,3%	22,0%	45,9%	11,0%	100,0%
	% within TAC-Tipo de Lesão	3,5%	6,7%	6,6%	7,3%	3,2%	5,6%
	% of Total	,7%	,5%	1,2%	2,6%	,6%	5,6%
Tortuosidade, compatível com Estenose	Count	1	3	4	3	1	12
	% within CV Carot Dta	8,3%	25,0%	33,3%	25,0%	8,3%	100,0%
	% within TAC-Tipo de Lesão	,3%	2,2%	1,1%	,4%	,3%	,6%
	% of Total	,1%	,2%	,2%	,2%	,1%	,6%
Total	Count	396	135	364	685	371	1951
	% within CV Carot Dta	20,3%	6,9%	18,7%	35,1%	19,0%	100,0%
	% within TAC-Tipo de Lesão	100,0%	100,0%	100,0%	100,0%	100,0%	100,0%
	% of Total	20,3%	6,9%	18,7%	35,1%	19,0%	100,0%



Symmetric Measures

		Value	Approx. Sig.
Nominal by Nominal	Contingency Coefficient	,285	,000
N of Valid Cases		1951	

Apêndice 3.151 – Correlação da variável cv carot dta vs TAC – local da lesão.

			TAC CE-Local da Lesão						Total	
			Ant Esq	Ant Dto	Post	Ant bilateral	Ant Esq + Post	Ant Dto + Post		Ant Bil + Post
CV Carot Dta	Normal	Count	75	66	29	46	1	4	12	233
		% within CV Carot Dta	32,2%	28,3%	12,4%	19,7%	,4%	1,7%	5,2%	100,0%
		% within TAC-Local da Lesão	21,8%	20,6%	19,7%	16,2%	4,2%	20,0%	25,5%	19,6%
		% of Total	6,3%	5,6%	2,4%	3,9%	,1%	,3%	1,0%	19,6%
Est Ligeira		Count	2	0	2	1	0	0	0	5
		% within CV Carot Dta	40,0%	,0%	40,0%	20,0%	,0%	,0%	,0%	100,0%
		% within TAC-Local da Lesão	,6%	,0%	1,4%	,4%	,0%	,0%	,0%	,4%
		% of Total	,2%	,0%	,2%	,1%	,0%	,0%	,0%	,4%
Estenose Moderada		Count	15	12	7	6	0	0	2	42
		% within CV Carot Dta	35,7%	28,6%	16,7%	14,3%	,0%	,0%	4,8%	100,0%
		% within TAC-Local da Lesão	4,4%	3,8%	4,8%	2,1%	,0%	,0%	4,3%	3,5%
		% of Total	1,3%	1,0%	,6%	,5%	,0%	,0%	,2%	3,5%
Est Grave		Count	4	12	1	3	0	1	0	21
		% within CV Carot Dta	19,0%	57,1%	4,8%	14,3%	,0%	4,8%	,0%	100,0%
		% within TAC-Local da Lesão	1,2%	3,8%	,7%	1,1%	,0%	5,0%	,0%	1,8%
		% of Total	,3%	1,0%	,1%	,3%	,0%	,1%	,0%	1,8%
Est Pré-Oclusiva		Count	7	5	1	4	0	0	3	20
		% within CV Carot Dta	35,0%	25,0%	5,0%	20,0%	,0%	,0%	15,0%	100,0%
		% within TAC-Local da Lesão	2,0%	1,6%	,7%	1,4%	,0%	,0%	6,4%	1,7%
		% of Total	,6%	,4%	,1%	,3%	,0%	,0%	,3%	1,7%
Oclusão		Count	6	22	2	4	1	1	1	37
		% within CV Carot Dta	16,2%	59,5%	5,4%	10,8%	2,7%	2,7%	2,7%	100,0%
		% within TAC-Local da Lesão	1,7%	6,9%	1,4%	1,4%	4,2%	5,0%	2,1%	3,1%
		% of Total	,5%	1,9%	,2%	,3%	,1%	,1%	,1%	3,1%
Tortuosidade		Count	9	4	1	8	2	0	0	24

	% within CV Carot Dta	37,5%	16,7%	4,2%	33,3%	8,3%	,0%	,0%	100,0%
	% within TAC-Local da Lesão	2,6%	1,3%	,7%	2,8%	8,3%	,0%	,0%	2,0%
	% of Total	,8%	,3%	,1%	,7%	,2%	,0%	,0%	2,0%
Ateromatose carotídea, sem reperc. hemodinâmica	Count	191	180	93	190	16	14	27	711
	% within CV Carot Dta	26,9%	25,3%	13,1%	26,7%	2,3%	2,0%	3,8%	100,0%
	% within TAC-Local da Lesão	55,5%	56,3%	63,3%	66,9%	66,7%	70,0%	57,4%	59,9%
	% of Total	16,1%	15,2%	7,8%	16,0%	1,3%	1,2%	2,3%	59,9%
Tort+Aterom sem reperc	Count	29	18	11	20	3	0	2	83
	% within CV Carot Dta	34,9%	21,7%	13,3%	24,1%	3,6%	,0%	2,4%	100,0%
	% within TAC-Local da Lesão	8,4%	5,6%	7,5%	7,0%	12,5%	,0%	4,3%	7,0%
	% of Total	2,4%	1,5%	,9%	1,7%	,3%	,0%	,2%	7,0%
Tortuosidade, compatível com Estenose	Count	6	1	0	2	1	0	0	10
	% within CV Carot Dta	60,0%	10,0%	,0%	20,0%	10,0%	,0%	,0%	100,0%
	% within TAC-Local da Lesão	1,7%	,3%	,0%	,7%	4,2%	,0%	,0%	,8%
	% of Total	,5%	,1%	,0%	,2%	,1%	,0%	,0%	,8%
Total	Count	344	320	147	284	24	20	47	1186
	% within CV Carot Dta	29,0%	27,0%	12,4%	23,9%	2,0%	1,7%	4,0%	100,0%
	% within TAC-Local da Lesão	100,0%	100,0%	100,0%	100,0%	100,0%	100,0%	100,0%	100,0%
	% of Total	29,0%	27,0%	12,4%	23,9%	2,0%	1,7%	4,0%	100,0%

Symmetric Measures

		Value	Approx. Sig.
Nominal by Nominal	Contingency Coefficient	,261	,003
N of Valid Cases		1186	

Apêndice 3.152 – Correlação da variável cv vert esq vs TAC – tipo da lesão.

			TAC CE-Tipo de Lesão					Total
			Outros (Hemor, Lcp, Mcangio)	Hemodinâmico	Embólico	Lacunar	Normal	
CV Vert Esq	Normal	Count	377	121	345	644	353	1840
		% within CV Vert Esq	20,5%	6,6%	18,8%	35,0%	19,2%	100,0%
		% within TAC-Tipo de Lesão	95,2%	89,6%	94,8%	94,0%	95,1%	94,3%
		% of Total	19,3%	6,2%	17,7%	33,0%	18,1%	94,3%
	Est Ligeira	Count	1	2	3	12	0	18

	% within CV Vert Esq	5,6%	11,1%	16,7%	66,7%	,0%	100,0%
	% within TAC-Tipo de Lesão	,3%	1,5%	,8%	1,8%	,0%	,9%
	% of Total	,1%	,1%	,2%	,6%	,0%	,9%
Estenose Moderada	Count	3	1	0	3	0	7
	% within CV Vert Esq	42,9%	14,3%	,0%	42,9%	,0%	100,0%
	% within TAC-Tipo de Lesão	,8%	,7%	,0%	,4%	,0%	,4%
	% of Total	,2%	,1%	,0%	,2%	,0%	,4%
Est Grave	Count	1	1	0	2	1	5
	% within CV Vert Esq	20,0%	20,0%	,0%	40,0%	20,0%	100,0%
	% within TAC-Tipo de Lesão	,3%	,7%	,0%	,3%	,3%	,3%
	% of Total	,1%	,1%	,0%	,1%	,1%	,3%
Oclusão	Count	3	2	9	9	5	28
	% within CV Vert Esq	10,7%	7,1%	32,1%	32,1%	17,9%	100,0%
	% within TAC-Tipo de Lesão	,8%	1,5%	2,5%	1,3%	1,3%	1,4%
	% of Total	,2%	,1%	,5%	,5%	,3%	1,4%
Tortuosidade	Count	5	2	3	11	8	29
	% within CV Vert Esq	17,2%	6,9%	10,3%	37,9%	27,6%	100,0%
	% within TAC-Tipo de Lesão	1,3%	1,5%	,8%	1,6%	2,2%	1,5%
	% of Total	,3%	,1%	,2%	,6%	,4%	1,5%
Fístula	Count	0	1	0	0	0	1
	% within CV Vert Esq	,0%	100,0%	,0%	,0%	,0%	100,0%
	% within TAC-Tipo de Lesão	,0%	,7%	,0%	,0%	,0%	,1%
	% of Total	,0%	,1%	,0%	,0%	,0%	,1%
Ateromatose carotídea, sem reperc. hemodinâmica	Count	2	1	0	0	0	3
	% within CV Vert Esq	66,7%	33,3%	,0%	,0%	,0%	100,0%
	% within TAC-Tipo de Lesão	,5%	,7%	,0%	,0%	,0%	,2%
	% of Total	,1%	,1%	,0%	,0%	,0%	,2%
Roubo da ASE	Count	1	0	0	0	0	1
	% within CV Vert Esq	100,0%	,0%	,0%	,0%	,0%	100,0%
	% within TAC-Tipo de Lesão	,3%	,0%	,0%	,0%	,0%	,1%
	% of Total	,1%	,0%	,0%	,0%	,0%	,1%
Tort+Aterom sem reperc	Count	0	1	0	0	0	1
	% within CV Vert Esq	,0%	100,0%	,0%	,0%	,0%	100,0%
	% within TAC-Tipo de Lesão	,0%	,7%	,0%	,0%	,0%	,1%
	% of Total	,0%	,1%	,0%	,0%	,0%	,1%
Tortuosidade, compatível com	Count	0	0	1	0	0	1
	% within CV Vert Esq	,0%	,0%	100,0%	,0%	,0%	100,0%

Estenose	% within TAC-Tipo de Lesão	,0%	,0%	,3%	,0%	,0%	,1%
	% of Total	,0%	,0%	,1%	,0%	,0%	,1%
Hipoplasia	Count	3	3	3	4	4	17
	% within CV Vert Esq	17,6%	17,6%	17,6%	23,5%	23,5%	100,0%
	% within TAC-Tipo de Lesão	,8%	2,2%	,8%	,6%	1,1%	,9%
	% of Total	,2%	,2%	,2%	,2%	,2%	,9%
Total	Count	396	135	364	685	371	1951
	% within CV Vert Esq	20,3%	6,9%	18,7%	35,1%	19,0%	100,0%
	% within TAC-Tipo de Lesão	100,0%	100,0%	100,0%	100,0%	100,0%	100,0%
	% of Total	20,3%	6,9%	18,7%	35,1%	19,0%	100,0%

Symmetric Measures

		Value	Approx. Sig.
Nominal by Nominal	Contingency Coefficient	,189	,004
N of Valid Cases		1951	

Apêndice 3.153 – Correlação da variável est uni/bil vs TAC – tipo da lesão.

			TAC CE -Tipo de Lesão					Total
			Outros (Hemor, Lcp, Mcangio)	Hemodinâmico	Embólico	Lacunar	Normal	
Est Uni/Bil	Unilateral	Count	33	38	80	103	33	287
		% within Est Uni/Bil	11,5%	13,2%	27,9%	35,9%	11,5%	100,0%
		% within TAC-Tipo de Lesão	75,0%	70,4%	89,9%	79,2%	89,2%	81,1%
		% of Total	9,3%	10,7%	22,6%	29,1%	9,3%	81,1%
	Bilateral	Count	11	16	9	27	4	67
		% within Est Uni/Bil	16,4%	23,9%	13,4%	40,3%	6,0%	100,0%
		% within TAC-Tipo de Lesão	25,0%	29,6%	10,1%	20,8%	10,8%	18,9%
		% of Total	3,1%	4,5%	2,5%	7,6%	1,1%	18,9%
Total	Count	44	54	89	130	37	354	
	% within Est Uni/Bil	12,4%	15,3%	25,1%	36,7%	10,5%	100,0%	
	% within TAC-Tipo de Lesão	100,0%	100,0%	100,0%	100,0%	100,0%	100,0%	
	% of Total	12,4%	15,3%	25,1%	36,7%	10,5%	100,0%	

Symmetric Measures

		Value	Approx. Sig.
Nominal by Nominal	Contingency Coefficient	,177	,022
N of Valid Cases		354	

Apêndice 3.154 – Correlação da variável n/grau est vs TAC – tipo da lesão.

			TAC CE -Tipo de Lesão					Total
			Outros (Hemor, Lcp, Mcangio)	Hemodinâmico	Embólico	Lacunar	Normal	
N/Grau est	Normal ou <50%	Count	353	82	282	574	337	1628
		% within N/Grau est	21,7%	5,0%	17,3%	35,3%	20,7%	100,0%
		% within TAC-Tipo de Lesão	89,1%	60,7%	77,5%	83,8%	90,8%	83,4%
		% of Total	18,1%	4,2%	14,5%	29,4%	17,3%	83,4%
	>50%	Count	14	6	20	36	7	83
		% within N/Grau est	16,9%	7,2%	24,1%	43,4%	8,4%	100,0%
		% within TAC-Tipo de Lesão	3,5%	4,4%	5,5%	5,3%	1,9%	4,3%
		% of Total	,7%	,3%	1,0%	1,8%	,4%	4,3%
	>70%	Count	5	11	11	12	6	45
		% within N/Grau est	11,1%	24,4%	24,4%	26,7%	13,3%	100,0%
		% within TAC-Tipo de Lesão	1,3%	8,1%	3,0%	1,8%	1,6%	2,3%
		% of Total	,3%	,6%	,6%	,6%	,3%	2,3%
>90%	Count	9	10	8	18	3	48	
	% within N/Grau est	18,8%	20,8%	16,7%	37,5%	6,3%	100,0%	
	% within TAC-Tipo de Lesão	2,3%	7,4%	2,2%	2,6%	,8%	2,5%	
	% of Total	,5%	,5%	,4%	,9%	,2%	2,5%	
Oclusão	Count	15	26	43	45	18	147	
	% within N/Grau est	10,2%	17,7%	29,3%	30,6%	12,2%	100,0%	
	% within TAC-Tipo de Lesão	3,8%	19,3%	11,8%	6,6%	4,9%	7,5%	
	% of Total	,8%	1,3%	2,2%	2,3%	,9%	7,5%	
Total	Count	396	135	364	685	371	1951	
	% within N/Grau est	20,3%	6,9%	18,7%	35,1%	19,0%	100,0%	
	% within TAC-Tipo de Lesão	100,0%	100,0%	100,0%	100,0%	100,0%	100,0%	
	% of Total	20,3%	6,9%	18,7%	35,1%	19,0%	100,0%	

Symmetric Measures

		Value	Approx. Sig.
Nominal by Nominal	Contingency Coefficient	,231	,000
N of Valid Cases		1951	

- TSC vs RM CE e Angio RM

Apêndice 3.155 – Correlação da variável cv carot esq vs RM - tipo de lesão.

			RM CE -Tipo de Lesão					Total
			Outros (Hemor, Lcp, Mcangio)	Hemodinâmico	Embólico	Lacunar	Normal	
CV Carot Esq	Normal	Count	29	10	20	61	26	146
		% within CV Carot Esq	19,9%	6,8%	13,7%	41,8%	17,8%	100,0%
		% within RM-Tipo de Lesão	43,3%	20,0%	20,6%	26,6%	53,1%	29,7%
		% of Total	5,9%	2,0%	4,1%	12,4%	5,3%	29,7%
Est Ligeira		Count	0	0	0	2	0	2
		% within CV Carot Esq	,0%	,0%	,0%	100,0%	,0%	100,0%
		% within RM-Tipo de Lesão	,0%	,0%	,0%	,9%	,0%	,4%
		% of Total	,0%	,0%	,0%	,4%	,0%	,4%
Estenose Moderada		Count	2	2	4	5	2	15
		% within CV Carot Esq	13,3%	13,3%	26,7%	33,3%	13,3%	100,0%
		% within RM-Tipo de Lesão	3,0%	4,0%	4,1%	2,2%	4,1%	3,0%
		% of Total	,4%	,4%	,8%	1,0%	,4%	3,0%
Est Grave		Count	0	1	2	6	0	9
		% within CV Carot Esq	,0%	11,1%	22,2%	66,7%	,0%	100,0%
		% within RM-Tipo de Lesão	,0%	2,0%	2,1%	2,6%	,0%	1,8%
		% of Total	,0%	,2%	,4%	1,2%	,0%	1,8%
Est Pré-Oclusiva		Count	0	4	1	1	0	6
		% within CV Carot Esq	,0%	66,7%	16,7%	16,7%	,0%	100,0%
		% within RM-Tipo de Lesão	,0%	8,0%	1,0%	,4%	,0%	1,2%
		% of Total	,0%	,8%	,2%	,2%	,0%	1,2%
Oclusão		Count	0	4	8	5	0	17
		% within CV Carot Esq	,0%	23,5%	47,1%	29,4%	,0%	100,0%
		% within RM-Tipo de Lesão	,0%	8,0%	8,2%	2,2%	,0%	3,5%
		% of Total	,0%	,8%	1,6%	1,0%	,0%	3,5%
Tortuosidade		Count	3	2	1	8	3	17
		% within CV Carot Esq	17,6%	11,8%	5,9%	47,1%	17,6%	100,0%
		% within RM-Tipo de Lesão	4,5%	4,0%	1,0%	3,5%	6,1%	3,5%
		% of Total	,6%	,4%	,2%	1,6%	,6%	3,5%
Ateromatose carotídea, sem reperc.		Count	30	25	49	127	15	246
		% within CV Carot Esq	12,2%	10,2%	19,9%	51,6%	6,1%	100,0%

hemodinâmica	% within RM-Tipo de Lesão	44,8%	50,0%	50,5%	55,5%	30,6%	50,0%
	% of Total	6,1%	5,1%	10,0%	25,8%	3,0%	50,0%
Tort+Aterom sem reperc	Count	3	1	12	13	3	32
	% within CV Carot Esq	9,4%	3,1%	37,5%	40,6%	9,4%	100,0%
	% within RM-Tipo de Lesão	4,5%	2,0%	12,4%	5,7%	6,1%	6,5%
	% of Total	,6%	,2%	2,4%	2,6%	,6%	6,5%
Tortuosidade, compatível com Estenose	Count	0	1	0	1	0	2
	% within CV Carot Esq	,0%	50,0%	,0%	50,0%	,0%	100,0%
	% within RM-Tipo de Lesão	,0%	2,0%	,0%	,4%	,0%	,4%
	% of Total	,0%	,2%	,0%	,2%	,0%	,4%
Total	Count	67	50	97	229	49	492
	% within CV Carot Esq	13,6%	10,2%	19,7%	46,5%	10,0%	100,0%
	% within RM-Tipo de Lesão	100,0%	100,0%	100,0%	100,0%	100,0%	100,0%
	% of Total	13,6%	10,2%	19,7%	46,5%	10,0%	100,0%

Symmetric Measures

		Value	Approx. Sig.
Nominal by Nominal	Contingency Coefficient	,375	,000
N of Valid Cases		492	

Apêndice 3.156 – Correlação da variável cv carot esq vs Angio RM - tipo de lesão.

			Angio RM Tipo						Total	
			Normal	Est Ligeira	Estenose Moderada	Est Grave	Est Pré-Oclusiva	Oclusão		Hipoplasia
CV Carot Esq	Normal	Count	9	1	1	0	0	4	5	20
		% within CV Carot Esq	45,0%	5,0%	5,0%	,0%	,0%	20,0%	25,0%	100,0%
		% within Angio RM Tipo	31,0%	12,5%	12,5%	,0%	,0%	23,5%	50,0%	23,5%
		% of Total	10,6%	1,2%	1,2%	,0%	,0%	4,7%	5,9%	23,5%
Estenose Moderada		Count	0	0	0	1	0	0	1	2
		% within CV Carot Esq	,0%	,0%	,0%	50,0%	,0%	,0%	50,0%	100,0%
		% within Angio RM Tipo	,0%	,0%	,0%	20,0%	,0%	,0%	10,0%	2,4%
		% of Total	,0%	,0%	,0%	1,2%	,0%	,0%	1,2%	2,4%
Est Pré-Oclusiva		Count	0	0	0	1	4	0	0	5
		% within CV Carot Esq	,0%	,0%	,0%	20,0%	80,0%	,0%	,0%	100,0%
		% within Angio RM Tipo	,0%	,0%	,0%	20,0%	50,0%	,0%	,0%	5,9%
		% of Total	,0%	,0%	,0%	1,2%	4,7%	,0%	,0%	5,9%

Oclusão	Count	0	0	0	0	0	6	0	6
	% within CV Carot Esq	,0%	,0%	,0%	,0%	,0%	100,0%	,0%	100,0%
	% within Angio RM Tipo	,0%	,0%	,0%	,0%	,0%	35,3%	,0%	7,1%
	% of Total	,0%	,0%	,0%	,0%	,0%	7,1%	,0%	7,1%
Tortuosidade	Count	1	0	0	0	0	1	0	2
	% within CV Carot Esq	50,0%	,0%	,0%	,0%	,0%	50,0%	,0%	100,0%
	% within Angio RM Tipo	3,4%	,0%	,0%	,0%	,0%	5,9%	,0%	2,4%
	% of Total	1,2%	,0%	,0%	,0%	,0%	1,2%	,0%	2,4%
Ateromatose carotídea, sem reperc. hemodinâmica	Count	17	7	6	2	4	6	3	45
	% within CV Carot Esq	37,8%	15,6%	13,3%	4,4%	8,9%	13,3%	6,7%	100,0%
	% within Angio RM Tipo	58,6%	87,5%	75,0%	40,0%	50,0%	35,3%	30,0%	52,9%
	% of Total	20,0%	8,2%	7,1%	2,4%	4,7%	7,1%	3,5%	52,9%
Tort+Aterom sem reperc	Count	2	0	0	1	0	0	1	4
	% within CV Carot Esq	50,0%	,0%	,0%	25,0%	,0%	,0%	25,0%	100,0%
	% within Angio RM Tipo	6,9%	,0%	,0%	20,0%	,0%	,0%	10,0%	4,7%
	% of Total	2,4%	,0%	,0%	1,2%	,0%	,0%	1,2%	4,7%
Tortuosidade, compatível com Estenose	Count	0	0	1	0	0	0	0	1
	% within CV Carot Esq	,0%	,0%	100,0%	,0%	,0%	,0%	,0%	100,0%
	% within Angio RM Tipo	,0%	,0%	12,5%	,0%	,0%	,0%	,0%	1,2%
	% of Total	,0%	,0%	1,2%	,0%	,0%	,0%	,0%	1,2%
Total	Count	29	8	8	5	8	17	10	85
	% within CV Carot Esq	34,1%	9,4%	9,4%	5,9%	9,4%	20,0%	11,8%	100,0%
	% within Angio RM Tipo	100,0%	100,0%	100,0%	100,0%	100,0%	100,0%	100,0%	100,0%
	% of Total	34,1%	9,4%	9,4%	5,9%	9,4%	20,0%	11,8%	100,0%

Symmetric Measures

		Value	Approx. Sig.
Nominal by Nominal	Contingency Coefficient	,729	,000
N of Valid Cases		85	



Apêndice 3.157 – Correlação da variável cv carot dta vs RM - tipo de lesão.

			RM CE -Tipo de Lesão					Total
			Outros (Hemor, Lcp, Mcangio)	Hemodinâmico	Embólico	Lacunar	Normal	
CV Carot Dta	Normal	Count	27	14	25	68	26	160
		% within CV Carot Dta	16,9%	8,8%	15,6%	42,5%	16,3%	100,0%
		% within RM-Tipo de Lesão	40,3%	28,0%	25,8%	29,7%	53,1%	32,5%
		% of Total	5,5%	2,8%	5,1%	13,8%	5,3%	32,5%
	Est Ligeira	Count	0	0	0	3	0	3
		% within CV Carot Dta	,0%	,0%	,0%	100,0%	,0%	100,0%
		% within RM-Tipo de Lesão	,0%	,0%	,0%	1,3%	,0%	,6%
		% of Total	,0%	,0%	,0%	,6%	,0%	,6%
	Estenose Moderada	Count	2	1	0	5	0	8
		% within CV Carot Dta	25,0%	12,5%	,0%	62,5%	,0%	100,0%
		% within RM-Tipo de Lesão	3,0%	2,0%	,0%	2,2%	,0%	1,6%
		% of Total	,4%	,2%	,0%	1,0%	,0%	1,6%
	Est Grave	Count	0	1	1	2	0	4
		% within CV Carot Dta	,0%	25,0%	25,0%	50,0%	,0%	100,0%
		% within RM-Tipo de Lesão	,0%	2,0%	1,0%	,9%	,0%	,8%
		% of Total	,0%	,2%	,2%	,4%	,0%	,8%
	Est Pré-Oclusiva	Count	0	4	4	2	0	10
		% within CV Carot Dta	,0%	40,0%	40,0%	20,0%	,0%	100,0%
		% within RM-Tipo de Lesão	,0%	8,0%	4,1%	,9%	,0%	2,0%
		% of Total	,0%	,8%	,8%	,4%	,0%	2,0%
	Oclusão	Count	0	4	2	2	0	8
		% within CV Carot Dta	,0%	50,0%	25,0%	25,0%	,0%	100,0%
		% within RM-Tipo de Lesão	,0%	8,0%	2,1%	,9%	,0%	1,6%
		% of Total	,0%	,8%	,4%	,4%	,0%	1,6%
	Tortuosidade	Count	2	1	0	4	2	9
		% within CV Carot Dta	22,2%	11,1%	,0%	44,4%	22,2%	100,0%
		% within RM-Tipo de Lesão	3,0%	2,0%	,0%	1,7%	4,1%	1,8%
		% of Total	,4%	,2%	,0%	,8%	,4%	1,8%
Ateromatose carotídea, sem reperc. hemodinâmica	Count	34	22	60	128	19	263	
	% within CV Carot Dta	12,9%	8,4%	22,8%	48,7%	7,2%	100,0%	
	% within RM-Tipo de Lesão	50,7%	44,0%	61,9%	55,9%	38,8%	53,5%	
	% of Total	6,9%	4,5%	12,2%	26,0%	3,9%	53,5%	

Tort+Aterom sem reperc	Count	2	3	5	11	2	23
	% within CV Carot Dta	8,7%	13,0%	21,7%	47,8%	8,7%	100,0%
	% within RM-Tipo de Lesão	3,0%	6,0%	5,2%	4,8%	4,1%	4,7%
	% of Total	,4%	,6%	1,0%	2,2%	,4%	4,7%
Tortuosidade, compatível com Estenose	Count	0	0	0	4	0	4
	% within CV Carot Dta	,0%	,0%	,0%	100,0%	,0%	100,0%
	% within RM-Tipo de Lesão	,0%	,0%	,0%	1,7%	,0%	,8%
	% of Total	,0%	,0%	,0%	,8%	,0%	,8%
Total	Count	67	50	97	229	49	492
	% within CV Carot Dta	13,6%	10,2%	19,7%	46,5%	10,0%	100,0%
	% within RM-Tipo de Lesão	100,0%	100,0%	100,0%	100,0%	100,0%	100,0%
	% of Total	13,6%	10,2%	19,7%	46,5%	10,0%	100,0%

## Symmetric Measures

		Value	Approx. Sig.
Nominal by Nominal	Contingency Coefficient	,335	,004
N of Valid Cases		492	

## Apêndice 3.158 – Correlação da variável cv carot dta vs Angio RM – local da lesão.

			Angio RM Loc					Total	
			Ant Esq	Ant Dto	Post	Ant bilateral	Ant Esq + Post		Ant Bil + Post
CV Carot Dta	Normal	Count	4	0	5	0	2	0	11
		% within CV Carot Dta	36,4%	,0%	45,5%	,0%	18,2%	,0%	100,0%
		% within Angio RM Loc	18,2%	,0%	31,3%	,0%	50,0%	,0%	19,6%
		% of Total	7,1%	,0%	8,9%	,0%	3,6%	,0%	19,6%
Est Ligeira		Count	0	0	1	0	0	0	1
		% within CV Carot Dta	,0%	,0%	100,0%	,0%	,0%	,0%	100,0%
		% within Angio RM Loc	,0%	,0%	6,3%	,0%	,0%	,0%	1,8%
		% of Total	,0%	,0%	1,8%	,0%	,0%	,0%	1,8%
Estenose Moderada		Count	0	0	0	0	0	1	1
		% within CV Carot Dta	,0%	,0%	,0%	,0%	,0%	100,0%	100,0%
		% within Angio RM Loc	,0%	,0%	,0%	,0%	,0%	100,0%	1,8%
		% of Total	,0%	,0%	,0%	,0%	,0%	1,8%	1,8%
Est Pré-Oclusiva		Count	0	3	0	0	0	0	3
		% within CV Carot Dta	,0%	100,0%	,0%	,0%	,0%	,0%	100,0%

	% within Angio RM Loc	,0%	30,0%	,0%	,0%	,0%	,0%	5,4%
	% of Total	,0%	5,4%	,0%	,0%	,0%	,0%	5,4%
Oclusão	Count	1	1	0	1	0	0	3
	% within CV Carot Dta	33,3%	33,3%	,0%	33,3%	,0%	,0%	100,0%
	% within Angio RM Loc	4,5%	10,0%	,0%	33,3%	,0%	,0%	5,4%
	% of Total	1,8%	1,8%	,0%	1,8%	,0%	,0%	5,4%
Ateromatose carotídea, sem reperc. hemodinâmica	Count	15	5	10	2	2	0	34
	% within CV Carot Dta	44,1%	14,7%	29,4%	5,9%	5,9%	,0%	100,0%
	% within Angio RM Loc	68,2%	50,0%	62,5%	66,7%	50,0%	,0%	60,7%
	% of Total	26,8%	8,9%	17,9%	3,6%	3,6%	,0%	60,7%
Tort+Aterom sem reperc	Count	2	1	0	0	0	0	3
	% within CV Carot Dta	66,7%	33,3%	,0%	,0%	,0%	,0%	100,0%
	% within Angio RM Loc	9,1%	10,0%	,0%	,0%	,0%	,0%	5,4%
	% of Total	3,6%	1,8%	,0%	,0%	,0%	,0%	5,4%
Total	Count	22	10	16	3	4	1	56
	% within CV Carot Dta	39,3%	17,9%	28,6%	5,4%	7,1%	1,8%	100,0%
	% within Angio RM Loc	100,0%	100,0%	100,0%	100,0%	100,0%	100,0%	100,0%
	% of Total	39,3%	17,9%	28,6%	5,4%	7,1%	1,8%	100,0%

Symmetric Measures

		Value	Approx. Sig.
Nominal by Nominal	Contingency Coefficient	,779	,000
N of Valid Cases		56	

Apêndice 3.159 – Correlação da variável est uni/bil vs Angio RM – local da lesão.

		Angio RM Loc					Total	
		Ant Esq	Ant Dto	Post	Ant bilateral	Ant Esq + Post		Ant Bil + Post
Est Uni/Bil Unilateral	Count	8	5	4	2	1	0	20
	% within Est Uni/Bil	40,0%	25,0%	20,0%	10,0%	5,0%	,0%	100,0%
	% within Angio RM Loc	88,9%	100,0%	100,0%	100,0%	100,0%	,0%	90,9%
	% of Total	36,4%	22,7%	18,2%	9,1%	4,5%	,0%	90,9%
Bilateral	Count	1	0	0	0	0	1	2
	% within Est Uni/Bil	50,0%	,0%	,0%	,0%	,0%	50,0%	100,0%
	% within Angio RM Loc	11,1%	,0%	,0%	,0%	,0%	100,0%	9,1%

	% of Total	4,5%	,0%	,0%	,0%	,0%	4,5%	9,1%
Total	Count	9	5	4	2	1	1	22
	% within Est Uni/Bil	40,9%	22,7%	18,2%	9,1%	4,5%	4,5%	100,0%
	% within Angio RM Loc	100,0%	100,0%	100,0%	100,0%	100,0%	100,0%	100,0%
	% of Total	40,9%	22,7%	18,2%	9,1%	4,5%	4,5%	100,0%

Symmetric Measures

	Value	Approx. Sig.
Nominal by Nominal Contingency Coefficient	,582	,047
N of Valid Cases	22	

Apêndice 3.160 – Correlação da variável n/grau est vs RM – tipo de lesão.

		RM CE -Tipo de Lesão					Total	
		Outros (Hemor, Lcp, Mcangio)	Hemodinâmico	Embólico	Lacunar	Normal		
N/Grau est	Normal ou <50%	Count	62	31	78	202	46	419
		% within N/Grau est	14,8%	7,4%	18,6%	48,2%	11,0%	100,0%
		% within RM-Tipo de Lesão	92,5%	62,0%	80,4%	88,2%	93,9%	85,2%
		% of Total	12,6%	6,3%	15,9%	41,1%	9,3%	85,2%
>50%	Count	2	0	2	9	2	15	
		% within N/Grau est	13,3%	,0%	13,3%	60,0%	13,3%	100,0%
		% within RM-Tipo de Lesão	3,0%	,0%	2,1%	3,9%	4,1%	3,0%
		% of Total	,4%	,0%	,4%	1,8%	,4%	3,0%
>70%	Count	0	2	2	5	0	9	
		% within N/Grau est	,0%	22,2%	22,2%	55,6%	,0%	100,0%
		% within RM-Tipo de Lesão	,0%	4,0%	2,1%	2,2%	,0%	1,8%
		% of Total	,0%	,4%	,4%	1,0%	,0%	1,8%
>90%	Count	0	8	4	3	0	15	
		% within N/Grau est	,0%	53,3%	26,7%	20,0%	,0%	100,0%
		% within RM-Tipo de Lesão	,0%	16,0%	4,1%	1,3%	,0%	3,0%
		% of Total	,0%	1,6%	,8%	,6%	,0%	3,0%
Oclusão	Count	3	9	11	10	1	34	
		% within N/Grau est	8,8%	26,5%	32,4%	29,4%	2,9%	100,0%
		% within RM-Tipo de Lesão	4,5%	18,0%	11,3%	4,4%	2,0%	6,9%
		% of Total	,6%	1,8%	2,2%	2,0%	,2%	6,9%
Total	Count	67	50	97	229	49	492	
	% within N/Grau est	13,6%	10,2%	19,7%	46,5%	10,0%	100,0%	

% within RM-Tipo de Lesão	100,0%	100,0%	100,0%	100,0%	100,0%	100,0%
% of Total	13,6%	10,2%	19,7%	46,5%	10,0%	100,0%

Symmetric Measures

		Value	Approx. Sig.
Nominal by Nominal	Contingency Coefficient	,331	,000
N of Valid Cases		492	

Apêndice 3.161 – Correlação da variável n/grau est vs Angio RM – tipo de lesão.

			Angio RM Tipo						Total	
			Normal	Est Ligeira	Estenose Moderada	Est Grave	Est Pré-Oclusiva	Oclusão		Hipoplasia
N/Grau est	<50%	Count	25	7	6	3	2	10	8	61
		% within N/Grau est	41,0%	11,5%	9,8%	4,9%	3,3%	16,4%	13,1%	100,0%
		% within Angio RM Tipo	86,2%	87,5%	75,0%	60,0%	25,0%	58,8%	80,0%	71,8%
		% of Total	29,4%	8,2%	7,1%	3,5%	2,4%	11,8%	9,4%	71,8%
	>50%	Count	1	0	1	0	0	0	1	3
		% within N/Grau est	33,3%	,0%	33,3%	,0%	,0%	,0%	33,3%	100,0%
		% within Angio RM Tipo	3,4%	,0%	12,5%	,0%	,0%	,0%	10,0%	3,5%
	>70%	Count	0	1	0	0	0	0	0	1
		% within N/Grau est	,0%	100,0%	,0%	,0%	,0%	,0%	,0%	100,0%
		% within Angio RM Tipo	,0%	12,5%	,0%	,0%	,0%	,0%	,0%	1,2%
	>90%	Count	1	0	0	2	6	0	0	9
		% within N/Grau est	11,1%	,0%	,0%	22,2%	66,7%	,0%	,0%	100,0%
% within Angio RM Tipo		3,4%	,0%	,0%	40,0%	75,0%	,0%	,0%	10,6%	
Oclusão	Count	2	0	1	0	0	7	1	11	
	% within N/Grau est	18,2%	,0%	9,1%	,0%	,0%	63,6%	9,1%	100,0%	
	% within Angio RM Tipo	6,9%	,0%	12,5%	,0%	,0%	41,2%	10,0%	12,9%	
	% of Total	2,4%	,0%	1,2%	,0%	,0%	8,2%	1,2%	12,9%	
Total	Count	29	8	8	5	8	17	10	85	
	% within N/Grau est	34,1%	9,4%	9,4%	5,9%	9,4%	20,0%	11,8%	100,0%	

% within Angio RM Tipo	100,0%	100,0%	100,0%	100,0%	100,0%	100,0%	100,0%	100,0%
% of Total	34,1%	9,4%	9,4%	5,9%	9,4%	20,0%	11,8%	100,0%

Symmetric Measures

	Value	Approx. Sig.
Nominal by Nominal Contingency Coefficient	,681	,000
N of Valid Cases	85	

Apêndice 3.162 – Correlação da variável n/grau est vs Angio RM – local da lesão.

			Angio RM Loc					Total
			Ant Esq	Ant Dto	Post	Ant bilateral	Ant Esq + Post	
N/Grau est Normal ou <50%	Count	13	5	13	1	4	0	36
	% within N/Grau est	36,1%	13,9%	36,1%	2,8%	11,1%	,0%	100,0%
	% within Angio RM Loc	59,1%	50,0%	81,3%	33,3%	100,0%	,0%	64,3%
	% of Total	23,2%	8,9%	23,2%	1,8%	7,1%	,0%	64,3%
>50%	Count	1	0	1	0	0	0	2
	% within N/Grau est	50,0%	,0%	50,0%	,0%	,0%	,0%	100,0%
	% within Angio RM Loc	4,5%	,0%	6,3%	,0%	,0%	,0%	3,6%
	% of Total	1,8%	,0%	1,8%	,0%	,0%	,0%	3,6%
>70%	Count	0	0	0	1	0	0	1
	% within N/Grau est	,0%	,0%	,0%	100,0%	,0%	,0%	100,0%
	% within Angio RM Loc	,0%	,0%	,0%	33,3%	,0%	,0%	1,8%
	% of Total	,0%	,0%	,0%	1,8%	,0%	,0%	1,8%
>90%	Count	5	3	0	0	0	0	8
	% within N/Grau est	62,5%	37,5%	,0%	,0%	,0%	,0%	100,0%
	% within Angio RM Loc	22,7%	30,0%	,0%	,0%	,0%	,0%	14,3%
	% of Total	8,9%	5,4%	,0%	,0%	,0%	,0%	14,3%
Oclusão	Count	3	2	2	1	0	1	9
	% within N/Grau est	33,3%	22,2%	22,2%	11,1%	,0%	11,1%	100,0%
	% within Angio RM Loc	13,6%	20,0%	12,5%	33,3%	,0%	100,0%	16,1%
	% of Total	5,4%	3,6%	3,6%	1,8%	,0%	1,8%	16,1%
Total	Count	22	10	16	3	4	1	56
	% within N/Grau est	39,3%	17,9%	28,6%	5,4%	7,1%	1,8%	100,0%
	% within Angio RM Loc	100,0%	100,0%	100,0%	100,0%	100,0%	100,0%	100,0%
	% of Total	39,3%	17,9%	28,6%	5,4%	7,1%	1,8%	100,0%

Symmetric Measures

		Value	Approx. Sig.
Nominal by Nominal	Contingency Coefficient	,614	,027
N of Valid Cases		56	

• TST vs TAC CE

Apêndice 3.163 – Correlação da variável tc ant esq vs TAC – tipo de lesão.

			TAC CE -Tipo de Lesão					Total
			Outros (Hemor, Lcp, Mcangio)	Hemodinâmico	Embólico	Lacunar	Normal	
TC Ant Esq Normal	Count	239	73	201	395	253	1161	
	% within TC Ant Esq	20,6%	6,3%	17,3%	34,0%	21,8%	100,0%	
	% within TAC-Tipo de Lesão	81,0%	73,0%	72,6%	75,0%	88,5%	78,2%	
	% of Total	16,1%	4,9%	13,5%	26,6%	17,0%	78,2%	
Sem janela	Count	43	14	44	81	17	199	
	% within TC Ant Esq	21,6%	7,0%	22,1%	40,7%	8,5%	100,0%	
	% within TAC-Tipo de Lesão	14,6%	14,0%	15,9%	15,4%	5,9%	13,4%	
	% of Total	2,9%	,9%	3,0%	5,5%	1,1%	13,4%	
Est Ligeira	Count	6	5	9	23	8	51	
	% within TC Ant Esq	11,8%	9,8%	17,6%	45,1%	15,7%	100,0%	
	% within TAC-Tipo de Lesão	2,0%	5,0%	3,2%	4,4%	2,8%	3,4%	
	% of Total	,4%	,3%	,6%	1,5%	,5%	3,4%	
Est Mod/Grave	Count	4	4	13	25	6	52	
	% within TC Ant Esq	7,7%	7,7%	25,0%	48,1%	11,5%	100,0%	
	% within TAC-Tipo de Lesão	1,4%	4,0%	4,7%	4,7%	2,1%	3,5%	
	% of Total	,3%	,3%	,9%	1,7%	,4%	3,5%	
Tortuosidade	Count	0	0	1	0	0	1	
	% within TC Ant Esq	,0%	,0%	100,0%	,0%	,0%	100,0%	
	% within TAC-Tipo de Lesão	,0%	,0%	,4%	,0%	,0%	,1%	
	% of Total	,0%	,0%	,1%	,0%	,0%	,1%	
Oclusão	Count	2	4	9	3	2	20	
	% within TC Ant Esq	10,0%	20,0%	45,0%	15,0%	10,0%	100,0%	
	% within TAC-Tipo de Lesão	,7%	4,0%	3,2%	,6%	,7%	1,3%	
	% of Total	,1%	,3%	,6%	,2%	,1%	1,3%	
Vasospasmo	Count	1	0	0	0	0	1	

	% within TC Ant Esq	100,0%	,0%	,0%	,0%	,0%	100,0%
	% within TAC-Tipo de Lesão	,3%	,0%	,0%	,0%	,0%	,1%
	% of Total	,1%	,0%	,0%	,0%	,0%	,1%
Total	Count	295	100	277	527	286	1485
	% within TC Ant Esq	19,9%	6,7%	18,7%	35,5%	19,3%	100,0%
	% within TAC-Tipo de Lesão	100,0%	100,0%	100,0%	100,0%	100,0%	100,0%
	% of Total	19,9%	6,7%	18,7%	35,5%	19,3%	100,0%

Symmetric Measures

		Value	Approx. Sig.
Nominal by Nominal	Contingency Coefficient	,197	,000
N of Valid Cases		1485	

Apêndice 3.164 – Correlação da variável tc ant dta vs TAC – tipo de lesão.

		TAC CE -Tipo de Lesão					Total
		Outros (Hemor, Lcp, Mcangio)	Hemodinâmico	Embólico	Lacunar	Normal	
TC Ant Dta Normal	Count	240	73	209	411	254	1187
	% within TC Ant Dta	20,2%	6,1%	17,6%	34,6%	21,4%	100,0%
	% within TAC-Tipo de Lesão	81,6%	73,7%	75,7%	77,8%	88,8%	80,0%
	% of Total	16,2%	4,9%	14,1%	27,7%	17,1%	80,0%
Sem janela	Count	43	14	40	89	22	208
	% within TC Ant Dta	20,7%	6,7%	19,2%	42,8%	10,6%	100,0%
	% within TAC-Tipo de Lesão	14,6%	14,1%	14,5%	16,9%	7,7%	14,0%
	% of Total	2,9%	,9%	2,7%	6,0%	1,5%	14,0%
Est Ligeira	Count	7	4	11	11	7	40
	% within TC Ant Dta	17,5%	10,0%	27,5%	27,5%	17,5%	100,0%
	% within TAC-Tipo de Lesão	2,4%	4,0%	4,0%	2,1%	2,4%	2,7%
	% of Total	,5%	,3%	,7%	,7%	,5%	2,7%
Est Mod/Grave	Count	3	6	10	11	3	33
	% within TC Ant Dta	9,1%	18,2%	30,3%	33,3%	9,1%	100,0%
	% within TAC-Tipo de Lesão	1,0%	6,1%	3,6%	2,1%	1,0%	2,2%
	% of Total	,2%	,4%	,7%	,7%	,2%	2,2%
Tortuosidade	Count	1	0	0	0	0	1
	% within TC Ant Dta	100,0%	,0%	,0%	,0%	,0%	100,0%
	% within TAC-Tipo de Lesão	,3%	,0%	,0%	,0%	,0%	,1%
	% of Total	,1%	,0%	,0%	,0%	,0%	,1%



Oclusão	Count	0	2	6	6	0	14
	% within TC Ant Dta	,0%	14,3%	42,9%	42,9%	,0%	100,0%
	% within TAC-Tipo de Lesão	,0%	2,0%	2,2%	1,1%	,0%	,9%
	% of Total	,0%	,1%	,4%	,4%	,0%	,9%
Total	Count	294	99	276	528	286	1483
	% within TC Ant Dta	19,8%	6,7%	18,6%	35,6%	19,3%	100,0%
	% within TAC-Tipo de Lesão	100,0%	100,0%	100,0%	100,0%	100,0%	100,0%
	% of Total	19,8%	6,7%	18,6%	35,6%	19,3%	100,0%

Symmetric Measures

		Value	Approx. Sig.
Nominal by Nominal	Contingency Coefficient	,175	,001
N of Valid Cases		1483	

Apêndice 3.165 – Correlação da variável tc ant dta vs TAC – local da lesão.

			TAC CE -Local da Lesão						Total	
			Ant Esq	Ant Dto	Post	Ant bilateral	Ant Esq + Post	Ant Dto + Post		Ant Bil + Post
TC Ant Dta	Normal	Count	187	178	101	171	14	13	31	695
		% within TC Ant Dta	26,9%	25,6%	14,5%	24,6%	2,0%	1,9%	4,5%	100,0%
		% within TAC-Local da Lesão	75,7%	74,5%	82,1%	78,1%	63,6%	72,2%	83,8%	76,8%
		% of Total	20,7%	19,7%	11,2%	18,9%	1,5%	1,4%	3,4%	76,8%
Sem janela		Count	44	38	12	38	5	1	5	143
		% within TC Ant Dta	30,8%	26,6%	8,4%	26,6%	3,5%	,7%	3,5%	100,0%
		% within TAC-Local da Lesão	17,8%	15,9%	9,8%	17,4%	22,7%	5,6%	13,5%	15,8%
		% of Total	4,9%	4,2%	1,3%	4,2%	,6%	,1%	,6%	15,8%
Est Ligeira		Count	5	8	5	5	3	0	0	26
		% within TC Ant Dta	19,2%	30,8%	19,2%	19,2%	11,5%	,0%	,0%	100,0%
		% within TAC-Local da Lesão	2,0%	3,3%	4,1%	2,3%	13,6%	,0%	,0%	2,9%
		% of Total	,6%	,9%	,6%	,6%	,3%	,0%	,0%	2,9%
Est Mod/Grave		Count	10	8	4	4	0	0	1	27
		% within TC Ant Dta	37,0%	29,6%	14,8%	14,8%	,0%	,0%	3,7%	100,0%
		% within TAC-Local da Lesão	4,0%	3,3%	3,3%	1,8%	,0%	,0%	2,7%	3,0%
		% of Total	1,1%	,9%	,4%	,4%	,0%	,0%	,1%	3,0%
Oclusão		Count	1	7	1	1	0	4	0	14
		% within TC Ant Dta	7,1%	50,0%	7,1%	7,1%	,0%	28,6%	,0%	100,0%
		% within TAC-Local da Lesão	,4%	2,9%	,8%	,5%	,0%	22,2%	,0%	1,5%
		% of Total	,1%	,8%	,1%	,1%	,0%	,4%	,0%	1,5%

Total	Count	247	239	123	219	22	18	37	905
	% within TC Ant Dta	27,3%	26,4%	13,6%	24,2%	2,4%	2,0%	4,1%	100,0%
	% within TAC-Local da Lesão	100,0%	100,0%	100,0%	100,0%	100,0%	100,0%	100,0%	100,0%
	% of Total	27,3%	26,4%	13,6%	24,2%	2,4%	2,0%	4,1%	100,0%

Symmetric Measures

		Value	Approx. Sig.
Nominal by Nominal	Contingency Coefficient	,286	,000
N of Valid Cases		905	

Apêndice 3.166 – Correlação da variável tc pos esq vs TAC – tipo de lesão.

			TAC CE -Tipo de Lesão					Total
			Outros (Hemor, Lep, Mcangio)	Hemodinâmico	Embólico	Lacunar	Normal	
TC Pos Esq	Normal	Count	255	70	203	421	258	1207
		% within TC Pos Esq	21,1%	5,8%	16,8%	34,9%	21,4%	100,0%
		% within TAC-Tipo de Lesão	86,1%	70,0%	73,3%	79,9%	89,9%	81,2%
		% of Total	17,1%	4,7%	13,7%	28,3%	17,4%	81,2%
Sem janela		Count	25	11	34	50	13	133
		% within TC Pos Esq	18,8%	8,3%	25,6%	37,6%	9,8%	100,0%
		% within TAC-Tipo de Lesão	8,4%	11,0%	12,3%	9,5%	4,5%	8,9%
		% of Total	1,7%	,7%	2,3%	3,4%	,9%	8,9%
Est Ligeira		Count	3	6	14	28	4	55
		% within TC Pos Esq	5,5%	10,9%	25,5%	50,9%	7,3%	100,0%
		% within TAC-Tipo de Lesão	1,0%	6,0%	5,1%	5,3%	1,4%	3,7%
		% of Total	,2%	,4%	,9%	1,9%	,3%	3,7%
Est Mod/Grave		Count	5	11	16	18	8	58
		% within TC Pos Esq	8,6%	19,0%	27,6%	31,0%	13,8%	100,0%
		% within TAC-Tipo de Lesão	1,7%	11,0%	5,8%	3,4%	2,8%	3,9%
		% of Total	,3%	,7%	1,1%	1,2%	,5%	3,9%
Oclusão		Count	6	1	9	7	1	24
		% within TC Pos Esq	25,0%	4,2%	37,5%	29,2%	4,2%	100,0%
		% within TAC-Tipo de Lesão	2,0%	1,0%	3,2%	1,3%	,3%	1,6%
		% of Total	,4%	,1%	,6%	,5%	,1%	1,6%
Roubo da ASE		Count	1	0	1	1	1	4
		% within TC Pos Esq	25,0%	,0%	25,0%	25,0%	25,0%	100,0%

	% within TAC-Tipo de Lesão	,3%	,0%	,4%	,2%	,3%	,3%
	% of Total	,1%	,0%	,1%	,1%	,1%	,3%
Vasospasmo	Count	1	0	0	0	0	1
	% within TC Pos Esq	100,0%	,0%	,0%	,0%	,0%	100,0%
	% within TAC-Tipo de Lesão	,3%	,0%	,0%	,0%	,0%	,1%
	% of Total	,1%	,0%	,0%	,0%	,0%	,1%
Hipoplasia	Count	0	1	0	2	2	5
	% within TC Pos Esq	,0%	20,0%	,0%	40,0%	40,0%	100,0%
	% within TAC-Tipo de Lesão	,0%	1,0%	,0%	,4%	,7%	,3%
	% of Total	,0%	,1%	,0%	,1%	,1%	,3%
Total	Count	296	100	277	527	287	1487
	% within TC Pos Esq	19,9%	6,7%	18,6%	35,4%	19,3%	100,0%
	% within TAC-Tipo de Lesão	100,0%	100,0%	100,0%	100,0%	100,0%	100,0%
	% of Total	19,9%	6,7%	18,6%	35,4%	19,3%	100,0%

Symmetric Measures

		Value	Approx. Sig.
Nominal by Nominal	Contingency Coefficient	,215	,000
N of Valid Cases		1487	

Apêndice 3.167 – Correlação da variável tc pos esq vs TAC – local da lesão.

			TAC CE -Local da Lesão						Total	
			Ant Esq	Ant Dto	Post	Ant bilateral	Ant Esq + Post	Ant Dto + Post		Ant Bil + Post
TC Pos Esq	Normal	Count	189	182	91	175	13	15	31	696
		% within TC Pos Esq	27,2%	26,1%	13,1%	25,1%	1,9%	2,2%	4,5%	100,0%
		% within TAC-Local da Lesão	76,2%	76,5%	74,0%	79,5%	59,1%	83,3%	83,8%	76,8%
		% of Total	20,9%	20,1%	10,0%	19,3%	1,4%	1,7%	3,4%	76,8%
Sem janela		Count	34	26	7	22	3	1	2	95
		% within TC Pos Esq	35,8%	27,4%	7,4%	23,2%	3,2%	1,1%	2,1%	100,0%
		% within TAC-Local da Lesão	13,7%	10,9%	5,7%	10,0%	13,6%	5,6%	5,4%	10,5%
		% of Total	3,8%	2,9%	,8%	2,4%	,3%	,1%	,2%	10,5%
Est Ligeira		Count	13	13	5	13	3	0	1	48
		% within TC Pos Esq	27,1%	27,1%	10,4%	27,1%	6,3%	,0%	2,1%	100,0%
		% within TAC-Local da Lesão	5,2%	5,5%	4,1%	5,9%	13,6%	,0%	2,7%	5,3%
		% of Total	1,4%	1,4%	,6%	1,4%	,3%	,0%	,1%	5,3%
Est		Count	10	11	10	7	2	2	3	45

Mod/Grave	% within TC Pos Esq	22,2%	24,4%	22,2%	15,6%	4,4%	4,4%	6,7%	100,0%
	% within TAC-Local da Lesão	4,0%	4,6%	8,1%	3,2%	9,1%	11,1%	8,1%	5,0%
	% of Total	1,1%	1,2%	1,1%	,8%	,2%	,2%	,3%	5,0%
Oclusão	Count	2	3	9	2	1	0	0	17
	% within TC Pos Esq	11,8%	17,6%	52,9%	11,8%	5,9%	,0%	,0%	100,0%
	% within TAC-Local da Lesão	,8%	1,3%	7,3%	,9%	4,5%	,0%	,0%	1,9%
	% of Total	,2%	,3%	1,0%	,2%	,1%	,0%	,0%	1,9%
Roubo da ASE	Count	0	1	1	0	0	0	0	2
	% within TC Pos Esq	,0%	50,0%	50,0%	,0%	,0%	,0%	,0%	100,0%
	% within TAC-Local da Lesão	,0%	,4%	,8%	,0%	,0%	,0%	,0%	,2%
	% of Total	,0%	,1%	,1%	,0%	,0%	,0%	,0%	,2%
Hipoplasia	Count	0	2	0	1	0	0	0	3
	% within TC Pos Esq	,0%	66,7%	,0%	33,3%	,0%	,0%	,0%	100,0%
	% within TAC-Local da Lesão	,0%	,8%	,0%	,5%	,0%	,0%	,0%	,3%
	% of Total	,0%	,2%	,0%	,1%	,0%	,0%	,0%	,3%
Total	Count	248	238	123	220	22	18	37	906
	% within TC Pos Esq	27,4%	26,3%	13,6%	24,3%	2,4%	2,0%	4,1%	100,0%
	% within TAC-Local da Lesão	100,0%	100,0%	100,0%	100,0%	100,0%	100,0%	100,0%	100,0%
	% of Total	27,4%	26,3%	13,6%	24,3%	2,4%	2,0%	4,1%	100,0%

Symmetric Measures

		Value	Approx. Sig.
Nominal by Nominal	Contingency Coefficient	,233	,042
N of Valid Cases		906	

Apêndice 3.168 – Correlação da variável tc pos dta vs TAC – tipo de lesão.

			TAC CE -Tipo de Lesão				Total	
			Outros (Hemor, Lcp, Mcangio)	Hemodinâmico	Embólico	Lacunar		Normal
TC Pos Dta	Normal	Count	253	67	221	401	1193	
		% within TC Pos Dta	21,2%	5,6%	18,5%	33,6%	21,0%	100,0%
		% within TAC-Tipo de Lesão	85,5%	68,4%	80,1%	75,9%	87,5%	80,3%
		% of Total	17,0%	4,5%	14,9%	27,0%	16,9%	80,3%
Sem janela		Count	24	12	29	59	142	
		% within TC Pos Dta	16,9%	8,5%	20,4%	41,5%	12,7%	100,0%
		% within TAC-Tipo de Lesão	8,1%	12,2%	10,5%	11,2%	6,3%	9,6%
		% of Total	1,6%	,8%	2,0%	4,0%	1,2%	9,6%

Est Ligeira	Count	8	7	16	30	8	69
	% within TC Pos Dta	11,6%	10,1%	23,2%	43,5%	11,6%	100,0%
	% within TAC-Tipo de Lesão	2,7%	7,1%	5,8%	5,7%	2,8%	4,6%
	% of Total	,5%	,5%	1,1%	2,0%	,5%	4,6%
Est Mod/Grave	Count	4	11	7	23	3	48
	% within TC Pos Dta	8,3%	22,9%	14,6%	47,9%	6,3%	100,0%
	% within TAC-Tipo de Lesão	1,4%	11,2%	2,5%	4,4%	1,0%	3,2%
	% of Total	,3%	,7%	,5%	1,5%	,2%	3,2%
Tortuosidade	Count	0	0	1	0	0	1
	% within TC Pos Dta	,0%	,0%	100,0%	,0%	,0%	100,0%
	% within TAC-Tipo de Lesão	,0%	,0%	,4%	,0%	,0%	,1%
	% of Total	,0%	,0%	,1%	,0%	,0%	,1%
Oclusão	Count	2	1	1	10	4	18
	% within TC Pos Dta	11,1%	5,6%	5,6%	55,6%	22,2%	100,0%
	% within TAC-Tipo de Lesão	,7%	1,0%	,4%	1,9%	1,4%	1,2%
	% of Total	,1%	,1%	,1%	,7%	,3%	1,2%
Roubo da ASE	Count	5	0	0	2	2	9
	% within TC Pos Dta	55,6%	,0%	,0%	22,2%	22,2%	100,0%
	% within TAC-Tipo de Lesão	1,7%	,0%	,0%	,4%	,7%	,6%
	% of Total	,3%	,0%	,0%	,1%	,1%	,6%
Hipoplasia	Count	0	0	1	3	1	5
	% within TC Pos Dta	,0%	,0%	20,0%	60,0%	20,0%	100,0%
	% within TAC-Tipo de Lesão	,0%	,0%	,4%	,6%	,3%	,3%
	% of Total	,0%	,0%	,1%	,2%	,1%	,3%
Total	Count	296	98	276	528	287	1485
	% within TC Pos Dta	19,9%	6,6%	18,6%	35,6%	19,3%	100,0%
	% within TAC-Tipo de Lesão	100,0%	100,0%	100,0%	100,0%	100,0%	100,0%
	% of Total	19,9%	6,6%	18,6%	35,6%	19,3%	100,0%

Symmetric Measures

		Value	Approx. Sig.
Nominal by Nominal	Contingency Coefficient	,210	,000
N of Valid Cases		1485	

Apêndice 3.169 – Correlação da variável ip vs TAC – tipo de lesão.

			TAC CE -Tipo de Lesão					Total
			Outros (Hemor, Lcp, Mcangio)	Hemodinâmico	Embólico	Lacunar	Normal	
IP	Normal	Count	138	55	104	240	172	709
		% within IP	19,5%	7,8%	14,7%	33,9%	24,3%	100,0%
		% within TAC-Tipo de Lesão	49,3%	58,5%	40,9%	47,9%	61,9%	50,4%
		% of Total	9,8%	3,9%	7,4%	17,1%	12,2%	50,4%
	Aumentados	Count	142	39	150	261	106	698
		% within IP	20,3%	5,6%	21,5%	37,4%	15,2%	100,0%
		% within TAC-Tipo de Lesão	50,7%	41,5%	59,1%	52,1%	38,1%	49,6%
		% of Total	10,1%	2,8%	10,7%	18,6%	7,5%	49,6%
	Total	Count	280	94	254	501	278	1407
		% within IP	19,9%	6,7%	18,1%	35,6%	19,8%	100,0%
		% within TAC-Tipo de Lesão	100,0%	100,0%	100,0%	100,0%	100,0%	100,0%
		% of Total	19,9%	6,7%	18,1%	35,6%	19,8%	100,0%

Symmetric Measures

		Value	Approx. Sig.
Nominal by Nominal	Contingency Coefficient	,139	,000
N of Valid Cases		1407	

- TST vs RM CE e Angio RM

Apêndice 3.170 – Correlação da variável tc ant dta vs Angio RM – local da lesão.

			Angio RM Loc					Total	
			Ant Esq	Ant Dto	Post	Ant bilateral	Ant Esq + Post		Ant Bil + Post
TC Ant Dta	Normal	Count	15	7	9	3	3	0	37
		% within TC Ant Dta	40,5%	18,9%	24,3%	8,1%	8,1%	,0%	100,0%
		% within Angio RM Loc	83,3%	77,8%	60,0%	100,0%	75,0%	,0%	74,0%
		% of Total	30,0%	14,0%	18,0%	6,0%	6,0%	,0%	74,0%
	Sem janela	Count	3	1	2	0	0	0	6
		% within TC Ant Dta	50,0%	16,7%	33,3%	,0%	,0%	,0%	100,0%
		% within Angio RM Loc	16,7%	11,1%	13,3%	,0%	,0%	,0%	12,0%
		% of Total	6,0%	2,0%	4,0%	,0%	,0%	,0%	12,0%
	Est Ligeira	Count	0	0	3	0	1	0	4
		% within TC Ant Dta	,0%	,0%	75,0%	,0%	25,0%	,0%	100,0%

	% within Angio RM Loc	,0%	,0%	20,0%	,0%	25,0%	,0%	8,0%
	% of Total	,0%	,0%	6,0%	,0%	2,0%	,0%	8,0%
Est Mod/Grave	Count	0	1	1	0	0	0	2
	% within TC Ant Dta	,0%	50,0%	50,0%	,0%	,0%	,0%	100,0%
	% within Angio RM Loc	,0%	11,1%	6,7%	,0%	,0%	,0%	4,0%
	% of Total	,0%	2,0%	2,0%	,0%	,0%	,0%	4,0%
Oclusão	Count	0	0	0	0	0	1	1
	% within TC Ant Dta	,0%	,0%	,0%	,0%	,0%	100,0%	100,0%
	% within Angio RM Loc	,0%	,0%	,0%	,0%	,0%	100,0%	2,0%
	% of Total	,0%	,0%	,0%	,0%	,0%	2,0%	2,0%
Total	Count	18	9	15	3	4	1	50
	% within TC Ant Dta	36,0%	18,0%	30,0%	6,0%	8,0%	2,0%	100,0%
	% within Angio RM Loc	100,0%	100,0%	100,0%	100,0%	100,0%	100,0%	100,0%
	% of Total	36,0%	18,0%	30,0%	6,0%	8,0%	2,0%	100,0%

Symmetric Measures

		Value	Approx. Sig.
Nominal by Nominal	Contingency Coefficient	,741	,000
N of Valid Cases		50	

Apêndice 3.171 – Correlação da variável tc pos esq vs RM – local da lesão.

			RM CE-Local da Lesão						Total	
			Ant Esq	Ant Dto	Post	Ant bilateral	Ant Esq + Post	Ant Dto + Post		Ant Bil + Post
TC Pos Esq	Normal	Count	64	62	45	40	7	14	33	265
		% within TC Pos Esq	24,2%	23,4%	17,0%	15,1%	2,6%	5,3%	12,5%	100,0%
		% within RM-Local da Lesão	77,1%	84,9%	77,6%	85,1%	63,6%	93,3%	80,5%	80,8%
		% of Total	19,5%	18,9%	13,7%	12,2%	2,1%	4,3%	10,1%	80,8%
Sem janela		Count	9	4	1	1	1	0	2	18
		% within TC Pos Esq	50,0%	22,2%	5,6%	5,6%	5,6%	,0%	11,1%	100,0%
		% within RM-Local da Lesão	10,8%	5,5%	1,7%	2,1%	9,1%	,0%	4,9%	5,5%
		% of Total	2,7%	1,2%	,3%	,3%	,3%	,0%	,6%	5,5%
Est Ligeira		Count	4	1	4	3	2	1	3	18
		% within TC Pos Esq	22,2%	5,6%	22,2%	16,7%	11,1%	5,6%	16,7%	100,0%
		% within RM-Local da Lesão	4,8%	1,4%	6,9%	6,4%	18,2%	6,7%	7,3%	5,5%
		% of Total	1,2%	,3%	1,2%	,9%	,6%	,3%	,9%	5,5%
Est Mod/Grave		Count	5	3	3	3	0	0	3	17
		% within TC Pos Esq	29,4%	17,6%	17,6%	17,6%	,0%	,0%	17,6%	100,0%

	% within RM-Local da Lesão	6,0%	4,1%	5,2%	6,4%	,0%	,0%	7,3%	5,2%
	% of Total	1,5%	,9%	,9%	,9%	,0%	,0%	,9%	5,2%
Oclusão	Count	0	1	5	0	0	0	0	6
	% within TC Pos Esq	,0%	16,7%	83,3%	,0%	,0%	,0%	,0%	100,0%
	% within RM-Local da Lesão	,0%	1,4%	8,6%	,0%	,0%	,0%	,0%	1,8%
	% of Total	,0%	,3%	1,5%	,0%	,0%	,0%	,0%	1,8%
Roubo da ASE	Count	1	2	0	0	0	0	0	3
	% within TC Pos Esq	33,3%	66,7%	,0%	,0%	,0%	,0%	,0%	100,0%
	% within RM-Local da Lesão	1,2%	2,7%	,0%	,0%	,0%	,0%	,0%	,9%
	% of Total	,3%	,6%	,0%	,0%	,0%	,0%	,0%	,9%
Hipoplasia	Count	0	0	0	0	1	0	0	1
	% within TC Pos Esq	,0%	,0%	,0%	,0%	100,0%	,0%	,0%	100,0%
	% within RM-Local da Lesão	,0%	,0%	,0%	,0%	9,1%	,0%	,0%	,3%
	% of Total	,0%	,0%	,0%	,0%	,3%	,0%	,0%	,3%
Total	Count	83	73	58	47	11	15	41	328
	% within TC Pos Esq	25,3%	22,3%	17,7%	14,3%	3,4%	4,6%	12,5%	100,0%
	% within RM-Local da Lesão	100,0%	100,0%	100,0%	100,0%	100,0%	100,0%	100,0%	100,0%
	% of Total	25,3%	22,3%	17,7%	14,3%	3,4%	4,6%	12,5%	100,0%

Symmetric Measures

		Value	Approx. Sig.
Nominal by Nominal	Contingency Coefficient	,416	,001
N of Valid Cases		328	

Apêndice 3.172 – Correlação da variável tc pos dta vs Angio RM – local da lesão.

			Angio RM Loc					Total	
			Ant Esq	Ant Dto	Post	Ant bilateral	Ant Esq + Post		Ant Bil + Post
TC Pos Dta Normal	Count		16	8	7	3	4	0	38
	% within TC Pos Dta		42,1%	21,1%	18,4%	7,9%	10,5%	,0%	100,0%
	% within Angio RM Loc		88,9%	88,9%	46,7%	100,0%	100,0%	,0%	76,0%
	% of Total		32,0%	16,0%	14,0%	6,0%	8,0%	,0%	76,0%
Sem janela	Count		2	1	1	0	0	0	4
	% within TC Pos Dta		50,0%	25,0%	25,0%	,0%	,0%	,0%	100,0%
	% within Angio RM Loc		11,1%	11,1%	6,7%	,0%	,0%	,0%	8,0%
	% of Total		4,0%	2,0%	2,0%	,0%	,0%	,0%	8,0%
Est Ligeira	Count		0	0	2	0	0	0	2
	% within TC Pos Dta		,0%	,0%	100,0%	,0%	,0%	,0%	100,0%



	% within Angio RM Loc	,0%	,0%	13,3%	,0%	,0%	,0%	4,0%
	% of Total	,0%	,0%	4,0%	,0%	,0%	,0%	4,0%
Est Mod/Grave	Count	0	0	3	0	0	0	3
	% within TC Pos Dta	,0%	,0%	100,0%	,0%	,0%	,0%	100,0%
	% within Angio RM Loc	,0%	,0%	20,0%	,0%	,0%	,0%	6,0%
	% of Total	,0%	,0%	6,0%	,0%	,0%	,0%	6,0%
Oclusão	Count	0	0	0	0	0	1	1
	% within TC Pos Dta	,0%	,0%	,0%	,0%	,0%	100,0%	100,0%
	% within Angio RM Loc	,0%	,0%	,0%	,0%	,0%	100,0%	2,0%
	% of Total	,0%	,0%	,0%	,0%	,0%	2,0%	2,0%
Roubo da ASE	Count	0	0	2	0	0	0	2
	% within TC Pos Dta	,0%	,0%	100,0%	,0%	,0%	,0%	100,0%
	% within Angio RM Loc	,0%	,0%	13,3%	,0%	,0%	,0%	4,0%
	% of Total	,0%	,0%	4,0%	,0%	,0%	,0%	4,0%
Total	Count	18	9	15	3	4	1	50
	% within TC Pos Dta	36,0%	18,0%	30,0%	6,0%	8,0%	2,0%	100,0%
	% within Angio RM Loc	100,0%	100,0%	100,0%	100,0%	100,0%	100,0%	100,0%
	% of Total	36,0%	18,0%	30,0%	6,0%	8,0%	2,0%	100,0%

Symmetric Measures

		Value	Approx. Sig.
Nominal by Nominal	Contingency Coefficient	,764	,000
N of Valid Cases		50	

Apêndice 3.173 – Correlação da variável ip vs RM – tipo de lesão.

			RM CE -Tipo de Lesão					Total
			Outros (Hemor, Lcp, Mcangio)	Hemodinâmico	Embólico	Lacunar	Normal	
IP	Normal	Count	38	24	47	101	37	247
		% within IP	15,4%	9,7%	19,0%	40,9%	15,0%	100,0%
		% within RM-Tipo de Lesão	70,4%	61,5%	55,3%	51,5%	88,1%	59,4%
		% of Total	9,1%	5,8%	11,3%	24,3%	8,9%	59,4%
	Aumentados	Count	16	15	38	95	5	169
		% within IP	9,5%	8,9%	22,5%	56,2%	3,0%	100,0%
		% within RM-Tipo de Lesão	29,6%	38,5%	44,7%	48,5%	11,9%	40,6%
		% of Total	3,8%	3,6%	9,1%	22,8%	1,2%	40,6%
Total	Count	54	39	85	196	42	416	
	% within IP	13,0%	9,4%	20,4%	47,1%	10,1%	100,0%	

% within RM-Tipo de Lesão	100,0%	100,0%	100,0%	100,0%	100,0%	100,0%
% of Total	13,0%	9,4%	20,4%	47,1%	10,1%	100,0%

Symmetric Measures

		Value	Approx. Sig.
Nominal by Nominal	Contingency Coefficient	,228	,000
N of Valid Cases		416	

• TAC vs RM CE e Angio RM

Apêndice 3.174 – Correlação da variável TAC – tipo de lesão vs RM – tipo de lesão.

		RM CE -Tipo de Lesão					Total	
		Outros (Hemor, Lcp, Mcangio)	Hemodinâmico	Embólico	Lacunar	Normal		
TAC CE -Tipo de Lesão	Outros (Hemor, Lcp, Mcangio)	Count	22	3	12	20	4	61
		% within TAC-Tipo de Lesão	36,1%	4,9%	19,7%	32,8%	6,6%	100,0%
		% within RM-Tipo de Lesão	38,6%	6,8%	16,4%	10,9%	10,5%	15,4%
		% of Total	5,6%	,8%	3,0%	5,1%	1,0%	15,4%
Hemodinâmico		Count	3	12	6	9	1	31
		% within TAC-Tipo de Lesão	9,7%	38,7%	19,4%	29,0%	3,2%	100,0%
		% within RM-Tipo de Lesão	5,3%	27,3%	8,2%	4,9%	2,6%	7,8%
		% of Total	,8%	3,0%	1,5%	2,3%	,3%	7,8%
Embólico		Count	2	4	27	14	0	47
		% within TAC-Tipo de Lesão	4,3%	8,5%	57,4%	29,8%	,0%	100,0%
		% within RM-Tipo de Lesão	3,5%	9,1%	37,0%	7,7%	,0%	11,9%
		% of Total	,5%	1,0%	6,8%	3,5%	,0%	11,9%
Lacunar		Count	15	16	18	105	4	158
		% within TAC-Tipo de Lesão	9,5%	10,1%	11,4%	66,5%	2,5%	100,0%
		% within RM-Tipo de Lesão	26,3%	36,4%	24,7%	57,4%	10,5%	40,0%
		% of Total	3,8%	4,1%	4,6%	26,6%	1,0%	40,0%
Normal		Count	15	9	10	35	29	98
		% within TAC-Tipo de Lesão	15,3%	9,2%	10,2%	35,7%	29,6%	100,0%

	% within RM-Tipo de Lesão	26,3%	20,5%	13,7%	19,1%	76,3%	24,8%
	% of Total	3,8%	2,3%	2,5%	8,9%	7,3%	24,8%
Total	Count	57	44	73	183	38	395
	% within TAC-Tipo de Lesão	14,4%	11,1%	18,5%	46,3%	9,6%	100,0%
	% within RM-Tipo de Lesão	100,0%	100,0%	100,0%	100,0%	100,0%	100,0%
	% of Total	14,4%	11,1%	18,5%	46,3%	9,6%	100,0%

Symmetric Measures

		Value	Approx. Sig.
Nominal by Nominal	Contingency Coefficient	,555	,000
N of Valid Cases		395	

Apêndice 3.175 – Correlação da variável TAC – tipo de lesão vs Angio RM – tipo de lesão.

			Angio RM Tipo						Total	
			Normal	Est Ligeira	Estenose Moderada	Est Grave	Est Pré-Oclusiva	Oclusão		Hipoplasia
TAC CE - Tipo de Lesão	Outros (Hemor, Lcp, Mcangio)	Count	6	2	2	0	0	2	1	13
		% within TAC-Tipo de Lesão	46,2%	15,4%	15,4%	,0%	,0%	15,4%	7,7%	100,0%
		% within Angio RM Tipo	24,0%	25,0%	25,0%	,0%	,0%	14,3%	11,1%	17,6%
		% of Total	8,1%	2,7%	2,7%	,0%	,0%	2,7%	1,4%	17,6%
Hemodinâmico		Count	1	0	0	0	2	1	0	4
		% within TAC-Tipo de Lesão	25,0%	,0%	,0%	,0%	50,0%	25,0%	,0%	100,0%
		% within Angio RM Tipo	4,0%	,0%	,0%	,0%	28,6%	7,1%	,0%	5,4%
		% of Total	1,4%	,0%	,0%	,0%	2,7%	1,4%	,0%	5,4%
Embólico		Count	3	0	1	2	0	7	1	14
		% within TAC-Tipo de Lesão	21,4%	,0%	7,1%	14,3%	,0%	50,0%	7,1%	100,0%
		% within Angio RM Tipo	12,0%	,0%	12,5%	66,7%	,0%	50,0%	11,1%	18,9%
		% of Total	4,1%	,0%	1,4%	2,7%	,0%	9,5%	1,4%	18,9%
Lacunar		Count	7	4	5	1	3	4	5	29
		% within TAC-Tipo de Lesão	24,1%	13,8%	17,2%	3,4%	10,3%	13,8%	17,2%	100,0%
		% within Angio RM Tipo	28,0%	50,0%	62,5%	33,3%	42,9%	28,6%	55,6%	39,2%
		% of Total	9,5%	5,4%	6,8%	1,4%	4,1%	5,4%	6,8%	39,2%
Normal		Count	8	2	0	0	2	0	2	14
		% within TAC-Tipo de Lesão	57,1%	14,3%	,0%	,0%	14,3%	,0%	14,3%	100,0%

	% within Angio RM Tipo	32,0%	25,0%	,0%	,0%	28,6%	,0%	22,2%	18,9%
	% of Total	10,8%	2,7%	,0%	,0%	2,7%	,0%	2,7%	18,9%
Total	Count	25	8	8	3	7	14	9	74
	% within TAC-Tipo de Lesão	33,8%	10,8%	10,8%	4,1%	9,5%	18,9%	12,2%	100,0%
	% within Angio RM Tipo	100,0%	100,0%	100,0%	100,0%	100,0%	100,0%	100,0%	100,0%
	% of Total	33,8%	10,8%	10,8%	4,1%	9,5%	18,9%	12,2%	100,0%

Symmetric Measures

		Value	Approx. Sig.
Nominal by Nominal	Contingency Coefficient	,579	,041
N of Valid Cases		74	

Apêndice 3.176 – Correlação da variável TAC – local da lesão vs RM – local da lesão.

			RM CE -Local da Lesão						Total	
			Ant Esq	Ant Dto	Post	Ant bilateral	Ant Esq + Post	Ant Dto + Post		Ant Bil + Post
TAC CE -Local da Lesão	Ant Esq	Count	30	8	3	6	3	1	1	52
		% within TAC-Local da Lesão	57,7%	15,4%	5,8%	11,5%	5,8%	1,9%	1,9%	100,0%
		% within RM-Local da Lesão	57,7%	17,8%	7,1%	22,2%	42,9%	10,0%	3,6%	24,6%
		% of Total	14,2%	3,8%	1,4%	2,8%	1,4%	,5%	,5%	24,6%
Ant Dto	Count	6	24	4	4	1	3	6	48	
		% within TAC-Local da Lesão	12,5%	50,0%	8,3%	8,3%	2,1%	6,3%	12,5%	100,0%
		% within RM-Local da Lesão	11,5%	53,3%	9,5%	14,8%	14,3%	30,0%	21,4%	22,7%
		% of Total	2,8%	11,4%	1,9%	1,9%	,5%	1,4%	2,8%	22,7%
Post	Count	2	0	27	2	0	4	5	40	
		% within TAC-Local da Lesão	5,0%	,0%	67,5%	5,0%	,0%	10,0%	12,5%	100,0%
		% within RM-Local da Lesão	3,8%	,0%	64,3%	7,4%	,0%	40,0%	17,9%	19,0%
		% of Total	,9%	,0%	12,8%	,9%	,0%	1,9%	2,4%	19,0%
Ant bilateral	Count	12	9	6	14	2	0	8	51	
		% within TAC-Local da Lesão	23,5%	17,6%	11,8%	27,5%	3,9%	,0%	15,7%	100,0%
		% within RM-Local da Lesão	23,1%	20,0%	14,3%	51,9%	28,6%	,0%	28,6%	24,2%
		% of Total	5,7%	4,3%	2,8%	6,6%	,9%	,0%	3,8%	24,2%
Ant Esq + Post	Count	1	1	2	0	1	0	1	6	
		% within TAC-Local da Lesão	16,7%	16,7%	33,3%	,0%	16,7%	,0%	16,7%	100,0%

	% within RM-Local da Lesão	1,9%	2,2%	4,8%	,0%	14,3%	,0%	3,6%	2,8%
	% of Total	,5%	,5%	,9%	,0%	,5%	,0%	,5%	2,8%
Ant Dto + Post	Count	0	0	0	0	0	2	2	4
	% within TAC-Local da Lesão	,0%	,0%	,0%	,0%	,0%	50,0%	50,0%	100,0%
	% within RM-Local da Lesão	,0%	,0%	,0%	,0%	,0%	20,0%	7,1%	1,9%
	% of Total	,0%	,0%	,0%	,0%	,0%	,9%	,9%	1,9%
Ant Bil + Post	Count	1	3	0	1	0	0	5	10
	% within TAC-Local da Lesão	10,0%	30,0%	,0%	10,0%	,0%	,0%	50,0%	100,0%
	% within RM-Local da Lesão	1,9%	6,7%	,0%	3,7%	,0%	,0%	17,9%	4,7%
	% of Total	,5%	1,4%	,0%	,5%	,0%	,0%	2,4%	4,7%
Total	Count	52	45	42	27	7	10	28	211
	% within TAC-Local da Lesão	24,6%	21,3%	19,9%	12,8%	3,3%	4,7%	13,3%	100,0%
	% within RM-Local da Lesão	100,0%	100,0%	100,0%	100,0%	100,0%	100,0%	100,0%	100,0%
	% of Total	24,6%	21,3%	19,9%	12,8%	3,3%	4,7%	13,3%	100,0%

Symmetric Measures

		Value	Approx. Sig.
Nominal by Nominal	Contingency Coefficient	,684	,000
N of Valid Cases		211	

Apêndice 3.177 – Correlação da variável TAC – local da lesão vs Angio RM – local da lesão.

			Angio RM Loc						Total
			Ant Esq	Ant Dto	Post	Ant bilateral	Ant Esq + Post	Ant Bil + Post	
TAC CE -Local da Lesão	Ant Esq	Count	7	0	5	1	0	0	13
		% within TAC-Local da Lesão	53,8%	,0%	38,5%	7,7%	,0%	,0%	100,0%
		% within Angio RM Loc	63,6%	,0%	35,7%	50,0%	,0%	,0%	36,1%
		% of Total	19,4%	,0%	13,9%	2,8%	,0%	,0%	36,1%
	Ant Dto	Count	0	1	0	0	2	0	3
		% within TAC-Local da Lesão	,0%	33,3%	,0%	,0%	66,7%	,0%	100,0%
		% within Angio RM Loc	,0%	20,0%	,0%	,0%	66,7%	,0%	8,3%
		% of Total	,0%	2,8%	,0%	,0%	5,6%	,0%	8,3%
	Post	Count	1	3	5	0	0	1	10
		% within TAC-Local da Lesão	10,0%	30,0%	50,0%	,0%	,0%	10,0%	100,0%

	% within Angio RM Loc	9,1%	60,0%	35,7%	,0%	,0%	100,0%	27,8%
	% of Total	2,8%	8,3%	13,9%	,0%	,0%	2,8%	27,8%
Ant bilateral	Count	3	1	3	1	0	0	8
	% within TAC-Local da Lesão	37,5%	12,5%	37,5%	12,5%	,0%	,0%	100,0%
	% within Angio RM Loc	27,3%	20,0%	21,4%	50,0%	,0%	,0%	22,2%
	% of Total	8,3%	2,8%	8,3%	2,8%	,0%	,0%	22,2%
Ant Esq + Post	Count	0	0	1	0	0	0	1
	% within TAC-Local da Lesão	,0%	,0%	100,0%	,0%	,0%	,0%	100,0%
	% within Angio RM Loc	,0%	,0%	7,1%	,0%	,0%	,0%	2,8%
	% of Total	,0%	,0%	2,8%	,0%	,0%	,0%	2,8%
Ant Dto + Post	Count	0	0	0	0	1	0	1
	% within TAC-Local da Lesão	,0%	,0%	,0%	,0%	100,0%	,0%	100,0%
	% within Angio RM Loc	,0%	,0%	,0%	,0%	33,3%	,0%	2,8%
	% of Total	,0%	,0%	,0%	,0%	2,8%	,0%	2,8%
Total	Count	11	5	14	2	3	1	36
	% within TAC-Local da Lesão	30,6%	13,9%	38,9%	5,6%	8,3%	2,8%	100,0%
	% within Angio RM Loc	100,0%	100,0%	100,0%	100,0%	100,0%	100,0%	100,0%
	% of Total	30,6%	13,9%	38,9%	5,6%	8,3%	2,8%	100,0%

Symmetric Measures

		Value	Approx. Sig.
Nominal by Nominal	Contingency Coefficient	,735	,017
N of Valid Cases		36	

• **RM CE vs Angio RM**

Apêndice 3.178 – Correlação da variável RM – tipo de lesão vs Angio RM – tipo de lesão.

			Angio RM Tipo						Total	
			Normal	Est Ligeira	Estenose Moderada	Est Grave	Est Pré-Oclusiva	Oclusão		Hipoplasia
RM CE -Tipo de Lesão	Outros (Hemor, Lcp, Mcangio)	Count	7	1	0	1	0	0	2	11
		% within RM-Tipo de Lesão	63,6%	9,1%	,0%	9,1%	,0%	,0%	18,2%	100,0%
		% within Angio RM Tipo	29,2%	25,0%	,0%	20,0%	,0%	,0%	22,2%	15,9%
		% of Total	10,1%	1,4%	,0%	1,4%	,0%	,0%	2,9%	15,9%
	Hemodinâmico	Count	3	1	4	0	5	4	0	17

	% within RM-Tipo de Lesão	17,6%	5,9%	23,5%	,0%	29,4%	23,5%	,0%	100,0%
	% within Angio RM Tipo	12,5%	25,0%	57,1%	,0%	62,5%	33,3%	,0%	24,6%
	% of Total	4,3%	1,4%	5,8%	,0%	7,2%	5,8%	,0%	24,6%
Embólico	Count	3	0	0	2	1	5	1	12
	% within RM-Tipo de Lesão	25,0%	,0%	,0%	16,7%	8,3%	41,7%	8,3%	100,0%
	% within Angio RM Tipo	12,5%	,0%	,0%	40,0%	12,5%	41,7%	11,1%	17,4%
	% of Total	4,3%	,0%	,0%	2,9%	1,4%	7,2%	1,4%	17,4%
Lacunar	Count	10	2	3	2	2	3	4	26
	% within RM-Tipo de Lesão	38,5%	7,7%	11,5%	7,7%	7,7%	11,5%	15,4%	100,0%
	% within Angio RM Tipo	41,7%	50,0%	42,9%	40,0%	25,0%	25,0%	44,4%	37,7%
	% of Total	14,5%	2,9%	4,3%	2,9%	2,9%	4,3%	5,8%	37,7%
Normal	Count	1	0	0	0	0	0	2	3
	% within RM-Tipo de Lesão	33,3%	,0%	,0%	,0%	,0%	,0%	66,7%	100,0%
	% within Angio RM Tipo	4,2%	,0%	,0%	,0%	,0%	,0%	22,2%	4,3%
	% of Total	1,4%	,0%	,0%	,0%	,0%	,0%	2,9%	4,3%
Total	Count	24	4	7	5	8	12	9	69
	% within RM-Tipo de Lesão	34,8%	5,8%	10,1%	7,2%	11,6%	17,4%	13,0%	100,0%
	% within Angio RM Tipo	100,0%	100,0%	100,0%	100,0%	100,0%	100,0%	100,0%	100,0%
	% of Total	34,8%	5,8%	10,1%	7,2%	11,6%	17,4%	13,0%	100,0%

Symmetric Measures

		Value	Approx. Sig.
Nominal by Nominal	Contingency Coefficient	,595	,036
N of Valid Cases		69	

Apêndice 3.179 – Correlação da variável RM – local da lesão vs Angio RM – local da lesão.

		Angio RM CE Loc						Total
		Ant Esq	Ant Dto	Post	Ant bilateral	Ant Esq + Post	Ant Bil + Post	
RM CE -Local da Ant Esq Lesão	Count	14	1	0	1	0	0	16
	% within RM-Local da Lesão	87,5%	6,3%	,0%	6,3%	,0%	,0%	100,0%
	% within Angio RM Loc	87,5%	16,7%	,0%	50,0%	,0%	,0%	41,0%
	% of Total	35,9%	2,6%	,0%	2,6%	,0%	,0%	41,0%

Ant Dto	Count	1	2	1	0	0	0	4
	% within RM-Local da Lesão	25,0%	50,0%	25,0%	,0%	,0%	,0%	100,0%
	% within Angio RM Loc	6,3%	33,3%	8,3%	,0%	,0%	,0%	10,3%
	% of Total	2,6%	5,1%	2,6%	,0%	,0%	,0%	10,3%
Post	Count	0	0	6	0	1	0	7
	% within RM-Local da Lesão	,0%	,0%	85,7%	,0%	14,3%	,0%	100,0%
	% within Angio RM Loc	,0%	,0%	50,0%	,0%	50,0%	,0%	17,9%
	% of Total	,0%	,0%	15,4%	,0%	2,6%	,0%	17,9%
Ant bilateral	Count	0	0	1	1	0	0	2
	% within RM-Local da Lesão	,0%	,0%	50,0%	50,0%	,0%	,0%	100,0%
	% within Angio RM Loc	,0%	,0%	8,3%	50,0%	,0%	,0%	5,1%
	% of Total	,0%	,0%	2,6%	2,6%	,0%	,0%	5,1%
Ant Esq + Post	Count	0	0	2	0	0	0	2
	% within RM-Local da Lesão	,0%	,0%	100,0%	,0%	,0%	,0%	100,0%
	% within Angio RM Loc	,0%	,0%	16,7%	,0%	,0%	,0%	5,1%
	% of Total	,0%	,0%	5,1%	,0%	,0%	,0%	5,1%
Ant Dto + Post	Count	0	1	2	0	0	1	4
	% within RM-Local da Lesão	,0%	25,0%	50,0%	,0%	,0%	25,0%	100,0%
	% within Angio RM Loc	,0%	16,7%	16,7%	,0%	,0%	100,0%	10,3%
	% of Total	,0%	2,6%	5,1%	,0%	,0%	2,6%	10,3%
Ant Bil + Post	Count	1	2	0	0	1	0	4
	% within RM-Local da Lesão	25,0%	50,0%	,0%	,0%	25,0%	,0%	100,0%
	% within Angio RM Loc	6,3%	33,3%	,0%	,0%	50,0%	,0%	10,3%
	% of Total	2,6%	5,1%	,0%	,0%	2,6%	,0%	10,3%
Total	Count	16	6	12	2	2	1	39
	% within RM-Local da Lesão	41,0%	15,4%	30,8%	5,1%	5,1%	2,6%	100,0%
	% within Angio RM Loc	100,0%	100,0%	100,0%	100,0%	100,0%	100,0%	100,0%
	% of Total	41,0%	15,4%	30,8%	5,1%	5,1%	2,6%	100,0%

Symmetric Measures

		Value	Approx. Sig.
Nominal by Nominal	Contingency Coefficient	,789	,000
N of Valid Cases		39	



• **INDICAÇÃO vs TAC CE, RM CE, Angio RM**

Apêndice 3.180 – Correlação da variável indicação2 vs TAC – tipo de lesão.

			TAC-Tipo de Lesão					Total
			Outros (Hemor, Lcp, Mcangio)	Hemodinâmico	Embólico	Lacunar	Normal	
Indicação2	Sem inf	Count	1	0	3	4	3	11
		% within Indicação2	9,1%	,0%	27,3%	36,4%	27,3%	100,0%
		% within TAC-Tipo de Lesão	,3%	,0%	,8%	,6%	,8%	,6%
		% of Total	,1%	,0%	,2%	,2%	,2%	,6%
	AVC	Count	16	3	7	19	13	58
		% within Indicação2	27,6%	5,2%	12,1%	32,8%	22,4%	100,0%
		% within TAC-Tipo de Lesão	4,0%	2,2%	1,9%	2,8%	3,5%	3,0%
		% of Total	,8%	,2%	,4%	1,0%	,7%	3,0%
	AVC IH Dto	Count	66	45	112	194	88	505
		% within Indicação2	13,1%	8,9%	22,2%	38,4%	17,4%	100,0%
		% within TAC-Tipo de Lesão	16,7%	33,3%	30,7%	28,3%	23,7%	25,9%
		% of Total	3,4%	2,3%	5,7%	9,9%	4,5%	25,9%
	AVC IH Esq	Count	65	50	165	221	104	605
		% within Indicação2	10,7%	8,3%	27,3%	36,5%	17,2%	100,0%
		% within TAC-Tipo de Lesão	16,4%	37,0%	45,2%	32,3%	28,0%	31,0%
		% of Total	3,3%	2,6%	8,5%	11,3%	5,3%	31,0%
	AVC Lacunar	Count	10	6	4	93	10	123
		% within Indicação2	8,1%	4,9%	3,3%	75,6%	8,1%	100,0%
		% within TAC-Tipo de Lesão	2,5%	4,4%	1,1%	13,6%	2,7%	6,3%
		% of Total	,5%	,3%	,2%	4,8%	,5%	6,3%
	AVC Hemor.	Count	9	0	0	2	1	12
		% within Indicação2	75,0%	,0%	,0%	16,7%	8,3%	100,0%
		% within TAC-Tipo de Lesão	2,3%	,0%	,0%	,3%	,3%	,6%
		% of Total	,5%	,0%	,0%	,1%	,1%	,6%
	AVC H H Esq	Count	67	2	1	3	3	76
		% within Indicação2	88,2%	2,6%	1,3%	3,9%	3,9%	100,0%
		% within TAC-Tipo de Lesão	16,9%	1,5%	,3%	,4%	,8%	3,9%
		% of Total	3,4%	,1%	,1%	,2%	,2%	3,9%
	AVC H H Dto	Count	66	1	3	2	0	72
		% within Indicação2	91,7%	1,4%	4,2%	2,8%	,0%	100,0%

		% within TAC-Tipo de Lesão	16,7%	,7%	,8%	,3%	,0%	3,7%
		% of Total	3,4%	,1%	,2%	,1%	,0%	3,7%
AIT		Count	25	5	9	36	54	129
		% within Indicação2	19,4%	3,9%	7,0%	27,9%	41,9%	100,0%
		% within TAC-Tipo de Lesão	6,3%	3,7%	2,5%	5,3%	14,6%	6,6%
		% of Total	1,3%	,3%	,5%	1,8%	2,8%	6,6%
AVC VB		Count	38	9	41	78	51	217
		% within Indicação2	17,5%	4,1%	18,9%	35,9%	23,5%	100,0%
		% within TAC-Tipo de Lesão	9,6%	6,7%	11,2%	11,4%	13,7%	11,1%
		% of Total	1,9%	,5%	2,1%	4,0%	2,6%	11,1%
Outras sem AVC		Count	31	14	20	31	43	139
		% within Indicação2	22,3%	10,1%	14,4%	22,3%	30,9%	100,0%
		% within TAC-Tipo de Lesão	7,8%	10,4%	5,5%	4,5%	11,6%	7,1%
		% of Total	1,6%	,7%	1,0%	1,6%	2,2%	7,1%
TV		Count	2	0	0	2	1	5
		% within Indicação2	40,0%	,0%	,0%	40,0%	20,0%	100,0%
		% within TAC-Tipo de Lesão	,5%	,0%	,0%	,3%	,3%	,3%
		% of Total	,1%	,0%	,0%	,1%	,1%	,3%
Total		Count	396	135	365	685	371	1952
		% within Indicação2	20,3%	6,9%	18,7%	35,1%	19,0%	100,0%
		% within TAC-Tipo de Lesão	100,0%	100,0%	100,0%	100,0%	100,0%	100,0%
		% of Total	20,3%	6,9%	18,7%	35,1%	19,0%	100,0%

Symmetric Measures

		Value	Approx. Sig.
Nominal by Nominal	Contingency Coefficient	,518	,000
N of Valid Cases		1952	

Apêndice 3.181 – Correlação da variável indicação2 vs TAC – local da lesão.

			TAC-Local da Lesão						Total	
			Ant Esq	Ant Dto	Post	Ant bilateral	Ant Esq + Post	Ant Dto + Post		Ant Bil + Post
Indicação2	Sem inf	Count	6	1	0	0	0	0	7	
		% within Indicação2	85,7%	14,3%	,0%	,0%	,0%	,0%	,0%	100,0%
		% within TAC-Local da Lesão	1,7%	,3%	,0%	,0%	,0%	,0%	,0%	,6%
		% of Total	,5%	,1%	,0%	,0%	,0%	,0%	,0%	,6%
AVC		Count	8	4	4	10	0	0	3	29
	% within Indicação2	27,6%	13,8%	13,8%	34,5%	,0%	,0%	10,3%	100,0%	

	% within TAC-Local da Lesão	2,3%	1,2%	2,7%	3,5%	,0%	,0%	6,4%	2,4%
	% of Total	,7%	,3%	,3%	,8%	,0%	,0%	,3%	2,4%
AVC IH Dto	Count	34	196	32	60	5	9	16	352
	% within Indicação2	9,7%	55,7%	9,1%	17,0%	1,4%	2,6%	4,5%	100,0%
	% within TAC-Local da Lesão	9,9%	61,1%	21,8%	21,1%	20,8%	45,0%	34,0%	29,7%
	% of Total	2,9%	16,5%	2,7%	5,1%	,4%	,8%	1,3%	29,7%
AVC IH Esq	Count	223	50	33	105	11	3	11	436
	% within Indicação2	51,1%	11,5%	7,6%	24,1%	2,5%	,7%	2,5%	100,0%
	% within TAC-Local da Lesão	64,8%	15,6%	22,4%	37,0%	45,8%	15,0%	23,4%	36,7%
	% of Total	18,8%	4,2%	2,8%	8,8%	,9%	,3%	,9%	36,7%
AVC Lacunar	Count	18	21	6	51	1	2	5	104
	% within Indicação2	17,3%	20,2%	5,8%	49,0%	1,0%	1,9%	4,8%	100,0%
	% within TAC-Local da Lesão	5,2%	6,5%	4,1%	18,0%	4,2%	10,0%	10,6%	8,8%
	% of Total	1,5%	1,8%	,5%	4,3%	,1%	,2%	,4%	8,8%
AVC Hemor.	Count	1	0	1	0	0	0	0	2
	% within Indicação2	50,0%	,0%	50,0%	,0%	,0%	,0%	,0%	100,0%
	% within TAC-Local da Lesão	,3%	,0%	,7%	,0%	,0%	,0%	,0%	,2%
	% of Total	,1%	,0%	,1%	,0%	,0%	,0%	,0%	,2%
AVC HH Esq	Count	4	0	0	1	0	1	0	6
	% within Indicação2	66,7%	,0%	,0%	16,7%	,0%	16,7%	,0%	100,0%
	% within TAC-Local da Lesão	1,2%	,0%	,0%	,4%	,0%	5,0%	,0%	,5%
	% of Total	,3%	,0%	,0%	,1%	,0%	,1%	,0%	,5%
AVC HH Dto	Count	1	2	1	1	1	0	0	6
	% within Indicação2	16,7%	33,3%	16,7%	16,7%	16,7%	,0%	,0%	100,0%
	% within TAC-Local da Lesão	,3%	,6%	,7%	,4%	4,2%	,0%	,0%	,5%
	% of Total	,1%	,2%	,1%	,1%	,1%	,0%	,0%	,5%
AIT	Count	16	11	4	16	1	0	2	50
	% within Indicação2	32,0%	22,0%	8,0%	32,0%	2,0%	,0%	4,0%	100,0%
	% within TAC-Local da Lesão	4,7%	3,4%	2,7%	5,6%	4,2%	,0%	4,3%	4,2%
	% of Total	1,3%	,9%	,3%	1,3%	,1%	,0%	,2%	4,2%
AVC VB	Count	19	15	53	24	5	3	9	128
	% within Indicação2	14,8%	11,7%	41,4%	18,8%	3,9%	2,3%	7,0%	100,0%
	% within TAC-Local da Lesão	5,5%	4,7%	36,1%	8,5%	20,8%	15,0%	19,1%	10,8%
	% of Total	1,6%	1,3%	4,5%	2,0%	,4%	,3%	,8%	10,8%
Outras sem AVC	Count	14	21	12	15	0	2	1	65
	% within Indicação2	21,5%	32,3%	18,5%	23,1%	,0%	3,1%	1,5%	100,0%

		% within TAC-Local da Lesão	4,1%	6,5%	8,2%	5,3%	,0%	10,0%	2,1%	5,5%
		% of Total	1,2%	1,8%	1,0%	1,3%	,0%	,2%	,1%	5,5%
	TV	Count	0	0	1	1	0	0	0	2
		% within Indicação2	,0%	,0%	50,0%	50,0%	,0%	,0%	,0%	100,0%
		% within TAC-Local da Lesão	,0%	,0%	,7%	,4%	,0%	,0%	,0%	,2%
		% of Total	,0%	,0%	,1%	,1%	,0%	,0%	,0%	,2%
Total	Count	344	321	147	284	24	20	47	1187	
	% within Indicação2	29,0%	27,0%	12,4%	23,9%	2,0%	1,7%	4,0%	100,0%	
	% within TAC-Local da Lesão	100,0%	100,0%	100,0%	100,0%	100,0%	100,0%	100,0%	100,0%	
	% of Total	29,0%	27,0%	12,4%	23,9%	2,0%	1,7%	4,0%	100,0%	

Symmetric Measures

		Value	Approx. Sig.
Nominal by Nominal	Contingency Coefficient	,545	,000
N of Valid Cases		1187	

Apêndice 3.182 – Correlação da variável indicação2 vs RM – tipo de lesão.

			RM-Tipo de Lesão					Total
			Outros (Hemor, Lcp, Mcangio)	Hemodinâmico	Embólico	Lacunar	Normal	
Indicação2	Sem inf	Count	0	0	0	1	0	1
		% within Indicação2	,0%	,0%	,0%	100,0%	,0%	100,0%
		% within RM-Tipo de Lesão	,0%	,0%	,0%	,4%	,0%	,2%
		% of Total	,0%	,0%	,0%	,2%	,0%	,2%
	AVC	Count	0	0	4	8	4	16
		% within Indicação2	,0%	,0%	25,0%	50,0%	25,0%	100,0%
		% within RM-Tipo de Lesão	,0%	,0%	4,1%	3,5%	8,2%	3,2%
		% of Total	,0%	,0%	,8%	1,6%	,8%	3,2%
	AVC IH Dto	Count	8	13	23	61	11	116
		% within Indicação2	6,9%	11,2%	19,8%	52,6%	9,5%	100,0%
		% within RM-Tipo de Lesão	11,9%	26,0%	23,5%	26,6%	22,4%	23,5%
		% of Total	1,6%	2,6%	4,7%	12,4%	2,2%	23,5%
	AVC IH Esq	Count	18	21	39	74	8	160
		% within Indicação2	11,3%	13,1%	24,4%	46,3%	5,0%	100,0%
		% within RM-Tipo de Lesão	26,9%	42,0%	39,8%	32,3%	16,3%	32,5%
		% of Total	3,7%	4,3%	7,9%	15,0%	1,6%	32,5%
AVC Lacunar	Count	2	2	3	22	3	32	

		% within Indicação2	6,3%	6,3%	9,4%	68,8%	9,4%	100,0%
		% within RM-Tipo de Lesão	3,0%	4,0%	3,1%	9,6%	6,1%	6,5%
		% of Total	,4%	,4%	,6%	4,5%	,6%	6,5%
	AVC Hemor.	Count	2	0	0	0	0	2
		% within Indicação2	100,0%	,0%	,0%	,0%	,0%	100,0%
		% within RM-Tipo de Lesão	3,0%	,0%	,0%	,0%	,0%	,4%
		% of Total	,4%	,0%	,0%	,0%	,0%	,4%
	AVC H H Esq	Count	5	0	0	1	0	6
		% within Indicação2	83,3%	,0%	,0%	16,7%	,0%	100,0%
		% within RM-Tipo de Lesão	7,5%	,0%	,0%	,4%	,0%	1,2%
		% of Total	1,0%	,0%	,0%	,2%	,0%	1,2%
	AVC H H Dto	Count	6	0	0	2	1	9
		% within Indicação2	66,7%	,0%	,0%	22,2%	11,1%	100,0%
		% within RM-Tipo de Lesão	9,0%	,0%	,0%	,9%	2,0%	1,8%
		% of Total	1,2%	,0%	,0%	,4%	,2%	1,8%
	AIT	Count	10	2	3	14	6	35
		% within Indicação2	28,6%	5,7%	8,6%	40,0%	17,1%	100,0%
		% within RM-Tipo de Lesão	14,9%	4,0%	3,1%	6,1%	12,2%	7,1%
		% of Total	2,0%	,4%	,6%	2,8%	1,2%	7,1%
	AVC VB	Count	9	4	21	27	9	70
		% within Indicação2	12,9%	5,7%	30,0%	38,6%	12,9%	100,0%
		% within RM-Tipo de Lesão	13,4%	8,0%	21,4%	11,8%	18,4%	14,2%
		% of Total	1,8%	,8%	4,3%	5,5%	1,8%	14,2%
	Outras sem AVC	Count	6	7	5	19	7	44
		% within Indicação2	13,6%	15,9%	11,4%	43,2%	15,9%	100,0%
		% within RM-Tipo de Lesão	9,0%	14,0%	5,1%	8,3%	14,3%	8,9%
		% of Total	1,2%	1,4%	1,0%	3,9%	1,4%	8,9%
	TV	Count	1	1	0	0	0	2
		% within Indicação2	50,0%	50,0%	,0%	,0%	,0%	100,0%
		% within RM-Tipo de Lesão	1,5%	2,0%	,0%	,0%	,0%	,4%
		% of Total	,2%	,2%	,0%	,0%	,0%	,4%
	Total	Count	67	50	98	229	49	493
		% within Indicação2	13,6%	10,1%	19,9%	46,5%	9,9%	100,0%
		% within RM-Tipo de Lesão	100,0%	100,0%	100,0%	100,0%	100,0%	100,0%
		% of Total	13,6%	10,1%	19,9%	46,5%	9,9%	100,0%

Symmetric Measures

		Value	Approx. Sig.
Nominal by Nominal	Contingency Coefficient	,438	,000
N of Valid Cases		493	

Apêndice 3.183 – Correlação da variável indicação2 vs RM – local da lesão.

		RM-Local da Lesão							Total	
		Ant Esq	Ant Dto	Post	Ant bilateral	Ant Esq + Post	Ant Dto + Post	Ant Bil + Post		
Indicação2	Sem inf	Count	0	1	0	0	0	0	0	1
		% within Indicação2	,0%	100,0%	,0%	,0%	,0%	,0%	,0%	100,0%
		% within RM-Local da Lesão	,0%	1,2%	,0%	,0%	,0%	,0%	,0%	,3%
		% of Total	,0%	,3%	,0%	,0%	,0%	,0%	,0%	,3%
	AVC	Count	1	2	1	2	1	2	3	12
		% within Indicação2	8,3%	16,7%	8,3%	16,7%	8,3%	16,7%	25,0%	100,0%
		% within RM-Local da Lesão	1,0%	2,4%	1,4%	3,9%	9,1%	11,8%	6,8%	3,2%
		% of Total	,3%	,5%	,3%	,5%	,3%	,5%	,8%	3,2%
	AVC IH Dto	Count	11	44	16	10	2	5	7	95
		% within Indicação2	11,6%	46,3%	16,8%	10,5%	2,1%	5,3%	7,4%	100,0%
		% within RM-Local da Lesão	11,1%	53,0%	22,5%	19,6%	18,2%	29,4%	15,9%	25,3%
		% of Total	2,9%	11,7%	4,3%	2,7%	,5%	1,3%	1,9%	25,3%
	AVC IH Esq	Count	58	13	22	20	5	3	14	135
		% within Indicação2	43,0%	9,6%	16,3%	14,8%	3,7%	2,2%	10,4%	100,0%
		% within RM-Local da Lesão	58,6%	15,7%	31,0%	39,2%	45,5%	17,6%	31,8%	35,9%
		% of Total	15,4%	3,5%	5,9%	5,3%	1,3%	,8%	3,7%	35,9%
	AVC Lacunar	Count	12	5	2	4	0	0	4	27
		% within Indicação2	44,4%	18,5%	7,4%	14,8%	,0%	,0%	14,8%	100,0%
		% within RM-Local da Lesão	12,1%	6,0%	2,8%	7,8%	,0%	,0%	9,1%	7,2%
		% of Total	3,2%	1,3%	,5%	1,1%	,0%	,0%	1,1%	7,2%
	AVC HH Esq	Count	1	0	0	0	0	0	0	1
		% within Indicação2	100,0%	,0%	,0%	,0%	,0%	,0%	,0%	100,0%
		% within RM-Local da Lesão	1,0%	,0%	,0%	,0%	,0%	,0%	,0%	,3%
		% of Total	,3%	,0%	,0%	,0%	,0%	,0%	,0%	,3%
AVC HH Dto	Count	0	0	0	1	0	0	1	2	
	% within Indicação2	,0%	,0%	,0%	50,0%	,0%	,0%	50,0%	100,0%	
	% within RM-Local da Lesão	,0%	,0%	,0%	2,0%	,0%	,0%	2,3%	,5%	
	% of Total	,0%	,0%	,0%	,3%	,0%	,0%	,3%	,5%	

	AIT	Count	4	3	2	5	2	1	2	19
		% within Indicação2	21,1%	15,8%	10,5%	26,3%	10,5%	5,3%	10,5%	100,0%
		% within RM-Local da Lesão	4,0%	3,6%	2,8%	9,8%	18,2%	5,9%	4,5%	5,1%
		% of Total	1,1%	,8%	,5%	1,3%	,5%	,3%	,5%	5,1%
	AVC VB	Count	4	9	21	4	1	4	9	52
		% within Indicação2	7,7%	17,3%	40,4%	7,7%	1,9%	7,7%	17,3%	100,0%
		% within RM-Local da Lesão	4,0%	10,8%	29,6%	7,8%	9,1%	23,5%	20,5%	13,8%
		% of Total	1,1%	2,4%	5,6%	1,1%	,3%	1,1%	2,4%	13,8%
	Outras sem AVC	Count	8	6	7	5	0	1	4	31
		% within Indicação2	25,8%	19,4%	22,6%	16,1%	,0%	3,2%	12,9%	100,0%
		% within RM-Local da Lesão	8,1%	7,2%	9,9%	9,8%	,0%	5,9%	9,1%	8,2%
		% of Total	2,1%	1,6%	1,9%	1,3%	,0%	,3%	1,1%	8,2%
	TV	Count	0	0	0	0	0	1	0	1
		% within Indicação2	,0%	,0%	,0%	,0%	,0%	100,0%	,0%	100,0%
		% within RM-Local da Lesão	,0%	,0%	,0%	,0%	,0%	5,9%	,0%	,3%
		% of Total	,0%	,0%	,0%	,0%	,0%	,3%	,0%	,3%
Total	Count	99	83	71	51	11	17	44	376	
	% within Indicação2	26,3%	22,1%	18,9%	13,6%	2,9%	4,5%	11,7%	100,0%	
	% within RM-Local da Lesão	100,0%	100,0%	100,0%	100,0%	100,0%	100,0%	100,0%	100,0%	
	% of Total	26,3%	22,1%	18,9%	13,6%	2,9%	4,5%	11,7%	100,0%	

Symmetric Measures

		Value	Approx. Sig.
Nominal by Nominal	Contingency Coefficient	,528	,000
N of Valid Cases		376	

Apêndice 3.184 – Correlação da variável indicação2 vs Angio RM – local da lesão.

			Angio RM Loc					Total	
			Ant Esq	Ant Dto	Post	Ant bilateral	Ant Esq + Post		Ant Bil + Post
Indicação2	AVC I H Dto	Count	4	3	3	2	1	0	13
		% within Indicação2	30,8%	23,1%	23,1%	15,4%	7,7%	,0%	100,0%
		% within Angio RM Loc	18,2%	30,0%	18,8%	66,7%	25,0%	,0%	23,2%
		% of Total	7,1%	5,4%	5,4%	3,6%	1,8%	,0%	23,2%
	AVC I H Esq	Count	15	5	6	0	0	0	26
		% within Indicação2	57,7%	19,2%	23,1%	,0%	,0%	,0%	100,0%
		% within Angio RM Loc	68,2%	50,0%	37,5%	,0%	,0%	,0%	46,4%
		% of Total	26,8%	8,9%	10,7%	,0%	,0%	,0%	46,4%

	AVC Lacunar	Count	0	0	0	0	1	0	1
		% within Indicação2	,0%	,0%	,0%	,0%	100,0%	,0%	100,0%
		% within Angio RM Loc	,0%	,0%	,0%	,0%	25,0%	,0%	1,8%
		% of Total	,0%	,0%	,0%	,0%	1,8%	,0%	1,8%
	AVC Hemor.	Count	0	0	1	0	0	0	1
		% within Indicação2	,0%	,0%	100,0%	,0%	,0%	,0%	100,0%
		% within Angio RM Loc	,0%	,0%	6,3%	,0%	,0%	,0%	1,8%
		% of Total	,0%	,0%	1,8%	,0%	,0%	,0%	1,8%
	AIT	Count	1	0	1	1	1	0	4
		% within Indicação2	25,0%	,0%	25,0%	25,0%	25,0%	,0%	100,0%
		% within Angio RM Loc	4,5%	,0%	6,3%	33,3%	25,0%	,0%	7,1%
		% of Total	1,8%	,0%	1,8%	1,8%	1,8%	,0%	7,1%
	AVC VB	Count	0	1	5	0	1	0	7
		% within Indicação2	,0%	14,3%	71,4%	,0%	14,3%	,0%	100,0%
		% within Angio RM Loc	,0%	10,0%	31,3%	,0%	25,0%	,0%	12,5%
		% of Total	,0%	1,8%	8,9%	,0%	1,8%	,0%	12,5%
	Outras sem AVC	Count	2	1	0	0	0	0	3
		% within Indicação2	66,7%	33,3%	,0%	,0%	,0%	,0%	100,0%
		% within Angio RM Loc	9,1%	10,0%	,0%	,0%	,0%	,0%	5,4%
		% of Total	3,6%	1,8%	,0%	,0%	,0%	,0%	5,4%
TV	Count	0	0	0	0	0	1	1	
	% within Indicação2	,0%	,0%	,0%	,0%	,0%	100,0%	100,0%	
	% within Angio RM Loc	,0%	,0%	,0%	,0%	,0%	100,0%	1,8%	
	% of Total	,0%	,0%	,0%	,0%	,0%	1,8%	1,8%	
Total	Count	22	10	16	3	4	1	56	
	% within Indicação2	39,3%	17,9%	28,6%	5,4%	7,1%	1,8%	100,0%	
	% within Angio RM Loc	100,0%	100,0%	100,0%	100,0%	100,0%	100,0%	100,0%	
	% of Total	39,3%	17,9%	28,6%	5,4%	7,1%	1,8%	100,0%	

Symmetric Measures

		Value	Approx. Sig.
Nominal by Nominal	Contingency Coefficient	,795	,000
N of Valid Cases		56	



• **FATORES DE RISCO NÃO MODIFICÁVEIS vs ÓBITO**

Apêndice 3.185 – Correlação da variável 56anos vs óbito.

			Óbito		Total
			Não	Sim	
56 anos	< 56 anos	Count	798	35	833
		% within 56 anos	95,8%	4,2%	100,0%
	> ou = 56 anos	Count	3354	679	4033
		% within 56 anos	83,2%	16,8%	100,0%
Total		Count	4152	714	4866
		% within 56 anos	85,3%	14,7%	100,0%

**Symmetric Measures**

		Value	Approx. Sig.
Nominal by Nominal	Contingency Coefficient	,133	,000
N of Valid Cases		4866	

• **FATORES DE RISCO MODIFICÁVEIS vs ÓBITO**

Apêndice 3.186 – Correlação d variável HTA vs óbito.

			Óbito		Total
			Não	Sim	
HTA	Não	Count	1253	167	1420
		% within HTA	88,2%	11,8%	100,0%
	Sim	Count	2899	547	3446
		% within HTA	84,1%	15,9%	100,0%
Total		Count	4152	714	4866
		% within HTA	85,3%	14,7%	100,0%

**Symmetric Measures**

		Value	Approx. Sig.
Nominal by Nominal	Contingency Coefficient	,053	,000
N of Valid Cases		4866	

Apêndice 3.187 – Correlação da variável DM vs óbito.

			Óbito		Total
			Não	Sim	
DM	Não	Count	3099	479	3578
		% within DM	86,6%	13,4%	100,0%
	Sim	Count	1053	235	1288
		% within DM	81,8%	18,2%	100,0%

Total	Count	4152	714	4866
	% within DM	85,3%	14,7%	100,0%

Symmetric Measures

		Value	Approx. Sig.
Nominal by Nominal	Contingency Coefficient	,060	,000
N of Valid Cases		4866	

Apêndice 3.188 – Correlação da variável dislipidemia vs óbito.

			Óbito		Total
			Não	Sim	
Dislipid.	Não	Count	2764	529	3293
		% within Dislipid.	83,9%	16,1%	100,0%
	Sim	Count	1388	185	1573
		% within Dislipid.	88,2%	11,8%	100,0%
Total		Count	4152	714	4866
		% within Dislipid.	85,3%	14,7%	100,0%

Symmetric Measures

		Value	Approx. Sig.
Nominal by Nominal	Contingency Coefficient	,057	,000
N of Valid Cases		4866	

Apêndice 3.189 – Correlação da variável FA vs óbito.

			Óbito		Total
			Não	Sim	
ECG FA	Não	Count	3699	546	4245
		% within ECG FA	87,1%	12,9%	100,0%
	Sim	Count	453	168	621
		% within ECG FA	72,9%	27,1%	100,0%
Total		Count	4152	714	4866
		% within ECG FA	85,3%	14,7%	100,0%

Symmetric Measures

		Value	Approx. Sig.
Nominal by Nominal	Contingency Coefficient	,133	,000
N of Valid Cases		4866	

Apêndice 3.190 – Correlação da variável CE vs óbito.

			Óbito		Total
			Não	Sim	
Ecocard CE	Não	Count	3945	646	4591
		% within Ecocard CE	85,9%	14,1%	100,0%
	Sim	Count	207	68	275
		% within Ecocard CE	75,3%	24,7%	100,0%
Total		Count	4152	714	4866
		% within Ecocard CE	85,3%	14,7%	100,0%

Symmetric Measures

		Value	Approx. Sig.
Nominal by Nominal	Contingency Coefficient	,069	,000
N of Valid Cases		4866	

- AVC vs ÓBITO

Apêndice 3.191 – Correlação da variável com ou sem AVC vs óbito.

			Óbito		Total
			Não	Sim	
Com ou sem AVC	Não	Count	2078	102	2180
		% within Com ou sem AVC	95,3%	4,7%	100,0%
	Sim	Count	2074	612	2686
		% within Com ou sem AVC	77,2%	22,8%	100,0%
Total		Count	4152	714	4866
		% within Com ou sem AVC	85,3%	14,7%	100,0%

Symmetric Measures

		Value	Approx. Sig.
Nominal by Nominal	Contingency Coefficient	,247	,000
N of Valid Cases		4866	

Apêndice 3.192 – Correlação da variável AVC isquêmico vs óbito.

			Óbito		Total
			Não	Sim	
AVC Isquêmico	Não	Count	2251	160	2411
		% within AVC Isquêmico	93,4%	6,6%	100,0%
	Sim	Count	1901	554	2455
		% within AVC Isquêmico	77,4%	22,6%	100,0%
Total		Count	4152	714	4866

			Óbito		Total
			Não	Sim	
AVC Isquêmico	Não	Count	2251	160	2411
		% within AVC Isquêmico	93,4%	6,6%	100,0%
	Sim	Count	1901	554	2455
		% within AVC Isquêmico	77,4%	22,6%	100,0%
Total		Count	4152	714	4866
		% within AVC Isquêmico	85,3%	14,7%	100,0%

Symmetric Measures

		Value	Approx. Sig.
Nominal by Nominal	Contingency Coefficient	,220	,000
N of Valid Cases		4866	

Apêndice 3.193 – Correlação da variável AVC hemorrágico vs óbito.

			Óbito		Total
			Não	Sim	
AVC Hemorrágico	Não	Count	3990	658	4648
		% within AVC Hemorrágico	85,8%	14,2%	100,0%
	Sim	Count	162	56	218
		% within AVC Hemorrágico	74,3%	25,7%	100,0%
Total		Count	4152	714	4866
		% within AVC Hemorrágico	85,3%	14,7%	100,0%

Symmetric Measures

		Value	Approx. Sig.
Nominal by Nominal	Contingency Coefficient	,067	,000
N of Valid Cases		4866	

# Apêndice do capítulo VI – Análise de regressão

## Apêndice 4 - Regressão logística

- INDICAÇÃO vs FATORES de RISCO

### Apêndice 4.1 - AVC vs fatores de risco modificáveis e não modificáveis.

```
. probit AVC sexo idade antpavc antpeam infgenavc infgeneam hta dm displp Fumador fa ce, vce (robust)
```

```
Iteration 0: log pseudolikelihood = -3327.1538
Iteration 1: log pseudolikelihood = -3004.6356
Iteration 2: log pseudolikelihood = -2998.8685
Iteration 3: log pseudolikelihood = -2998.8579
```

```
Probit regression      Number of obs   =      4842
                      Wald chi2(12)      =      497.14
                      Prob > chi2       =      0.0000
                      Pseudo R2        =      0.0987
Log pseudolikelihood = -2998.8579
```

AVC	Coef.	Robust Std. Err.	z	P> z	[95% Conf. Interval]	
sexo	-.0381099	.0398287	-0.96	0.339	-.1161727	.0399528
idade	.013175	.0014398	9.15	0.000	.010353	.015997
antpavc	.1132957	.0520858	2.18	0.030	.0112094	.2153821
antpeam	-.277034	.0815427	-3.40	0.001	-.4368548	-.1172133
infgenavc	.8676938	.0805415	10.77	0.000	.7098353	1.025552
infgeneam	.6350452	.105871	6.00	0.000	.4275418	.8425486
hta	.4192613	.0436329	9.61	0.000	.3337423	.5047803
dm	.0133013	.0448243	0.30	0.767	-.0745527	.1011553
dislp	-.0839439	.0425628	-1.97	0.049	-.1673655	-.0005223
Fumador	.3628856	.0536976	6.76	0.000	.2576402	.468131
fa	.272321	.0589332	4.62	0.000	.156814	.387828
ce	.8090203	.1011464	8.00	0.000	.610777	1.007264
_cons	-1.264236	.1050876	-12.03	0.000	-1.470204	-1.058268

```
. mfx compute, dydx at(mean)
```

```
Marginal effects after probit
y = Pr(AVC) (predict)
= .56432405
```

variable	dy/dx	Std. Err.	z	P> z	[ 95% C.I. ]		X
sexo*	-.0150074	.01568	-0.96	0.339	-.045749	.015734	.470673
idade	.0051876	.00057	9.15	0.000	.004076	.006299	68.8362
antpavc*	.0442959	.02019	2.19	0.028	.004724	.083868	.179265
antpeam*	-.1100788	.03235	-3.40	0.001	-.173486	-.046672	.061338
infgen~c*	.2959295	.0213	13.89	0.000	.254183	.337676	.090045
infgen~m*	.2260254	.03189	7.09	0.000	.163516	.288535	.048121
hta*	.1655897	.01709	9.69	0.000	.132085	.199095	.708385
dm*	.0052346	.01763	0.30	0.767	-.029321	.03979	.264147
dislp*	-.033119	.01682	-1.97	0.049	-.066086	-.000152	.323007
Fumador*	.1388003	.01968	7.05	0.000	.100219	.177382	.1962
fa*	.1046384	.02191	4.78	0.000	.0617	.147577	.12784
ce*	.2763267	.02693	10.26	0.000	.223545	.329108	.056588

(\*) dy/dx is for discrete change of dummy variable from 0 to 1

```
. logit AVC sexo idade antpavc antpeam infgenavc infgeneam hta dm disp Fumador fa ce, vce (robust)
```

```
Iteration 0: log pseudolikelihood = -3327.1538
Iteration 1: log pseudolikelihood = -3005.3858
Iteration 2: log pseudolikelihood = -2994.744
Iteration 3: log pseudolikelihood = -2994.6049
Iteration 4: log pseudolikelihood = -2994.6048
```

```
Logistic regression      Number of obs   =   4842
                        wald chi2(12)    =   463.32
                        Prob > chi2     =   0.0000
Log pseudolikelihood = -2994.6048      Pseudo R2     =   0.0999
```

AVC	Coef.	Robust Std. Err.	z	P> z	[95% Conf. Interval]
sexo	-.0670733	.0653487	-1.03	0.305	-.1951544 .0610079
idade	.0216103	.0023731	9.11	0.000	.0169591 .0262615
antpavc	-.2041205	.0866887	2.35	0.019	-.3740273 -.0342138
antpeam	-.4588793	.1341878	-3.42	0.001	-.7218826 -.195876
infgenavc	1.506265	.1447566	10.41	0.000	1.222548 1.789983
infgeneam	1.112691	.1829382	6.08	0.000	.7541387 1.471243
hta	.679704	.0710061	9.57	0.000	.5405346 .8188735
dm	.0237548	.0737726	0.32	0.747	-.1208368 .1683464
disp	-.1381983	.0700557	-1.97	0.049	-.2755049 -.0008917
Fumador	.6174626	.0902784	6.84	0.000	.4405201 .794405
fa	.4463821	.0965907	4.62	0.000	.2570679 .6356964
ce	1.407628	.1794331	7.84	0.000	1.055946 1.759311
_cons	-2.075794	.1743044	-11.91	0.000	-2.417424 -1.734164

```
. mfx compute, dydx at(mean)
```

```
Marginal effects after logit
y = Pr(AVC) (predict)
= .5692573
```

variable	dy/dx	Std. Err.	z	P> z	[ 95% C.I. ]	X
sexo*	-.0164496	.01603	-1.03	0.305	-.047862 .014963	.470673
idade	.0052989	.00058	9.10	0.000	.004158 .00644	68.8362
antpavc*	.0495081	.02074	2.39	0.017	.008857 .090159	.179265
antpeam*	-.11405	.03332	-3.42	0.001	-.179347 -.048753	.061338
infgen-c*	.3030811	.02066	14.67	0.000	.262581 .343581	.090045
infgen-m*	.2360732	.03066	7.70	0.000	.175976 .296171	.048121
hta*	.167542	.01734	9.66	0.000	.133555 .20153	.708385
dm*	.0058201	.01806	0.32	0.747	-.029576 .041217	.264147
disp*	-.0339838	.01727	-1.97	0.049	-.067831 -.000137	.323007
Fumador*	.1452939	.01999	7.27	0.000	.10611 .184478	.1962
fa*	.1058732	.02191	4.83	0.000	.062922 .148825	.12784
ce*	.2833382	.02578	10.99	0.000	.232806 .33387	.056588

(\*) dy/dx is for discrete change of dummy variable from 0 to 1

```
. predict XBp, xb
```

```
. gen XBp2=XBp^2
```

```
. gen XBp3=XBp^3
```

```
. logit AVC sexo idade antpavc antpeam infgenavc infgeneam hta dm disp Fumador
> fa ce XBp2 XBp3, vce (robust)
```

```
Iteration 0: log pseudolikelihood = -3327.1538
Iteration 1: log pseudolikelihood = -2984.8594
Iteration 2: log pseudolikelihood = -2978.0205
Iteration 3: log pseudolikelihood = -2977.97
Iteration 4: log pseudolikelihood = -2977.97
```

```
Logistic regression      Number of obs   =   4842
                        wald chi2(14)    =   545.54
                        Prob > chi2     =   0.0000
Log pseudolikelihood = -2977.97      Pseudo R2     =   0.1049
```

AVC	Coef.	Robust Std. Err.	z	P> z	[95% Conf. Interval]
sexo	-.0697529	.0662372	-1.05	0.292	-.1995753 .0600696
idade	.0205915	.002622	7.85	0.000	.0154526 .0257305
antpavc	.2479082	.0858104	2.89	0.004	.079723 .4160935
antpeam	-.5220686	.1371506	-3.81	0.000	-.7908787 -.2532584
infgenavc	2.194413	.1877391	11.69	0.000	1.826451 2.562375
infgeneam	1.498706	.1857891	8.07	0.000	1.134566 1.862846
hta	.6764188	.0743107	9.10	0.000	.5307726 .822065
dm	.0249969	.0734658	0.34	0.734	-.1189934 .1689872
disp	-.1795492	.0713283	-2.52	0.012	-.3193501 -.0397483
Fumador	.7018354	.0902325	7.78	0.000	.524983 .8786879
fa	.543779	.0961922	5.65	0.000	.3552457 .7323122
ce	2.116486	.2203842	9.60	0.000	1.684541 2.548431
XBp2	-.2501639	.0694398	-3.60	0.000	-.3862634 -.1140643
XBp3	-.001461	.0185361	-0.08	0.937	-.037791 .034869
_cons	-1.955849	.2041367	-9.58	0.000	-2.355949 -1.555748

### Teste LR

```
. display 2*(-2977.97+2994.6048)
33.2696
```

```
. display chiprob(2,33.2696)
5.965e-08
```

### Apêndice 4.2 - Logit de AVC vs fatores de risco modificáveis e não modificáveis com fatores não lineares.

```
. logit AVC sexo idade idade2 antpavc antpeam infgenavc infgeneam hta dm disp Fumador fa ce htadm htadislp htafmdr dmdislp dmfmldr dispfmdr
> dmfa dispfa fafmdr htafa, vce(robust)
```

```
Iteration 0: log pseudolikelihood = -3327.1538
Iteration 1: log pseudolikelihood = -2975.0444
Iteration 2: log pseudolikelihood = -2963.6114
Iteration 3: log pseudolikelihood = -2963.4626
Iteration 4: log pseudolikelihood = -2963.4625

Logistic regression      Number of obs =      4842
                        Wald chi2(23) =      525.99
                        Prob > chi2 =      0.0000
Log pseudolikelihood = -2963.4625      Pseudo R2 =      0.1093
```

AVC	Coef.	Robust Std. Err.	z	P> z	[95% Conf. Interval]	
sexo	-.0696747	.0661194	-1.05	0.292	-.1992664	.059917
idade	.0301733	.0164856	1.83	0.067	-.002138	.0624846
idade2	-.0000698	.0001288	-0.54	0.588	-.0003223	.0001826
antpavc	.2071041	.0866218	2.39	0.017	.0373284	.3768798
antpeam	-.4303898	.135718	-3.17	0.002	-.6963922	-.1643873
infgenavc	1.49614	.1446354	10.34	0.000	1.21266	1.77962
infgeneam	1.085515	.1856541	5.85	0.000	.72164	1.449391
hta	1.02539	.0963271	10.64	0.000	.8365923	1.214187
dm	.0768381	.1099276	0.70	0.485	-.138616	.2922921
disp	-.3933751	.1333298	-2.95	0.003	-.6546968	-.1320534
Fumador	.118473	.3711242	0.32	0.750	-.6089171	.8458632
fa	.4013005	.2354517	1.70	0.088	-.0601764	.8627774
ce	1.452059	.1806141	8.04	0.000	1.098062	1.806056
htadm	-.6207296	.1965256	-3.16	0.002	-1.005913	-.2355465
htadislp	-.5201695	.1775123	-2.93	0.003	-.8680872	-.1722518
htafmdr	-.6831509	.1907625	-3.58	0.000	-1.057038	-.3092633
dmdislp	-.2433121	.1518128	-1.60	0.109	-.5408597	.0542354
dmfmldr	.0222129	.1904459	0.12	0.907	-.3510543	.3954801
dispfmdr	-.3592709	.17354	-2.07	0.038	-.6994031	-.0191387
dmfa	-.5345595	.2304038	-2.32	0.020	-.9861427	-.0829763
dispfa	.5155299	.2366072	2.18	0.029	.0517882	.9792715
fafmdr	-.0719039	.3479557	-0.21	0.836	-.7538846	.6100769
htafa	-.1685239	.2203789	-0.76	0.444	-.6004586	.2634108
_cons	.0693903	.7689269	0.09	0.928	-1.437679	1.576459

```
. mfx compute, dydx at(mean)
```

Marginal effects after logit  
y = Pr(AVC) (predict)  
= .56802515

variable	dy/dx	Std. Err.	z	P> z	[ 95% C.I. ]		x
sexo*	-.0170994	.01623	-1.05	0.292	-.048904	.014705	.470673
idade	.0074037	.00405	1.83	0.067	-.000528	.015335	68.8362
idade2*	-.0000171	.00003	-0.54	0.588	-.000079	.000045	4933.51
antpavc*	.0502651	.02074	2.42	0.015	.009622	.090909	.179265
antpeam*	-.106993	.03375	-3.17	0.002	-.173136	-.04085	.061338
infgen~c*	.3021697	.02084	14.50	0.000	.261332	.343007	.090045
infgen~m*	.2318586	.03164	7.33	0.000	.169854	.293863	.048121
hta*	.2506637	.0227	11.04	0.000	.206168	.295159	.708385
dm*	.0188038	.02682	0.70	0.483	-.033769	.071377	.264147
disp*	-.097023	.0329	-2.95	0.003	-.161516	-.032531	.323007
Fumador*	.028911	.09001	0.32	0.748	-.147505	.205327	.1962
fa*	.0956858	.05408	1.77	0.077	-.010307	.201679	.12784
ce*	.290275	.02538	11.44	0.000	.240536	.340014	.056588
htadm*	-.1425856	.04111	-3.47	0.001	-.223169	-.062002	.967369
htadislp*	-.1214975	.03875	-3.14	0.002	-.197437	-.045558	.946716
htafmdr*	-.156148	.03939	-3.96	0.000	-.233342	-.078954	.944444
dmdislp*	-.0589884	.03627	-1.63	0.104	-.130076	.012099	.792028
dmfmldr*	.0054563	.04683	0.12	0.907	-.086327	.097239	.86328
dispf~r*	-.0858842	.04011	-2.14	0.032	-.1645	-.007268	.888682
dmfa*	-.1253358	.05075	-2.47	0.014	-.224804	-.025868	.902933
dispfa*	.1280405	.05851	2.19	0.029	.013356	.242725	.904998
fafmdr*	-.0175844	.08479	-0.21	0.836	-.183775	.148606	.818257
htafa*	-.0408235	.0526	-0.78	0.438	-.143918	.062271	.969847

(\*) dy/dx is for discrete change of dummy variable from 0 to 1

Apêndice 4.3 - AVC isquêmico vs fatores de risco modificáveis e não modificáveis.

```
. probit AVCI sexo idade antpavc antpeam infngenavc infgeneam hta dm displ Fumador f
> a ce, vce(robust)
```

```
Iteration 0: log pseudolikelihood = -3203.1845
Iteration 1: log pseudolikelihood = -2875.2766
Iteration 2: log pseudolikelihood = -2869.3609
Iteration 3: log pseudolikelihood = -2869.3513
Iteration 4: log pseudolikelihood = -2869.3513

Probit regression                               Number of obs =      4633
                                                wald chi2(12) =     503.70
                                                Prob > chi2 =       0.0000
Log pseudolikelihood = -2869.3513              Pseudo R2 =         0.1042
```

AVCI	Coef.	Robust Std. Err.	z	P> z	[95% Conf. Interval]
sexo	-.0013068	.040698	-0.03	0.974	-.0810734 .0784597
idade	.0139133	.0014826	9.38	0.000	.0110074 .0168192
antpavc	.1187135	.052978	2.24	0.025	.0148786 .2225485
antpeam	-.2618947	.0831786	-3.15	0.002	-.4249218 -.0988676
infngenavc	.9029262	.0813221	11.10	0.000	.7435378 1.062315
infgeneam	.637062	.1062671	5.99	0.000	.4284265 .8449859
hta	.4072351	.0446616	9.12	0.000	.3197001 .4947701
dm	.0183457	.0457755	0.40	0.689	-.0713725 .108064
dislp	-.0683626	.0434613	-1.57	0.116	-.1535451 .01682
Fumador	.393498	.0546573	7.20	0.000	.2863716 .5006243
fa	.2934868	.0598114	4.91	0.000	.1762606 .4107171
ce	.813108	.1025919	7.96	0.000	.6152345 1.017387
_cons	-1.41188	.1084584	-13.02	0.000	-1.624455 -1.199306

```
. mfx compute, dydx at(mean)
```

```
Marginal effects after probit
y = Pr(AVCI) (predict)
= .53687518
```

variable	dy/dx	Std. Err.	z	P> z	[ 95% C.I. ]	x
sexo*	-.0005191	.01617	-0.03	0.974	-.032206 .031167	.475286
idade	.0055269	.00059	9.38	0.000	.004373 .006681	68.8088
antpavc*	.0469307	.02081	2.26	0.024	.006142 .08772	.179797
antpeam*	-.1041579	.03281	-3.17	0.002	-.168467 -.039849	.062379
infngen-c*	.3152733	.02221	14.19	0.000	.271735 .358812	.090654
infngen-m*	.2329559	.03359	6.94	0.000	.167122 .29879	.04878
hta*	.1613406	.01746	9.24	0.000	.127117 .195564	.704295
dm*	.0072845	.01817	0.40	0.688	-.028324 .042893	.265487
dislp*	-.0271789	.01729	-1.57	0.116	-.061067 .006709	.325491
Fumador*	.1525505	.02037	7.49	0.000	.112628 .192473	.196201
fa*	.1143356	.02263	5.05	0.000	.069988 .158683	.128427
ce*	.2872602	.02877	9.99	0.000	.23088 .343641	.055687

(\*) dy/dx is for discrete change of dummy variable from 0 to 1  
 . logit AVCI sexo idade antpavc antpeam infngenavc infgeneam hta dm displ Fumador fa
 > ce, vce(robust)

```
Iteration 0: log pseudolikelihood = -3203.1845
Iteration 1: log pseudolikelihood = -2875.2766
Iteration 2: log pseudolikelihood = -2865.5274
Iteration 3: log pseudolikelihood = -2865.4144
Iteration 4: log pseudolikelihood = -2865.4143

Logistic regression                               Number of obs =      4633
                                                wald chi2(12) =     466.16
                                                Prob > chi2 =       0.0000
Log pseudolikelihood = -2865.4143              Pseudo R2 =         0.1054
```

AVCI	Coef.	Robust Std. Err.	z	P> z	[95% Conf. Interval]
sexo	-.0074241	.0667715	-0.11	0.911	-.1382938 .1234456
idade	.0228722	.0024548	9.32	0.000	.0180608 .0276836
antpavc	.2115827	.088072	2.40	0.016	.0389648 .3842006
antpeam	-.4320218	.137925	-3.14	0.002	-.7016981 -.1623455
infngenavc	1.558022	.1453096	10.72	0.000	1.27322 1.842823
infgeneam	1.111014	.1826819	6.08	0.000	.7529638 1.469064
hta	.6617005	.0728341	9.09	0.000	.5189482 .8044528
dm	.030877	.0753273	0.41	0.682	-.1167618 .1785157
dislp	-.1134291	.0715544	-1.59	0.113	-.2536732 .026815
Fumador	.6662679	.0917182	7.26	0.000	.4865034 .8460323
fa	.4794226	.097686	4.91	0.000	.2879615 .6708836
ce	1.411195	.1802999	7.83	0.000	1.057814 1.764576
_cons	-2.319897	.1810374	-12.81	0.000	-2.674724 -1.96507

```
. mfx compute, dydx at(mean)
```

```
Marginal effects after logit
y = Pr(AVCI) (predict)
= .54118225
```

variable	dy/dx	Std. Err.	z	P> z	[ 95% C.I. ]	x
sexo*	-.0018435	.01658	-0.11	0.911	-.03434 .030653	.475286
idade	.0056793	.00061	9.31	0.000	.004484 .006875	68.8088
antpavc*	.0521384	.02148	2.43	0.015	.010036 .094241	.179797
antpeam*	-.1075722	.03392	-3.17	0.002	-.174055 -.041089	.062379
infngen-c*	.3235059	.02163	14.96	0.000	.281114 .365898	.090654
infngen-m*	.244703	.03262	7.50	0.000	.180772 .308634	.04878
hta*	.1638968	.01775	9.23	0.000	.129104 .198689	.704295
dm*	.0076621	.01868	0.41	0.682	-.028949 .044273	.265487
dislp*	-.0282007	.01781	-1.58	0.113	-.063102 .0067	.325491
Fumador*	.1597372	.02078	7.69	0.000	.119016 .200458	.196201
fa*	.1158871	.02269	5.11	0.000	.071407 .160367	.128427
ce*	.2956172	.02769	10.68	0.000	.241346 .349888	.055687

(\*) dy/dx is for discrete change of dummy variable from 0 to 1



```
. predict Xbp, xb
. gen Xbp2=Xbp^2
. gen Xbp3=Xbp^3
. logit AVCI sexo idade antpavc antpeam infgenavc infgeneam hta dm disp Fumador fa ce Xbp2 Xbp3, vce(robust)
Iteration 0: log pseudolikelihood = -3203.1845
Iteration 1: log pseudolikelihood = -2856.4085
Iteration 2: log pseudolikelihood = -2849.1588
Iteration 3: log pseudolikelihood = -2849.104
Iteration 4: log pseudolikelihood = -2849.104
Logistic regression                               Number of obs =      4633
                                                    wald chi2(14) =     544.42
                                                    Prob > chi2 =       0.0000
                                                    Pseudo R2 =         0.1105
Log pseudolikelihood = -2849.104
```

AVCI	Coef.	Robust Std. Err.	z	P> z	[95% Conf. Interval]
sexo	-.0053298	.0676931	-0.08	0.937	-.1380057 .1273462
idade	.0208146	.0028126	7.40	0.000	.0153019 .0263273
antpavc	.244101	.0869558	2.81	0.005	.0736707 .4145312
antpeam	-.4754779	.1402993	-3.39	0.001	-.7504596 -.2004963
infgenavc	2.171383	.1794193	12.10	0.000	1.819727 2.523038
infgeneam	1.427803	.1804449	7.91	0.000	1.074138 1.781469
hta	.6290611	.0776288	8.10	0.000	.4769116 .7812107
dm	.0328185	.0749719	0.44	0.662	-.1141236 .1797606
disp	-.1448902	.0725147	-2.00	0.046	-.2870165 -.0027639
Fumador	.724752	.0912275	7.92	0.000	.5436686 .9012738
fa	.5588427	.0966329	5.78	0.000	.3694457 .7482397
ce	2.018861	.2091761	9.65	0.000	1.608883 2.428839
Xbp2	-.2376166	.0639349	-3.72	0.000	-.3629267 -.1123065
Xbp3	-.0022003	.0178721	-0.12	0.902	-.0372291 .0328284
_cons	-2.103937	.2246692	-9.36	0.000	-2.544281 -1.663594

### Teste LR

```
. display 2*(-2849.104+2865.4143)
32.6206
. display chiprob(2,32.6206)
8.251e-08
```

## Apêndice 4.4 - Logit de AVC isquêmico vs fatores de risco modificáveis e não modificáveis com fatores não lineares.

```
. logit AVCI sexo idade idade2 antpavc antpeam infgenavc infgeneam hta dm disp Fuma
> dor fa ce htadm htadislp htafmldr dispdmdm dmfmldr dispfmdr dmfa dispdfa fafmdr htaf
> a, vce(robust)
Iteration 0: log pseudolikelihood = -3203.1845
Iteration 1: log pseudolikelihood = -2846.6881
Iteration 2: log pseudolikelihood = -2835.3503
Iteration 3: log pseudolikelihood = -2835.2221
Iteration 4: log pseudolikelihood = -2835.2221
Logistic regression                               Number of obs =      4633
                                                    wald chi2(23) =     525.68
                                                    Prob > chi2 =       0.0000
                                                    Pseudo R2 =         0.1149
Log pseudolikelihood = -2835.2221
```

AVCI	Coef.	Robust Std. Err.	z	P> z	[95% Conf. Interval]
sexo	-.0061761	.0675009	-0.09	0.927	-.1384754 .1261233
idade	.0276864	.0172185	1.61	0.108	-.0060611 .061434
idade2	-.00004	.0001339	-0.30	0.765	-.0003024 .0002224
antpavc	.2157882	.0879209	2.45	0.014	.0434663 .3881101
antpeam	-.4034846	.1394869	-2.89	0.004	-.6768738 -.1300953
infgenavc	1.546313	.145153	10.65	0.000	1.261818 1.830808
infgeneam	1.082424	.1850468	5.85	0.000	.7197387 1.445109
hta	1.021966	.0994335	10.28	0.000	.8270802 1.216852
dm	-.1466139	.1312196	-1.12	0.264	-.4037995 .1105718
disp	-.1235841	.1054469	-1.17	0.241	-.3302562 .083088
Fumador	.1595236	.3760741	0.42	0.671	-.5775681 .8966153
fa	.4292369	.2347235	1.83	0.067	-.0308127 .892865
ce	1.459221	.1819665	8.02	0.000	1.102573 1.815869
htadm	-.6480102	.2000713	-3.24	0.001	-1.040143 -.2558776
htadislp	-.5055336	.1814789	-2.79	0.005	-.8612256 -.1498416
htafmldr	-.6673182	.1941045	-3.44	0.001	-1.047756 -.2868804
dislpdmdm	-.2206692	.154176	-1.43	0.152	-.5228486 .0815103
dmfmldr	-.0216314	.1932227	0.11	0.911	-.3570781 .4003408
dispfmdr	-.3782373	.1769394	-2.14	0.033	-.7250321 -.0314426
dmfa	-.554551	.2329094	-2.38	0.017	-1.011045 -.098057
dislpdfa	-.5473176	.2373057	-2.31	0.021	-.082207 1.012428
fafmldr	-.0796353	.3512069	-0.23	0.821	-.7679881 .6087175
htafa	-.2214511	.2231986	-0.99	0.321	-.6589124 .2161012
_cons	-.0368428	.7936527	-0.05	0.963	-1.592373 1.518688

```

.mfx compute, dydx at(mean)
Marginal effects after logit
y = Pr(AVCH) (predict)
= .53949107

```

variable	dy/dx	Std. Err.	z	P> z	[	95% C.I.	]	X
sexo*	-.0015344	.01677	-0.09	0.927	-.034404	.031335	.475286	
idade	.0068784	.00428	1.61	0.108	-.001508	.015265	68.8088	
idade2	-9.93e-06	.00003	-0.30	0.765	-.000075	.000055	4930.79	
antpavc*	.053206	.02146	2.48	0.013	.011153	.095259	.179797	
antpeam*	-.1005221	.03446	-2.92	0.004	-.168067	-.032977	.062379	
infngen~c*	.3224593	.02184	14.77	0.000	.279662	.365256	.090654	
infngen~m*	.2400195	.03361	7.14	0.000	.17415	.305889	.04878	
hta*	.2499245	.02316	10.79	0.000	.204526	.295323	.704295	
dm*	-.036497	.0327	-1.12	0.264	-.100596	.027602	.265487	
dislp*	-.0307424	.02625	-1.17	0.242	-.082199	.020715	.325491	
Fumador*	.0394375	.09241	0.43	0.670	-.141679	.220554	.196201	
fa*	.1042747	.0552	1.89	0.059	-.00391	.212459	.128427	
ce*	.3036707	.02733	11.11	0.000	.250114	.357227	.035687	
htadm*	-.1525754	.04331	-3.52	0.000	-.23747	-.067681	.966544	
htadislp*	-.1212683	.0413	-2.94	0.003	-.202216	-.04032	.945823	
htafmdr*	-.1572573	.04212	-3.73	0.000	-.239808	-.074706	.944097	
dislpdm*	-.0543527	.03755	-1.45	0.148	-.12795	.019244	.852579	
dmfmdr*	.0053773	.04806	0.11	0.911	-.088819	.099574	.864019	
dislpf~r*	-.0921354	.04191	-2.20	0.028	-.174268	-.010003	.888409	
dmfa*	-.1329506	.0529	-2.51	0.012	-.236629	-.029272	.902655	
dislpfa*	.1358469	.05777	2.35	0.019	.022627	.249067	.905461	
fafmdr*	-.0197394	.08683	-0.23	0.820	-.189927	.150448	.81826	
htafa*	-.0543691	.05396	-1.01	0.314	-.160133	.051395	.96935	

(\*) dy/dx is for discrete change of dummy variable from 0 to 1

### Apêndice 4.5 - AVC hemorrágico vs fatores de risco modificáveis e não modificáveis.

```

.logit AVCH sexo idade antpavc antpeam infngenavc infgeneam hta dm dislp Fumador fa ce, vce(robust
> )

```

```

Iteration 0: log pseudolikelihood = -725.92378
Iteration 1: log pseudolikelihood = -691.82432
Iteration 2: log pseudolikelihood = -683.90993
Iteration 3: log pseudolikelihood = -683.85445
Iteration 4: log pseudolikelihood = -683.85444

```

```

Logistic regression      Number of obs   =      2374
                        Wald chi2(12)      =      91.72
                        Prob > chi2       =      0.0000
Log pseudolikelihood = -683.85444      Pseudo R2      =      0.0580

```

AVCH	Coef.	Robust Std. Err.	z	P> z	[95% Conf. Interval]
sexo	-.4887945	.1496776	-3.27	0.001	-.7821572 -.1954317
idade	.0119419	.0052878	2.26	0.024	.001578 .0223059
antpavc	-.0440819	.2022976	-0.22	0.828	-.440578 .3524142
antpeam	-.6651962	.3377154	-1.97	0.049	-1.327106 -.0032862
infngenavc	.8247294	.3212535	2.57	0.010	.1950841 1.454375
infgeneam	.6389796	.4203252	1.52	0.128	-.1848426 1.462802
hta	.9741629	.1908321	5.10	0.000	.6001388 1.348187
dm	-.1931762	.1810454	-1.07	0.286	-.5480187 .1616663
dislp	-.4626499	.1772474	-2.61	0.009	-.8100484 -.1152513
Fumador	.0180673	.2041746	0.09	0.929	-.3821075 .4182422
fa	.0346761	.2453837	0.14	0.888	-.4462671 .5156193
ce	1.211344	.3310651	3.66	0.000	.5624687 1.86022
_cons	-3.486836	.3811933	-9.15	0.000	-4.233961 -2.739711

```

.mfx compute, dydx at(mean)

```

```

Marginal effects after logit
y = Pr(AVCH) (predict)
= .07798476

```

variable	dy/dx	Std. Err.	z	P> z	[	95% C.I.	]	X
sexo*	-.0351489	.01085	-3.24	0.001	-.056409	-.013889	.486521	
idade	.0008587	.00038	2.26	0.024	.000114	.001604	66.7321	
antpavc*	-.0031281	.01416	-0.22	0.825	-.030888	.024631	.144903	
antpeam*	-.0376175	.01474	-2.55	0.011	-.066499	-.008736	.060657	
infngen~c*	.0818911	.04195	1.95	0.051	-.000321	.164104	.035805	
infngen~m*	.0594187	.04896	1.21	0.225	-.036539	.155377	.023589	
hta*	.0645557	.01126	5.73	0.000	.042477	.086635	.62679	
dm*	-.0133151	.01195	-1.11	0.265	-.036731	.010101	.23631	
dislp*	-.0309376	.01087	-2.84	0.004	-.052252	-.009623	.302022	
Fumador*	.0013061	.01484	0.09	0.930	-.027782	.030394	.149537	
fa*	.002523	.01807	0.14	0.889	-.032896	.037942	.09604	
ce*	.1403591	.05497	2.55	0.011	.032618	.2481	.023589	

(\*) dy/dx is for discrete change of dummy variable from 0 to 1

```
. probit AVCH sexo idade antpavc antpeam infgenavc infgeneam hta dm disp Fumador fa ce, vce(robust)
> t)
```

```
Iteration 0: log pseudolikelihood = -725.92378
Iteration 1: log pseudolikelihood = -684.11487
Iteration 2: log pseudolikelihood = -683.12022
Iteration 3: log pseudolikelihood = -683.11853
```

```
Probit regression      Number of obs =      2374
                      wald chi2(12) =      89.54
                      Prob > chi2 =      0.0000
                      Pseudo R2 =      0.0590
Log pseudolikelihood = -683.11853
```

AVCH	Coef.	Robust Std. Err.	z	P> z	[95% Conf. Interval]	
sexo	-.261179	.0754836	-3.46	0.001	-.4091241	-.1132339
idade	.006402	.0026483	2.42	0.016	.0012114	.0115926
antpavc	-.0186262	.1047088	-0.18	0.859	-.2238517	.1865994
antpeam	-.360196	.1675022	-2.15	0.032	-.6884942	-.0318978
infgenavc	.4573435	.1745408	2.62	0.009	.1152498	.7994373
infgeneam	.3507418	.2222061	1.58	0.114	-.0847742	.7862579
hta	.4835137	.0918525	5.26	0.000	.3034862	.6635413
dm	-.0997442	.0919841	-1.08	0.278	-.2800297	.0805413
disp	-.2275897	.0893204	-2.55	0.011	-.4026544	-.052525
Fumador	.0168695	.1053905	0.16	0.873	-.1896921	.2234312
fa	.0285466	.1259752	0.23	0.821	-.2183603	.2754536
ce	.6682025	.1912601	3.49	0.000	.2933396	1.043065
_cons	-1.94111	.1883524	-10.31	0.000	-2.310274	-1.571946

```
. mfx compute, dydx at(mean)
```

```
Marginal effects after probit
y = Pr(AVCH) (predict)
= .07940564
```

variable	dy/dx	Std. Err.	z	P> z	[	95% C.I.	]	X
sexo*	-.038527	.01115	-3.46	0.001	-.060378	-.016676	.486521	
idade	-.0009464	.00039	2.42	0.016	-.000179	.001714	66.7321	
antpavc*	-.0027279	.01519	-0.18	0.857	-.032499	.027043	1.44903	
antpeam*	-.0424039	.01526	-2.78	0.005	-.072322	-.012486	.060657	
infgen-c*	.0894814	.0429	2.09	0.037	.005405	.173558	.035805	
infgen-m*	.0648837	.04973	1.30	0.192	-.032587	.162354	.023589	
hta*	.0661703	.01145	5.78	0.000	.043736	.088604	.62679	
dm*	-.01421	.01261	-1.13	0.260	-.038933	.010512	.23631	
disp*	-.0316185	.01155	-2.74	0.006	-.054255	-.008982	.302022	
Fumador*	.0025147	.01584	0.16	0.874	-.028538	.033567	.149537	
fa*	.004289	.01924	0.22	0.824	-.033419	.041997	.09604	
ce*	.1475313	.05644	2.61	0.009	.036909	.258153	.023589	

(\*) dy/dx is for discrete change of dummy variable from 0 to 1

```
. predict XBp, xb
. gen XBp2=XBp^2
. gen XBp3=XBp^3
```

```
. probit AVCH sexo idade antpavc antpeam infgenavc infgeneam hta dm disp Fumador fa ce XBp2 XBp3, vce(robust)
```

```
Iteration 0: log pseudolikelihood = -725.92378
Iteration 1: log pseudolikelihood = -684.1475
Iteration 2: log pseudolikelihood = -682.35826
Iteration 3: log pseudolikelihood = -682.3168
Iteration 4: log pseudolikelihood = -682.31676
Iteration 5: log pseudolikelihood = -682.31676
```

```
Probit regression      Number of obs =      2374
                      wald chi2(14) =      80.19
                      Prob > chi2 =      0.0000
                      Pseudo R2 =      0.0601
Log pseudolikelihood = -682.31676
```

AVCH	Coef.	Robust Std. Err.	z	P> z	[95% Conf. Interval]	
sexo	-.118292	.3898341	-0.30	0.762	-.8823529	.6457688
idade	.0024099	.0094926	0.25	0.800	-.0161952	.021015
antpavc	-.0042609	.109824	-0.04	0.969	-.2195119	.2109901
antpeam	-.1739874	.5396757	-0.32	0.747	-1.231732	.8837575
infgenavc	.2895266	.6370814	0.45	0.649	-.95913	1.538183
infgeneam	.1944888	.5209179	0.37	0.709	-.8264914	1.215469
hta	.1762689	.7692493	0.23	0.819	-1.331432	1.68397
dm	-.0512695	.1810321	-0.28	0.777	-.4060859	.3035468
disp	-.1013367	.3727958	-0.27	0.786	-.8320029	.6293296
Fumador	.0079465	.1059476	0.08	0.940	-.199707	.2156
fa	.0252847	.1277688	0.20	0.843	-.2251375	.275707
ce	.4753357	.8706449	0.55	0.585	-1.231097	2.181768
XBp2	-.0168819	.3890935	-0.04	0.965	-.7794912	.7457274
XBp3	.0127402	.0636743	0.20	0.841	-.1120592	.1375396
_cons	-1.264586	2.208815	-0.57	0.567	-5.593785	3.064612

### Teste LR

```
. display 2*(-682.31676+683.11853)
1.60354
```

```
. display chiprob(2,1.60354)
.44853436
```

## Apêndice 5 - Regressão multinomial

- INDICAÇÃO vs FATORES de RISCO

Apêndice 5.1 – *Logit e probit* para regressão multinomial entre AVC, AVC isquêmico e hemorrágico vs fatores de risco modificáveis e não modificáveis.

```
. mlogit indicaçao multinomial sexo idade antpavc antpeam infgenavc infgeneam hta dm disp Fumador fa ce, vce(robust)
```

```
Iteration 0: log pseudolikelihood = -4080.9588
Iteration 1: log pseudolikelihood = -3737.5967
Iteration 2: log pseudolikelihood = -3727.1746
Iteration 3: log pseudolikelihood = -3727.0499
Iteration 4: log pseudolikelihood = -3727.0499
```

```
Multinomial logistic regression      Number of obs = 4842
Wald chi2(24) = 504.02
Prob > chi2 = 0.0000
Pseudo R2 = 0.0867
Log pseudolikelihood = -3727.0499
```

indicaçao~1	Coef.	Robust Std. Err.	z	P> z	[95% Conf. Interval]
<b>Sem AVC</b>					
sexo	-.0160462	.0667525	0.24	0.810	-.1147862 .1468786
idade	-.0227709	.0024587	-9.26	0.000	-.0275898 -.017952
antpavc	-.2148943	.0882909	-2.43	0.015	-.3879413 -.0418473
antpeam	.4476094	.1376622	3.25	0.001	.1777964 .7174224
infgenavc	-1.547616	.1457652	-10.62	0.000	-1.83331 -1.261921
infgeneam	-1.141416	.1846212	-6.18	0.000	-1.503266 -.7795647
hta	-.6531087	.0726407	-8.99	0.000	-.7954818 -.5107356
dm	-.0437731	.0751172	-0.58	0.560	-.191 .1034539
disp	-.1108412	.0713616	1.55	0.120	-.029025 .2507074
Fumador	-.6703752	.0919706	-7.29	0.000	-.8506342 -.4901161
fa	-.4758326	.0975871	-4.88	0.000	-.6670998 -.2845653
ce	-1.418343	.181062	-7.83	0.000	-1.773218 -1.063468
_cons	2.287009	.1814512	12.60	0.000	1.931371 2.642647
<b>AVC hemorr-0</b>					
sexo	-.5429811	.1514044	-3.59	0.000	-.8397282 -.2462339
idade	-.0113061	.0053347	-2.12	0.034	-.0217619 -.0008503
antpavc	-.1456193	.1846709	-0.79	0.430	-.5075676 .2163291
antpeam	-.1762511	.3388625	-0.52	0.603	-.8404094 .4879072
infgenavc	-.6200739	.2664777	-2.33	0.020	-1.142361 -.0977872
infgeneam	-.4249702	.3554756	-1.20	0.232	-1.12169 .2717492
hta	-.3058788	.1869589	1.64	0.102	-.060554 .6723115
dm	-.1977516	.1712259	-1.15	0.248	-.533481 .137845
disp	-.2899118	.1663194	-1.74	0.081	-.6158919 .0360683
Fumador	-.6172708	.19146	-3.22	0.001	-.9925255 -.2420161
fa	-.4096232	.2285327	-1.79	0.073	-.857539 .0382926
ce	-.1488045	.2805086	-0.53	0.596	-.6985914 .4009823
_cons	-1.193924	.3899359	-3.06	0.002	-1.958185 -.4296641

(indicaçao multinomial==AVC isquêmico is the base outcome)

```
. mfx, predict (p outcome (0))
```

```
Marginal effects after mlogit
y = Pr(indicaçao multinomial==0) (predict, p outcome (0))
= .4324431
```

variable	dy/dx	Std. Err.	z	P> z	[ 95% C.I. ]	x
sexo*	.0144477	.01605	0.90	0.368	-.017013 .045909	.470673
idade	-.0053688	.00059	-9.18	0.000	-.006515 -.004222	68.8362
antpavc*	-.0494947	.02078	-2.38	0.017	-.09023 -.008759	.179265
antpeam*	.1145142	.03335	3.43	0.001	.049141 .179887	.061338
infgen-c*	-.3040475	.02073	-14.67	0.000	-.344681 -.263414	.090045
infgen-m*	-.2366791	.03082	-7.68	0.000	-.297087 -.176271	.048121
hta*	-.1667168	.01736	-9.61	0.000	-.200736 -.132697	.708385
dm*	-.0070456	.01808	-0.39	0.697	-.042487 .028396	.264147
disp*	.0326853	.01729	1.89	0.059	-.001193 .066564	.323007
Fumador*	-.1479561	.02004	-7.38	0.000	-.187236 -.108676	.1962
fa*	-.1062644	.02195	-4.84	0.000	-.149277 -.063252	.12784
ce*	-.2840259	.02592	-10.96	0.000	-.334824 -.233227	.056588

(\*) dy/dx is for discrete change of dummy variable from 0 to 1



. mfx, predict (p outcome (0))

Marginal effects after mprobit  
y = Pr(indicacaomultinomial=Sem AVC) (predict, p outcome (0))  
= **.4370372**

variavel	dy/dx	Std. Err.	z	P> z	[	95% C.I.	]	X
sexo*	.0132108	.01568	0.84	0.400	-.017528	.04395	.470673	
idade	-.0052436	.00057	-9.22	0.000	-.006358	-.004129	68.8362	
antpavc*	-.0437662	.0202	-2.17	0.030	-.083365	-.004167	.179265	
antpeam*	.1110403	.03229	3.44	0.001	.047756	.174324	.061338	
infngen~c*	-.296468	.02135	-13.88	0.000	-.338321	-.254615	.090045	
infngen~m*	-.2263884	.03204	-7.07	0.000	-.289189	-.163588	.048121	
hta*	-.1652644	.01709	-9.67	0.000	-.198759	-.13177	.708385	
dm*	-.0062104	.01763	-0.35	0.725	-.040769	.028348	.264147	
dislp*	.0321942	.01682	1.91	0.056	-.00078	.065168	.323007	
Fumador*	-.1407827	.01968	-7.16	0.000	-.179347	-.102219	.1962	
fa*	-.1047638	.02192	-4.78	0.000	-.147719	-.061808	.12784	
ce*	-.27634	.02704	-10.22	0.000	-.32933	-.22335	.056588	

(\*) dy/dx is for discrete change of dummy variable from 0 to 1

. mfx, predict (p outcome (1))

Marginal effects after mprobit  
y = Pr(indicacaomultinomial=AVC isquêmico) (predict, p outcome (1))  
= **.51770828**

variavel	dy/dx	Std. Err.	z	P> z	[	95% C.I.	]	X
sexo*	.0107457	.01578	0.68	0.496	-.020178	.041669	.470673	
idade	.0052797	.00058	9.09	0.000	.004141	.006418	68.8362	
antpavc*	.0470323	.0203	2.32	0.021	.007237	.086827	.179265	
antpeam*	-.0961935	.03214	-2.99	0.003	-.159191	-.033196	.061338	
infngen~c*	.3014573	.02271	13.27	0.000	.256941	.345974	.090045	
infngen~m*	.2284964	.0334	6.84	0.000	.163035	.293958	.048121	
hta*	.1407064	.01711	8.22	0.000	.107176	.174237	.708385	
dm*	-.0140688	.01767	0.80	0.426	-.02057	.048707	.264147	
dislp*	-.0177389	.01684	-1.05	0.292	-.050738	.015261	.323007	
Fumador*	.15526	.02	7.76	0.000	.116064	.194456	.1962	
fa*	.1132198	.02222	5.10	0.000	.069678	.156762	.12784	
ce*	.2629191	.02925	8.99	0.000	.205582	.320237	.056588	

(\*) dy/dx is for discrete change of dummy variable from 0 to 1

. mfx, predict (p outcome (2))

Marginal effects after mprobit  
y = Pr(indicacaomultinomial=AVC hemorrágico) (predict, p outcome (2))  
= **.04525452**

variavel	dy/dx	Std. Err.	z	P> z	[	95% C.I.	]	X
sexo*	-.0239565	.00628	-3.81	0.000	-.036274	-.011639	.470673	
idade	-.000036	.00023	-0.16	0.874	-.000482	.000409	68.8362	
antpavc*	-.0032661	.00768	-0.43	0.671	-.018317	.011785	.179265	
antpeam*	-.0148468	.01046	-1.42	0.156	-.035348	.005654	.061338	
infngen~c*	-.0049893	.01036	-0.48	0.630	-.025302	.015323	.090045	
infngen~m*	-.002108	.01451	-0.15	0.884	-.030538	.026322	.048121	
hta*	.024558	.00625	3.93	0.000	.012316	.0368	.708385	
dm*	-.0078583	.0068	-1.16	0.248	-.021182	.005465	.264147	
dislp*	-.0144553	.00638	-2.27	0.024	-.026963	-.001947	.323007	
Fumador*	-.0144773	.00683	-2.12	0.034	-.027863	-.001092	.1962	
fa*	-.0084561	.00862	-0.98	0.327	-.025351	.008439	.12784	
ce*	.0134209	.01489	0.90	0.367	-.015762	.042604	.056588	

(\*) dy/dx is for discrete change of dummy variable from 0 to 1

## Apêndices 6 - Análise de sobrevivência

- **IDADE DE ÓBITO**

Análise univariada para amostra de indivíduos com e sem AVC

Apêndice 6.1 – Análise univariada para indivíduos com e sem AVC.

```
. stset idadesobrev, failure(obito==1) scale(1)
      failure event: obito == 1
obs. time interval: (0, idadesobrev]
exit on or before: failure
```

---

<b>4866</b>	total obs.	
<b>117</b>	obs. end on or before enter()	

---

<b>4749</b>	obs. remaining, representing	
<b>711</b>	failures in single record/single failure data	
<b>343493</b>	total analysis time at risk, at risk from t =	<b>0</b>
	earliest observed entry t =	<b>0</b>
	last observed exit t =	<b>102</b>

```
. sts test AVC
      failure _d: obito
analysis time _t: idadesobrev
```

**Log-rank test for equality of survivor functions**

AVC	Events observed	Events expected
Não	<b>99</b>	<b>228.02</b>
Sim	<b>612</b>	<b>482.98</b>
Total	<b>711</b>	<b>711.00</b>

chi2(1) = **110.74**  
Pr>chi2 = **0.0000**

```
. sts test AVCI
      failure _d: obito
analysis time _t: idadesobrev
```

**Log-rank test for equality of survivor functions**

AVCI	Events observed	Events expected
Não	<b>157</b>	<b>265.03</b>
Sim	<b>554</b>	<b>445.97</b>
Total	<b>711</b>	<b>711.00</b>

chi2(1) = **72.32**  
Pr>chi2 = **0.0000**

```
. sts test AVCH
      failure _d: obito
analysis time _t: idadesobrev
```

**Log-rank test for equality of survivor functions**

AVCH	Events observed	Events expected
Não	<b>655</b>	<b>675.30</b>
Sim	<b>56</b>	<b>35.70</b>
Total	<b>711</b>	<b>711.00</b>

chi2(1) = **12.40**  
Pr>chi2 = **0.0004**

## MODELOS NÃO PARAMÉTRICOS

### Apêndice 6.2 – Estimador Kaplan-Meier para fatores de risco não modificáveis em indivíduos com e sem AVC.

```
. sts test sexo
      failure _d: obito == 1
      analysis time _t: idadesobrev
```

#### Log-rank test for equality of survivor functions

sexo	Events observed	Events expected
Masculino	<b>391</b>	<b>367.65</b>
Feminino	<b>320</b>	<b>343.35</b>
Total	<b>711</b>	<b>711.00</b>

chi2(1) = **3.14**  
Pr>chi2 = **0.0763**

```
. sts test antpavc
      failure _d: obito == 1
      analysis time _t: idadesobrev
```

#### Log-rank test for equality of survivor functions

antpavc	Events observed	Events expected
Não	<b>570</b>	<b>567.90</b>
Sim	<b>141</b>	<b>143.10</b>
Total	<b>711</b>	<b>711.00</b>

chi2(1) = **0.04**  
Pr>chi2 = **0.8428**

```
. sts test antpeam
      failure _d: obito == 1
      analysis time _t: idadesobrev
```

#### Log-rank test for equality of survivor functions

antpeam	Events observed	Events expected
Não	<b>661</b>	<b>668.58</b>
Sim	<b>50</b>	<b>42.42</b>
Total	<b>711</b>	<b>711.00</b>

chi2(1) = **1.47**  
Pr>chi2 = **0.2253**

```
. sts test infgenavc
      failure _d: obito == 1
      analysis time _t: idadesobrev
```

#### Log-rank test for equality of survivor functions

infgenavc	Events observed	Events expected
Não	<b>657</b>	<b>663.45</b>
Sim	<b>54</b>	<b>47.55</b>
Total	<b>711</b>	<b>711.00</b>

chi2(1) = **0.96**  
Pr>chi2 = **0.3270**

```
. sts test infgeneam
      failure _d: obito == 1
      analysis time _t: idadesobrev
```

#### Log-rank test for equality of survivor functions

infgeneam	Events observed	Events expected
Não	<b>683</b>	<b>689.78</b>
Sim	<b>28</b>	<b>21.22</b>
Total	<b>711</b>	<b>711.00</b>

chi2(1) = **2.27**  
Pr>chi2 = **0.1315**



### Apêndice 6.3 – Estimador Kaplan-Meier para fatores de risco modificáveis para indivíduos com e sem AVC.

```
. sts test hta
      failure _d:  obito == 1
      analysis time _t:  idadesobrev
```

#### Log-rank test for equality of survivor functions

hta	Events observed	Events expected
Não	167	173.53
Sim	544	537.47
Total	711	711.00

chi2(1) = 0.33  
Pr>chi2 = 0.5647

```
. sts test dm
      failure _d:  obito == 1
      analysis time _t:  idadesobrev
```

#### Log-rank test for equality of survivor functions

dm	Events observed	Events expected
Não	477	526.40
Sim	234	184.60
Total	711	711.00

chi2(1) = 18.25  
Pr>chi2 = 0.0000

```
. sts test displp
      failure _d:  obito == 1
      analysis time _t:  idadesobrev
```

#### Log-rank test for equality of survivor functions

dislp	Events observed	Events expected
Não	528	522.62
Sim	183	188.38
Total	711	711.00

chi2(1) = 0.21  
Pr>chi2 = 0.6436

```
. sts test Fumador
      failure _d:  obito == 1
      analysis time _t:  idadesobrev
```

#### Log-rank test for equality of survivor functions

Fumador	Events observed	Events expected
Não	570	612.28
Sim	141	98.72
Total	711	711.00

chi2(1) = 21.54  
Pr>chi2 = 0.0000

```
. sts test fa
      failure _d:  obito == 1
      analysis time _t:  idadesobrev
```

#### Log-rank test for equality of survivor functions

fa	Events observed	Events expected
Não	544	567.20
Sim	167	143.80
Total	711	711.00

chi2(1) = 4.82  
Pr>chi2 = 0.0282

```
. sts test ce
      failure _d:  obito == 1
      analysis time _t: idadesobrev
```

**Log-rank test for equality of survivor functions**

ce	Events observed	Events expected
Não	643	659.89
Sim	68	51.11
Total	711	711.00

chi2(1) = 6.14  
Pr>chi2 = 0.0132

Resultados com a variável explicativa AVC

MODELO SEMI-PARAMÉTRICO

Apêndice 6.4 – Modelo de Cox na análise multivariada em indivíduos com e sem AVC.

```
. stcox sexo antpavc antpeam infgenavc infgeneam hta dm displ Fumador fa ce AVC,
> vce(robust) nohr
```

```
      failure _d:  obito == 1
      analysis time _t: idadesobrev

Iteration 0:  log pseudolikelihood = -5227.9386
Iteration 1:  log pseudolikelihood = -5147.7942
Iteration 2:  log pseudolikelihood = -5145.0377
Iteration 3:  log pseudolikelihood = -5145.0259
Refining estimates:
Iteration 0:  log pseudolikelihood = -5145.0259
```

Cox regression -- Breslow method for ties

```
No. of subjects      =          4749      Number of obs      =          4749
No. of failures     =           711
Time at risk        =        343493
Log pseudolikelihood =       -5145.0259      Wald chi2(12)     =         143.37
                                          Prob > chi2       =          0.0000
```

_t	Coef.	Robust Std. Err.	z	P> z	[95% Conf. Interval]	
sexo	-.049309	.0837078	-0.59	0.556	-.2133733	.1147554
antpavc	-.0614906	.0947356	-0.65	0.516	-.247169	.1241879
antpeam	.191815	.1422844	1.35	0.178	-.0870574	.4706874
infgenavc	-.0787233	.1468499	-0.54	0.592	-.3665439	.2090973
infgeneam	.135698	.194212	0.70	0.485	-.2449506	.5163466
hta	-.1316165	.0898925	-1.46	0.143	-.3078026	.0445696
dm	.3451847	.0810689	4.26	0.000	.1862927	.5040767
dislp	-.1090433	.0879171	-1.24	0.215	-.2813577	.0632711
Fumador	.3261302	.1093898	2.98	0.003	.1117301	.5405304
fa	.1866479	.0868304	2.15	0.032	.0164633	.3568324
ce	.1074142	.1288825	0.83	0.405	-.1451908	.3600193
AVC	1.068534	.1095722	9.75	0.000	.8537759	1.283291



### Phptest

```
. capture drop sc*
. stcox sexo antpavc antpeam infgenavc infgeneam hta dm displ Fumador fa ce AVC,
> schoenfeld(sch*) scal (sc*) nohr

      failure _d:  obito == 1
analysis time _t:  idadesobrev

Iteration 0:  log likelihood = -5227.9386
Iteration 1:  log likelihood = -5147.7942
Iteration 2:  log likelihood = -5145.0377
Iteration 3:  log likelihood = -5145.0259
Refining estimates:
Iteration 0:  log likelihood = -5145.0259

Cox regression -- Breslow method for ties

No. of subjects =      4749          Number of obs   =      4749
No. of failures =       711          LR chi2(12)    =     165.83
Time at risk   =    343493          Prob > chi2   =      0.0000
Log likelihood = -5145.0259
```

_t	Coef.	Std. Err.	z	P> z	[95% Conf. Interval]
sexo	-.049309	.0835112	-0.59	0.555	-.2129879 .11437
antpavc	-.0614906	.0953007	-0.65	0.519	-.2482765 .1252954
antpeam	.191815	.1489087	1.29	0.198	-.1000406 .4836706
infgenavc	-.0787233	.1450136	-0.54	0.587	-.3629447 .2054981
infgeneam	.135698	.1954932	0.69	0.488	-.2474616 .5188576
hta	-.1316165	.0914685	-1.44	0.150	-.3108914 .0476585
dm	.3451847	.0819597	4.21	0.000	.1845466 .5058228
dislp	-.1090433	.0883475	-1.23	0.217	-.2822011 .0641145
Fumador	.3261302	.1056748	3.09	0.002	.1190113 .5332491
fa	.1866479	.0897085	2.08	0.037	.0108225 .3624733
ce	.1074142	.1297906	0.83	0.408	-.1469708 .3617992
AVC	1.068534	.1104768	9.67	0.000	.8520031 1.285064

```
. stptest, detail
```

Test of proportional-hazards assumption

Time: Time	rho	chi2	df	Prob>chi2
sexo	-0.02967	0.66	1	0.4154
antpavc	-0.03096	0.66	1	0.4180
antpeam	0.05205	1.94	1	0.1639
infgenavc	-0.05659	2.21	1	0.1371
infgeneam	-0.00337	0.01	1	0.9290
hta	0.02189	0.32	1	0.5701
dm	-0.03515	0.87	1	0.3522
dislp	-0.02252	0.35	1	0.5529
Fumador	-0.10508	8.15	1	0.0043
fa	0.07302	3.75	1	0.0527
ce	0.04060	1.19	1	0.2747
AVC	0.02490	0.43	1	0.5099
global test		24.76	12	0.0160

### Coeficiente C de Harrel

```
. estat concordance
```

Harrell's C concordance statistic

```
      failure _d:  obito == 1
analysis time _t:  idadesobrev

Number of subjects (N)      =      4749
Number of comparison pairs (P) =    1409901
Number of orderings as expected (E) =    901142
Number of tied predictions (T) =     19772

Harrell's C = (E + T/2) / P =     .6462
Somers' D =     .2923
```

### Cr terios de informa o

```
. estat ic
```

Model	Obs	ll(nu11)	ll(model)	df	AIC	BIC
.	4749	-5227.939	-5145.026	12	10314.05	10391.64

Note: N=Obs used in calculating BIC; see [R] BIC note

MODELOS PARAMÉTRICOS

Apêndice 6.5 – Ajuste dos modelos pelo método de modelos encaixados para indivíduos com AVC.

## Exponencial

```
. streg sexo antpavc antpeam infgenavc infgeneam hta dm displp Fumador fa ce AVC,
> dist(exp) nohr
```

```
failure _d: obito == 1
analysis time _t: idadesobrev
```

```
Iteration 0: log likelihood = -2025.6102
Iteration 1: log likelihood = -1888.295
Iteration 2: log likelihood = -1868.0561
Iteration 3: log likelihood = -1867.9267
Iteration 4: log likelihood = -1867.9267
```

Exponential regression -- log relative-hazard form

```
No. of subjects = 4749 Number of obs = 4749
No. of failures = 711
Time at risk = 343493
LR chi2(12) = 315.37
Log likelihood = -1867.9267 Prob > chi2 = 0.0000
```

_t	Coef.	Std. Err.	z	P> z	[95% Conf. Interval]	
sexo	-.0417248	.0818164	-0.51	0.610	-.202082	.1186325
antpavc	-.0049332	.095394	-0.05	0.959	-.191902	.1820356
antpeam	.1105132	.1496783	0.74	0.460	-.1828509	.4038773
infgenavc	-.3827264	.1442215	-2.65	0.008	-.6653953	-.1000576
infgeneam	-.2861148	.1950402	-1.47	0.142	-.6683865	.0961569
hta	-.0499682	.0921497	-0.54	0.588	-.2305784	.130642
dm	.3016962	.0819055	3.68	0.000	.1411643	.4622281
dislp	-.30328	.088182	-3.44	0.001	-.4761135	-.1304465
Fumador	-.0022094	.1031254	-0.02	0.983	-.2043315	.1999126
fa	.4645795	.0900367	5.16	0.000	.2881109	.6410481
ce	.1663902	.1301189	1.28	0.201	-.0886382	.4214185
AVC	1.454676	.110814	13.13	0.000	1.237485	1.671868
_cons	-7.265875	.1251835	-58.04	0.000	-7.51123	-7.02052

```
. scalar lambda_e = exp(_b[_cons] )
```

```
. scalar list lambda_e
lambda_e = .00069899
```

## Weibull

```
. streg sexo antpavc antpeam infgenavc infgeneam hta dm displ Fumador fa ce AVC,
> dist(weib) nohr
```

```
failure _d: obito == 1
analysis time _t: idadesobrev
```

Fitting constant-only model:

```
Iteration 0: log likelihood = -2025.6102
Iteration 1: log likelihood = -1318.3001
Iteration 2: log likelihood = -861.59699
Iteration 3: log likelihood = -770.43285
Iteration 4: log likelihood = -768.8274
Iteration 5: log likelihood = -768.82712
Iteration 6: log likelihood = -768.82712
```

Fitting full model:

```
Iteration 0: log likelihood = -768.82712
Iteration 1: log likelihood = -692.73938
Iteration 2: log likelihood = -686.0731
Iteration 3: log likelihood = -686.06149
Iteration 4: log likelihood = -686.06149
```

weibull regression -- log relative-hazard form

```
No. of subjects = 4749 Number of obs = 4749
No. of failures = 711
Time at risk = 343493
Log likelihood = -686.06149 LR chi2(12) = 165.53
Prob > chi2 = 0.0000
```

_t	Coef.	Std. Err.	z	P> z	[95% Conf. Interval]	
sexo	-.0631481	.0835117	-0.76	0.450	-.2268281	.1005319
antpavc	-.043081	.0952561	-0.45	0.651	-.2297796	.1436176
antpeam	.1837826	.1487586	1.24	0.217	-.1077788	.475344
infgenavc	-.0777713	.1451009	-0.54	0.592	-.3621637	.2066212
infgeneam	.134788	.1954973	0.69	0.491	-.2483796	.5179556
hta	-.1438699	.0913088	-1.58	0.115	-.3228319	.0350921
dm	.3598896	.0819771	4.39	0.000	.1992174	.5205618
dislp	-.1034851	.088399	-1.17	0.242	-.276744	.0697739
Fumador	.3283603	.1057893	3.10	0.002	.1210171	.5357034
fa	.1943965	.0897482	2.17	0.030	.0184934	.3702997
ce	.1065452	.129638	0.82	0.411	-.1475406	.3606309
AVC	1.06069	.1103815	9.61	0.000	.844346	1.277033
_cons	-42.92963	1.204903	-35.63	0.000	-45.2912	-40.56807
/ln_p	2.216914	.0295094	75.13	0.000	2.159077	2.274751
p	9.178959	.2708654			8.663134	9.725498
1/p	.1089448	.0032149			.1028225	.1154317

```
. scalar lambda_w = exp(_b[_cons] )
```

```
. scalar list lambda_w
lambda_w = 2.269e-19
```

## Gompertz

```
. streg sexo antpavc antpeam infgenavc infgeneam hta dm displ Fumador fa ce AVC,
> dist(gomp) nohr
```

```
      failure _d:  obito == 1
      analysis time _t:  idadesobrev
```

Fitting constant-only model:

```
Iteration 0:  log likelihood = -2025.5821
Iteration 1:  log likelihood = -1938.664
Iteration 2:  log likelihood = -803.03896
Iteration 3:  log likelihood = -761.89956
Iteration 4:  log likelihood = -760.36788
Iteration 5:  log likelihood = -760.36584
Iteration 6:  log likelihood = -760.36584
```

Fitting full model:

```
Iteration 0:  log likelihood = -760.36584
Iteration 1:  log likelihood = -685.02881
Iteration 2:  log likelihood = -678.33752
Iteration 3:  log likelihood = -678.32659
Iteration 4:  log likelihood = -678.32659
```

Gompertz regression -- log relative-hazard form

```
No. of subjects =      4749      Number of obs =      4749
No. of failures =       711
Time at risk    =    343493
Log likelihood  =   -678.32659
LR chi2(12)     =    164.08
Prob > chi2     =     0.0000
```

_t	Coef.	Std. Err.	z	P> z	[95% Conf. Interval]	
sexo	-.076278	.0835521	-0.91	0.361	-.2400372	.0874812
antpavc	-.0322442	.0952698	-0.34	0.735	-.2189696	.1544813
antpeam	.1909795	.1487362	1.28	0.199	-.1005381	.4824971
infgenavc	-.0547637	.1452621	-0.38	0.706	-.3394722	.2299448
infgeneam	.1590844	.195647	0.81	0.416	-.2243767	.5425455
hta	-.1438646	.091238	-1.58	0.115	-.3226879	.0349586
dm	.3756448	.0820476	4.58	0.000	.2148344	.5364552
dislp	-.0927025	.0884718	-1.05	0.295	-.2661041	.0806991
Fumador	.3391042	.1059428	3.20	0.001	.1314602	.5467482
fa	.1907809	.0898185	2.12	0.034	.01474	.3668219
ce	.1062614	.1295745	0.82	0.412	-.1476999	.3602227
AVC	1.042657	.1104025	9.44	0.000	.8262723	1.259042
_cons	-14.3424	.2833388	-50.62	0.000	-14.89774	-13.78707
/gamma	.117881	.0033547	35.14	0.000	.1113059	.1244561

```
. scalar lambda_teta = exp(_b[_cons] )
```

```
. scalar list lambda_teta
lambda_teta = 5.904e-07
```

## Lognormal

```
. streg sexo antpavc antpeam infgenavc infgeneam hta dm displ Fumador fa ce AVC,
> dist(lnormal)
```

```
      failure _d:  obito == 1
      analysis time _t:  idadesobrev
```

Fitting constant-only model:

```
Iteration 0:  log likelihood = -4444.2004 (not concave)
Iteration 1:  log likelihood = -1494.0772 (not concave)
Iteration 2:  log likelihood = -1332.5559
Iteration 3:  log likelihood = -1088.3137
Iteration 4:  log likelihood = -959.30089
Iteration 5:  log likelihood = -873.47797
Iteration 6:  log likelihood = -872.28116
Iteration 7:  log likelihood = -872.27796
Iteration 8:  log likelihood = -872.27796
```

Fitting full model:

```
Iteration 0:  log likelihood = -872.27796
Iteration 1:  log likelihood = -808.51634
Iteration 2:  log likelihood = -795.21895
Iteration 3:  log likelihood = -795.06467
Iteration 4:  log likelihood = -795.06454
Iteration 5:  log likelihood = -795.06454
```

Log-normal regression -- accelerated failure-time form

```
No. of subjects =      4749          Number of obs =      4749
No. of failures =       711
Time at risk =      343493
Log likelihood = -795.06454          LR chi2(12) =      154.43
                                      Prob > chi2 =      0.0000
```

_t	Coef.	Std. Err.	z	P> z	[95% Conf. Interval]
sexo	-.0002139	.0118165	-0.02	0.986	-.0233739 .0229461
antpavc	.0080629	.0137765	0.59	0.558	-.0189386 .0350644
antpeam	-.0026894	.022062	-0.12	0.903	-.0459301 .0405513
infgenavc	.0106645	.0195395	0.55	0.585	-.0276322 .0489612
infgeneam	-.0092732	.02686	-0.35	0.730	-.0619179 .0433715
hta	.0279354	.0133444	2.09	0.036	.0017809 .0540898
dm	-.0443826	.0120473	-3.68	0.000	-.0679949 -.0207703
dislp	.0192353	.0125045	1.54	0.124	-.005273 .0437436
Fumador	-.0543849	.0148134	-3.67	0.000	-.0834187 -.0253512
fa	-.0182634	.0138877	-1.32	0.188	-.0454828 .008956
ce	-.0101229	.0200256	-0.51	0.613	-.0493725 .0291266
AVC	-.1345245	.014036	-9.58	0.000	-.1620346 -.1070144
_cons	4.700704	.0182388	257.73	0.000	4.664957 4.736452
/ln_sig	-1.504101	.0273312	-55.03	0.000	-1.557669 -1.450532
sigma	.2222171	.0060735			.2106265 .2344455

```
. scalar lambda_ln = exp(_b[_cons] )
```

```
. scalar list lambda_ln
lambda_ln = 110.02463
```



## Loglogistic

```
. streg sexo antpavc antpeam infgenavc infgeneam hta dm disp Fumador fa ce AVC,
> dist(llogistic)
```

```
failure _d: obito == 1
analysis time _t: idadesobrev
```

Fitting constant-only model:

```
Iteration 0: log likelihood = -2740.3742 (not concave)
Iteration 1: log likelihood = -2002.4564 (not concave)
Iteration 2: log likelihood = -1661.05
Iteration 3: log likelihood = -1382.5073
Iteration 4: log likelihood = -829.18513
Iteration 5: log likelihood = -779.2652
Iteration 6: log likelihood = -771.99633
Iteration 7: log likelihood = -771.90092
Iteration 8: log likelihood = -771.90087
```

Fitting full model:

```
Iteration 0: log likelihood = -771.90087
Iteration 1: log likelihood = -709.29991
Iteration 2: log likelihood = -690.30512
Iteration 3: log likelihood = -690.1955
Iteration 4: log likelihood = -690.1955
```

Log-logistic regression -- accelerated failure-time form

```
No. of subjects = 4749 Number of obs = 4749
No. of failures = 711
Time at risk = 343493
Log likelihood = -690.1955 LR chi2(12) = 163.41
Prob > chi2 = 0.0000
```

_t	Coef.	Std. Err.	z	P> z	[95% Conf. Interval]	
sexo	.0038509	.009487	0.41	0.685	-.0147434	.0224452
antpavc	.0040927	.0108764	0.38	0.707	-.0172245	.02541
antpeam	-.0148885	.0169859	-0.88	0.381	-.0481803	.0184032
infgenavc	.007713	.0162093	0.48	0.634	-.0240566	.0394826
infgeneam	-.0124056	.0218349	-0.57	0.570	-.0552012	.03039
hta	.0179022	.010675	1.68	0.094	-.0030205	.0388248
dm	-.0400156	.0095198	-4.20	0.000	-.0586741	-.0213571
disp	.0110349	.0100645	1.10	0.273	-.0086911	.030761
Fumador	-.0424999	.0120987	-3.51	0.000	-.0662129	-.018787
fa	-.0197245	.0105439	-1.87	0.061	-.0403901	.0009411
ce	-.0110559	.0152604	-0.72	0.469	-.0409658	.018854
AVC	-.1136897	.0122558	-9.28	0.000	-.1377108	-.0896687
_cons	4.642303	.0151526	306.37	0.000	4.612604	4.672001
/ln_gamma	-2.334141	.0304419	-76.68	0.000	-2.393806	-2.274476
gamma	.0968937	.0029496			.0912816	.1028508

```
. scalar lambda_ll = exp(_b[_cons] )
```

```
. scalar list lambda_ll
lambda_ll = 103.78305
```

## Gamma

```
. streg sexo antpavc antpeam infgenavc infgeneam hta dm displ Fumador fa ce AVC,
> dist(gamma)
```

```
failure _d: obito == 1
analysis time _t: idadesobrev
```

Fitting constant-only model:

```
Iteration 0: log likelihood = -2025.6102
Iteration 1: log likelihood = -1710.3876 (backed up)
Iteration 2: log likelihood = -1126.3298
Iteration 3: log likelihood = -829.52402
Iteration 4: log likelihood = -801.49607
Iteration 5: log likelihood = -769.57543
Iteration 6: log likelihood = -768.49592
Iteration 7: log likelihood = -768.47096
Iteration 8: log likelihood = -768.47092
```

Fitting full model:

```
Iteration 0: log likelihood = -768.47092
Iteration 1: log likelihood = -719.65098
Iteration 2: log likelihood = -687.74966
Iteration 3: log likelihood = -686.41083
Iteration 4: log likelihood = -685.83276
Iteration 5: log likelihood = -685.83199
Iteration 6: log likelihood = -685.83199
```

Gamma regression -- accelerated failure-time form

```
No. of subjects = 4749 Number of obs = 4749
No. of failures = 711
Time at risk = 343493
Log likelihood = -685.83199 LR chi2(12) = 165.28
Prob > chi2 = 0.0000
```

_t	Coef.	Std. Err.	z	P> z	[95% Conf. Interval]	
sexo	.0072386	.0090368	0.80	0.423	-.0104732	.0249504
antpavc	.0046145	.0102958	0.45	0.654	-.0155648	.0247939
antpeam	-.0204639	.0160373	-1.28	0.202	-.0518964	.0109686
infgenavc	.0084591	.0157708	0.54	0.592	-.022451	.0393693
infgeneam	-.0150682	.0211655	-0.71	0.477	-.0565517	.0264154
hta	.0152473	.0098684	1.55	0.122	-.0040943	.034589
dm	-.0390317	.0088743	-4.40	0.000	-.0564249	-.0216384
dislp	.0111759	.0095862	1.17	0.244	-.0076128	.0299645
Fumador	-.0349215	.01148	-3.04	0.002	-.0574219	-.0124211
fa	-.0211835	.0097068	-2.18	0.029	-.0402085	-.0021584
ce	-.0116521	.0139468	-0.84	0.403	-.0389873	.015683
AVC	-.1155336	.0128295	-9.01	0.000	-.140679	-.0903883
_cons	4.677955	.0158778	294.62	0.000	4.646835	4.709075
/ln_sig	-2.259916	.0714695	-31.62	0.000	-2.399993	-2.119838
/kappa	1.070039	.1070168	10.00	0.000	.8602897	1.279788
sigma	.1043593	.0074585			.0907186	.120051

```
. scalar lambda_g = exp(_b[_cons] )
```

```
. scalar list lambda_g
lambda_g = 107.54994
```

```

. scalar l1_g = -685.83199
. scalar l1_w = -685.83199
. scalar l1_e = -1867.9267
. scalar trv_e = 2* (l1_g - l1_e)
. scalar p_e = 1- chi2(2, trv_e)
. scalar l1_w = -686.06149
. scalar trv_w = 2* (l1_g - l1_w)
. scalar p_w = 1- chi2(2, trv_w)
. scalar l1_ln = -795.06454
. scalar trv_ln = 2* (l1_g - l1_ln)
. scalar p_ln = 1- chi2(2, trv_ln)
. scalar l1_ll = -690.1955
. scalar trv_ll = 2* (l1_g - l1_ll)
. scalar p_ll = 1- chi2(2, trv_ll)
. scalar list p_e p_w p_ln p_ll
      p_e = 0
      p_w = .79493097
      p_ln = 0
      p_ll = .01273361

```

### Apêndice 6.6 – Ajuste de modelos paramétricos pelo método dos critérios de informação para indivíduos com AVC.

```

. quietly streg, dist(exp)
. estimates store exp
. quietly streg, dist(weib)
. estimates store weib
. quietly streg, dist(gomp)
. estimates store gomp
. quietly streg, dist(lnormal)
. estimates store lnormal
. quietly streg, dist(llogistic)
. estimates store llogistic
. quietly streg, dist(gamma)
. estimates store gamma
. estimates stats _all

```

Model	Obs	ll(null)	ll(model)	df	AIC	BIC
exp	4749	-2025.61	-2025.61	1	4053.22	4059.686
weib	4749	-768.8271	-768.8271	2	1541.654	1554.586
gomp	4749	.	-760.3658	2	1524.732	1537.663
lnormal	4749	.	-872.278	2	1748.556	1761.487
llogistic	4749	.	-771.9009	2	1547.802	1560.733
gamma	4749	.	-768.4709	3	1542.942	1562.339

Note: N=Obs used in calculating BIC; see [\[R\] BIC note](#)

```
. streg sexo antpavc antpeam infgenavc infgeneam hta dm displ Fumador fa ce AVC,
> dist(gomp) nohr
```

```
failure _d: obito == 1
analysis time _t: idadesobrev
```

Fitting constant-only model:

```
Iteration 0: log likelihood = -2025.5821
Iteration 1: log likelihood = -1938.664
Iteration 2: log likelihood = -803.03896
Iteration 3: log likelihood = -761.89956
Iteration 4: log likelihood = -760.36788
Iteration 5: log likelihood = -760.36584
Iteration 6: log likelihood = -760.36584
```

Fitting full model:

```
Iteration 0: log likelihood = -760.36584
Iteration 1: log likelihood = -685.02881
Iteration 2: log likelihood = -678.33752
Iteration 3: log likelihood = -678.32659
Iteration 4: log likelihood = -678.32659
```

Gompertz regression -- log relative-hazard form

```
No. of subjects = 4749 Number of obs = 4749
No. of failures = 711
Time at risk = 343493
LR chi2(12) = 164.08
Log likelihood = -678.32659 Prob > chi2 = 0.0000
```

_t	Coef.	Std. Err.	z	P> z	[95% Conf. Interval]	
sexo	-.076278	.0835521	-0.91	0.361	-.2400372	.0874812
antpavc	-.0322442	.0952698	-0.34	0.735	-.2189696	.1544813
antpeam	.1909795	.1487362	1.28	0.199	-.1005381	.4824971
infgenavc	-.0547637	.1452621	-0.38	0.706	-.3394722	.2299448
infgeneam	.1590844	.195647	0.81	0.416	-.2243767	.5425455
hta	-.1438646	.091238	-1.58	0.115	-.3226879	.0349586
dm	.3756448	.0820476	4.58	0.000	.2148344	.5364552
dislp	-.0927025	.0884718	-1.05	0.295	-.2661041	.0806991
Fumador	.3391042	.1059428	3.20	0.001	.1314602	.5467482
fa	.1907809	.0898185	2.12	0.034	.01474	.3668219
ce	.1062614	.1295745	0.82	0.412	-.1476999	.3602227
AVC	1.042657	.1104025	9.44	0.000	.8262723	1.259042
_cons	-14.3424	.2833388	-50.62	0.000	-14.89774	-13.78707
/gamma	.117881	.0033547	35.14	0.000	.1113059	.1244561

```
. mfx compute, dydx at(mean)
```

```
Marginal effects after streg
y = predicted median _t (predict)
= 95.105795
```

variable	dy/dx	Std. Err.	z	P> z	[ 95% C.I. ]		x
sexo*	.6470675	.70843	0.91	0.361	-.741428	2.03556	.469573
antpavc*	.2735277	.8083	0.34	0.735	-1.31071	1.85776	.181722
antpeam*	-1.62008	1.26128	-1.28	0.199	-4.09213	.851975	.05896
infgen~c*	.4645611	1.23332	0.38	0.706	-1.95271	2.88183	.091598
infgen~m*	-1.349514	1.65753	-0.81	0.416	-4.59822	1.89919	.049063
hta*	1.220405	.77448	1.58	0.115	-.297552	2.73836	.706675
dm*	-3.186597	.69779	-4.57	0.000	-4.55425	-1.81895	.263213
dislp*	.7863969	.75223	1.05	0.296	-.687944	2.26074	.319436
Fumador*	-2.876622	.89652	-3.21	0.001	-4.63376	-1.11948	.19562
fa*	-1.618396	.76574	-2.11	0.035	-3.11922	-.117575	.128659
ce*	-.9014166	1.09973	-0.82	0.412	-3.05685	1.25402	.057275
AVC*	-8.84488	.99071	-8.93	0.000	-10.7866	-6.90313	.565593

(\*) dy/dx is for discrete change of dummy variable from 0 to 1

## Regressões com AVCI e AVCH como variáveis dependentes

### MODELO SEMI-PARAMÉTRICO

#### Apêndice 6.7 – Modelo de Cox na análise multivariada em indivíduos com AVC.

```
. stcox sexo antpavc antpeam infgenavc infgeneam hta dm disp Fumador fa ce AVCI AVCH, vce (robust)
> nohr
```

```
failure _d: obito == 1
analysis time _t: idadesobrev

Iteration 0: log pseudolikelihood = -5227.9386
Iteration 1: log pseudolikelihood = -5146.7307
Iteration 2: log pseudolikelihood = -5144.0113
Iteration 3: log pseudolikelihood = -5144.0022
Refining estimates:
Iteration 0: log pseudolikelihood = -5144.0022
```

Cox regression -- Breslow method for ties

```
No. of subjects      =      4749          Number of obs      =      4749
No. of failures     =       711
Time at risk        =     343493
Log pseudolikelihood =    -5144.0022
Wald chi2(13)       =     145.81
Prob > chi2         =     0.0000
```

_t	Coef.	Robust Std. Err.	z	P> z	[95% Conf. Interval]
sexo	-.0418054	.0837058	-0.50	0.617	-.2058657 .1222549
antpavc	-.0568996	.0946447	-0.60	0.548	-.2423998 .1286006
antpeam	.19118	.1418774	1.35	0.178	-.0868946 .4692545
infgenavc	-.070654	.1471796	-0.48	0.631	-.3591207 .2178127
infgeneam	.1437731	.1930016	0.74	0.456	-.234503 .5220492
hta	-.1358037	.0898858	-1.51	0.131	-.3119768 .0403693
dm	.348042	.0813158	4.28	0.000	.1886659 .507418
disp	-.1002741	.0878798	-1.14	0.254	-.2725154 .0719671
Fumador	.3457377	.1092097	3.17	0.002	.1316907 .5597848
fa	.1955397	.0868739	2.25	0.024	.0252699 .3658095
ce	.1225423	.1285518	0.95	0.340	-.1294147 .3744993
AVCI	1.025676	.1094396	9.37	0.000	.8111782 1.240173
AVCH	1.325293	.1660906	7.98	0.000	.9997609 1.650824

```
. mfx compute, dydx at(mean)
```

Marginal effects after stcox  
y = relative hazard (predict)  
= 1.8895961

variable	dy/dx	Std. Err.	z	P> z	[ 95% C.I. ]	x
sexo*	-.0789007	.15523	-0.51	0.611	-.383155 .225354	.469573
antpavc*	-.1056019	.17146	-0.62	0.538	-.441649 .230445	.181722
antpeam*	-.3936329	.3249	1.21	0.226	-.243151 1.03042	.05896
infgen-c*	-.1297371	.26266	-0.49	0.621	-.644546 .385072	.091598
infgen-m*	-.2901195	.41732	0.70	0.487	-.527818 1.10806	.049063
hta*	-.2641216	.1683	-1.57	0.117	-.593987 .065743	.706675
dm*	-.7177634	.20521	3.50	0.000	-.315559 1.11997	.263213
disp*	-.1861558	.15715	-1.18	0.236	-.494158 .121847	.319436
Fumador*	-.7294237	.28626	2.55	0.011	-.168364 1.29048	.19562
fa*	-.3979519	.19973	1.99	0.046	.006495 .789409	.128659
ce*	-.2446179	.26961	0.91	0.364	-.283807 .773043	.057275
AVCI*	1.989303	.37326	5.33	0.000	1.25773 2.72087	.516951
AVCH*	4.913305	1.33566	3.68	0.000	2.29546 7.53115	.045904

(\*) dy/dx is for discrete change of dummy variable from 0 to 1

```
. predict s, xb
(4153 missing values generated)
. gen s2 = s^2
(4153 missing values generated)
```

```
. stcox s s2
      failure _d:  obito == 1
      analysis time _t:  idadesobrev
Iteration 0:  log likelihood = -5227.9386
Iteration 1:  log likelihood = -5204.4305
Iteration 2:  log likelihood = -5203.0908
Iteration 3:  log likelihood = -5203.0722
Iteration 4:  log likelihood = -5203.0722
Refining estimates:
Iteration 0:  log likelihood = -5203.0722
Cox regression -- Breslow method for ties
No. of subjects =      4749      Number of obs =      4749
No. of failures =       711
Time at risk =    343493
LR chi2(2) =      49.73
Log likelihood = -5203.0722      Prob > chi2 =      0.0000
```

_t	Haz. Ratio	Std. Err.	z	P> z	[95% Conf. Interval]	
s	3.249407	.9545603	4.01	0.000	1.827054	5.779056
s2	.7575203	.2955991	-0.71	0.477	.3525648	1.627607

### Link test

```
. linktest
      failure _d:  obito == 1
      analysis time _t:  idadesobrev
Iteration 0:  log likelihood = -5227.9386
Iteration 1:  log likelihood = -5204.3679
Iteration 2:  log likelihood = -5203.0636
Iteration 3:  log likelihood = -5203.0559
Iteration 4:  log likelihood = -5203.0559
Refining estimates:
Iteration 0:  log likelihood = -5203.0559
Cox regression -- Breslow method for ties
No. of subjects =      4749      Number of obs =      4749
No. of failures =       711
Time at risk =    343493
LR chi2(2) =      49.77
Log likelihood = -5203.0559      Prob > chi2 =      0.0000
```

_t	Coef.	Std. Err.	z	P> z	[95% Conf. Interval]	
_hat	.953697	.2918372	3.27	0.001	.3817065	1.525687
_hatsq	.0801679	.4438898	0.18	0.857	-.7898402	.9501759

### Coeficiente C de Harrell

```
. estat concordance
Harrell's C concordance statistic
      failure _d:  obito == 1
      analysis time _t:  idadesobrev
Number of subjects (N) =      4749
Number of comparison pairs (P) =    1409901
Number of orderings as expected (E) =    904675
Number of tied predictions (T) =    16541
Harrell's C = (E + T/2) / P =    .6475
Somers' D =    .295
```

### Critérios de informação

```
. estat ic
```

Model	Obs	ll(nu11)	ll(model)	df	AIC	BIC
.	4749	-5227.939	-5144.002	13	10314	10398.06

Note: N=Obs used in calculating BIC; see [R] BIC note

Phtest

```
. capture drop sc*
. stcox sexo antpavc antpeam infgenavc infgeneam hta dm disp Fumador fa ce AVCI AVCH, schoenfeld(s
> ch*) scal (sc*) nohr
```

```
failure _d: obito == 1
analysis time _t: idadesobrev

Iteration 0: log likelihood = -5227.9386
Iteration 1: log likelihood = -5146.7307
Iteration 2: log likelihood = -5144.0113
Iteration 3: log likelihood = -5144.0022
Refining estimates:
Iteration 0: log likelihood = -5144.0022

Cox regression -- Breslow method for ties

No. of subjects = 4749 Number of obs = 4749
No. of failures = 711
Time at risk = 343493
Log likelihood = -5144.0022 LR chi2(13) = 167.87
Prob > chi2 = 0.0000
```

_t	Coef.	Std. Err.	z	P> z	[95% Conf. Interval]	
sexo	-.0418054	.0836245	-0.50	0.617	-.2057065	.1220957
antpavc	-.0568996	.0953967	-0.60	0.551	-.2438736	.1300744
antpeam	.19118	.1489393	1.28	0.199	-.1007356	.4830955
infgenavc	-.070654	.1451116	-0.49	0.626	-.3550675	.2137595
infgeneam	.1437731	.1956053	0.74	0.462	-.2396062	.5271524
hta	-.1358037	.0915588	-1.48	0.138	-.3152557	.0436482
dm	.348042	.0819988	4.24	0.000	.1873272	.5087567
disp	-.1002741	.0884135	-1.13	0.257	-.2735615	.0730132
Fumador	.3457377	.1060249	3.26	0.001	.1379327	.5535428
fa	.1955397	.0898123	2.18	0.029	.0195108	.3715686
ce	.1225423	.1298302	0.94	0.345	-.1319203	.3770049
AVCI	1.025676	.1104514	9.29	0.000	.809195	1.242157
AVCH	1.325293	.1677046	7.90	0.000	.9965976	1.653988

```
. stphtest, detail
```

Test of proportional-hazards assumption

Time: Time

	rho	chi2	df	Prob>chi2
sexo	-0.03381	0.86	1	0.3546
antpavc	-0.03182	0.69	1	0.4048
antpeam	0.05333	2.03	1	0.1538
infgenavc	-0.05901	2.40	1	0.1212
infgeneam	-0.00417	0.01	1	0.9119
hta	0.02281	0.35	1	0.5534
dm	-0.03663	0.94	1	0.3326
disp	-0.02475	0.43	1	0.5140
Fumador	-0.10975	8.86	1	0.0029
fa	0.07015	3.46	1	0.0629
ce	0.03895	1.10	1	0.2939
AVCI	0.03653	0.93	1	0.3340
AVCH	-0.02259	0.36	1	0.5478
global test		27.18	13	0.0117

## MODELOS PARAMÉTRICOS

Apêndice 6.8 – Ajuste dos modelos pelo método de modelos encaixados para indivíduos com AVC.

### Exponencial

```
. streg sexo antpavc antpeam infgenavc infgeneam hta dm disp Fumador fa ce AVCI AVCH, dist(exp) n
> ohr
      failure_d:  obito == 1
      analysis time_t:  idadesobrev
Iteration 0:  log likelihood = -2025.6102
Iteration 1:  log likelihood = -1889.009
Iteration 2:  log likelihood = -1868.8597
Iteration 3:  log likelihood = -1868.7487
Iteration 4:  log likelihood = -1868.7487

Exponential regression -- log relative-hazard form
No. of subjects =      4749      Number of obs =      4749
No. of failures =      711
Time at risk =      343493
LR chi2(13) =      313.72
Log likelihood = -1868.7487      Prob > chi2 =      0.0000
```

_t	Coef.	Std. Err.	z	P> z	[95% Conf. Interval]
sexo	-.039358	.0819432	-0.48	0.631	-.1999637 .1212477
antpavc	-.0019607	.0954401	-0.02	0.984	-.1890198 .1850984
antpeam	-.1064941	.1497525	0.71	0.477	-.1870154 .4000336
infgenavc	-.3794559	.1443338	-2.63	0.009	-.6623448 -.0965669
infgeneam	-.2840266	.19507	-1.46	0.145	-.6663568 .0983036
hta	-.0477647	.0920955	-0.52	0.604	-.2282685 .132739
dm	-.3038678	.0819278	-3.71	0.000	-.432923 .4644433
disp	-.298868	.0882621	-3.39	0.001	-.4718586 -.1258774
Fumador	.0084702	.103289	0.08	0.935	-.1939724 .2109129
fa	.4697298	.0901012	5.21	0.000	.2931347 .6463249
ce	.1767522	.1301517	1.36	0.174	-.0783404 .4318448
AVCI	1.418922	.1098768	12.91	0.000	1.203567 1.634277
AVCH	1.35107	.166561	9.31	0.000	1.224616 1.877523
_cons	-7.25223	.1242374	-58.37	0.000	-7.495731 -7.008729

```
. scalar lambda_e = exp(_b[_cons])
. scalar list lambda_e
lambda_e = .00070859
.
```

### Weibull

```
. streg sexo antpavc antpeam infgenavc infgeneam hta dm disp Fumador fa ce AVCI AVCH, dist(weib)
> nohr
      failure_d:  obito == 1
      analysis time_t:  idadesobrev

Fitting constant-only model:
Iteration 0:  log likelihood = -2025.6102
Iteration 1:  log likelihood = -1318.3001
Iteration 2:  log likelihood = -861.59699
Iteration 3:  log likelihood = -770.43285
Iteration 4:  log likelihood = -768.8274
Iteration 5:  log likelihood = -768.82712
Iteration 6:  log likelihood = -768.82712

Fitting full model:
Iteration 0:  log likelihood = -768.82712
Iteration 1:  log likelihood = -691.82539
Iteration 2:  log likelihood = -684.85455
Iteration 3:  log likelihood = -684.84485
Iteration 4:  log likelihood = -684.84485

Weibull regression -- log relative-hazard form
No. of subjects =      4749      Number of obs =      4749
No. of failures =      711
Time at risk =      343493
LR chi2(13) =      167.96
Log likelihood = -684.84485      Prob > chi2 =      0.0000
```

_t	Coef.	Std. Err.	z	P> z	[95% Conf. Interval]
sexo	-.0556253	.0836168	-0.67	0.506	-.2195112 .1082606
antpavc	-.0390584	.0953501	-0.41	0.682	-.2259412 .1478243
antpeam	.182972	.1487925	1.23	0.219	-.1086559 .4745999
infgenavc	-.0712567	.1451525	-0.49	0.623	-.3557504 .213237
infgeneam	-.1428986	.1955025	-0.73	0.465	-.2404752 .5262724
hta	-.1482734	.0914003	-1.62	0.105	-.3274147 .0308679
dm	.363354	.0820196	4.43	0.000	.2025986 .5241094
disp	-.0948801	.0884604	-1.07	0.283	-.2682392 .0784991
Fumador	.3476203	.1061011	3.28	0.001	.1398666 .5557446
fa	.2035742	.0898462	2.27	0.023	.027479 .3796694
ce	.1214935	.1296786	0.94	0.349	-.1326719 .375659
AVCI	1.017548	.1103429	9.22	0.000	.8012804 1.233816
AVCH	1.329064	.1676896	7.93	0.000	1.000398 1.657729
_cons	-43.00099	1.207164	-35.62	0.000	-45.36699 -40.63499
/ln_p	2.218782	.0295093	75.19	0.000	2.160945 2.276619
p	9.19612	.2713707			8.679332 9.743679
1/p	.1087415	.0032089			.1026306 .1152162

```
. scalar lambda_w = exp(_b[_cons])
. scalar list lambda_w
lambda_w = 2.113e-19
.
```



## Log normal

```
. streg sexo antpavc antpeam infgenavc infgeneam hta dm disp Fumador fa ce AVCI AVCH, dist(lnnorma > 1)
```

```
failure_d: obito == 1
analysis time_t: idadesobrev

Fitting constant-only model:
Iteration 0: log likelihood = -4444.2004 (not concave)
Iteration 1: log likelihood = -1494.0772 (not concave)
Iteration 2: log likelihood = -1332.5559
Iteration 3: log likelihood = -1088.3137
Iteration 4: log likelihood = -959.30089
Iteration 5: log likelihood = -873.47797
Iteration 6: log likelihood = -872.28116
Iteration 7: log likelihood = -872.27796
Iteration 8: log likelihood = -872.27796

Fitting full model:
Iteration 0: log likelihood = -872.27796
Iteration 1: log likelihood = -808.81144
Iteration 2: log likelihood = -794.0206
Iteration 3: log likelihood = -793.82826
Iteration 4: log likelihood = -793.82807
Iteration 5: log likelihood = -793.82807

Log-normal regression -- accelerated failure-time form
No. of subjects = 4749 Number of obs = 4749
No. of failures = 711
Time at risk = 343493 LR chi2(13) = 156.90
Log likelihood = -793.82807 Prob > chi2 = 0.0000
```

_t	Coef.	Std. Err.	z	P> z	[95% Conf. Interval]	
sexo	-.0024925	.0118254	-0.21	0.833	-.0256698	.0206848
antpavc	.0072165	.0137485	0.53	0.597	-.0196817	.0342116
antpeam	-.0025232	.0220088	-0.11	0.909	-.0456596	.0406131
infgenavc	.0093117	.019516	0.48	0.633	-.028939	.0475625
infgeneam	-.010036	.0268136	-0.37	0.708	-.0625897	.0425176
hta	.0278803	.0133187	2.09	0.036	.0017761	.0539846
dm	-.0450014	.0120217	-3.74	0.000	-.0685636	-.0214393
disp	.0181009	.0124792	1.45	0.147	-.006358	.0425397
Fumador	-.0569946	.0148165	-3.85	0.000	-.0860343	-.0279549
fa	-.0193523	.0138718	-1.40	0.163	-.0465406	.007836
ce	-.0110866	.0200021	-0.55	0.579	-.05029	.0281169
AVCI	-.1276183	.0140472	-9.08	0.000	-.1551502	-.1000864
AVCH	-.175154	.0241164	-7.28	0.000	-.227826	-.1282482
_cons	4.700381	.0181811	258.53	0.000	4.664747	4.736015
/ln_sig	-1.506232	.0273254	-55.12	0.000	-1.559789	-1.452675
sigma	.2217439	.0060592			.2101804	.2339436

```
. scalar lambda_ln = exp(_b[_cons] )
```

```
. scalar list lambda_ln
lambda_ln = 109.98906
```

## Gompertz

```
. streg sexo antpavc antpeam infgenavc infgeneam hta dm disp Fumador fa ce AVCI AVCH, dist(gomp) > nohr
```

```
failure_d: obito == 1
analysis time_t: idadesobrev

Fitting constant-only model:
Iteration 0: log likelihood = -2025.5821
Iteration 1: log likelihood = -1938.664
Iteration 2: log likelihood = -803.03896
Iteration 3: log likelihood = -761.89956
Iteration 4: log likelihood = -760.36788
Iteration 5: log likelihood = -760.36584
Iteration 6: log likelihood = -760.36584

Fitting full model:
Iteration 0: log likelihood = -760.36584
Iteration 1: log likelihood = -683.97372
Iteration 2: log likelihood = -676.92849
Iteration 3: log likelihood = -676.91851
Iteration 4: log likelihood = -676.91851

Gompertz regression -- log relative-hazard form
No. of subjects = 4749 Number of obs = 4749
No. of failures = 711
Time at risk = 343493 LR chi2(13) = 166.89
Log likelihood = -676.91851 Prob > chi2 = 0.0000
```

_t	Coef.	Std. Err.	z	P> z	[95% Conf. Interval]	
sexo	-.0691147	.0836441	-0.83	0.409	-.2330542	.0948248
antpavc	-.0283509	.0953657	-0.30	0.766	-.2152643	.1585625
antpeam	.1907806	.1487711	1.28	0.200	-.1008054	.4823666
infgenavc	-.0487058	.1452864	-0.34	0.737	-.333462	.2360504
infgeneam	.1679961	.1957589	0.86	0.391	-.2156842	.5516763
hta	-.1484079	.0913306	-1.62	0.104	-.3274126	.0305968
dm	.3796653	.0820925	4.62	0.000	.218767	.5405637
disp	-.0840372	.0885311	-0.95	0.342	-.2575549	.0894806
Fumador	.3587107	.1062383	3.38	0.001	.1504874	.5669339
fa	.2004003	.089911	2.23	0.026	.024178	.3766226
ce	.1211378	.1296192	0.93	0.350	-.1329112	.3751867
AVCI	.9978233	.1103463	9.04	0.000	.7815485	1.214098
AVCH	1.325824	.1676971	7.91	0.000	.9971436	1.654504
_cons	-14.35837	.2837859	-50.60	0.000	-14.91458	-13.80216
/gamma	.1181548	.0033631	35.13	0.000	.1115632	.1247464

```
. scalar lambda_teta = exp(_b[_cons] )
```

```
. scalar list lambda_teta
lambda_teta = 5.811e-07
```

## Log logistic

```
. streg sexo antpavc antpeam infgenavc infgeneam hta dm disp Fumador fa ce AVCI AVCH, dist(1logis > tic)
```

```

failure_d:  obito == 1
analysis time_t:  idadesobrev

Fitting constant-only model:
Iteration 0:  log likelihood = -2740.3742 (not concave)
Iteration 1:  log likelihood = -2002.4564 (not concave)
Iteration 2:  log likelihood = -1661.05
Iteration 3:  log likelihood = -1382.5073
Iteration 4:  log likelihood = -829.18513
Iteration 5:  log likelihood = -779.2652
Iteration 6:  log likelihood = -771.99633
Iteration 7:  log likelihood = -771.90092
Iteration 8:  log likelihood = -771.90087

Fitting full model:
Iteration 0:  log likelihood = -771.90087
Iteration 1:  log likelihood = -710.26053
Iteration 2:  log likelihood = -689.29398
Iteration 3:  log likelihood = -689.19345
Iteration 4:  log likelihood = -689.19345

Log-logistic regression -- accelerated failure-time form
No. of subjects = 4749          Number of obs = 4749
No. of failures = 711
Time at risk = 343493
LR chi2(13) = 165.41
Log likelihood = -689.19345    Prob > chi2 = 0.0000

```

_t	Coef.	Std. Err.	z	P> z	[95% Conf. Interval]	
sexo	.0024618	.0094992	0.26	0.796	-.0161562	.0210798
antpavc	.0038003	.0108668	0.35	0.727	-.0174983	.0250988
antpeam	-.0144521	.016957	-0.85	0.394	-.0476873	.018783
infgenavc	-.0065551	.0162009	-0.41	0.681	-.0250978	.0384087
infgeneam	-.0126527	.0218138	-0.58	0.562	-.054109	.0300975
hta	.0180678	.0106616	1.69	0.090	-.0028286	.0389643
dm	-.0404436	.0095121	-4.25	0.000	-.059087	-.0218001
disp	.0100947	.010054	1.00	0.315	-.0096107	.0298001
Fumador	-.0446066	.0121094	-3.68	0.000	-.0683406	-.0208727
fa	-.0206692	.0105444	-1.96	0.050	-.0413358	-.2.68e-06
ce	-.0122786	.0152379	-0.81	0.420	-.0421445	.0175872
AVCI	-.1086752	.0122327	-8.88	0.000	-.1326508	-.0846995
AVCH	-.1438808	.0195922	-7.34	0.000	-.1822808	-.1054808
_cons	4.641899	.0150891	307.63	0.000	4.612325	4.671473
/ln_gam	-2.335461	.0304271	-76.76	0.000	-2.395098	-2.275825
gamma	.0967658	.0029443			.0911638	.1027121

```
. scalar lambda_ll = exp(_b[_cons] )
. scalar list lambda_ll
lambda_ll = 103.74112
```

## Gamma

```
. streg sexo antpavc antpeam infgenavc infgeneam hta dm disp Fumador fa ce AVCI AVCH, dist(gamma)
```

```

failure_d:  obito == 1
analysis time_t:  idadesobrev

Fitting constant-only model:
Iteration 0:  log likelihood = -2025.6102
Iteration 1:  log likelihood = -1710.3876 (backed up)
Iteration 2:  log likelihood = -1126.3298
Iteration 3:  log likelihood = -829.52402
Iteration 4:  log likelihood = -801.49607
Iteration 5:  log likelihood = -769.57543
Iteration 6:  log likelihood = -768.49392
Iteration 7:  log likelihood = -768.47096
Iteration 8:  log likelihood = -768.47092

Fitting full model:
Iteration 0:  log likelihood = -768.47092
Iteration 1:  log likelihood = -723.42287
Iteration 2:  log likelihood = -687.44417
Iteration 3:  log likelihood = -684.82803
Iteration 4:  log likelihood = -684.58633
Iteration 5:  log likelihood = -684.586
Iteration 6:  log likelihood = -684.586

Gamma regression -- accelerated failure-time form
No. of subjects = 4749          Number of obs = 4749
No. of failures = 711
Time at risk = 343493
LR chi2(13) = 167.77
Log likelihood = -684.586    Prob > chi2 = 0.0000

```

_t	Coef.	Std. Err.	z	P> z	[95% Conf. Interval]	
sexo	.0065103	.0090316	0.72	0.471	-.0111814	.0242119
antpavc	.0041575	.0102796	0.40	0.686	-.01599	.0243051
antpeam	-.0204162	.0159994	-1.28	0.202	-.0517744	.010942
infgenavc	-.0077839	.0157371	-0.49	0.621	-.0230603	.0386282
infgeneam	-.0100048	.0211257	-0.76	0.449	-.0574103	.0254008
hta	.0156946	.0098494	1.59	0.111	-.0036099	.0349991
dm	-.0393174	.0088544	-4.44	0.000	-.0566717	-.0219632
disp	.0102203	.0095688	1.07	0.285	-.0085302	.0289709
Fumador	-.0368583	.011489	-3.21	0.001	-.0593764	-.0143402
fa	-.0221394	.0096914	-2.28	0.022	-.0411343	-.0031445
ce	-.0132872	.013911	-0.96	0.339	-.0405522	.0139779
AVCI	-.110662	.012767	-8.67	0.000	-.1356849	-.0856392
AVCH	-.1442402	.0187234	-7.70	0.000	-.1809374	-.1075431
_cons	4.677001	.0157642	296.68	0.000	4.646104	4.707899
/ln_sig	-2.265204	.0726486	-31.18	0.000	-2.407592	-2.122815
/kappa	1.075505	.1090419	9.86	0.000	.8617872	1.289224
sigma	.1038089	.0075416			.0900318	.1196942

```
. scalar lambda_ga = exp(_b[_cons] )
. scalar list lambda_ga
lambda_ga = 107.4474
```

```

. scalar ll_ga = -684.586
. scalar ll_e = -1868.7487
. scalar trv_e = 2* (ll_ga - ll_e)
. scalar p_e = 1- chi2(2, trv_e)
. scalar ll_w = -684.84485
. scalar trv_w = 2* (ll_ga - ll_w)
. scalar p_w = 1- chi2(2, trv_w)
. scalar ll_ln = -793.82807
. scalar trv_ln = 2* (ll_ga - ll_ln)
. scalar p_ln = 1- chi2(2, trv_ln)
. scalar ll_ll = -689.19345
. scalar trv_ll = 2* (ll_ga - ll_ll)
. scalar p_ll = 1- chi2(2, trv_ll)
. scalar list p_e p_w p_ln p_ll
      p_e = 0
      p_w = .77193881
      p_ln = 0
      p_ll = .00997723

```

### Apêndice 6.9 – Ajuste de modelos paramétricos pelo método dos critérios de informação para indivíduos com AVC.

```

. quietly streg, dist(exp)
. estimates store exp
. quietly streg, dist(weib)
. estimates store weib
. quietly streg, dist(gomp)
. estimates store gomp
. quietly streg, dist(lnormal)
. estimates store lnormal
. quietly streg, dist(lllogistic)
. estimates store lllogistic
. quietly streg, dist(gamma)
. estimates store gamma
. estimates stats _all

```

Model	Obs	ll(null)	ll(model)	df	AIC	BIC
exp	4749	-2025.61	-2025.61	1	4053.22	4059.686
weib	4749	-768.8271	-768.8271	2	1541.654	1554.586
gomp	4749	.	-760.3658	2	1524.732	1537.663
lnormal	4749	.	-872.278	2	1748.556	1761.487
lllogistic	4749	.	-771.9009	2	1547.802	1560.733
gamma	4749	.	-768.4709	3	1542.942	1562.339

Note: N=Obs used in calculating BIC; see [\[R\] BIC note](#)

### Gompertz

```
. streg sexo antpavc antpeam infgenavc infgeneam hta dm disp Fumador fa ce AVCI AVCH, dist(gomp)
> nohr
```

```
failure _d: obito == 1
analysis time _t: idadesobrev
```

Fitting constant-only model:

```
Iteration 0: log likelihood = -2025.5821
Iteration 1: log likelihood = -1938.664
Iteration 2: log likelihood = -803.03896
Iteration 3: log likelihood = -761.89956
Iteration 4: log likelihood = -760.36788
Iteration 5: log likelihood = -760.36584
Iteration 6: log likelihood = -760.36584
```

Fitting full model:

```
Iteration 0: log likelihood = -760.36584
Iteration 1: log likelihood = -683.97372
Iteration 2: log likelihood = -676.92849
Iteration 3: log likelihood = -676.91851
Iteration 4: log likelihood = -676.91851
```

Gompertz regression -- log relative-hazard form

```
No. of subjects = 4749           Number of obs = 4749
No. of failures = 711
Time at risk = 343493
LR chi2(13) = 166.89
Log likelihood = -676.91851     Prob > chi2 = 0.0000
```

_t	Coef.	Std. Err.	z	P> z	[95% Conf. Interval]
sexo	-.0691147	.0836441	-0.83	0.409	-.2330542 .0948248
antpavc	-.0283509	.0953657	-0.30	0.766	-.2152643 .1585625
antpeam	.1907806	.1487711	1.28	0.200	-.1008054 .4823666
infgenavc	-.0487058	.1452864	-0.34	0.737	-.333462 .2360504
infgeneam	.1679961	.1957589	0.86	0.391	-.2156842 .5516765
hta	-.1484079	.0913306	-1.62	0.104	-.3274126 .0305968
dm	.3796653	.0820925	4.62	0.000	.218767 .5405637
disp	-.0840372	.0885311	-0.95	0.342	-.2575549 .0894806
Fumador	.3587107	.1062383	3.38	0.001	.1504874 .5669339
fa	.2004003	.089911	2.23	0.026	.024178 .3766226
ce	.1211378	.1296192	0.93	0.350	-.1329112 .3751867
AVCI	.9978233	.1103463	9.04	0.000	.7815485 1.214098
AVCH	1.325824	.1676971	7.91	0.000	.9971436 1.654504
_cons	-14.35837	.2837859	-50.60	0.000	-14.91458 -13.80216
/gamma	.1181548	.0033631	35.13	0.000	.1115632 .1247464

```
. mfx compute, dydx at(mean)
```

```
Marginal effects after streg
y = predicted median _t (predict)
= 95.052389
```

variable	dy/dx	Std. Err.	z	P> z	[ 95% C.I. ]	x
sexo*	.5849424	.70757	0.83	0.408	-.801869 1.97175	.469573
antpavc*	.2399438	.80722	0.30	0.766	-1.34218 1.82206	.181722
antpeam*	-1.614643	1.2586	-1.28	0.200	-4.08144 .852158	.05896
infgen~c*	.4122147	1.23054	0.33	0.738	-1.9996 2.82403	.091598
infgen~m*	-1.42181	1.65448	-0.86	0.390	-4.66454 1.82092	.049063
hta*	1.256029	.77347	1.62	0.104	-.259939 2.772	.706675
dm*	-3.21324	.69646	-4.61	0.000	-4.57829 -1.84819	.263213
disp*	.711237	.75082	0.95	0.343	-.760342 2.18282	.319436
Fumador*	-3.035893	.89683	-3.39	0.001	-4.79364 -1.27814	.19562
fa*	-1.696058	.76491	-2.22	0.027	-3.19525 -.196861	.128659
ce*	-1.025232	1.09766	-0.93	0.350	-3.17661 1.12615	.057275
AVCI*	-8.444934	.9854	-8.57	0.000	-10.3763 -6.51359	.516951
AVCH*	-11.22078	1.46208	-7.67	0.000	-14.0864 -8.35516	.045904

(\*) dy/dx is for discrete change of dummy variable from 0 to 1

- **TEMPO ENTRE EVENTO E ÓBITO**

Análise univariada para amostra de indivíduos com AVC

## MODELOS NÃO PARAMÉTRICOS

Apêndice 6.10 - Estimador Kaplan-Meier para fatores de risco não modificáveis.

```
. stset tsobrevencia, failure(obito==1)
      failure event:  obito == 1
obs. time interval:  (0, tsobrevencia]
exit on or before:  failure
```

---

```
2686 total obs.
  16 obs. end on or before enter()
```

---

```
2670 obs. remaining, representing
  596 failures in single record/single failure data
4648548 total analysis time at risk, at risk from t = 0
      earliest observed entry t = 0
      last observed exit t = 3085
```

```
. sts test sexo
```

```
      failure _d:  obito == 1
analysis time _t:  tsobrevencia
```

**Log-rank test for equality of survivor functions**

sexo	Events observed	Events expected
Masculino	340	326.08
Feminino	256	269.92
Total	596	596.00

chi2(1) = 1.31  
Pr>chi2 = 0.2519

```
. sts test idadeadois
```

```
      failure _d:  obito == 1
analysis time _t:  tsobrevencia
```

**Log-rank test for equality of survivor functions**

idadeadois	Events observed	Events expected
< 56 anos	29	82.96
> ou = 56 anos	567	513.04
Total	596	596.00

chi2(1) = 40.83  
Pr>chi2 = 0.0000

```
. sts test antpavc
```

```
      failure _d:  obito == 1
analysis time _t:  tsobrevencia
```

**Log-rank test for equality of survivor functions**

antpavc	Events observed	Events expected
Não	467	468.06
Sim	129	127.94
Total	596	596.00

chi2(1) = 0.01  
Pr>chi2 = 0.9158

```
. sts test antpeam
      failure _d: obito == 1
      analysis time _t: tsobrevida
```

**Log-rank test for equality of survivor functions**

antpeam	Events observed	Events expected
Não	<b>553</b>	<b>560.83</b>
Sim	<b>43</b>	<b>35.17</b>
Total	<b>596</b>	<b>596.00</b>

```
      chi2(1) = 1.86
      Pr>chi2 = 0.1732
```

```
. sts test infgenavc
      failure _d: obito == 1
      analysis time _t: tsobrevida
```

**Log-rank test for equality of survivor functions**

infgenavc	Events observed	Events expected
Não	<b>543</b>	<b>507.01</b>
Sim	<b>53</b>	<b>88.99</b>
Total	<b>596</b>	<b>596.00</b>

```
      chi2(1) = 17.13
      Pr>chi2 = 0.0000
```

```
. sts test infgeneam
      failure _d: obito == 1
      analysis time _t: tsobrevida
```

**Log-rank test for equality of survivor functions**

infgeneam	Events observed	Events expected
Não	<b>570</b>	<b>551.70</b>
Sim	<b>26</b>	<b>44.30</b>
Total	<b>596</b>	<b>596.00</b>

```
      chi2(1) = 8.18
      Pr>chi2 = 0.0042
```

## Apêndice 6.11 - Estimador Kaplan-Meier para fatores de risco modificáveis para indivíduos com AVC.

```
. sts test hta
      failure _d: obito == 1
      analysis time _t: tsobrevida
```

**Log-rank test for equality of survivor functions**

hta	Events observed	Events expected
Não	<b>119</b>	<b>126.72</b>
Sim	<b>477</b>	<b>469.28</b>
Total	<b>596</b>	<b>596.00</b>

```
      chi2(1) = 0.60
      Pr>chi2 = 0.4397
```

```
. sts test dm
      failure _d: obito == 1
      analysis time _t: tsobrevida
```

**Log-rank test for equality of survivor functions**

dm	Events observed	Events expected
Não	<b>387</b>	<b>427.04</b>
Sim	<b>209</b>	<b>168.96</b>
Total	<b>596</b>	<b>596.00</b>

```
      chi2(1) = 13.25
      Pr>chi2 = 0.0003
```

```
. sts test displ
      failure _d: obito == 1
      analysis time _t: tsobrevivencia
```

**Log-rank test for equality of survivor functions**

dislp	Events observed	Events expected
Não	<b>432</b>	<b>390.55</b>
Sim	<b>164</b>	<b>205.45</b>
Total	<b>596</b>	<b>596.00</b>

```
      chi2(1) = 12.78
      Pr>chi2 = 0.0004
```

```
. sts test Fumador
      failure _d: obito == 1
      analysis time _t: tsobrevivencia
```

**Log-rank test for equality of survivor functions**

Fumador	Events observed	Events expected
Não	<b>472</b>	<b>449.27</b>
Sim	<b>124</b>	<b>146.73</b>
Total	<b>596</b>	<b>596.00</b>

```
      chi2(1) = 4.68
      Pr>chi2 = 0.0306
```

```
      analysis time _t: tsobrevivencia
```

```
. sts test fa
      failure _d: obito == 1
      analysis time _t: tsobrevivencia
```

**Log-rank test for equality of survivor functions**

fa	Events observed	Events expected
Não	<b>455</b>	<b>513.45</b>
Sim	<b>141</b>	<b>82.55</b>
Total	<b>596</b>	<b>596.00</b>

```
      chi2(1) = 48.10
      Pr>chi2 = 0.0000
```

```
. sts test ce
      failure _d: obito == 1
      analysis time _t: tsobrevivencia
```

**Log-rank test for equality of survivor functions**

ce	Events observed	Events expected
Não	<b>537</b>	<b>546.75</b>
Sim	<b>59</b>	<b>49.25</b>
Total	<b>596</b>	<b>596.00</b>

```
      chi2(1) = 2.11
      Pr>chi2 = 0.1467
```

MODELO SEMI-PARAMÉTRICO

Apêndice 6.12 – Modelo de Cox na análise multivariada em indivíduos com AVC.

```
. stcox sexo idadedois antpavc antpeam infgenavc infgeneam hta dm displ Fumador fa ce, vce(robust)
> nohr
```

```
      failure _d:  obito == 1
      analysis time _t:  tsobrevivencia

Iteration 0:  log pseudolikelihood = -4566.7065
Iteration 1:  log pseudolikelihood = -4504.1969
Iteration 2:  log pseudolikelihood = -4500.2517
Iteration 3:  log pseudolikelihood = -4500.2131
Iteration 4:  log pseudolikelihood = -4500.2131
Refining estimates:
Iteration 0:  log pseudolikelihood = -4500.2131
```

Cox regression -- Breslow method for ties

```
No. of subjects      =      2670          Number of obs   =      2670
No. of failures     =       596
Time at risk        =     4648548

Log pseudolikelihood =    -4500.2131          Wald chi2(12)   =     118.31
                                                Prob > chi2     =     0.0000
```

_t	Coef.	Robust Std. Err.	z	P> z	[95% Conf. Interval]	
sexo	-.1695969	.0924306	-1.83	0.067	-.3507576	.0115638
idadedois	.9720859	.194412	5.00	0.000	.5910454	1.353126
antpavc	.0096347	.0999944	0.10	0.923	-.1863507	.2056201
antpeam	.1488143	.1637445	0.91	0.363	-.1721191	.4697476
infgenavc	-.4773256	.1424785	-3.35	0.001	-.7565784	-.1980729
infgeneam	-.3387683	.1978068	-1.71	0.087	-.7264625	.0489259
hta	-.0230103	.1055881	-0.22	0.827	-.2299592	.1839386
dm	.3637019	.0883193	4.12	0.000	.1905992	.5368046
dislp	-.2773236	.0935986	-2.96	0.003	-.4607734	-.0938738
Fumador	-.144973	.112257	-1.29	0.197	-.3649927	.0750466
fa	.5450721	.1001162	5.44	0.000	.3488479	.7412963
ce	.1413925	.1429819	0.99	0.323	-.138847	.4216319

```
. mfx compute, dydx at(mean)
```

Marginal effects after stcox  
y = relative hazard (predict)  
= 2.1146346

variable	dy/dx	Std. Err.	z	P> z	[ 95% C.I. ]		X
sexo*	-.3559318	.1848	-1.93	0.054	-.718134	.006271	.448315
idaded~s*	1.487382	.47454	3.13	0.002	.557292	2.41747	.873034
antpavc*	.0204307	.21292	0.10	0.924	-.396879	.437741	.211236
antpeam*	.3362402	.40141	0.84	0.402	-.450516	1.123	.061049
infgen~c*	-.8573626	.26703	-3.21	0.001	-1.38073	-.333995	.138202
infgen~m*	-.6220772	.3224	-1.93	0.054	-1.25397	.00982	.069288
hta*	-.0489835	.22378	-0.22	0.827	-.487589	.389622	.78839
dm*	.8354393	.26873	3.11	0.002	.308743	1.36214	.28764
dislp*	-.5622709	.20518	-2.74	0.006	-.964413	-.160128	.336704
Fumador*	-.295262	.20763	-1.42	0.155	-.702207	.111683	.234831
fa*	1.40978	.41788	3.37	0.001	.590754	2.22881	.153184
ce*	.317326	.34922	0.91	0.364	-.367127	1.00178	.085019

(\*) dy/dx is for discrete change of dummy variable from 0 to 1



```
. predict s, xb
(16 missing values generated)
```

```
. gen s2 = s^2
(16 missing values generated)
```

```
. stcox s s2
```

```
      failure _d:  obito == 1
      analysis time _t:  tsobrevivencia
```

```
Iteration 0:  log likelihood = -4566.7065
Iteration 1:  log likelihood = -4506.5918
Iteration 2:  log likelihood = -4500.4166
Iteration 3:  log likelihood = -4500.2132
Iteration 4:  log likelihood = -4500.2128
Iteration 5:  log likelihood = -4500.2128
Refining estimates:
Iteration 0:  log likelihood = -4500.2128
```

Cox regression -- Breslow method for ties

```
No. of subjects =      2670      Number of obs   =      2670
No. of failures =       596
Time at risk   =    4648548
Log likelihood =   -4500.2128      LR chi2(2)      =    132.99
                                      Prob > chi2     =     0.0000
```

_t	Haz. Ratio	Std. Err.	z	P> z	[95% Conf. Interval]	
s	2.731569	.5886993	4.66	0.000	1.790457	4.167355
s2	.9969737	.1207517	-0.03	0.980	.7862989	1.264095

## Linktest

```
. linktest
```

```
      failure _d:  obito == 1
      analysis time _t:  tsobrevivencia
```

```
Iteration 0:  log likelihood = -4566.7065
Iteration 1:  log likelihood = -4506.5178
Iteration 2:  log likelihood = -4500.4158
Iteration 3:  log likelihood = -4500.2132
Iteration 4:  log likelihood = -4500.2128
Iteration 5:  log likelihood = -4500.2128
Refining estimates:
Iteration 0:  log likelihood = -4500.2128
```

Cox regression -- Breslow method for ties

```
No. of subjects =      2670      Number of obs   =      2670
No. of failures =       596
Time at risk   =    4648548
Log likelihood =   -4500.2128      LR chi2(2)      =    132.99
                                      Prob > chi2     =     0.0000
```

_t	Coef.	Std. Err.	z	P> z	[95% Conf. Interval]	
_hat	.9985791	.2147964	4.65	0.000	.5775859	1.419572
_hatsq	.0008845	.1208469	0.01	0.994	-.235971	.23774

### Coeficiente C de Harrell

```
. estat concordance

Harrell's C concordance statistic

      failure _d:  obito == 1
      analysis time _t:  tsobrevivencia

Number of subjects (N)      =    2670
Number of comparison pairs (P) =  1326302
Number of orderings as expected (E) =  834116
Number of tied predictions (T) =   23031

Harrell's C = (E + T/2) / P =   .6376
Somers' D =   .2752
```

### Critérios de informação

```
. estat ic
```

Model	Obs	ll(null)	ll(model)	df	AIC	BIC
.	2670	-4566.707	-4500.213	12	9024.426	9095.104

Note: N=Obs used in calculating BIC; see [\[R\] BIC note](#)

### Phstest

```
. capture drop sc*
```

```
. stcox sexo idadedois antpavc antpeam infgenavc infgeneam hta dm displ Fumador fa ce, schoenfeld(s
> ch*) scal (sc*) nohr
```

```
      failure _d:  obito == 1
      analysis time _t:  tsobrevivencia

Iteration 0:  log likelihood = -4566.7065
Iteration 1:  log likelihood = -4504.1969
Iteration 2:  log likelihood = -4500.2517
Iteration 3:  log likelihood = -4500.2131
Iteration 4:  log likelihood = -4500.2131
Refining estimates:
Iteration 0:  log likelihood = -4500.2131
```

Cox regression -- Breslow method for ties

```
No. of subjects =    2670          Number of obs =    2670
No. of failures =    596
Time at risk =    4648548
Log likelihood = -4500.2131          LR chi2(12) =    132.99
                                      Prob > chi2 =    0.0000
```

_t	Coef.	Std. Err.	z	P> z	[95% Conf. Interval]
sexo	-.1695969	.0912469	-1.86	0.063	-.3484375 .0092437
idadedois	.9720859	.19375	5.02	0.000	.5923428 1.351829
antpavc	.0096347	.1006956	0.10	0.924	-.187725 .2069944
antpeam	.1488143	.1620792	0.92	0.359	-.1688551 .4664837
infgenavc	-.4773256	.1459105	-3.27	0.001	-.7633049 -.1913464
infgeneam	-.3387683	.2028262	-1.67	0.095	-.7363003 .0587637
hta	-.0230103	.1057297	-0.22	0.828	-.2302366 .184216
dm	.3637019	.0880024	4.13	0.000	.1912203 .5361835
dislp	-.2773236	.0943693	-2.94	0.003	-.4622841 -.0923631
Fumador	-.144973	.1122839	-1.29	0.197	-.3650455 .0750994
fa	.5450721	.0983935	5.54	0.000	.3522243 .7379199
ce	.1413925	.1396521	1.01	0.311	-.1323206 .4151055

```
. stphtest, detail
```

```
Test of proportional-hazards assumption
```

```
Time: Time
```

	rho	chi2	df	Prob>chi2
sexo	0.02189	0.29	1	0.5910
idadedois	-0.01806	0.20	1	0.6566
antpavc	0.09040	4.74	1	0.0295
antpeam	0.02560	0.39	1	0.5307
infgenavc	0.04591	1.22	1	0.2701
infgeneam	0.02291	0.31	1	0.5773
hta	0.01701	0.17	1	0.6804
dm	0.00984	0.06	1	0.8104
dislp	0.06119	2.18	1	0.1402
Fumador	0.11961	8.59	1	0.0034
fa	-0.03720	0.84	1	0.3608
ce	-0.06544	2.62	1	0.1055
global test		26.98	12	0.0078

## Apêndice do capítulo VII – Exames de diagnóstico e tomada de decisão

### Apêndices 7 - Análise de sensibilidade e especificidade

#### Apêndice 7.1 - Sintaxes utilizadas para criar novas variáveis

##### TSC e TST

##### Quando sem AVC

```
IF ((indicação2=0)&(tscantesq=0)&(tscantdta=0)&(tscpost=0)) qfinal=1.
```

```
IF ((indicação2=0)&(tscantesq=0)&(tscantdta=1)&(tscpost=0)) qfinal=3.
```

```
IF ((indicação2=0)&(tscantesq=0)&(tscantdta=0)&(tscpost=1)) qfinal=3.
```

```
IF ((indicação2=0)&(tscantesq=0)&(tscantdta=1)&(tscpost=1)) qfinal=3.
```

```
IF ((indicação2=0)&(tscantesq=1)&(tscantdta=1)&(tscpost=1)) qfinal=3.
```

```
IF ((indicação2=0)&(tscantesq=1)&(tscantdta=1)&(tscpost=0)) qfinal=3.
```

```
IF ((indicação2=0)&(tscantesq=1)&(tscantdta=0)&(tscpost=0)) qfinal=3.
```

```
IF ((indicação2=0)&(tscantesq=1)&(tscantdta=0)&(tscpost=1)) qfinal=3.
```

##### Quando AVC I H E

```
IF ((indicação2=1)&(tscantesq=0)&(tscantdta=0)&(tscpost=0)) qfinal=4.
```

```
IF ((indicação2=1)&(tscantesq=0)&(tscantdta=1)&(tscpost=0)) qfinal=6.
```

```
IF ((indicação2=1)&(tscantesq=0)&(tscantdta=0)&(tscpost=1)) qfinal=6.
```

```
IF ((indicação2=1)&(tscantesq=0)&(tscantdta=1)&(tscpost=1)) qfinal=6.
```

```
IF ((indicação2=1)&(tscantesq=1)&(tscantdta=1)&(tscpost=1)) qfinal=5.
```

```
IF ((indicação2=1)&(tscantesq=1)&(tscantdta=1)&(tscpost=0)) qfinal=5.
```

IF ((indicação2=1)&(tscantesq=1)&(tscantdta=0)&(tscpost=0)) qfinal=5.  
 IF ((indicação2=1)&(tscantesq=1)&(tscantdta=0)&(tscpost=1)) qfinal=5.

#### Quando AVC I H D

IF ((indicação2=2)&(tscantesq=0)&(tscantdta=0)&(tscpost=0)) qfinal=7.  
 IF ((indicação2=2)&(tscantesq=0)&(tscantdta=1)&(tscpost=0)) qfinal=8.  
 IF ((indicação2=2)&(tscantesq=0)&(tscantdta=0)&(tscpost=1)) qfinal=9.  
 IF ((indicação2=2)&(tscantesq=0)&(tscantdta=1)&(tscpost=1)) qfinal=8.  
 IF ((indicação2=2)&(tscantesq=1)&(tscantdta=1)&(tscpost=1)) qfinal=8.  
 IF ((indicação2=2)&(tscantesq=1)&(tscantdta=1)&(tscpost=0)) qfinal=8.  
 IF ((indicação2=2)&(tscantesq=1)&(tscantdta=0)&(tscpost=0)) qfinal=9.  
 IF ((indicação2=2)&(tscantesq=1)&(tscantdta=0)&(tscpost=1)) qfinal=9.

#### Quando AVC VB

IF ((indicação2=3)&(tscantesq=0)&(tscantdta=0)&(tscpost=0)) qfinal=10.  
 IF ((indicação2=3)&(tscantesq=0)&(tscantdta=1)&(tscpost=0)) qfinal=12.  
 IF ((indicação2=3)&(tscantesq=0)&(tscantdta=0)&(tscpost=1)) qfinal=11.  
 IF ((indicação2=3)&(tscantesq=0)&(tscantdta=1)&(tscpost=1)) qfinal=12.  
 IF ((indicação2=3)&(tscantesq=1)&(tscantdta=1)&(tscpost=1)) qfinal=12.  
 IF ((indicação2=3)&(tscantesq=1)&(tscantdta=1)&(tscpost=0)) qfinal=11.  
 IF ((indicação2=3)&(tscantesq=1)&(tscantdta=0)&(tscpost=0)) qfinal=11.  
 IF ((indicação2=3)&(tscantesq=1)&(tscantdta=0)&(tscpost=1)) qfinal=12.

#### Quando Outros

IF ((indicação2=4)&(tscantesq=0)&(tscantdta=0)&(tscpost=0)) qfinal=13.  
 IF ((indicação2=4)&(tscantesq=0)&(tscantdta=1)&(tscpost=0)) qfinal=15.  
 IF ((indicação2=4)&(tscantesq=0)&(tscantdta=0)&(tscpost=1)) qfinal=15.  
 IF ((indicação2=4)&(tscantesq=0)&(tscantdta=1)&(tscpost=1)) qfinal=15.  
 IF ((indicação2=4)&(tscantesq=1)&(tscantdta=1)&(tscpost=1)) qfinal=15.  
 IF ((indicação2=4)&(tscantesq=1)&(tscantdta=1)&(tscpost=0)) qfinal=15.  
 IF ((indicação2=4)&(tscantesq=1)&(tscantdta=0)&(tscpost=0)) qfinal=15.  
 IF ((indicação2=4)&(tscantesq=1)&(tscantdta=0)&(tscpost=1)) qfinal=15.

#### TAC, RM e Angio CE

##### Quando sem AVC

IF ((indicação2=0)&(tac2=0)&(taclocalização=-1)) qfinalTAC=1.  
 IF ((indicação2=0)&(tac2=1)&(taclocalização=-1)) qfinalTAC=3.  
 IF ((indicação2=0)&(tac2=1)&(taclocalização=1)) qfinalTAC=3.  
 IF ((indicação2=0)&(tac2=1)&(taclocalização=2)) qfinalTAC=3.  
 IF ((indicação2=0)&(tac2=1)&(taclocalização=3)) qfinalTAC=3.  
 IF ((indicação2=0)&(tac2=1)&(taclocalização=4)) qfinalTAC=3.  
 IF ((indicação2=0)&(tac2=1)&(taclocalização=5)) qfinalTAC=3.  
 IF ((indicação2=0)&(tac2=1)&(taclocalização=6)) qfinalTAC=3.

IF ((indicação2=0)& (tac2=1)&(taclocalização=7)) qfinal=TAC3.

#### Quando AVC I H E

IF ((indicação2=1)&(tac2=0)&(taclocalização=-1)) qfinalTAC=4.  
 IF ((indicação2=1)& (tac2=1)&(taclocalização=-1)) qfinalTAC=6.  
 IF ((indicação2=1)& (tac2=1)&(taclocalização=1) qfinalTAC=5.  
 IF ((indicação2=1)& (tac2=1)&(taclocalização=2) qfinalTAC=6.  
 IF ((indicação2=1)& (tac2=1)&(taclocalização=3) qfinalTAC=6.  
 IF ((indicação2=1)& (tac2=1)&(taclocalização=4) qfinalTAC=5.  
 IF ((indicação2=1)& (tac2=1)&(taclocalização=5) qfinalTAC=5.  
 IF ((indicação2=1)& (tac2=1)&(taclocalização=6) qfinalTAC=6.  
 IF ((indicação2=1)& (tac2=1)&(taclocalização=7)) qfinalTAC=5.

#### Quando AVC I H D

IF ((indicação2=2)&(tac2=0)&(taclocalização=-1)) qfinalTAC=7.  
 IF ((indicação2=2)& (tac2=1)&(taclocalização=-1)) qfinalTAC=9.  
 IF ((indicação2=2)& (tac2=1)&(taclocalização=1) qfinalTAC=9.  
 IF ((indicação2=2)& (tac2=1)&(taclocalização=2) qfinalTAC=8.  
 IF ((indicação2=2)& (tac2=1)&(taclocalização=3) qfinalTAC=9.  
 IF ((indicação2=2)& (tac2=1)&(taclocalização=4) qfinalTAC=8.  
 IF ((indicação2=2)& (tac2=1)&(taclocalização=5) qfinalTAC=9.  
 IF ((indicação2=2)& (tac2=1)&(taclocalização=6) qfinalTAC=8.  
 IF ((indicação2=2)& (tac2=1)&(taclocalização=7)) qfinalTAC=8.

#### Quando AVC VB

IF ((indicação2=3)&(tac2=0)&(taclocalização=-1)) qfinalTAC=10.  
 IF ((indicação2=3)& (tac2=1)&(taclocalização=-1)) qfinalTAC=12.  
 IF ((indicação2=3)& (tac2=1)&(taclocalização=1) qfinalTAC=12.  
 IF ((indicação2=3)& (tac2=1)&(taclocalização=2) qfinalTAC=12.  
 IF ((indicação2=3)& (tac2=1)&(taclocalização=3) qfinalTAC=11.  
 IF ((indicação2=3)& (tac2=1)&(taclocalização=4) qfinalTAC=12.  
 IF ((indicação2=3)& (tac2=1)&(taclocalização=5) qfinalTAC=11.  
 IF ((indicação2=3)& (tac2=1)&(taclocalização=6) qfinalTAC=11.  
 IF ((indicação2=3)& (tac2=1)&(taclocalização=7)) qfinalTAC=11.

#### Quando Outros

IF ((indicação2=4)&(tac2=0)&(taclocalização=-1)) qfinalTAC=13.  
 IF ((indicação2=4)& (tac2=1)&(taclocalização=-1)) qfinalTAC=15.  
 IF ((indicação2=4)& (tac2=1)&(taclocalização=1) qfinalTAC=15.  
 IF ((indicação2=4)& (tac2=1)&(taclocalização=2) qfinalTAC=15.  
 IF ((indicação2=4)& (tac2=1)&(taclocalização=3) qfinalTAC=15.  
 IF ((indicação2=4)& (tac2=1)&(taclocalização=4) qfinalTAC=15.  
 IF ((indicação2=4)& (tac2=1)&(taclocalização=5) qfinalTAC=15.  
 IF ((indicação2=4)& (tac2=1)&(taclocalização=6) qfinalTAC=15.

IF ((indicação2=4)& (tac2=1)&(taclocalização=7)) qfinalTAC=15.

Apêndice 7.2 - Resultados para calculo da sensibilidade e especificidade dos exames complementares de diagnóstico.

**TSC (n=3199)**

tscfpat \* SemAVC Crosstabulation

Count

		SemAVC		Total
		Não	Sim	
Tscfpat	Normal	459	15	474
	Patológico	2700	25	2725
Total		3159	40	3199

tscantesq \* AVCIHesq \* tscantda \* tscpost Crosstabulation

Count

Tscpost Tscantda				AVCIHesq		Total
				Não	Sim	
Normal	Normal	Tscantesq	Normal	378	96	474
			Patológico	271	70	341
		Total		649	166	815
Patológico	Patológico	tscantesq	Normal	205	56	261
			Patológico	1367	436	1803
		Total		1572	492	2064
Patológico	Normal	tscantesq	Normal	45	3	48
			Patológico	18	7	25
		Total		63	10	73
Patológico	Patológico	tscantesq	Normal	23	5	28
			Patológico	177	42	219
		Total		200	47	247

tscantesq \* AVCIHdto \* tscantdta \* tscpost Crosstabulation

Count

Tscpost				AVCIHdto		Total
				Não	Sim	
Normal	Normal	tscantesq	Normal	373	101	474
			Patológico	238	103	341
		Total		611	204	815
	Patológico	tscantesq	Normal	195	66	261
			Patológico	1272	531	1803
		Total		1467	597	2064
Patológico	Normal	tscantesq	Normal	33	15	48
			Patológico	16	9	25
		Total		49	24	73
	Patológico	tscantesq	Normal	21	7	28
			Patológico	157	62	219
		Total		178	69	247

tscantesq \* AVCVB \* tscantdta \* tscpost Crosstabulation

Count

Tscpost				AVCVB		Total
				Não	Sim	
Normal	Normal	tscantesq	Normal	413	61	474
			Patológico	307	34	341
		Total		720	95	815
	Patológico	tscantesq	Normal	232	29	261
			Patológico	1659	144	1803
		Total		1891	173	2064
Patológico	Normal	tscantesq	Normal	33	15	48
			Patológico	21	4	25
		Total		54	19	73
	Patológico	tscantesq	Normal	25	3	28
			Patológico	188	31	219
		Total		213	34	247

indicação2	Qfinal			S = sensibilidade		
	Normal = 0 C	Patologia comp=1 A	Outras Patol =1 C			
Com AVC	459	2700	0	$2700/(2700+459)*100$	85.5%	S
AVC IHE = 1	96	$436+70+7+42=555$	$56+3+5=64$	$555/(555+160)*100$	77.6%	S
AVC IHD = 2	101	$597+69=666$	$103+24=127$	$666/(666+228)*100=$	74.5%	S
AVC VB = 3	61	$34+19=53$	$34+173=207$	$53/(53+268)*100$	16.5%	<u>S</u>
Outros = 4	201	0	1028	$1028/(1028+201)*100$	83.7%	S

	Exame N D	Exame Pat comp B	Especificidade	
Sem AVC IHE	$378+205+45+23=651$	$271+1367+18+177=1833$	$651/(651+1833)*100$	26.2%
Sem AVCIHD	$611+49=660$	$1467+178=1645$	$660/(660+1645)*100$	28.6%
Sem AVC VB	$720+1891=3271$	$54+213=267$	$3271/(3271+267)*100$	92.5%
Sem outras**	273	$26+11+14++4+3+2+1+1+6=68$	$273/(273+68)*100$	80%

\*\* do cruzamento de Outras, com as 4 variáveis originais do tsc (outras=hipoplasia e tortuosidade)

**TST (n=1986)**

tstfpat \* SemAVC Crosstabulation

Count

		SemAVC		Total
		Não	Sim	
tstfpat	Normal	1446	14	1460
	Patológico	521	5	526
Total		1967	19	1986



tstantesq \* AVCIHesq \* tstantdta \* tstpost Crosstabulation

Count

tstpost	Tstantdta			AVCIHesq		Total
				Não	Sim	
Normal	Normal	tstantesq	Normal	1131	329	1460
			Patológico	58	12	70
		Total	1189	341	1530	
	Patológico	tstantesq	Normal	26	20	46
			Patológico	22	6	28
		Total	48	26	74	
Patológico	Normal	tstantesq	Normal	190	61	251
			Patológico	39	18	57
		Total	229	79	308	
	Patológico	tstantesq	Normal	29	8	37
			Patológico	28	9	37
		Total	57	17	74	

tstantesq \* AVCIHdto \* tstantdta \* tstpost Crosstabulation

Count

tstpost	Tstantdta			AVCIHdto		Total
				Não	Sim	
Normal	Normal	Tstantesq	Normal	1038	422	1460
			Patológico	38	32	70
		Total	1076	454	1530	
	Patológico	Tstantesq	Normal	35	11	46
			Patológico	19	9	28
		Total	54	20	74	
Patológico	Normal	Tstantesq	Normal	175	76	251
			Patológico	43	14	57
		Total	218	90	308	
	Patológico	Tstantesq	Normal	24	13	37
			Patológico	23	14	37
		Total	47	27	74	

tstantesq \* AVCVB \* tstantdta \* tstpost Crosstabulation

Count

tstpost	Tstantdta	AVCVB		Total		
		Não	Sim			
Normal	Normal	Tstantesq	Normal	1288	172	1460
			Patológico	66	4	70
		Total		1354	176	1530
	Patológico	Tstantesq	Normal	44	2	46
			Patológico	24	4	28
		Total		68	6	74
Patológico	Normal	Tstantesq	Normal	212	39	251
			Patológico	53	4	57
		Total		265	43	308
	Patológico	Tstantesq	Normal	33	4	37
			Patológico	32	5	37
		Total		65	9	74

indicação2	Qfinal			S = sensibilidade		
	Normal = 0	Patologia comp=1	Outras Patologia =1			
Com AVC	1446	521		$521/(521+1446)*100$	26.5%	S
AVC IHE = 1	329	45	89	$45/(45+418)*100$	9.7%	S
AVC IHD = 2	422	47	122	$47/(47+544)*100$	8%	S
AVC VB = 3	172	52	10	$52/(52+182)*100$	22.2%	S
Outros = 4	523	0	156	$156/(156+523)*100$	23%	S

	Exame N	Exame P comp	Especificidade	
Sem AVC IHE	1131+26+190+29=1376	58+22+39+28=147	$1376/(1376+147)*100$	90.4%
Sem AVCIHD	1076+218=1294	54+47=101	$1294/(1294+101)*100$	92.8%
Sem AVC VB	1354+68=1422	265+65=330	$1422/(1422+330)*100$	81.2%
Sem outras**	1+1+1+937+8+3+44=995	1+4+3+4=12	$995/(995+12)*100$	98.8%

\*\* do cruzamento de Outras, com as 4 variáveis originais do TST.

## TAC CE (n=1949)

tac2 \* SemAVC Crosstabulation

		SemAVC		Total
		Não	Sim	
tac2	Normal	367	4	371
	Patológico	1569	12	1581
Total		1936	16	1952

TAC-Local da Lesão \* SemAVC \* tac2 Crosstabulation

tac2			SemAVC		Total
			Não	Sim	
Normal	TAC-Local da Lesão	Não se plica	367	4	371
	Total		367	4	371
Patológico	TAC-Local da Lesão	Não se plica	394	3	397
		Ant Esq	338	6	344
		Ant Dto	320	1	321
		Post	145	1	146
		Ant bilateral	281	1	282
		Ant Esq + Post	24	0	24
		Ant Dto + Post	20	0	20
		Ant Bil + Post	47	0	47
	Total		1569	12	1581

TAC-Local da Lesão \* AVCIHesq \* tac2 Crosstabulation

tac2			AVCIHesq		Total
			Não	Sim	
Normal	TAC-Local da Lesão	Não se plica	283	88	371
	Total		283	88	371
Patológico	TAC-Local da Lesão	Não se plica	331	66	397
		Ant Esq	310	34	344
		Ant Dto	125	196	321
		Post	115	31	146
		Ant bilateral	222	60	282
		Ant Esq + Post	19	5	24
		Ant Dto + Post	11	9	20
		Ant Bil + Post	31	16	47
	Total		1164	417	1581

TAC-Local da Lesão \* AVCIHdto \* tac2 Crosstabulation

Count

tac2			AVCIHdto		Total
			Não	Sim	
Normal	TAC-Local da Lesão	Não se aplica	267	104	371
	Total		267	104	371
Patológico	TAC-Local da Lesão	Não se aplica	331	66	397
		Ant Esq	121	223	344
		Ant Dto	271	50	321
		Post	113	33	146
		Ant bilateral	178	104	282
		Ant Esq + Post	13	11	24
		Ant Dto + Post	17	3	20
		Ant Bil + Post	36	11	47
Total		1080	501	1581	

TAC-Local da Lesão \* AVCVB \* tac2 Crosstabulation

Count

tac2			AVCVB		Total
			Não	Sim	
Normal	TAC-Local da Lesão	Não se aplica	320	51	371
	Total		320	51	371
Patológico	TAC-Local da Lesão	Não se aplica	359	38	397
		Ant Esq	325	19	344
		Ant Dto	306	15	321
		Post	93	53	146
		Ant bilateral	258	24	282
		Ant Esq + Post	19	5	24
		Ant Dto + Post	17	3	20
		Ant Bil + Post	38	9	47
Total		1415	166	1581	

TAC-Tipo de Lesão \* Outros Crosstabulation

Count

		Outros		Total
		Não	Sim	
TAC-Tipo de Lesão	Não se aplica	629	628	1257
	Outros (Hemor, Lcp, Mcangio)	172	224	396

	Hemodinâmico	104	31	135
	Embólico	321	44	365
	Lacunar	499	186	685
	Normal	247	124	371
Total		1972	1237	3209

indicação2	Qfinal			S = sensibilidade		
	Normal = 0	Patologia comp=1	Outras Patologia =1			
Com AVC	367	1569		$1569/(1569+367)*100$	81%	S
AVC IHE = 1	88	115	302	$115/(115+390)*100$	22.8%	S
AVC IHD = 2	104	168	333	$168/(168+437)*100$	27.8%	S
AVC VB = 3	51	70	96	$70/(70+147)*100$	32.3%	S
Outros = 4	123	0	485	$485/(485+123)*100$	79.8%	S

	Exame N	Exame P comp	Especificidade	
Sem AVC IHE	$283+331+125+115+11=865$	$310+222+19+31=582$	$865/(865+582)*100$	59.8%
Sem AVC IHD	$267+331+121+113+13=845$	$271+178+17+36=502$	$845/(845+502)*100$	62.7%
Sem AVC VB	$320+359+325+306+258=1568$	$93+19+17+38=167$	$1568/(1568+167)*100$	90.4%
Sem outras	247	172	$247/(247+172)*100$	59%

**RM CE (n=493)**

rm2 \* SemAVC Crosstabulation

Count

		SemAVC		Total
		Não	Sim	
rm2	Normal	49	0	49
	Patológico	441	3	444
Total		490	3	493

RM-Local da Lesão \* AVCIHesq \* rm2 Crosstabulation

Count			AVCIHesq		Total
			Não	Sim	
Normal	RM-Local da Lesão	Não se plica	38	11	49
	Total		38	11	49
Patológico	RM-Local da Lesão	Não se plica	58	10	68
		Ant Esq	88	11	99
		Ant Dto	39	44	83
		Post	55	16	71
		Ant bilateral	41	10	51
		Ant Esq + Post	9	2	11
		Ant Dto + Post	12	5	17
		Ant Bil + Post	37	7	44
	Total		339	105	444

RM-Local da Lesão \* AVCIHdto \* rm2 Crosstabulation

Count			AVCIHdto		Total
			Não	Sim	
Normal	RM-Local da Lesão	Não se plica	41	8	49
	Total		41	8	49
Patológico	RM-Local da Lesão	Não se plica	51	17	68
		Ant Esq	41	58	99
		Ant Dto	70	13	83
		Post	49	22	71
		Ant bilateral	31	20	51
		Ant Esq + Post	6	5	11
		Ant Dto + Post	14	3	17
		Ant Bil + Post	30	14	44
	Total		292	152	444

RM-Local da Lesão \* AVCVB \* rm2 Crosstabulation

Count			AVCVB		Total
			Não	Sim	
Normal	RM-Local da Lesão	Não se plica	40	9	49
	Total		40	9	49

Patológico	RM-Local da Lesão	Não se aplica	59	9	68
		Ant Esq	95	4	99
		Ant Dto	74	9	83
		Post	50	21	71
		Ant bilateral	47	4	51
		Ant Esq + Post	10	1	11
		Ant Dto + Post	13	4	17
		Ant Bil + Post	35	9	44
Total			383	61	444

RM-Local da Lesão \* Outros \* rm2 Crosstabulation

Count

rm2			Outros		Total
			Não	Sim	
Normal	RM-Local da Lesão	Não se aplica	28	21	49
	Total		28	21	49
Patológico	RM-Local da Lesão	Não se aplica	37	31	68
		Ant Esq	73	26	99
		Ant Dto	67	16	83
		Post	59	12	71
		Ant bilateral	34	17	51
		Ant Esq + Post	8	3	11
		Ant Dto + Post	13	4	17
		Ant Bil + Post	30	14	44
Total			321	123	444

RM-Tipo de Lesão \* Outros Crosstabulation

Count

		Outros		Total
		Não	Sim	
RM-Tipo de Lesão	Não se aplica	1623	1093	2716
	Outros (Hemor, Lcp, Mcangio)	36	31	67
	Hemodinâmico	39	11	50
	Embólico	83	15	98
	Lacunar	163	66	229
	Normal	28	21	49
Total		1972	1237	3209

indicação2	Qfinal			S = Sensibilidade		
	Normal = 0	Patologia comp=1	Outras Patologia =1			
Com AVC	49	441	0	$441/(441+49)*100$	90%	S
AVC IHE = 1	11	30	75	$30/(30+86)*100$	25.9%	S
AVC IHD = 2	8	50	102	$50/(50+110)*100$	31.3%	S
AVC VB = 3	9	35	26	$35/(35+35)*100$	50%	S
Outros = 4	21	0	123	$123/(123+21)*100$	85.4%	S

	Exame N	Exame P comp	Especificidade	
Sem AVC IHE	38+58+39+55+12=202	88+41+9+37=175	$202/(202+175)*100$	53.6%
Sem AVC IHD	41+51+41+49+6=188	70+31+14+30=145	$188/(188+145)*100$	56.5%
Sem AVC VB	40+59+95+74+47=315	50+10+13+35=108	$315/(315+108)*100$	74.5%
Sem outras	28	36	$28/(28+36)*100$	43.8%

**ANGIO RM (n=85)**

angiorm2 \* SemAVC Crosstabulation

Count

		SemAVC		Total
		Não	Sim	
angiorm2	Normal	28	1	29
	Patológico	55	1	56
Total		83	2	85

Angio RM Loc \* AVCIHesq \* angiorm2 Crosstabulation

Count

angiorm2			AVCIHesq		Total
			Não	Sim	
Normal	Angio RM Loc	Não se plica	23	6	29
	Total		23	6	29
Patológico	Angio RM Loc	Ant Esq	18	4	22
		Ant Dto	7	3	10
		Post	13	3	16
		Ant bilateral	1	2	3



	Ant Esq + Post	3	1	4
	Ant Bil + Post	1	0	1
Total		43	13	56

Angio RM Loc \* AVCIHdto \* angiorm2 Crosstabulation

Count

angiorm2			AVCIHdto		Total
			Não	Sim	
Normal	Angio RM Loc	Não se plica	24	5	29
	Total		24	5	29
Patológico	Angio RM Loc	Ant Esq	7	15	22
		Ant Dto	5	5	10
		Post	10	6	16
		Ant bilateral	3	0	3
		Ant Esq + Post	4	0	4
		Ant Bil + Post	1	0	1
Total		30	26	56	

Angio RM Loc \* AVCVB \* angiorm2 Crosstabulation

Count

angiorm2			AVCVB		Total
			Não	Sim	
Normal	Angio RM Loc	Não se plica	24	5	29
	Total		24	5	29
Patológico	Angio RM Loc	Ant Esq	22	0	22
		Ant Dto	9	1	10
		Post	11	5	16
		Ant bilateral	3	0	3
		Ant Esq + Post	3	1	4
		Ant Bil + Post	1	0	1
Total		49	7	56	

Angio RM Loc \* Outros \* angiorm2 Crosstabulation

Count

angiorm2			Outros		Total
			Não	Sim	
Normal	Angio RM Loc	Não se plica	17	12	29
	Total		17	12	29
Patológico	Angio RM Loc	Ant Esq	19	3	22

	Ant Dto	9	1	10
	Post	14	2	16
	Ant bilateral	2	1	3
	Ant Esq + Post	2	2	4
	Ant Bil + Post	1	0	1
Total		47	9	56

Angio RM Tipo \* Outros Crosstabulation

Count

		Outros		Total
		Não	Sim	
Angio RM Tipo	Não se aplica	1908	1216	3124
	Normal	17	12	29
	Est Ligeira	6	2	8
	Estenose Moderada	7	1	8
	Est Grave	3	2	5
	Est Pré-Oclusiva	7	1	8
	Oclusão	15	2	17
	Hipoplasia	9	1	10
Total		1972	1237	3209

indicação2	Qfinal			S = Sensibilidade		
	Normal = 0	Patologia comp=1	Outras Patologia =1			
Com AVC	28	55		$55/(55+28)*100$	66%	S
AVC IHE = 1	6	7	6	$7/(7+12)*100$	36.8%	S
AVC IHD = 2	5	15	11	$15/(15+16)*100$	48.4%	S
AVC VB = 3	5	6	1	$6/(6+6)*100$	50%	S
Outros = 4	12	0	9	$9/(9+12)*100$	42.9%	S

	Exame N	Exame P comp	Especificidade	
Sem AVC IHE	23+7+13=43	18+1+3+1=23	$43/(43+23)*100$	65.2%
Sem AVCIHD	24+7+10+4=45	5+3+1=9	$45/(45+9)*100$	83.3%
Sem AVC VB	24+22+9+3=58	11+3+1=15	$58/(58+15)*100$	79.5%
Sem outras	17	9	$17/(17+9)*100$	65.4%

## Apêndices 8 - Análise de decisão

### Apêndice 8.1 - Frequencias de AVC, TSC e Angio RM

Count

SemAVC			angiorm2		Total
			Normal	Patológico	
Não	Tscfpat	Normal	7	6	13
		Patológico	21	49	70
	Total		28	55	83
Sim	tscfpat	Normal	1	0	1
		Patológico	0	1	1
	Total		1	1	2

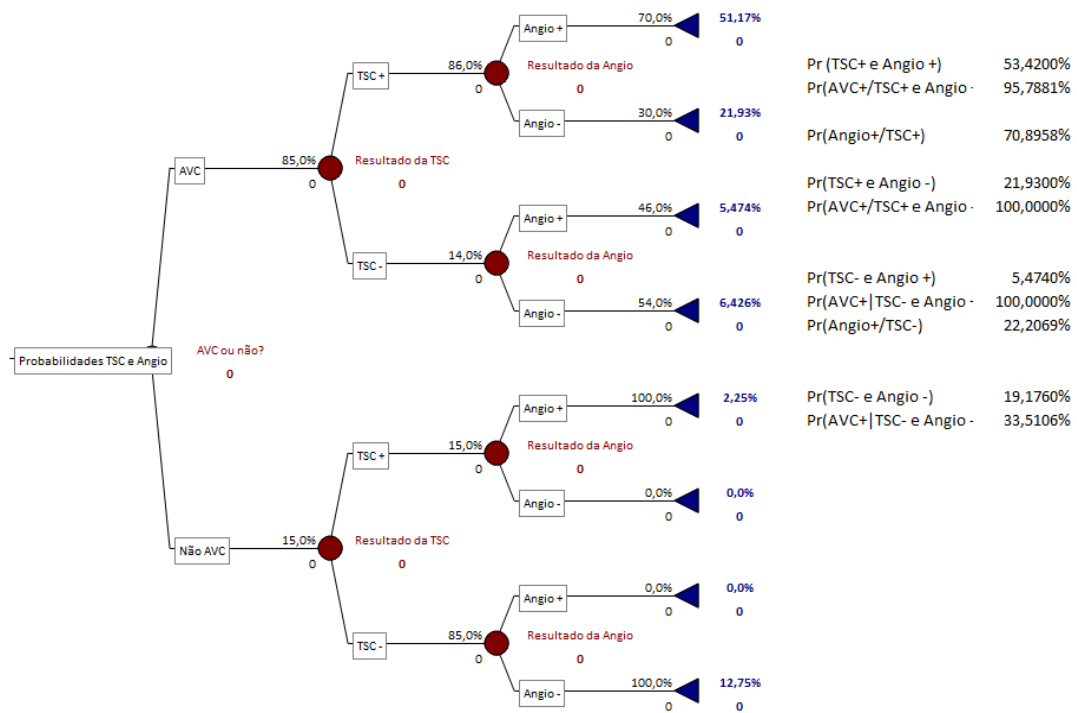
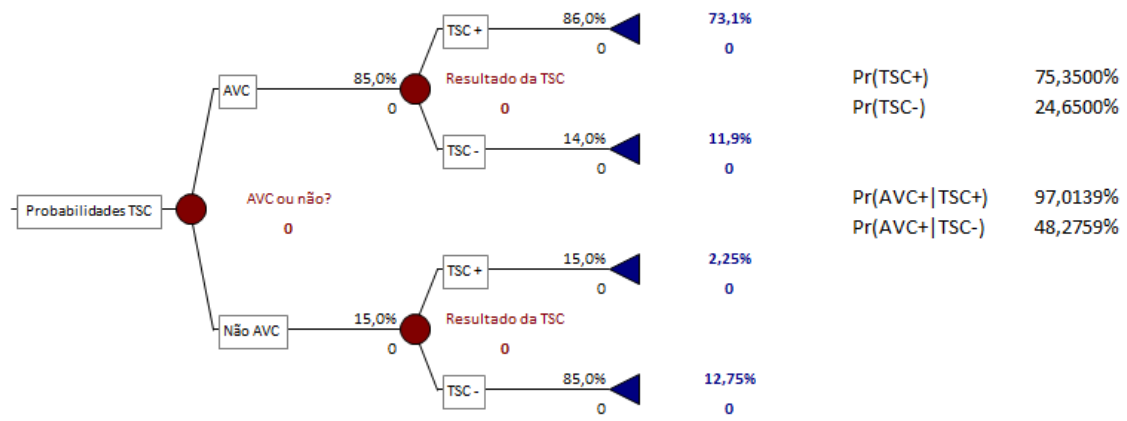
<b>Frequencias</b>	
Pr (TSC+ $\cap$ AVC+)	2700
Pr (TSC+ $\cap$ AVC-)	25
Pr (TSC- $\cap$ AVC+)	459
Pr (TSC- $\cap$ AVC-)	15
Pr (ANGIORM+ $\cap$ AVC+)	55
Pr (ANGIORM+ $\cap$ AVC-)	1
Pr (ANGIORM- $\cap$ AVC+)	28
Pr (ANGIORM- $\cap$ AVC-)	1

Pr (TSC+ $\cap$ ANGIORM+ $\cap$ AVC+)	49
Pr (TSC+ $\cap$ ANGIORM+ $\cap$ AVC-)	1
Pr (TSC+ $\cap$ ANGIORM- $\cap$ AVC+)	21
Pr (TSC+ $\cap$ ANGIORM- $\cap$ AVC-)	0
Pr (TSC- $\cap$ ANGIORM+ $\cap$ AVC+)	6
Pr (TSC- $\cap$ ANGIORM+ $\cap$ AVC-)	0
Pr (TSC- $\cap$ ANGIORM- $\cap$ AVC+)	7
Pr (TSC- $\cap$ ANGIORM- $\cap$ AVC-)	1

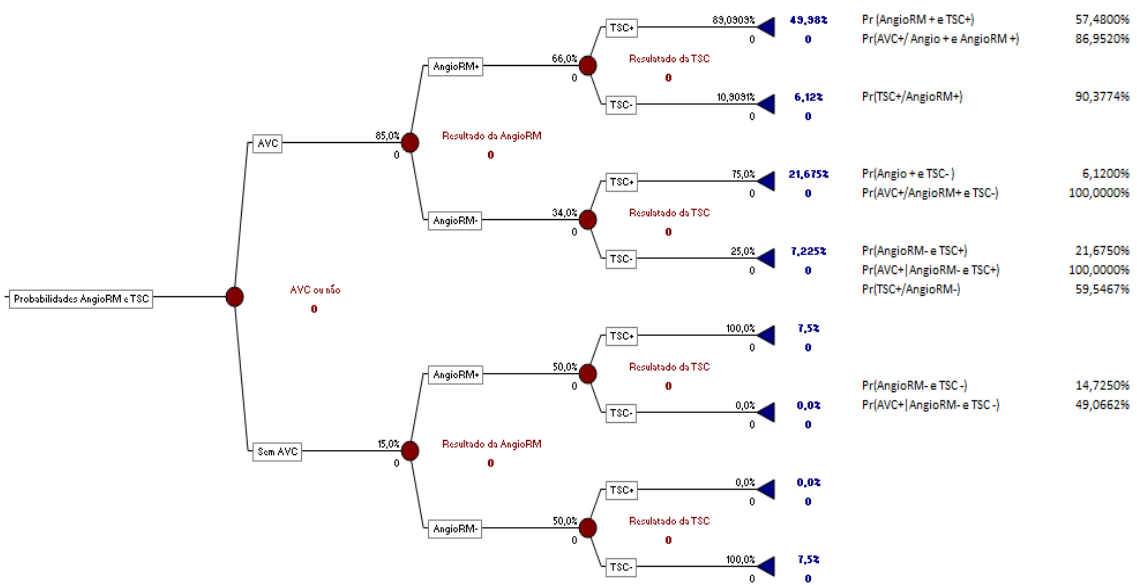
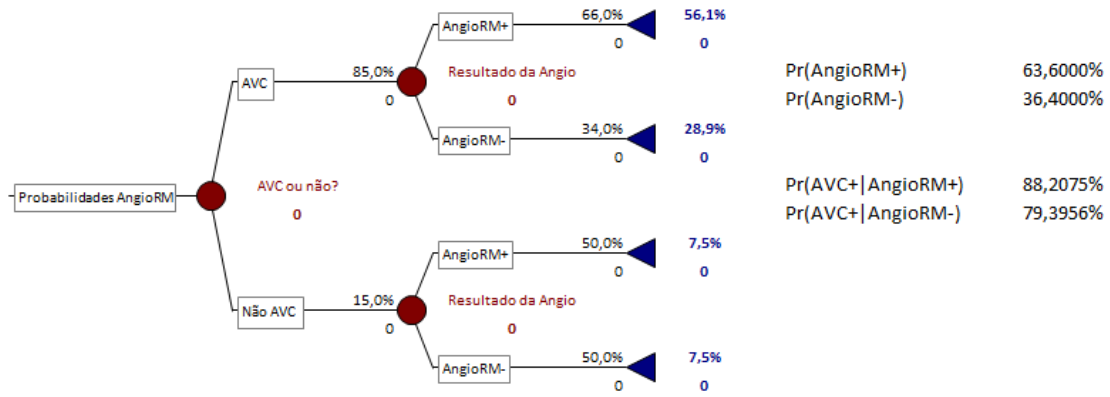
## Apêndice 8.2 - Dados para calculo de arvore de decisão

<b>Custos dos exames</b>	
TAC	34,3
RM	133,5
TSC	55,7
Angio RM	169,7
<b>Probabilidades</b>	
AVC dado sintomas	0,85
Pr(AVC+ AngioRM+)	0,882075
Pr(AVC+ AngioRM-)	0,793956
Pr(AVC+ TSC+)	0,970139
Pr(AVC+ TSC-)	0,482759
Pr(AVC+/TSC+ e AngioRM+)	0,957881
Pr(AVC+/TSC+ e AngioRM -)	1
Pr(AVC+ TSC- e AngioRM +)	1
Pr(AVC+ TSC- e AngioRM -)	0,335106
Pr(TSC+)	0,7535
Pr(Angio+/TSC+)	0,708958
Pr(Angio+/TSC-)	0,222069
Pr(AngioRM+)	0,636

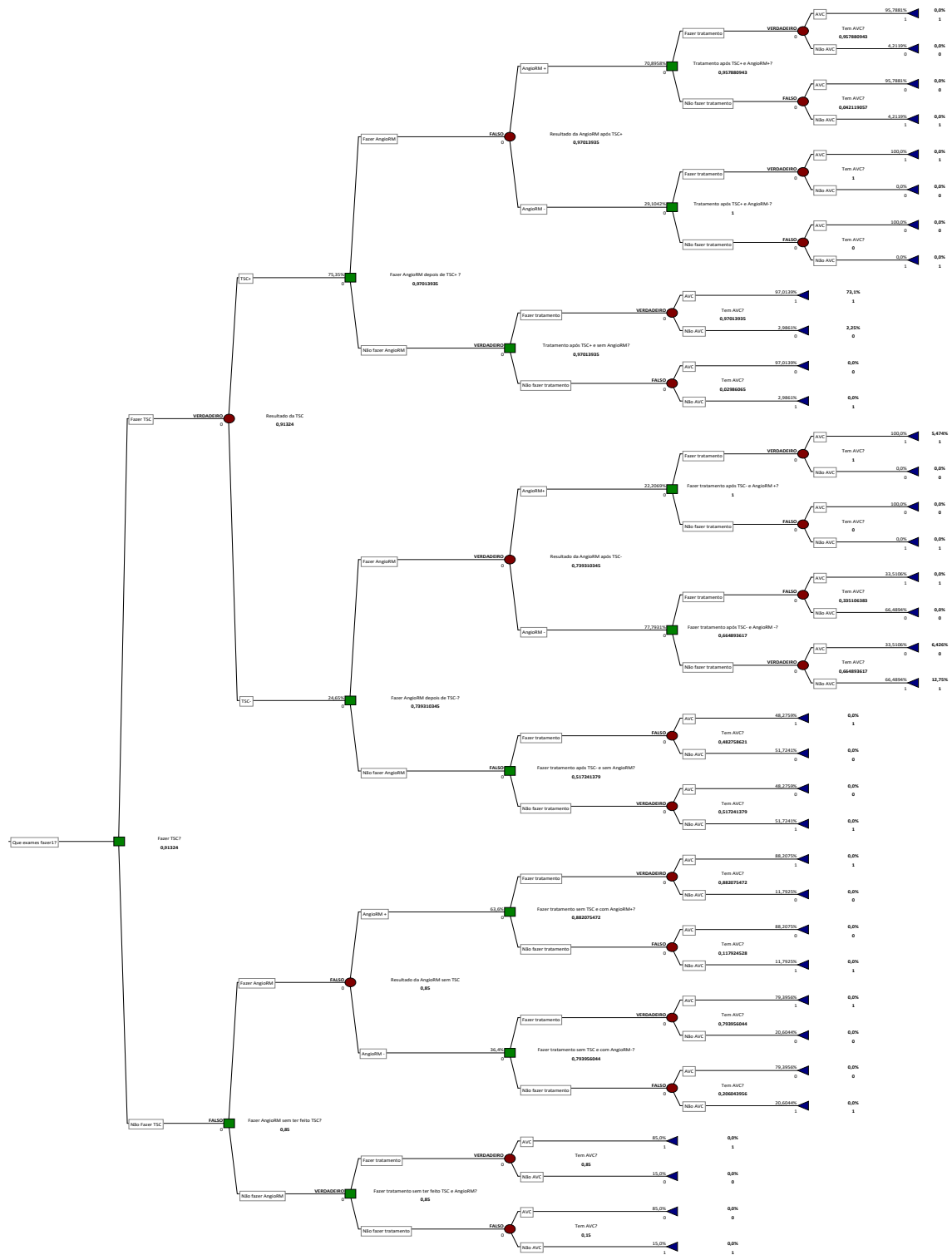
Apêndice 8.3 - Árvores de probabilidades do TSC



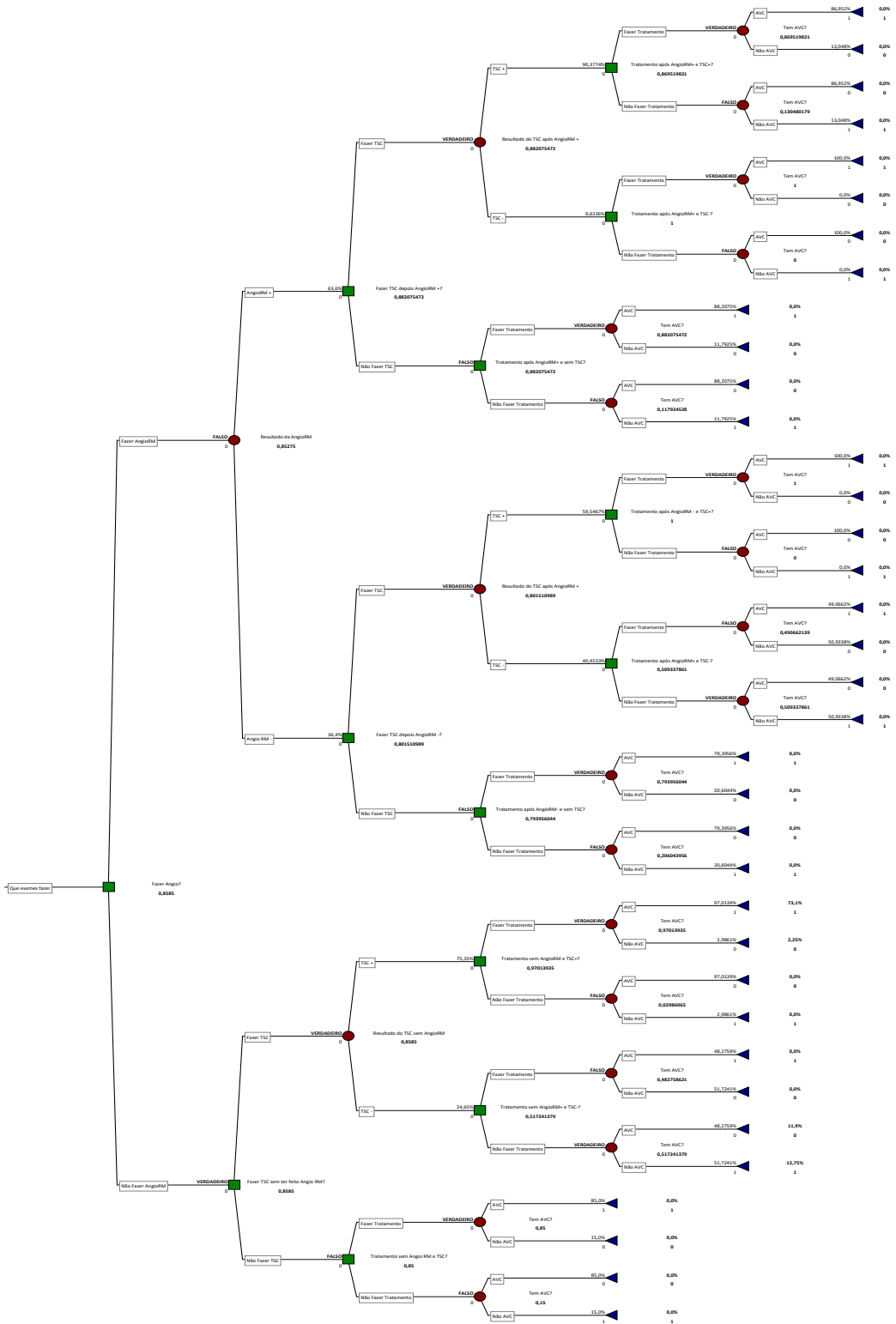
Apêndice 8.4 - Árvores de probabilidades da AngioRM.



Apêndice 8.5 - Arvore de decisão benefícios1



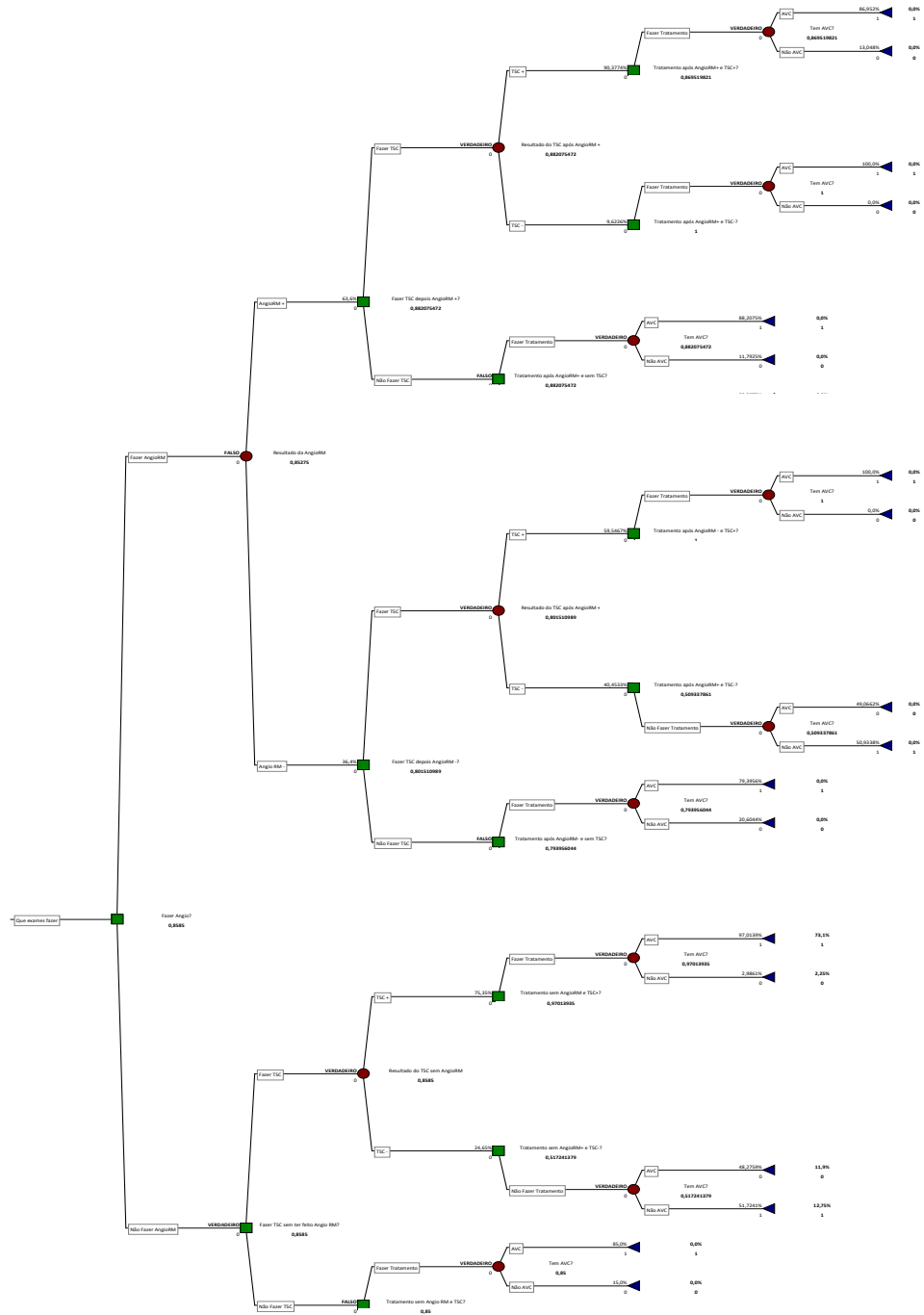
Apêndice 8.6 - Arvore de decisão benefícios2



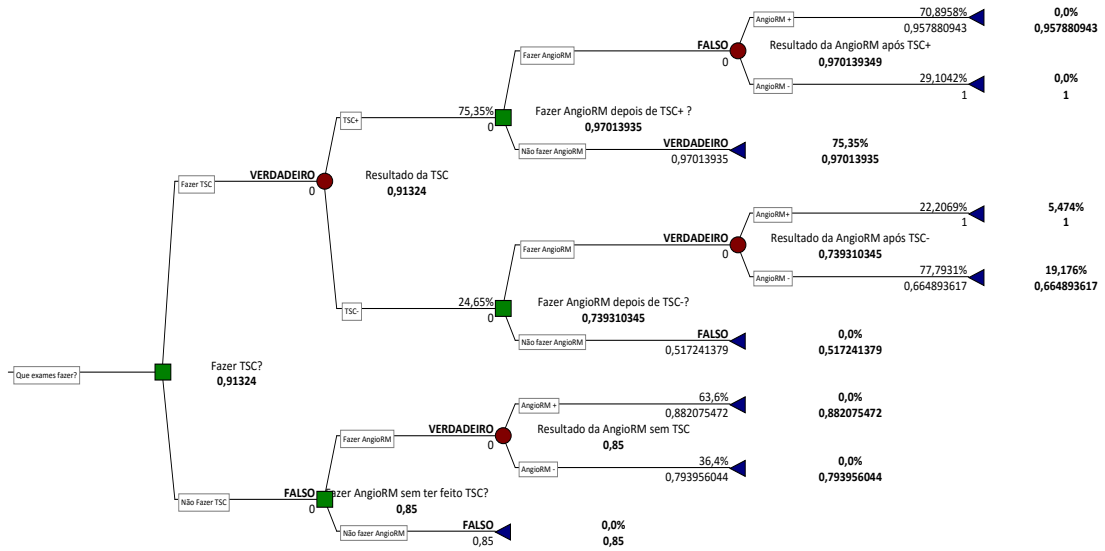




Apêndice 8.8 - Arvore de decisão beneficios2 simplificada



Apêndice 8.9 - Arvore de decisão beneficios1 simplificada final



Apêndice 8.10 - Arvore de decisão beneficios2 simplificada final

